

Serie **iFit**

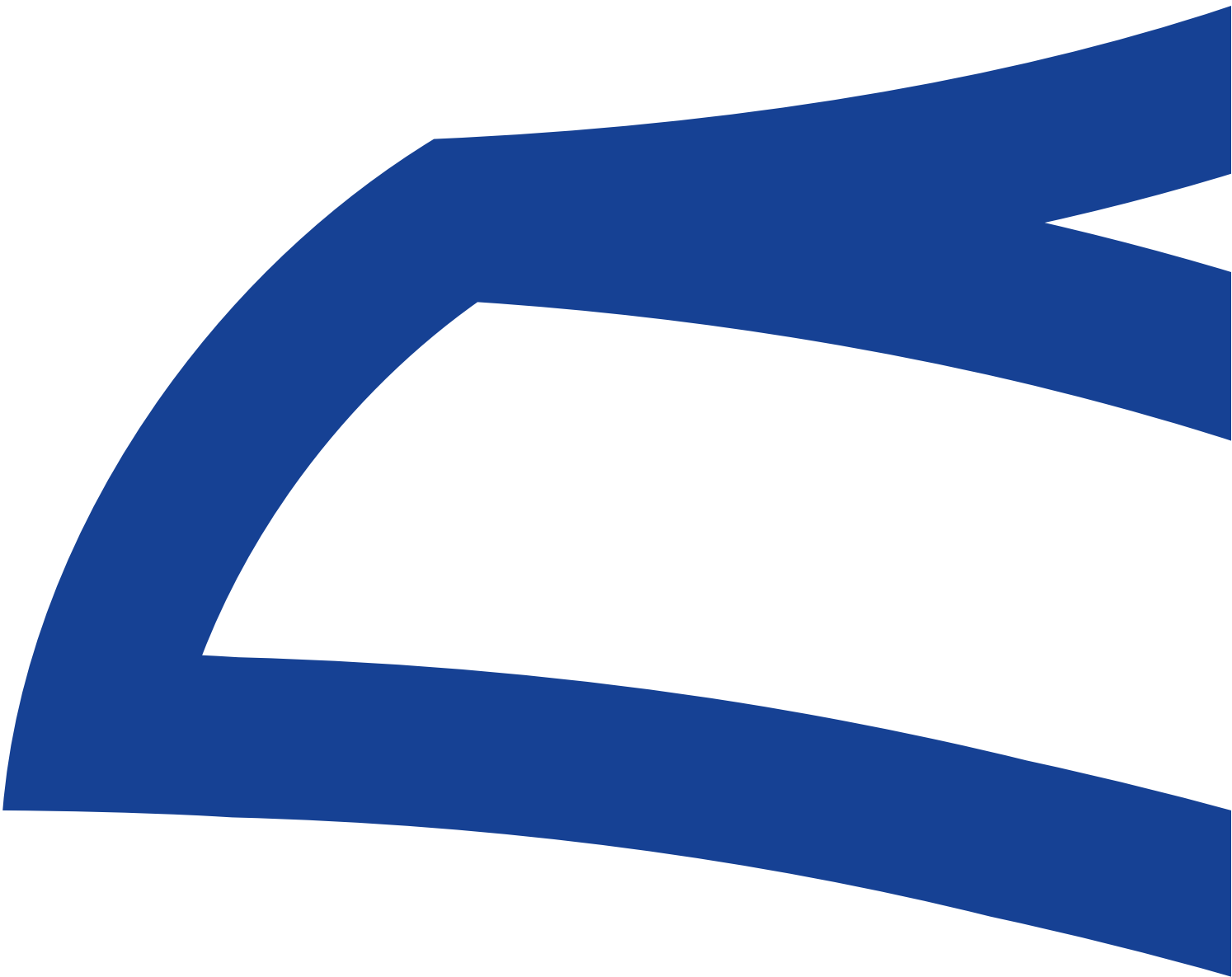


COM.PACK s.p.a.
Via Antonio Meucci, 33
80020 Casavatore (NA)

Tel: 39.081.738-9132/0646
info@compacksas.it
www.compacksas.it



Motoriduttori coassiali e ortogonali



Indice

1	Rossi for You	6
	1.1 Presenza globale, servizio locale	8
2	Product Overview	10
	2.1 Caratteristiche & Vantaggi	12
	2.2 Motori elettrici	14
	2.3 Inverter	15
	2.4 Gamma prodotti	16
3	Simbologia e unità di misura	18
	3.1 Simbologia e unità di misura	20
	3.2 Iconografia	22
4	Caratteristiche prodotto	24
	4.1 Caratteristiche generali	26
	4.2 Condizioni operative	29
	4.3 Protezione delle superfici	32
	4.4 Immagazzinamento e stoccaggio	33
5	Designazione	34
	5.1 Codifica	36
	5.2 Dati di targa	44
6	Project Planning	46
	6.1 Selezione	48
	6.2 Fattore di servizio	51
	6.3 Rendimento	52
	6.4 Potenza termica	53
	6.5 Carichi radiali sull'estremità d'albero lento	55
7	Forme costruttive	58
	7.1 Forme costruttive	60
	7.2 Posizione tappi	62

8	Dettagli costruttivi e funzionali	70
	8.1 Lubrificazione	72
	8.2 Adattatori per motori	74
	8.3 Montaggio motore (IEC o NEMA) sull'adattatore	76
	8.4 Dettagli flange di fissaggio motoriduttore	76
	8.5 Viti di fissaggio	77
	8.6 Tolleranze dimensionali	79
	8.7 Notazioni sugli ingombri dimensionali	80
9	Tabelle di selezione coassiali - iC	82
	9.1 Combinazioni geometriche possibili	84
	9.2 Tabelle di accoppiamento geometrico	85
	9.3 Programma di fabbricazione [kW]	94
10	Disegni dimensionali coassiali - iC	132
	10.1 iC 272/iC 273	134
	10.2 iC 372/iC 373	136
	10.3 iC 472/iC 473	138
	10.4 iC 572/iC 573	140
	10.5 iC 672/iC 673	142
	10.6 iC 772/iC 773	144
	10.7 iC 872/iC 873	146
	10.8 iC 972/iC 973	148
11	Tabelle di selezione ortogonali - iO	150
	11.1 Combinazioni geometriche possibili	152
	11.2 Tabelle di accoppiamento geometrico	153
	11.3 Programma di fabbricazione [kW]	160
12	Disegni dimensionali ortogonali - iO	184
	12.1 iO 373	186
	12.2 iO 473	189
	12.3 iO 573	192
	12.4 iO 673	195
	12.5 iO 773	198
	12.6 iO 873	201
	12.7 iO 973	204

13	Motore compatto trifase HB ed autofrenante HBZ	208
	13.1 Motore compatto asincrono trifase HB	210
	13.2 Dati tecnici motore compatto asincrono trifase HB	212
	13.3 Motore compatto asincrono trifase autofrenante HBZ	215
	13.4 Dati tecnici motore compatto asincrono trifase autofrenante HBZ	219
14	Installazione e manutenzione	222
	14.1 Sicurezza	224
	14.2 Installazione e manutenzione	225
15	Questionario tecnico	226
16	Formule tecniche	227

Rossi for You



Innovazione

Rossi S.p.A. offre un'ampia gamma di soluzioni per un mondo industriale in continua evoluzione, riduttori e motoriduttori flessibili e innovativi anche per applicazioni customizzate, volte a massimizzare le prestazioni e minimizzare il costo totale di proprietà (TCO).



Alta qualità, 3 anni di garanzia

Il nostro obiettivo è innovare e migliorare la produttività con prodotti performanti, precisi, affidabili e di alta qualità, in tutto il mondo. Siamo sempre un passo avanti nell'offrire e sviluppare soluzioni in grado di soddisfare infinite esigenze applicative, anche nelle condizioni più severe.



Affidabilità

Siamo un'azienda affidabile, in grado di offrire flessibilità e know-how per rispondere alle diverse esigenze di mercato a livello internazionale, in tutti i settori industriali, attenta alla sostenibilità ambientale e ai valori etici e di sicurezza, per la salvaguardia del futuro.



Strumenti e processi

Continuiamo a investire in nuovi strumenti e processi, il nostro team di specialisti altamente specializzati in diversi settori è in grado di individuare la soluzione più adatta alle vostre esigenze. Siamo sempre al vostro fianco in ogni fase del progetto.



Servizio post vendita

I nostri tecnici altamente qualificati assicurano un servizio post-vendita veloce ed efficiente in tutto il mondo.



Supporto digitale

Oltre al nostro portale Rossi for You disponibile 24/7, una suite di strumenti digitali consente di accedere in tempo reale al tracking degli ordini, alle fatture, al download dei disegni dei ricambi e di contattare il nostro servizio di assistenza.

70
YEARS

Esperienza

Plasmata da 70 anni di storia, Rossi S.p.A. è in grado di soddisfare qualsiasi vostra esigenza, sia che si tratti di un progetto standard o di una soluzione personalizzata.



Presenza globale servizio locale



Assistenza locale

Vendita, customer service, supporto tecnico, ricambi



15 filiali*

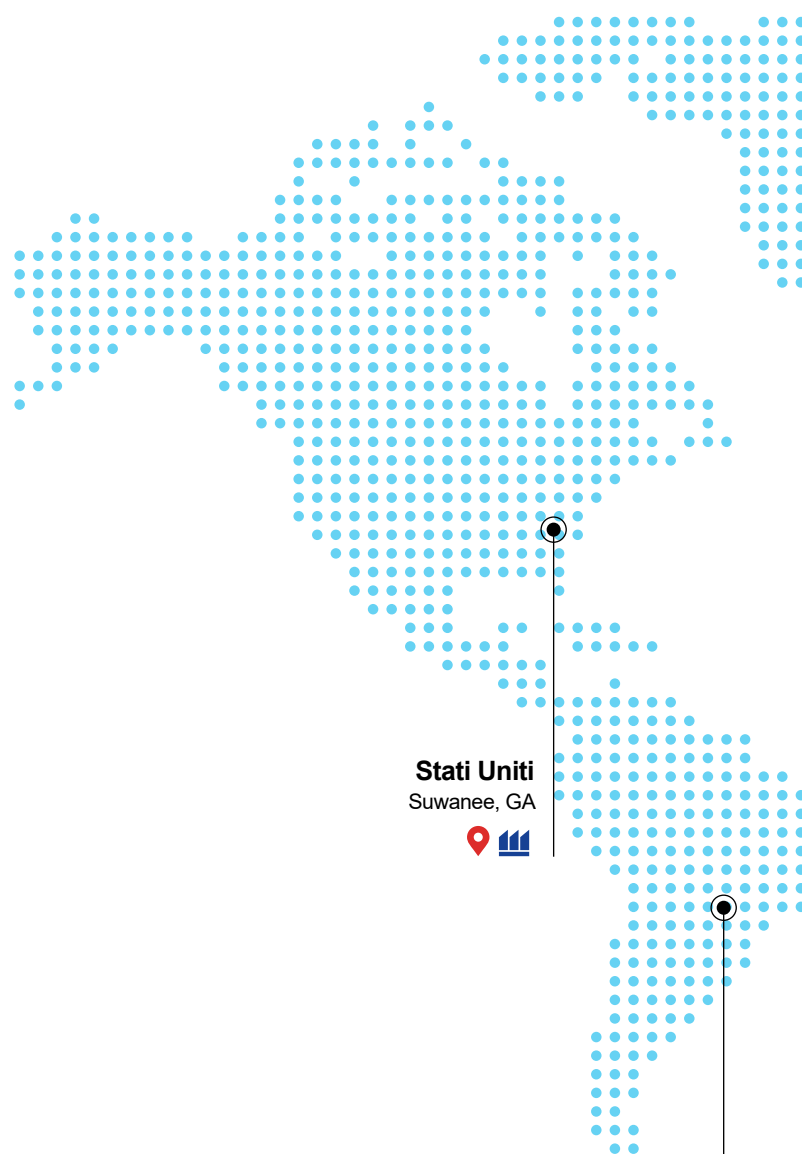


Rete di distribuzione internazionale*

Una rete capillare di filiali e distributori a livello internazionale.

Dalla fase di progettazione al servizio post-vendita Rossi S.p.A. è sempre al vostro fianco, un partner locale affidabile e flessibile.

Rossi for You, la suite digitale disponibile 24/7 per la consultazione continua e aggiornata di ordini, spedizioni e assistenza.



Stati Uniti
Suwanee, GA



Brasile
Cordeiropolis, SP



*Contatti disponibili su www.rossi.com



Sede



Filiali



Stabilimenti di produzione/Centri di montaggio

Regno Unito

Coventry



Paesi Bassi

Panningen



Germania

Dreieich



Polonia

Wroclaw



Turchia

Izmir



Cina

Shanghai



Suzhou



Taiwan

Kaohsiung City



Spagna

Barcelona



Francia

Saint Priest



Italia

Modena



Ganaceto



Lecce



Sud Africa

La Mercy



India

Coimbatore



Australia

Perth

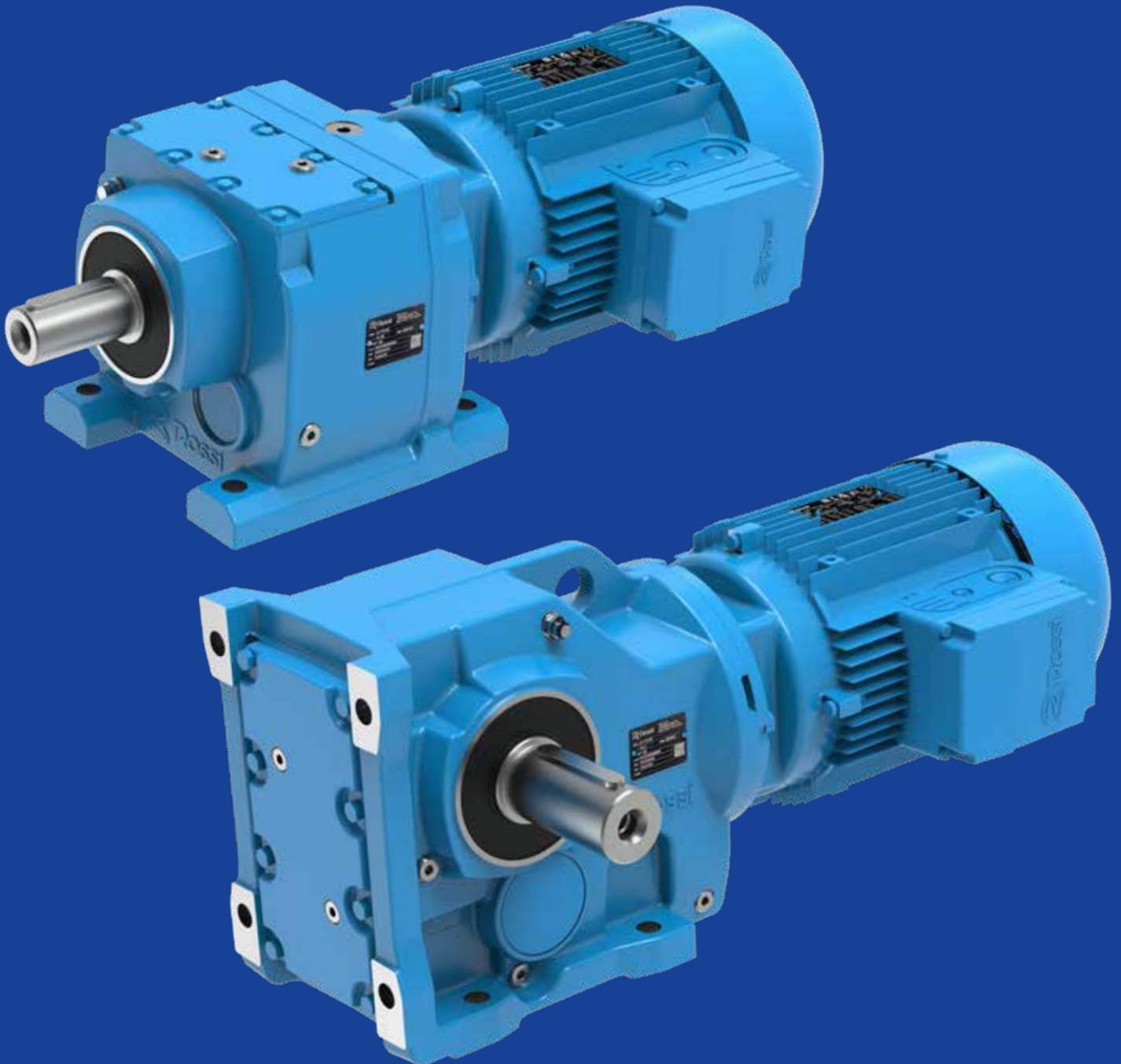


Malesia

Kuala Lumpur



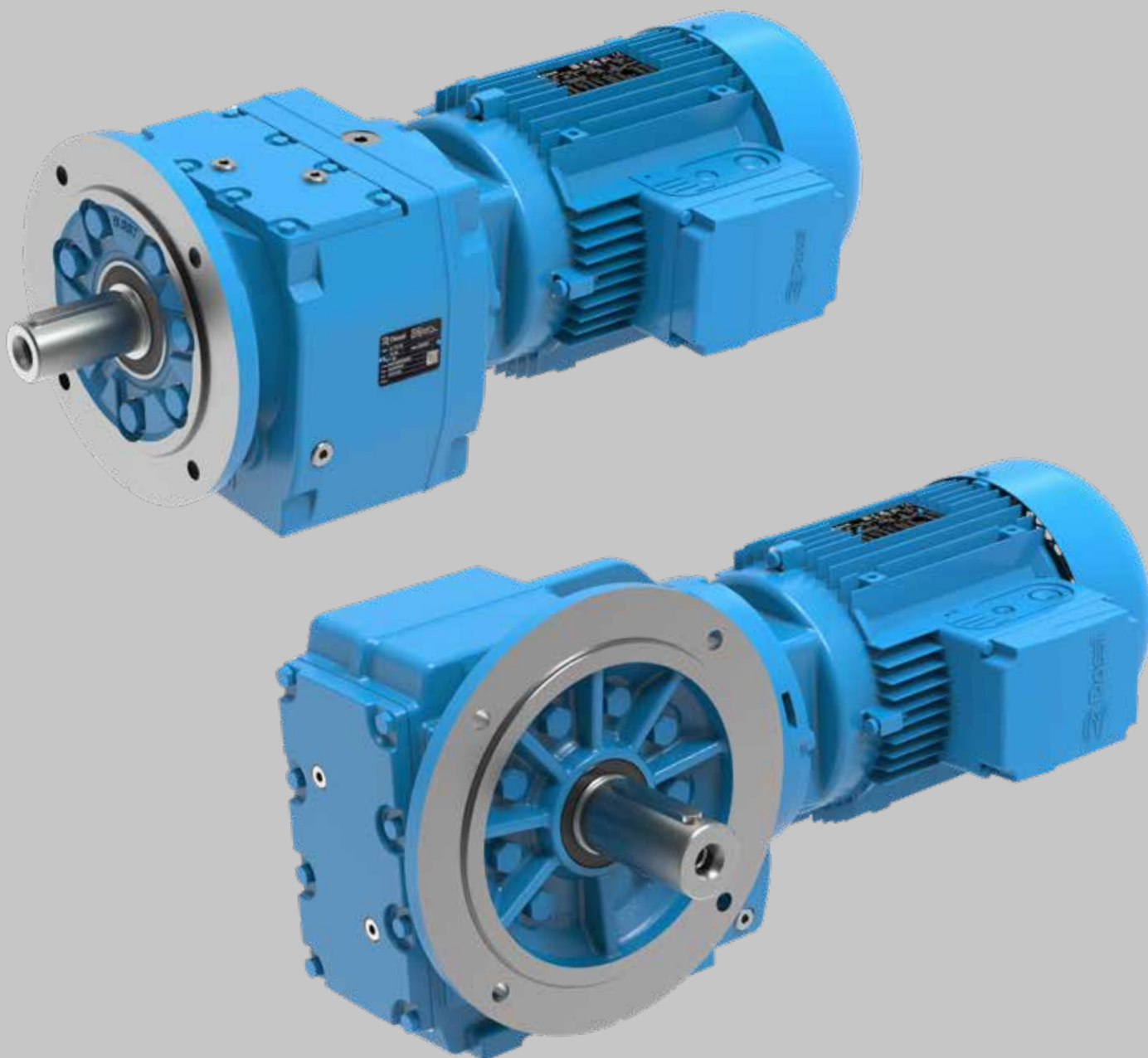
Product Overview



Indice di sezione

2.1	Caratteristiche & Vantaggi	12
2.2	Motori elettrici	14
2.3	Inverter	15
2.4	Gamma prodotti	16

Caratteristiche & Vantaggi





Completamente intercambiabile

Plug&Play.
Nessun costo di reingegnerizzazione



100% made in EU

Qualità superiore,
minima manutenzione



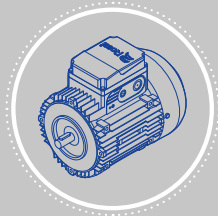
Carcassa di ghisa

Massime prestazioni e affidabilità



Precisione ingranaggi DIN/ISO 6

Risparmio energetico, minima rumorosità e gioco angolare ridotto



Motori elettrici IE3

Efficienza Premium



Elevata qualità

Lubrificazione "lunga durata".
Sistema di tenuta lato motore dedicato



Design compatto

Pulizia garantita grazie alle forme arrotondate e alla superficie liscia della carcassa



Elevate prestazioni

Fino al 12% superiori rispetto allo standard di riferimento

Ulteriori vantaggi



- Maggior valore per il Cliente
- Tempi di consegna brevi per prodotti standard
- 3 anni di garanzia


2.2

Motori elettrici

- Motori standard e autofrenanti
- Classe IE3 dello standard internazionale di efficienza energetica (IEC 60034-30) $\geq 0,75$ kW
- Classe IE2 dello standard internazionale di efficienza energetica (IEC 60034-30) $\leq 0,55$ kW
- Multitensione, 2, 4 e 6 poli
- Carcasse di alluminio
- Possibilità di ingresso cavi bilaterale
- Classe isolamento motore F, sovratemperatura classe B



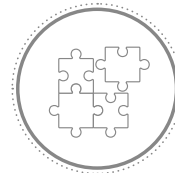
CONFORMITÀ

- Certificati di collaudo
-  motori certificati UL
- Direttiva Macchine 2006/42/CE
- Direttiva RoHS 2011/65/CE
- Direttiva «ErP» 2009/125/CE



PROTEZIONE/VERNICIATURA

- Vernice blu RAL 5010 classe di corrosività C3 (vernice aggrappante dura e liscia)
- IP 55



OPTIONAL

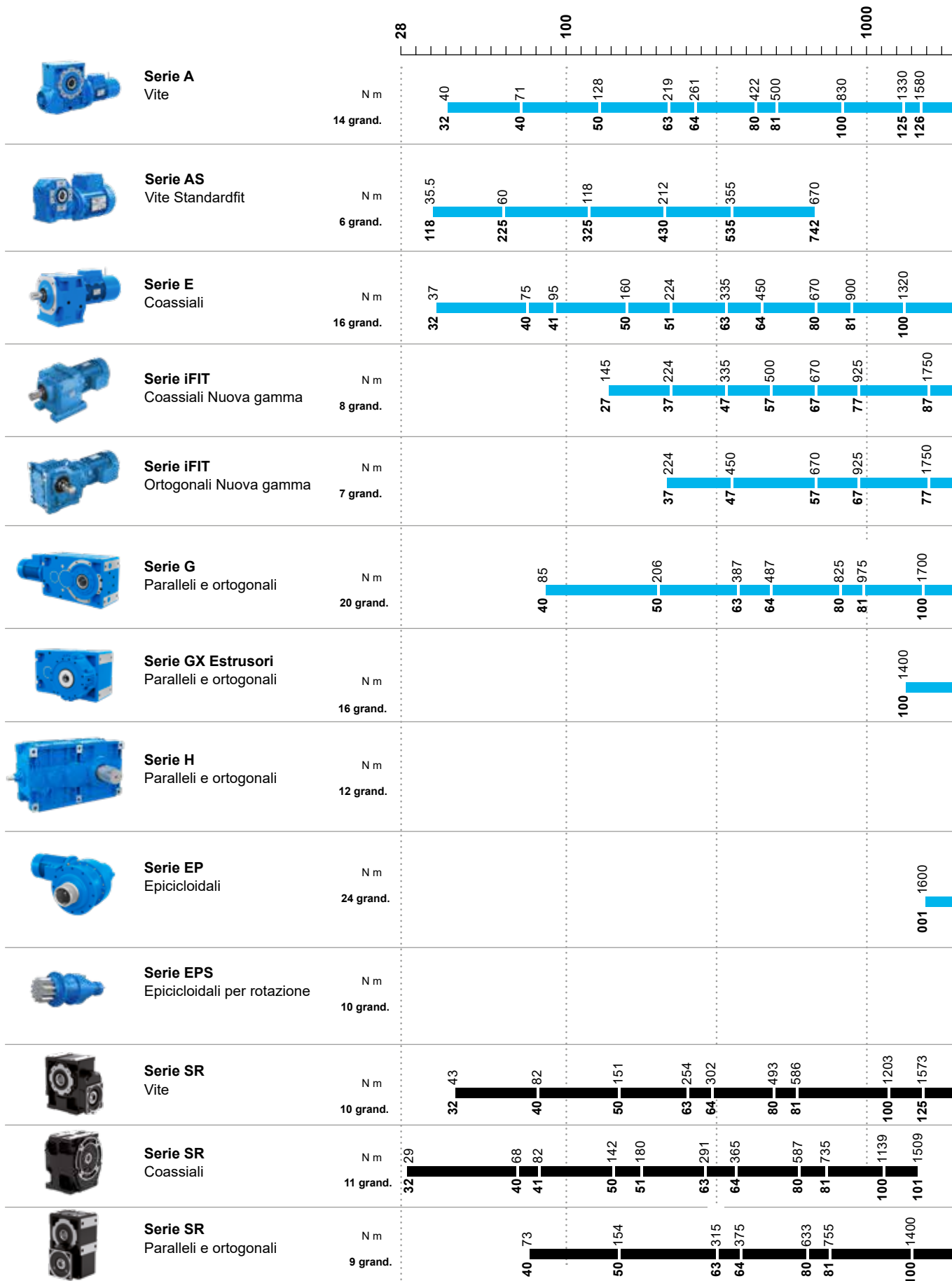
- Classe isolamento H
- Sonde termiche bimetalliche
- Sonde termiche a termistori (PTC)
- Motore con connettori
- Scaldiglia anticondensa
- Ventilazione forzata (IC 416)
- Tettuccio parapioggia
- Albero bisporgente
- Encoder incrementale sin/cos
- Verniciature opzionali
- Protezioni opzionali IP 56 ... IP 66

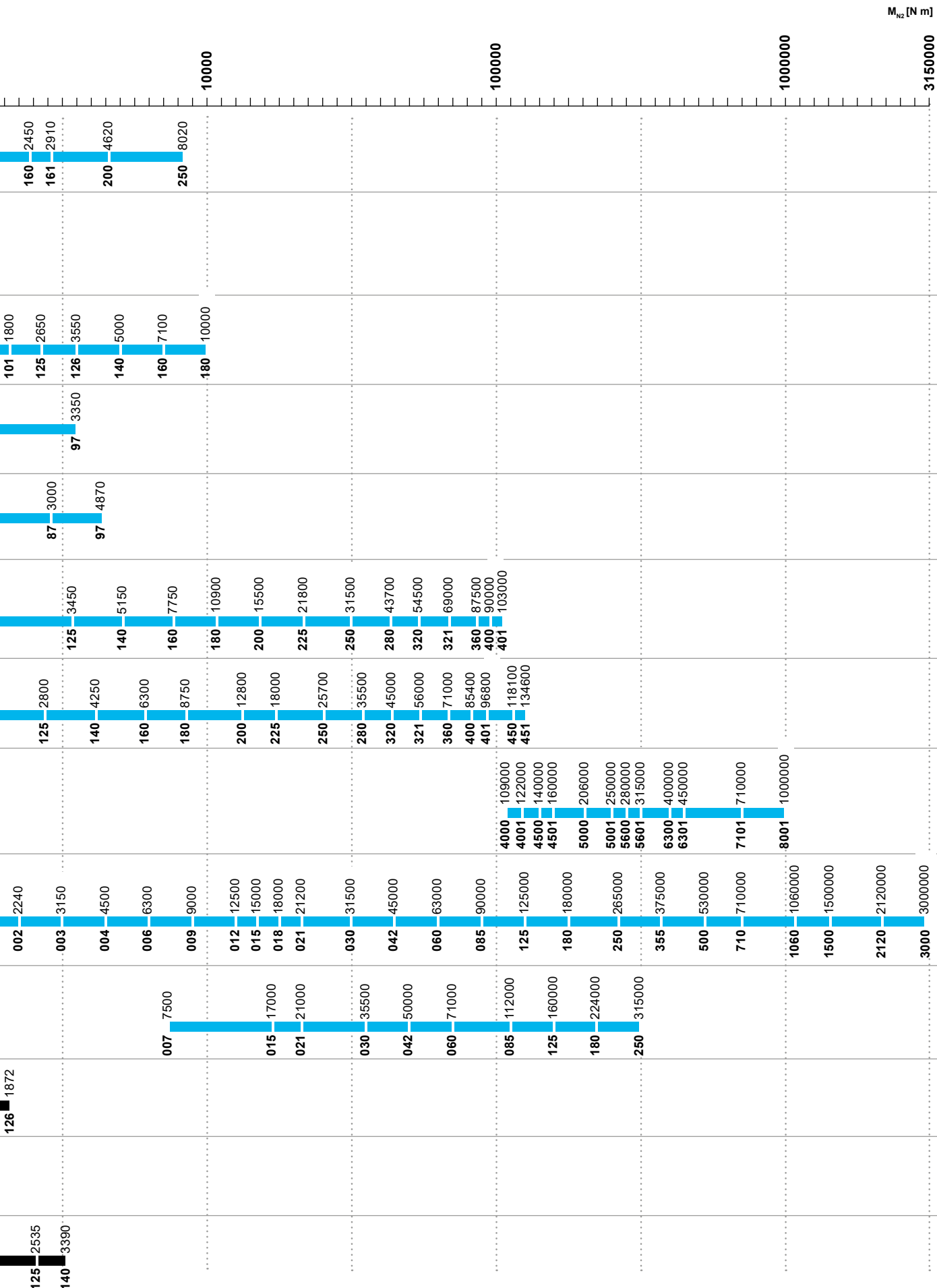
Inverter

- Sovraccarichi max: fino a 200%
- Massima sopportazione dei sovraccarichi senza sensori
- Flessibilità di installazione a motore o a parete
- Completamente "Plug & Play"
- Autotuning, programmazione e aggiornamento del software inclusi
- In conformità con la classe IE2, ECODESIGN EN 50598 IEC/EN 60034-30-1 e Direttiva Ecodesign secondo IEC 61800-9-2
- Messa in funzione, monitoraggio e diagnostica da remoto, Bluetooth, App e Sicurezza (STO)
- Comunicazione e connessione tra più inverter
- Ampia gamma di Field buses
- L'ampia gamma di optional, componenti e il concept di design garantiscono la massima affidabilità e resistenza alle vibrazioni. A prova di polvere e spruzzi di acqua (IP 65).



Gamma prodotti





Simbologia e unità di misura

Indice di sezione

3.1	Simbologia e unità di misura	20
3.2	Iconografia	22

3.1

Simbologia e unità di misura

Simbolo	Descrizione	Unità di misura SI
f_s	fattore di servizio	
f_T	fattore termico	
H	altitudine	[m]
$IP..$	grado di protezione	
J	momento d'inerzia (di massa)	[kg m ²]
M	momento torcente	[N m]
n	velocità di rotazione	[min ⁻¹]
p	peso	[kg]
P	potenza	[kW]
$S1...S10$	tipo di servizio	
T	temperatura	[°C]
t	tempo	[s]
v	velocità lineare	[m/s]
z	numero di avviamenti orari	[avv/h]
Riduttore		
η	rendimento	
η_s	rendimento statico	
F_{r1}	carichi radiali sull'albero veloce	[N]
F_{r2}	carichi radiali sull'albero lento	[N]
F_{a1}	carichi assiali sull'albero veloce	[N]
F_{a2}	carichi assiali sull'albero lento	[N]
i	rapporto di trasmissione	
L_h	durata cuscinetti	[h]
M_{N1}	momento torcente nominale all'albero veloce	[N m]
M_{N2}	momento torcente nominale all'albero lento	[N m]
M_1	momento torcente all'albero veloce	[N m]
M_2	momento torcente all'albero lento	[N m]
M_{2max}	momento torcente massimo all'albero lento	[N m]
M_s	momento di serraggio viti di fissaggio	[N m]
n_1	velocità di rotazione dell'albero veloce	[min ⁻¹]
n_2	velocità di rotazione dell'albero lento	[min ⁻¹]
P_{N1}	potenza nominale sull'albero veloce	[kW]
P_{N2}	potenza nominale sull'albero lento	[kW]
P_T	potenza termica	[kW]
P_{TN}	potenza termica nominale	[kW]
P_1	potenza all'albero veloce	[kW]
P_2	potenza all'albero lento	[kW]

Simboli	Descrizione	Unità di misura SI
Motore		
$\cos\varphi$	fattore di potenza	
C_{max}	massimo consumo del disco freno	[mm]
η	rendimento motore	
f	frequenza di alimentazione	[Hz]
I_N	corrente elettrica nominale del motore	[A]
I_S	corrente elettrica allo spunto del motore	[A]
J_0	momento d'inerzia (di massa) del motore	[kg m ²]
M_S	momento torcente allo spunto, con inserzione diretta	[N m]
M_{max}	momento torcente massimo, con inserzione diretta	[N m]
M_N	momento torcente nominale motore	[N m]
M_{fmax}	momento frenante massimo	[N m]
M_f	momento frenante di taratura	[N m]
n_N	numero di giri nominali motore	[min ⁻¹]
P_N	potenza nominale motore	[kW]
t_a	tempo di avviamento	[s]
t_f	tempo di frenatura	[s]
t_1	ritardo di sblocco dell'ancora freno	[ms]
t_2	ritardo di frenatura	[ms]
t_{2cc}	ritardo di frenatura con raddrizzatore in c.c.	[ms]
U	tensione di alimentazione	[V]
W_1	lavoro di attrito necessario al consumo di 1 mm di spessore del disco freno	[MJ/mm]
W_{max}	massimo lavoro d'attrito per ogni singola frenata	[J]

3.2

Iconografia

Icone	Descrizione	Icone	Descrizione
	rimando a pagina		peso (senza olio)
	attenzione		quantità di olio
	tappo sfiato		iC - 2 stadi di riduzione
	tappo livello		iC - 3 stadi di riduzione
	tappo scarico		iO - 3 stadi di riduzione
	tappo sfiato non in vista (sul lato opposto)		rimando a sezione motori
	tappo livello non in vista (sul lato opposto)		rimando a sezione adattatori motore
	tappo scarico non in vista (sul lato opposto)		rimando a sezione accoppiamenti geometrici
iC	motoriduttore coassiale iFIT		
iO	motoriduttore ortogonale iFIT		

pagina lasciata intenzionalmente vuota

Caratteristiche prodotto

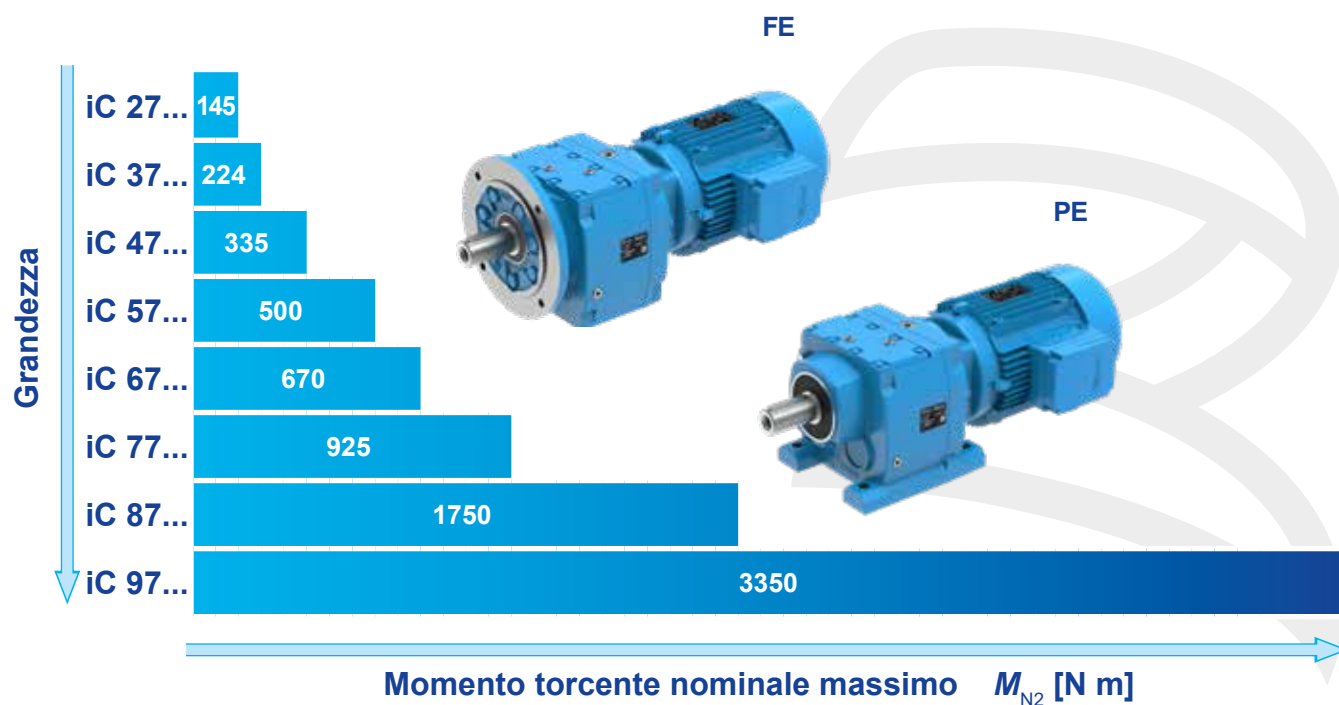
Indice di sezione

4.1	Caratteristiche generali	26
4.1.1	Riduttore	27
4.1.2	Motore elettrico trifase	28
4.2	Condizioni operative	29
4.2.1	Temperatura ambiente di funzionamento	29
4.2.2	Altitudine di installazione	29
4.2.3	Tipo di servizio di funzionamento	30
4.2.4	Frequenza a 60 Hz	31
4.2.5	Velocità	31
4.2.6	Livelli sonori	31
4.2.7	Accessibilità e dissipazione del calore	31
4.2.8	Pesi	31
4.2.9	Gioco ridotto	31
4.2.10	Tenute albero lento	31
4.3	Protezione delle superfici	32
4.4	Immagazzinamento e stoccaggio	33

4.1

Caratteristiche generali

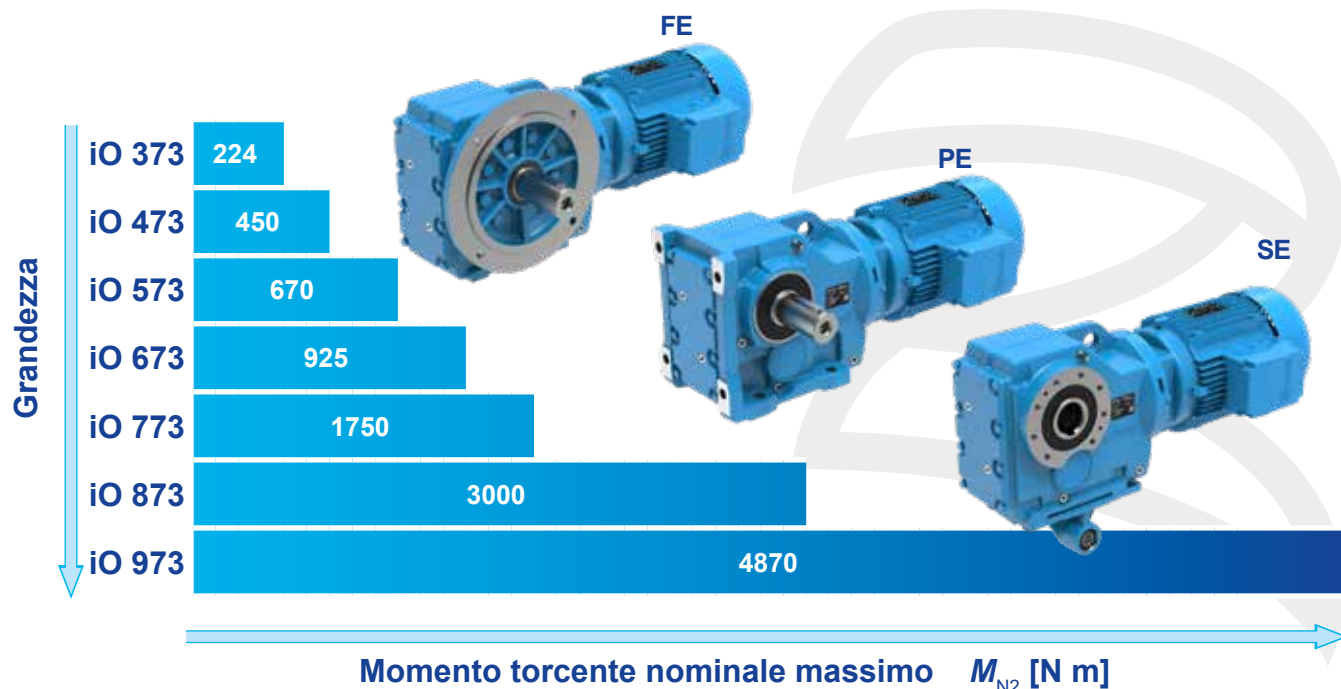
Motoriduttori coassiali - iC



		iC 27...	iC 37...	iC 47...	iC 57...	iC 67...	iC 77...	iC 87...	iC 97...
Diametro albero lento	[mm]	25	25	30	35	35	40	50	60
Altezza d'asse (esecuzione PE)	[mm]	90	90	115	115	130	140	180	225
Diametro flangia B5 (esecuzione FE)	[mm]	120...160	120...200	140...200	160...250	200, 250	250, 300	300, 350	350, 450
Momento torcente nominale massimo	[N m]	145	224	335	500	670	925	1750	3350
Carico radiale nominale massimo	[N]	4230	4940	5420	7100	6980	9900	16900	19800

- **massima intercambiabilità geometrica** (altezza d'asse, estremità d'albero lento, dimensioni piedi e fori di fissaggio, flange, esecuzioni), e prestazioni uguali o superiori rispetto allo standard di mercato;
- **motori con rendimenti conformi alle classi IE3, IE2;**
- **fissaggio con piedi iC/iO** (piedi integrali alla carcassa riduttore), **con flangia iC/iO** (fino a 4 flange per singola grandezza riduttore), **pendolare iO**
- **carcassa riduttore monolitica di ghisa**, elevata rigidità e accuratezza dimensionale;
- **asse lento** (cuscinetti e albero) ampiamente dimensionato per sopportare elevati carichi sull'estremità d'albero;
- **elevata classe di qualità di fabbricazione;**
- **prestazioni elevate, affidabili e collaudate;**
- **motori compatti**, in classe precisa, anche in versione autofrenante, idonei per applicazione da inverter.

Motoriduttori ortogonali - iO



	iO 373	iO 473	iO 573	iO 673	iO 773	iO 873	iO 973
Diametro albero sporgente lento [mm]	25	30	35	40	50	60	70
Diametro albero cavo lento [mm]	30	35	40	40	50	60	70
Altezza d'asse (esecuzione PE, SE) [mm]	100	112	132	140	180	212	265
Diametro flangia B5 (esecuzione FE) [mm]	160	200	250	250	300	350	450
Momento torcente nominale massimo [N m]	224	450	670	925	1750	3000	4870
Carico radiale nominale massimo [N]	5640	5920	7630	12300	16100	27300	40000

4.1.1 Riduttore

Particolarità costruttive:

- carcassa monolitica di ghisa 250 UNI ISO 185 con nervature di irrigidimento ed elevata capienza di lubrificante;
- cuscinetti volventi asse lento a sfere o a rulli conici (su richiesta per grandezze \geq iO 47 con albero lento cavo) ampiamente dimensionati per sopportare forti carichi sull'estremità d'albero lento
- pignone ultima riduzione con tre supporti (per grandezze \geq iC 57) per assicurare le migliori condizioni di ingranamento (nessuna ruota a sbalzo, massima rigidità e sovraccaricabilità, massima silenziosità);
- pignone prima riduzione calettato mediante interferenza e linguetta direttamente sull'estremità d'albero motore;
- ingranaggi cilindrici elicoidali e conici spirodali Gleason con profilo rettificato per la massima capacità di carico, regolarità di funzionamento e silenziosità;

- capacità di carico del rotismo calcolata a rottura e a pitting secondo gli standard ISO;
- lubrificazione a bagno d'olio; tutte le grandezze sono fornite complete di olio sintetico a base di poliglicoli (PAG), per lubrificazione a vita;
- tappi metallici (tappo di carico con valvola; tappo di scarico; tappo di livello);
- verniciatura: protezione esterna con smalto acrilico bicomponente all'acqua idonea a resistere ai normali ambienti industriali (classe di corrosività C3 ISO 12944-2); colore blu RAL 5010 DIN 1843; protezione interna con verniciatura idonea a resistere agli oli sintetici.

4.1.2 Motore elettrico trifase

Le dimensioni e le masse dei motoriduttori del presente catalogo sono riferite ai motori normali e autofrenanti del cat. TX.

Particolarità costruttive:

- motore compatto asincrono trifase, chiuso ventilato esternamente, con rotore a gabbia;
- protezione IP 55, classe isolamento F, sovratemperatura classe B;
- potenza resa in servizio continuo S1 e riferita a tensione e frequenza nominali, temperatura massima ambiente di 40 °C e altitudine di 1000 m;
- idoneità al funzionamento con inverter (dimensionamento elettromagnetico generoso, lamierino magnetico a basse perdite, separatori di fase in testata, ecc.);
- ampia disponibilità di esecuzioni per ogni esigenza: servoventilatore, servoventilatore ed encoder, ecc;
- verniciatura: protezione esterna con smalto acrilico bicomponente all'acqua, idonea a resistere ai normali ambienti industriali (classe di corrosività C3 ISO 12944-2), colore blu RAL 5010 DIN 1843.

Particolarità costruttive motore autofrenante:

- costruzione particolarmente robusta per sopportare le sollecitazioni di frenatura; massima silenziosità;
- freno elettromagnetico a molle alimentato in c.c.; alimentazione prelevata direttamente dalla morsettiera;
- possibilità di alimentazione separata del freno direttamente dalla linea;
- momento frenante proporzionato al momento torcente del motore (normalmente $M_f \approx 2 M_N$);
- possibilità di elevata frequenza di avviamento;
- rapidità e precisione di arresto;
- leva di sblocco manuale con ritorno automatico, asta della leva asportabile.

Per altre caratteristiche e dettagli vedere la documentazione specifica catalogo serie TX.

Normative specifiche per motori elettrici:

- potenze nominali e dimensioni secondo CENELEC HD 231 (IEC 72-1, CNR-CEI UNEL 13117-71 e 13118-71, DIN 42677, NF C 51-120, BS 5000-10 e BS 4999-141) per forme costruttive IM B5, IM B14 e derivate;
- caratteristiche nominali e di funzionamento secondo CENELEC EN 60034-1 (IEC 34-1, CEI EN 60034-1, DIN VDE 0530-1, NF C51-111, BS EN 60034-1);
- gradi di protezione secondo CENELEC EN 60034-5 (IEC 34-5, CEI 2-16, DIN EN 60034-5, NF C51-115, BS 4999-105);
- forme costruttive secondo CENELEC EN 60034-7 (IEC 34-7, CEI EN 60034-7, DIN IEC 34-7, NF C51-117, BS EN 60034-7);
- livelli sonori secondo CENELEC 60034-9 (IEC 34.9, DIN 57530 pt. 9);
- equilibratura a velocità di vibrazione (grado di vibrazione normale N) secondo CENELEC HD 53.14 S1 (IEC 34-14, ISO 2373 CEI 2-23, BS 4999-142); i motori sono equilibrati con mezza linguetta nella sporgenza dell'albero;
- raffreddamento secondo CENELEC EN 60034-6 (CEI 2-7, IEC 34-6): tipo standard IC 411; tipo IC 416 per esecuzione speciale con servoventilatore assiale.



4.2.1 Temperatura ambiente di funzionamento

Riduttori

I riduttori sono idonei per il funzionamento con temperatura ambiente compresa nell'intervallo 0 °C / +40 °C (con punte fino a -20 °C / +50 °C).

Il funzionamento al di fuori di questo campo, con un minimo di -40 °C e un massimo di +60 °C, deve essere valutato in relazione alle condizioni operative specifiche, al tipo di servizio, al tipo di lubrificante, al tipo di tenute e al sistema di raffreddamento / riscaldamento (ove possibile); contattare Rossi S.p.A.

I dati di catalogo sono riferiti a una temperatura ambiente di funzionamento di 25 °C (vedere pag. 53 e 54).

Motori

I motori della serie HB sono idonei al funzionamento con temperatura ambiente compresa nell'intervallo -15 °C / +40 °C. Il funzionamento al di fuori di questo campo è possibile previa adozione di alcuni accorgimenti: contattare Rossi S.p.A.

Per azionamenti con inverter, occorre tenere in considerazione i maggiori stress termici a cui possono essere sottoposti gli avvolgimenti motore.

Se necessario, contattare Rossi S.p.A.

4.2.2 Altitudine di installazione

L'altitudine di installazione ha effetti sull'efficacia dello smaltimento del calore per convezione; la capacità di smaltimento del calore diminuisce all'aumentare della quota di installazione.

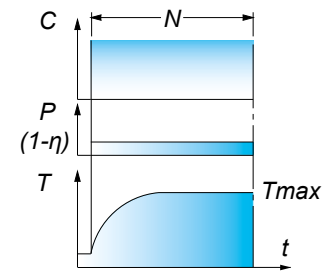
I dati di catalogo sono riferiti a una altitudine massima di 1000 m.

4.2.3 Tipo di servizio di funzionamento

Servizio di durata continua (S1)

Funzionamento a carico costante per una durata di tempo sufficiente al raggiungimento dell'equilibrio termico.

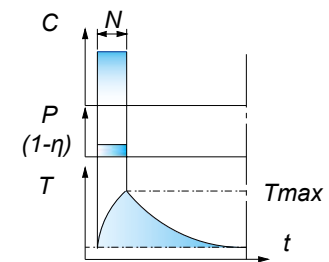
Sigla S1



Servizio di durata limitata (S2)

Funzionamento a carico costante per una durata determinata, minore di quella necessaria per raggiungere l'equilibrio termico, seguito da un tempo di riposo di durata sufficiente a ristabilire nel motore la temperatura ambiente.

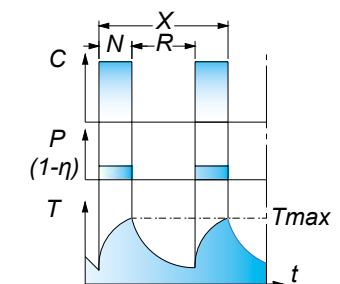
Sigla S2 + tempo N (minimo)



Servizio intermittente periodico (S3)

Funzionamento secondo una serie di cicli identici, ciascuno comprendente un tempo di funzionamento a carico costante e un tempo di riposo. Inoltre in questo servizio le punte di corrente all'avviamento non devono influenzare il riscaldamento del motore in modo sensibile.

Sigla S3 + rapporto d'intermittenza



Rapporto di intermittenza = $N/(N+R) \cdot 100$ [%]

dove

N = tempo di funzionamento a carico costante

R = tempo di riposo

Per valori di $N+R > 10$ min contattare Rossi S.p.A.

Per servizi di tipo S2 S10 è possibile incrementare la potenza del motore secondo la tabella seguente; il momento torcente di spunto resta invariato.

Servizio		Grandezza motore			
		63 ... 90	100 ... 132	160 ... 315	
S2	durata del servizio	90 min	1	1	1,06
		60 min	1	1,06	1,12
		30 min	1,25	1,18	1,25
		10 min	1,25	1,25	1,32
S3	rapporto di intermittenza	60%	1,12		
		40%	1,18		
		25%	1,25		
		15%	1,32		
S4 ... S10		Contattare Rossi S.p.A.			

4.2.4 Frequenza a 60 Hz

I motori **normali** fino alla grandezza 132 avvolti a 50 Hz possono essere alimentati a 60 Hz, tenendo conto della variazione delle caratteristiche nominali, vedere la documentazione specifica catalogo serie TX.

4.2.5 Velocità

Le velocità di rotazione dell'asse lento dei motoriduttori indicate a catalogo sono determinate in base alla velocità nominale del motore HB in condizioni nominali di funzionamento e al rapporto di trasmissione del riduttore.

L'effettiva velocità può discostarsi da tale valore in relazione al carico, alle effettive condizioni operative e al sistema di alimentazione.

4.2.6 Livelli sonori

I livelli normali di emissione di potenza sonora L_{WA} per i motoriduttori del presente catalogo, in servizio a carico e velocità nominali, sono conformi ai limiti previsti da VDI 2159 per la parte riduttore e da EN 60034 per la parte motore.

4.2.7 Accessibilità e dissipazione del calore

Collocare il motoriduttore in modo da garantire un ampio passaggio d'aria per il raffreddamento del riduttore e del motore (soprattutto dal lato ventola motore).

Evitare: strozzature nei passaggi dell'aria; vicinanza con fonti di calore che possano influenzare la temperatura dell'aria di raffreddamento; insufficiente ricircolazione d'aria e in generale applicazioni che compromettano il regolare smaltimento del calore. Prevedere inoltre un adeguato distanziamento o schermatura dei componenti sensibili al calore (motore, freno, motoinverter, componenti elettronici, ecc.) dalle superfici calde della macchina azionata e garantire uno spazio adeguato per l'accessibilità per le operazioni di manutenzione.

4.2.8 Pesì

I pesi indicati a catalogo sono riferiti ai motoriduttori senza olio lubrificante.

I pesi effettivi possono variare in relazione alla grandezza, al rotismo, al rapporto di trasmissione, al motore e alla eventuale presenza di accessori o di esecuzioni speciali.

4.2.9 Gioco ridotto

E' possibile fornire il motoriduttore in esecuzione con gioco angolare ridotto per grandezze \geq iC 37 e \geq iO 373. I valori sono indicati al paragrafo 9.2 nelle "Tabelle di accoppiamento geometrico" e sono riferiti all'asse lento con asse veloce bloccato.

Sono validi in assenza di carichi applicati (max 0,01 del carico nominale del riduttore), con riduttore a temperatura ambiente (25 °C) e sono soggetti a una tolleranza di ± 2 arc min.

Se il valore non è specificato, l'opzione gioco ridotto non è fornibile.

4.2.10 Tenute albero lento

Per condizioni ambientali aggressive o condizioni operative particolarmente severe è disponibile l'opzione "Anelli di tenuta (riduttore e motore) in mescola fluorata".

Per i riduttori grand. \geq iC 37 con flangia e grand. \geq iO 473 con flangia e albero integrale è possibile l'opzione «Doppia tenuta asse lento».

4.3

Protezione delle superfici

I motoriduttori sono protetti esternamente con verniciatura con smalto acrilico bicomponente all'acqua, idonea a resistere ai normali ambienti industriali (classe di corrosività C3 ISO 12944-2, colore blu RAL 5010). Altre verniciature e gradi di protezione sono disponibili a richiesta come da tabella sotto.

Campo d'utilizzo	Caratteristiche	Classe di corrosività ISO 12944-2	Classe di durabilità ISO 12944-2	Descrizione trattamento	Spessore trattamento µm	Codice
Applicazioni in ambienti aggressivi	Buona resistenza agli agenti atmosferici e aggressivi	C4	Bassa	1) Fondo epossidico bicomponente 2) Smalto poliuretano bicomponente all'acqua con resine acriliche poliuretaniche	150	1HRAL5010 (blu)
			Media	1) Fondo epossidico bicomponente (nr. 2 strati) 2) Smalto poliuretano bicomponente all'acqua con resine acriliche poliuretaniche	200	2HRAL5010 (blu)
			Alta	1) Fondo epossidico bicomponente (nr. 4 strati) 2) Smalto poliuretano bicomponente all'acqua con resine acriliche poliuretaniche	300	3HRAL5010 (blu)
Applicazioni all'esterno in ambiente salino	Ottima resistenza agli agenti atmosferici e aggressivi Applicazioni all'esterno in ambiente salino	C5 - M	Media	1) Sabbiatura 2) Fondo antiruggine bicomponente ai fosfati di zinco 3) Fondo epossidico bicomponente 4) Smalto poliuretano bicomponente all'acqua con resine acriliche poliuretaniche	300	2IRAL5010 (blu) 1)
			Alta	1) Sabbiatura 2) Fondo antiruggine bicomponente ai fosfati di zinco 3) Sigillatura con sigillante poliuretano 4) Fondo epossidico bicomponente 5) Smalto poliuretano bicomponente con resine acriliche poliuretaniche	400	2KRAL5010 (blu) 1) 2)
Applicazioni all'esterno in ambiente chimicamente aggressivo e in aree industriali a elevata umidità	Ottima resistenza agli agenti atmosferici e aggressivi Applicazioni all'esterno in ambiente chimicamente aggressivo (fertilizzanti, ecc)	C5 - I	Media	1) Sabbiatura 2) Fondo antiruggine bicomponente ai fosfati di zinco 3) Fondo epossidico bicomponente 4) Smalto bicomponente idrosolubile con resine epossidiche	300	2LRAL5010 (blu) 1)
			Alta	1) Sabbiatura 2) Fondo antiruggine bicomponente ai fosfati di zinco 3) Sigillatura con sigillante poliuretano 4) Smalto epossidico bicomponente 5) Smalto bicomponente idrosolubile con resine epossidiche	400	2YRAL5010 (blu) 1) 2)

¹⁾ Disponibile per grandezze ≥ 47 .

²⁾ Non disponibile sui motori.

Immagazzinamento e stoccaggio

I motoriduttori Rossi S.p.A. devono essere immagazzinati in un ambiente chiuso dove siano protetti dall'irraggiamento solare e dagli agenti corrosivi.

L'ambiente deve essere sufficientemente pulito, asciutto (umidità relativa < 50 %), esente da vibrazioni ($v_{eff} \leq 0,2$ mm/s) per preservare i cuscinetti da danneggiamenti.

La temperatura ambiente deve essere compresa tra 0 e 40 °C; sono ammesse punte fino a ± 10 °C.

Per condizioni ambientali diverse, contattare Rossi S.p.A.

I riduttori e motoriduttori devono essere posizionati secondo la posizione di montaggio dichiarata nell'ordine e sulla targa identificativa. **Non impilare le unità.**

Non allentare per nessun motivo i tappi chiusi né attivare il tappo di sfiato prima della messa in servizio.

Per periodi di immagazzinamento da 12 fino a 24 mesi si consiglia di richiedere l'opzione "Long term storage" che prevede:

- fornitura del riduttore senza riempimento olio;
- protezione del volume interno del riduttore mediante applicazione di lubrificante VCI;
- l'applicazione su tutte le parti esterne non verniciate (alberi, piedi, flange), inclusi componenti zincati (viti, dadi rondelle, golfari, ecc.), di uno strato di olio speciale anticorrosivo;
- l'applicazione etichetta adesiva specifica del tipo di trattamento di protezione;
- l'imballaggio con sacco VCI sigillato.

Per periodi superiori contattare Rossi S.p.A.

5

Designazione

Indice di sezione

5.1	Codifica	36
5.1.1	Designazione motoriduttore coassiale - iC	36
5.1.2	Designazione motoriduttore ortogonale - iO	38
5.1.3	Esecuzione e lato macchina - iO	39
5.1.4	Designazione motore	40
5.1.5	Posizione morsettiera motore	40
5.1.6	Codifica opzioni riduttore	41
5.1.7	Codifica opzioni motore	41
5.1.8	Esempi di designazione motoriduttore coassiale - iC	42
5.1.9	Esempi di designazione motoriduttore ortogonale - iO	43
5.2	Dati di targa	44
5.2.1	Targa riduttore	44
5.2.2	Targa motore	44

pagina lasciata intenzionalmente vuota

5.1.2 Designazione motoriduttore ortogonale iO

iO 6 7 3 FE 7,28 B3 HD B F625										B16D AB16BI063	
Serie	Grandezza riduttore	Modello	Rotismo	Esecuzione	Rapporto di trasmissione	Forma costruttiva riduttore	Albero lento	Lato ¹⁾ macchina	Flangia uscita	Forma costruttiva motore compatto Codice adattatore motore	
iO Riduttori ortogonali iFIT	3 4 5 6 7 8 9	7	3 Stadi riduzione	PE Esecuzione metrica con piedi FE Esecuzione metrica con flangia SE Esecuzione metrica pendolare 	riduttore 5,36 6,37 7,28 ... 	B3 B6 B7 B8 V5 V6 	S Integrale SS Bisporgente H cavo con linguetta HB cavo con unità di bloccaggio HD cavo differenziato con unità di bloccaggio 	A B		motore	
										IEC AB12BI063 AB12BI071 ... AB30MI200 AB12BN056 AB12CN143 ... AB30MN324 NEMA F316 F214 B12B ... B30M 	

configurazione con adattatore e motore standard IEC

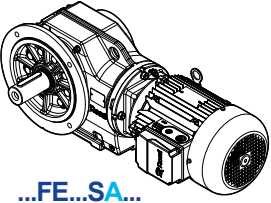
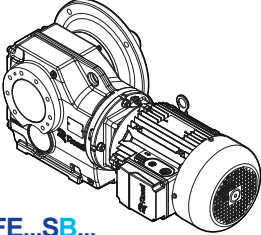
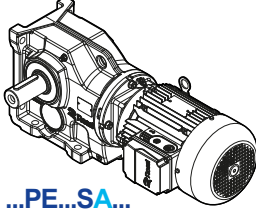
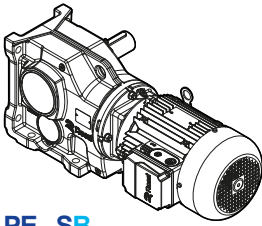
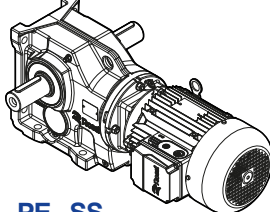
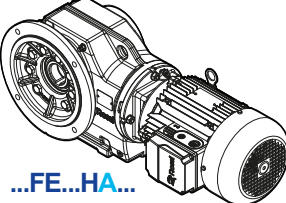
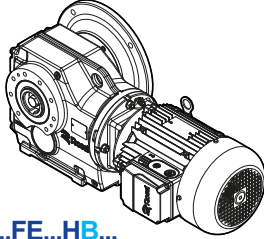
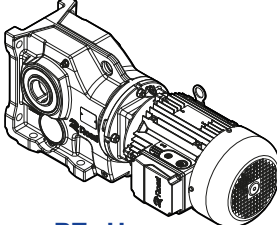
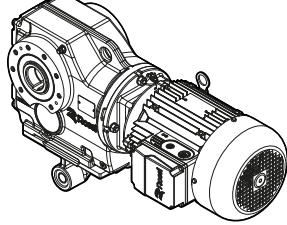
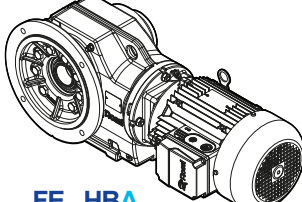
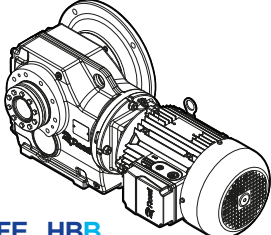
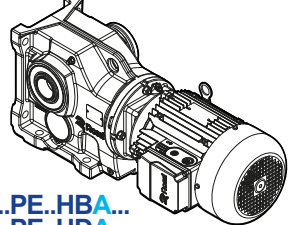
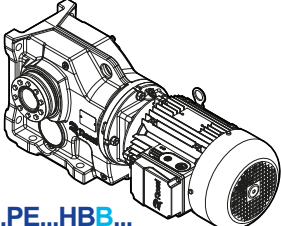
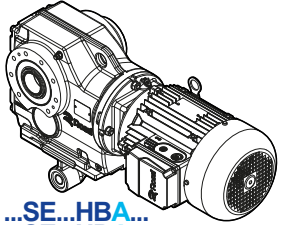
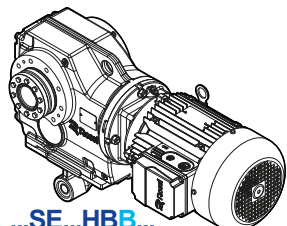
UTC 2534

configurazione con motore compatto

UTC 2535

¹⁾ campo da non compilarsi per esecuzione "PE" ed "SE" con alberi "H" o "SS"

5.1.3 Esecuzione e lato macchina iO

	Esecuzione con flangia	Esecuzione con piede	Esecuzione pendolare
Albero integrale	 <p>...FE...SA...</p>  <p>...FE...SB...</p>	 <p>...PE...SA...</p>  <p>...PE...SB...</p>	<p>—</p>
Albero bisorgente	<p>—</p>	 <p>...PE...SS...</p>	<p>—</p>
Albero cavo	 <p>...FE...HA...</p>  <p>...FE...HB...</p>	 <p>...PE...H...</p>	 <p>...SE...H...</p>
Albero cavo con unità di bloccaggio	 <p>...FE...HBA... ...FE...HDA...</p>  <p>...FE...HBB... ...FE...HDB...</p>	 <p>...PE...HBA... ...PE...HDA...</p>  <p>...PE...HBB... ...PE...HDB...</p>	 <p>...SE...HBA... ...SE...HDA...</p>  <p>...SE...HBB... ...SE...HDB...</p>

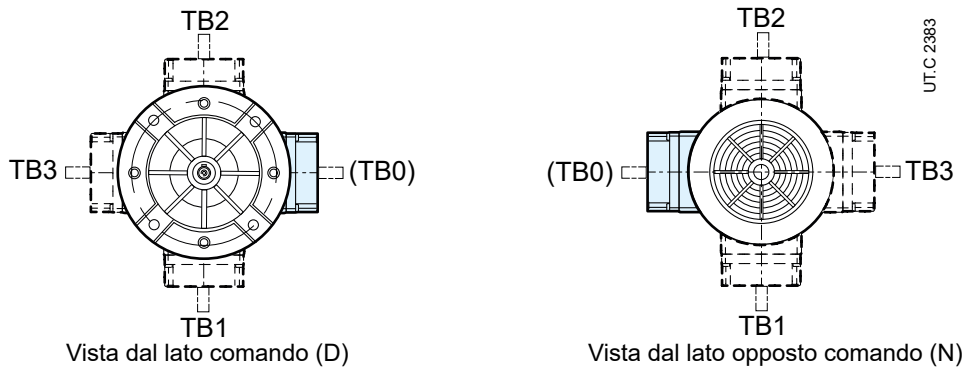
UT.C.2536

5.1.4 Designazione motore

HB	3	Z	90S	-	4	230.400	50	-	B16D	-	TB2 ⁽¹⁾
----	---	---	-----	---	---	---------	----	---	------	---	--------------------

Serie	Classe energetica	Freno integrato	Grandezza motore	N. poli	Tensione alimentazione	Frequenza alimentazione	Forma costruttiva motore		Posizione scatola morsettiera
							compatto	IEC	
HB	2 efficienza IE2	-	63A	2	230.400	50	B12B	B5	TB1
		Z	63B	4	400	60	...		TB2
	3 efficienza IE3		71B	6	...		B30C		TB3
			...						

5.1.5 Posizione scatola morsettiera motore



Completare la designazione del motore con l'indicazione della posizione della scatola morsettiera motore se diversa da quella standard prevista TB0 (vedere anche pag. 64,65 per coassiali iC e pag. 66,67,68 per ortogonali iO).

La leva di sblocco (per motore autofrenante) segue la posizione della scatola morsettiera.

L'entrata cavi è a cura dell'Acquirente: la scatola morsettiera è solidale con la carcassa motore ed è dotata di accesso cavi bilaterale a frattura prestabilita (uno per il cavo di potenza e uno per i dispositivi ausiliari).

⁽¹⁾ Per la posizione morsettiera standard TB0, non è necessaria alcuna indicazione in designazione motore.

5.1.6 Codifica opzioni riduttore

Rif.	Descrizione	Codice	Grandezze riduttore	
			iC	iO
(1)	Sopportazione rinforzata asse lento	SP2	≥ iC 47...	≥ iO 473 H, HB, HD
(2)	Doppia tenuta asse lento (solo per esecuzione con flangia)	DT2	≥ iC 37...FE	≥ iO 473 FE...S
(3)	Anelli di tenuta (riduttore e motore) in mescola fluorata	TV2	tutte	tutte
(4)	Ciclo di verniciatura (riduttore e motore) speciale	pag. 32	tutte	tutte
(5)	Gioco ridotto	GR	pag. 31	pag. 31
(6)	Forma costruttiva universale	BX	tutte	tutte
(7)	Targa di acciaio inossidabile (riduttore e motore)	NP316	tutte	tutte
(9)	Predisposizione per "stoccaggio lungo termine"	LS	tutte	tutte
(10)	Posizione scatola morsettiera diversa da TB0	TB1, TB2, TB3	tutte	tutte
(11)	Braccio di reazione	TA	–	SE
(12)	Rosetta albero lento cavo	R	–	H

5.1.7 Codifica opzioni motore

Rif.	Descrizione	Codice	HB	HBZ
(1)	Alimentazione speciale motore	–	•	•
(3)	Classe isolamento H	,H	•	•
(8)	Fori scarico condensa	,CD	•	•
(9)	Impregnazione supplementare avvolgimenti	,SP	•	•
(13)	Scaldiglia anticondensa	,S	•	•
(16)	Seconda estremità d'albero	,AA	•	•
(17)	Servoventilatore assiale	,V ...	•	•
(18)	Servoventilatore assiale ed encoder	,V ... ,E...	•	•
(19)	Sonde termiche a termistori (PTC)	,T15 ,T17	•	•
(20)	Sonde termiche bimetalliche	,B15 ,B17	•	•
(21)	Tettuccio parapiovvia	,PP	•	•
(25)	Posizione leva di sblocco manuale diversa dalla posizione standard (L)	,L1 ,L2 ,L3	–	•
(26)	Alimentazione separata freno c.c.	...	–	•
(35)	Ventola di lega leggera	,VL	•	•
(36)	Encoder	,E1 ... ,E5	•	•
(42)	Motore certificato a norma UL	,UL	•	•
(47)	Esecuzione per ambiente umido e corrosivo, disco e bulloneria freno inossidabile	,UC ,DB	– –	• •
(48)	Protezione IP 56	,IP 56	–	•
(49)	Protezione IP 65	,IP 65	–	•
(51)	Esecuzione rinforzata per alimentazione da inverter (grand. 160 ... 200)	,IR	•	•
(61)	Rotazione manuale	,MM	–	•
(62)	Predisposizione per encoder	,PE	•	•
(63)	Servoventilatore assiale e predisposizione per encoder	,V... ,PE	•	•
(64)	Protezione IP 66	,IP 66	•	–

Per una descrizione completa delle opzioni motore vedere cat. TX motori serie HB.

5.1.8 Esempi di designazione motoriduttore coassiale iC

Esempio 1: motoriduttore coassiale compatto

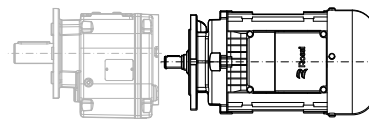
iC	4	7	3	FE	-	34,73	-	B3	-	F416	-	B16D
----	---	---	---	----	---	-------	---	----	---	------	---	------

- motoriduttore coassiale grandezza iC 47
- 3 stadi di riduzione
- esecuzione con flangia
- albero metrico
- rapporto di trasmissione 34,73
- forma costruttiva riduttore B3
- flangia di uscita F416
- motore compatto con forma costruttiva B16D

Segue designazione di motore compatto compatibile con il riduttore sopra codificato

HB	3	Z	90S	-	4	230.400	50	-	B16D	-	TB2
----	---	---	-----	---	---	---------	----	---	------	---	-----

- motore tipo HB, con efficienza IE3, autofrenante
- grandezza motore 90S
- numero di poli 4
- tensione d'alimentazione 230-400 V a 50 Hz
- motore compatto con forma costruttiva B16D
- posizione scatola morsettieria in TB2



UT.C 2382

Esempio 2: motoriduttore coassiale con adattatore IEC

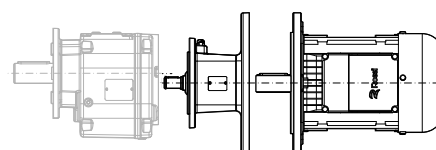
iC	4	7	3	FE	-	34,73	-	B3	-	F416	-	AB16DI090
----	---	---	---	----	---	-------	---	----	---	------	---	-----------

- motoriduttore coassiale grandezza iC 47
- 3 stadi di riduzione
- esecuzione con flangia
- albero metrico
- rapporto di trasmissione 34,73
- forma costruttiva riduttore B3
- flangia di uscita F416
- motore standard IEC con adattatore AB16DI090

Segue designazione di motore IEC compatibile con il riduttore sopra codificato

HB	3	Z	90S	-	4	230.400	50	-	B5	-	TB2
----	---	---	-----	---	---	---------	----	---	----	---	-----

- motore tipo HB, con efficienza IE3, autofrenante
- grandezza motore 90S
- numero di poli 4
- tensione d'alimentazione 230-400 V a 50 Hz
- forma costruttiva motore IEC B5
- posizione scatola morsettieria in TB2



UT.C 2381

5.1.9 Esempi di designazione motoriduttore ortogonale iO

Esempio 1: motoriduttore ortogonale compatto

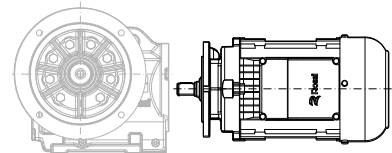
iO	5	7	3	FE	-	19,34	-	B3	-	SA	-	F525	-	B16D
----	---	---	---	----	---	-------	---	----	---	----	---	------	---	------

- motoriduttore ortogonale grandezza iO 57
- 3 stadi di riduzione
- esecuzione con flangia
- albero metrico
- rapporto di trasmissione 19,34
- forma costruttiva riduttore B3
- albero lento integrale S in posizione A
- flangia di uscita F525
- motore compatto con forma costruttiva B16D

Segue designazione di motore compatto compatibile con il riduttore sopra codificato

HB	3	Z	90S	-	4	230.400	50	-	B16D	-	TB2
----	---	---	-----	---	---	---------	----	---	------	---	-----

- motore tipo HB, con efficienza IE3, autofrenante
- grandezza motore 90S
- numero di poli 4
- tensione d'alimentazione 230-400 V a 50 Hz
- motore compatto con forma costruttiva B16D
- posizione scatola morsetteria in TB2



UT.C 2535

Esempio 2: motoriduttore ortogonale con adattatore IEC

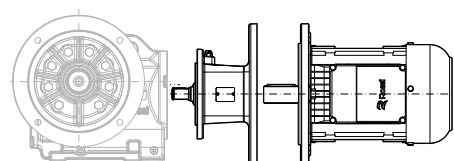
iO	4	7	3	SE	-	19,58	-	B3	-	HBB	-	AB16DI090
----	---	---	---	----	---	-------	---	----	---	-----	---	-----------

- motoriduttore ortogonale grandezza iO 47
- 3 stadi di riduzione
- esecuzione pendolare
- albero metrico
- rapporto di trasmissione 19,58
- forma costruttiva riduttore B3
- albero lento cavo con unità di bloccaggio HB in posizione B
- motore standard IEC con adattatore AB16DI090

Segue designazione di motore IEC compatibile con il riduttore sopra codificato

HB	3	Z	90S	-	4	230.400	50	-	B5	-	TB2
----	---	---	-----	---	---	---------	----	---	----	---	-----

- motore tipo HB, con efficienza IE3, autofrenante
- grandezza motore 90S
- numero di poli 4
- tensione d'alimentazione 230-400 V a 50 Hz
- forma costruttiva motore IEC B5
- posizione scatola morsetteria in TB2



UT.C 2534

5.2

Dati di targa

5.2.1 Targa riduttore

Il riduttore è dotato di una propria targa di alluminio anodizzato, contenente le principali informazioni tecniche necessarie per una corretta identificazione.

La targa non deve essere rimossa, e deve essere mantenuta integra e leggibile.

Tutti i dati riportati nella targa devono essere specificati per eventuali ordini di parti di ricambio.

Rossi S.p.A.
Via Emilia Ovest, 915/A
41123 Modena (MO) - Italy
Made in Italy - www.rossi.com

Type (1)
 i (2) Date (3)
 M.P. (4)
 Code (5)
 S.N. (6)
 WA (7)
 ITEM (8)

- (1) Tipo di riduttore
- (2) Rapporto di trasmissione
- (3) Data di produzione
- (4) Forma costruttiva riduttore
- (5) Codice prodotto
- (6) Numero di serie
- (7) Lotto di produzione
- (8) Codice cliente ⁽¹⁾

5.2.2 Targa motore

Il motore è dotato di una propria targa di alluminio anodizzato, contenente le principali informazioni tecniche necessarie per una corretta identificazione dello stesso.

La targa non deve essere rimossa, e deve essere mantenuta integra e leggibile.

Tutti i dati riportati nella targa devono essere specificati per eventuali ordini di parti di ricambio.

Rossi IEC 60034-1 IE3 CE

MOT. (1)~ (9)	(2) (3) (4) (5)	IP (6)	AMB. (7)	IC (8)
(14) (15)	Brake N/m	kg (11)	I.CL. (12)	S (13)
DE/NDE (16)		(18)		
(17)	(19) V (19)	% (21)	Hz (22)	% (23)
(20)	(24)	(25)	(26)	(27)
(28)	(29)			

- (1) Numero delle fasi
- (2) Tipo motore
- (3) Grandezza
- (4) Numero poli
- (5) Designazione forma costruttiva
- (6) Protezione IP
- (7) Temperatura ambiente massima
- (8) Codice IC
- (9) Lotto di produzione
- (10) Bimestre, anno di produzione e N° di serie
- (11) Massa del motore
- (12) Classe di isolamento I.CL
- (13) Servizio S...
- (14) Codice motore
- (15) Codice cliente ⁽¹⁾
- (16) Cuscinetti
- (17) Eventuale nota aggiuntiva
- (18) Eventuale nota aggiuntiva
- (19) Collegamento delle fasi
- (20) Tensione nominale
- (21) Tolleranza tensione
- (22) Frequenza nominale
- (23) Tolleranza frequenza
- (24) Corrente nominale
- (25) Potenza nominale
- (26) Velocità nominale
- (27) Fattore di potenza nominale
- (28) Rendimento nominale IEC 60034-2-1
- (29) Design - codice

⁽¹⁾A richiesta

MOT. (1)~ (9)	(2) (3) (10)	(4) (5) (10)	IP (6)	AMB. (7)	IC (8)
(14) (15)	Freno Brake (30)	Nm (31)	V~/Hz (32)	A (33)	### (34) V= (35)
DE/NDE (16)		(17)		(18)	
(19) V (19)	% (21)	Hz (22)	% (23)	A (24)	kW (25)
(20)					min ⁻¹ (26)
				cos φ (27)	
(28)					
(29)					

HBZ

- | | |
|---|--|
| (1) Numero delle fasi | (19) Collegamento delle fasi |
| (2) Tipo motore | (20) Tensione nominale |
| (3) Grandezza | (21) Tolleranza tensione |
| (4) Numero poli | (22) Frequenza nominale |
| (5) Designazione forma costruttiva | (23) Tolleranza frequenza |
| (6) Protezione IP | (24) Corrente nominale |
| (7) Temperatura ambiente massima | (25) Potenza nominale |
| (8) Codice IC | (26) Velocità nominale |
| (9) Lotto di produzione | (27) Fattore di potenza nominale |
| (10) Bimestre, anno di produzione e N° di serie | (28) Rendimento nominale IEC 60034-2-1 |
| (11) Massa del motore | (29) Design - codice |
| (12) Classe di isolamento I.CL | (30) Grandezza freno |
| (13) Servizio S... | (31) Momento frenante freno |
| (14) Codice motore | (32) Alimentazione del raddrizzatore |
| (15) Codice cliente ⁽¹⁾ | (33) Corrente assorbita dal freno |
| (16) Cuscinetti | (34) Sigla raddrizzatore |
| (17) Eventuale nota aggiuntiva | (35) Tensione nominale c.c. di alimentazione freno |
| (18) Eventuale nota aggiuntiva | |

⁽¹⁾ A richiesta

Project Planning

Indice di sezione

6.1	Selezione	48
6.1.1	Dati per la selezione	48
6.1.2	Selezione grandezza del motoriduttore	48
6.1.3	Verifiche	49
6.1.4	Sovraccarichi in avviamento e arresto	49
6.1.5	Funzionamento con motore autofrenante	50
6.1.6	Considerazioni sulla potenza motore	50
6.2	Fattore di servizio	51
6.3	Rendimento	52
6.4	Potenza termica	53
6.5	Carichi radiali sull'estremità d'albero lento	55
6.5.1	Generalità	55
6.5.2	Determinazione del carico radiale applicato	55
6.5.3	Carico radiale ammissibile	55
6.5.4	Carico assiale ammissibile	56
6.5.5	Carico radiale non in mezzzeria	56

6.1

Selezione

6.1.1 Dati per la selezione

Per una corretta selezione del motoriduttore e dell'azionamento è necessario disporre delle seguenti informazioni relative all'applicazione da realizzare

Simboli	Descrizione	Unità di misura SI
n_{2min}	velocità di rotazione minima richiesta all'albero lento	[min ⁻¹]
n_{2max}	velocità di rotazione massima richiesta all'albero lento	[min ⁻¹]
$P_{2-n2 min}$	potenza richiesta all'albero lento alla velocità minima	[kW]
$P_{2-n2 max}$	potenza richiesta all'albero lento alla velocità massima	[kW]
$M_{2-n2 min}$	momento torcente richiesto all'albero lento alla velocità minima	[N m]
$M_{2-n2 max}$	momento torcente richiesto all'albero lento alla velocità massima	[N m]
F_{a2}	carichi assiali sull'albero lento	[N]
F_{r2}	carichi radiali sull'albero lento	[N]
J	momento d'inerzia (di massa) esterno (giunti, macchina azionata)	[kg m ²]
T_{amb}	temperatura ambiente (massima e minima)	[°C]
H	altitudine di installazione	[m]
$S1, S2, \dots$	tipo di servizio	[%]
z	numero di avviamenti orari	[avv/h]
f	frequenza di alimentazione	[Hz]
U_{mot}	tensione di alimentazione motore	[V]
U_f	tensione di alimentazione freno	[V]
M_f	momento frenante del freno	[N m]
B3 ... V6	forma costruttiva del motoriduttore	

6.1.2 Selezione grandezza del motoriduttore

Al fine di selezionare la grandezza del motoriduttore più idonea per l'applicazione, occorre:

- disporre dei dati necessari come indicato al paragrafo precedente:
 - potenza P_2 richiesta all'uscita del motoriduttore,
 - velocità angolare n_2 ,
 - condizioni di funzionamento (natura del carico, durata, frequenza di avviamento z , altre considerazioni).
- determinare il fattore di servizio f_s in base alle condizioni di funzionamento (pag. 52).
- scegliere la grandezza motoriduttore in base a:
 - n_2
 - f_s
 - potenza P_1 uguale o maggiore a P_2

Se la potenza P_2 richiesta è il risultato di un calcolo preciso, la scelta del motoriduttore va fatta in base ad una potenza P_1 uguale o maggiore a P_2 / η , dove $\eta = 0,97 \div 0,98$ è il rendimento del riduttore (pag. 52).

Quando, per motivi di normalizzazione del motore, la potenza disponibile a catalogo P_1 è molto maggiore di P_2 richiesta, il motoriduttore può essere scelto in base a un fattore di servizio minore solamente se è certo che la maggior potenza disponibile non sarà mai richiesta e la frequenza di avviamento z è talmente bassa da non influire sul fattore di servizio (pag. 52).

I calcoli possono essere effettuati in base ai momenti torcenti, anziché alle potenze (per bassi valori di n_2 , anzi è preferibile).

6.1.3 Verifiche

- Verificare l'eventuale carico radiale F_{r2} secondo le istruzioni di pagg. 55 e 56.
- Verificare, per il motore, la frequenza di avviamento z quando è superiore a quella normalmente ammessa, secondo le istruzioni e i valori del cap. 2 cat. TX; normalmente questa verifica è richiesta solo per motori autofrenanti.
- Quando si dispone del diagramma di carico e/o si hanno sovraccarichi – dovuti ad avviamenti a pieno carico (specialmente per elevate inerzie e bassi rapporti di trasmissione), frenature, urti, casi in cui l'asse lento riduttore diventa motore per effetto delle inerzie della macchina azionata, potenza applicata superiore a quella strettamente richiesta, altre cause statiche o dinamiche – verificare che il massimo picco di momento torcente sia sempre inferiore a $1,6 \cdot M_{N2}$ (dove $M_{N2} = M_2 \cdot fs$).
Se superiore o non valutabile installare, nei suddetti casi, dispositivi di sicurezza in modo da **non superare mai** $1,6 \cdot M_{N2}$.

6.1.4 Sovraccarichi in avviamento e arresto

Momento torcente di avviamento (spunto)

Quando l'avviamento è a pieno carico (specialmente in caso di elevate inerzie e bassi rapporti di trasmissione), verificare che il momento torcente di spunto $M_{2\text{ spunto}}$ risulti:

$$M_{2\text{ spunto}} = \left(\frac{M_{\text{spunto}}}{M_N} \cdot M_{2\text{ disponibile}} - M_{2\text{ richiesto}} \right) \cdot \frac{J_1}{J_1 + J_0} + M_{2\text{ richiesto}} < 1,6 \cdot M_{N2}$$

dove

- $M_{2\text{ richiesto}}$ è il momento torcente assorbito dalla macchina per lavoro e attriti;
- $M_{2\text{ disponibile}}$ è il momento torcente in uscita dovuto alla potenza nominale del motore;
- J_0 è il momento d'inerzia (di massa) del motore;
- J_1 è il momento d'inerzia (di massa) esterno (riduttore, giunti, macchina azionata) in $\text{kg} \cdot \text{m}^2$ riferito all'asse del motore
 $J_1 = J / i^2$;

Quando si vuole verificare che il momento torcente di spunto sia sufficientemente elevato per l'avviamento considerare, nella valutazione di $M_{2\text{ richiesto}}$, eventuali attriti di primo distacco.

Momento torcente di arresto (frenatura)

In caso di **arresti di macchine con elevata energia cinetica** (elevati momenti d'inerzia con elevate velocità) e di **utilizzo di motori autofrenanti**, risulta necessario verificare la sollecitazione di frenatura mediante la seguente formula:

$$\left(\frac{M_f}{\eta} \cdot i + M_{2\text{ richiesto}} \right) \cdot \frac{J_1}{J_1 + J_0} + M_{2\text{ richiesto}} < 1,6 \cdot M_{N2}$$

dove

- M_f è il momento frenante di taratura (vedere tabella pag. 218);
- η è il rendimento;
- i è il rapporto di trasmissione;
- J_0 è il momento d'inerzia (di massa) del motore;
- J_1 è il momento d'inerzia (di massa) esterno (riduttore, giunti, macchina azionata) in $\text{kg} \cdot \text{m}^2$ riferito all'asse del motore
 $J_1 = J / i^2$;

Attenzione:

quando non è possibile valutarli, inserire dispositivi di sicurezza in modo da non superare mai il valore di $M_{2\text{max}} = 1,6 \cdot M_{N2}$.

6.1.5 Funzionamento con motore autofrenante

Tempo di avviamento t_a e angolo di rotazione dell'albero motore φ_{a1}

$$t_a = \frac{(J_0 + J_1) \cdot n_1}{9,55 \cdot \left(M_{spunto} - \frac{M_{2\text{ richiesto}}}{i} \right)} \quad [\text{s}] \qquad \varphi_{a1} = \frac{t_a \cdot n_1}{19,1} \quad [\text{rad}]$$

Tempo di frenatura t_f e angolo di rotazione dell'albero motore φ_{f1}

$$t_f = \frac{(J_0 + J_1) \cdot n_1}{9,55 \cdot \left(M_f + \frac{M_{2\text{ richiesto}}}{i} \right)} \quad [\text{s}] \qquad \varphi_{f1} = \frac{t_f \cdot n_1}{19,1} \quad [\text{rad}]$$

dove:

- M_{spunto} è il momento torcente di spunto del motore $\left(\frac{9550 \cdot P_1}{n_1} \cdot \frac{M_{spunto}}{M_N} \right)$
- M_f è il momento frenante di taratura del motore (vedere pag. 218)
- φ_{a1} è l'angolo di rotazione che compie l'albero motore durante il tempo di avviamento t_a (vedere pag. 218)
- φ_{f1} è l'angolo di rotazione che compie l'albero motore durante il tempo di frenatura t_f (vedere pag. 218)
- J_0 è il momento d'inerzia (di massa) del motore;
- J_1 è il momento d'inerzia (di massa) esterno (riduttore, giunti, macchina azionata) in $\text{kg} \cdot \text{m}^2$ riferito all'asse del motore;

Per altri simboli consultare la simbologia pag 20 e tab. pag. 48.

La ripetitività di frenatura al variare della temperatura del freno e dello stato di usura della guarnizione di attrito è, entro i limiti del traferro e dell'umidità ambiente e con adeguata apparecchiatura elettrica, circa $0,1 \cdot \varphi_{f1}$.

6.1.6 Considerazioni sulla potenza motore

La potenza del motore, considerato il rendimento del riduttore e di eventuali altre trasmissioni, deve essere il più possibile uguale alla potenza richiesta dalla macchina azionata e, pertanto, va determinata il più esattamente possibile.

La potenza richiesta dalla macchina può essere calcolata, tenendo conto delle sue componenti:

- potenza dovuta al lavoro da compiere,
- potenza necessaria a vincere agli attriti (radenti di primo distacco, radenti o volventi)
- potenza necessaria a vincere le inerzie (specialmente quando la massa e/o l'accelerazione o la decelerazione sono notevoli);

oppure determinata sperimentalmente in base a prove e confronti con applicazioni esistenti, rilievi amperometrici e wattmetrici.

Un sovradimensionamento del motore comporta:

- una maggiore corrente di spunto e quindi valvole fusibili e sezione conduttori maggiori;
- un costo di esercizio maggiore in quanto peggiora il fattore di potenza ($\cos \varphi$) e anche il rendimento;
- una maggiore sollecitazione della trasmissione, con pericoli di rottura, in quanto normalmente questa è proporzionata in base alla potenza richiesta dalla macchina e non a quella del motore.

Eventuali aumenti della potenza del motore sono necessari solamente in funzione di elevati valori di temperatura ambiente, altitudine, frequenza di avviamento o di altre condizioni particolari.

Il fattore di servizio f_s tiene conto delle diverse condizioni di funzionamento alle quali verrà sottoposto il motoriduttore:

- natura del carico;
- durata;
- frequenza di avviamento;

e altre considerazioni di cui bisogna tener conto nei calcoli di scelta e di verifica del riduttore stesso.

Per una selezione rapida e approssimata, nella tabella seguente viene dato il minimo fattore di servizio f_s richiesto in funzione della tipologia di macchina azionata.

Classificazione del carico		Macchina azionata	$f_s \geq$
I	Carico uniforme ($m_j \leq 0,3$)	Ventilatori (diametri piccoli) Agitatori (liquidi a densità bassa e costante) Mescolatori (materiali a densità bassa e uniforme) Trasportatori a nastro (materiali sfusi a pezzatura fine) Comandi ausiliari Linee di assemblaggio Riempitrici Compressori centrifughi Pompe centrifughe (liquidi a densità bassa e costante) Elevatori a nastro Scale mobili	1
II	Sovraccarichi moderati ($m_j \leq 3$)	Ventilatori (diametri medi) Agitatori (liquidi a densità elevata o variabile) Mescolatori (materiali a densità variabile) Trasportatori a nastro (materiali sfusi a pezzatura grossa) Traslazione Pompe dosatrici Pompe ad ingrangi Pompe a pistoni pluricilindriche Pompe centrifughe (liquidi a densità variabile o elevata) Pallettizzatori Ralle Confezionatrici Macchine per imbottigliamento Montacarichi Porte scorrevoli	1,32
III	Sovraccarichi forti ($m_j \leq 10$)	Elevatori a tazze Vie a rulli Mescolatori pesanti (materiali solidi ed eterogenei) Traslazione carro ponte Meccanismi (manovellismi, eccentrici) Cesoie (lamiera) Piegatrici Centrifughe Presse (a manovella, a ginocchiera, eccentriche)	1,6

Per una determinazione più accurata del fattore di servizio corretto (soprattutto in considerazione delle ore di funzionamento), procedere come indicato di seguito.

- 1) Determinare il fattore di accelerazione delle masse m_j :

$$m_j = \frac{J_1}{J_0}$$

dove:

- J_1 [kg m²] è il momento d'inerzia (di massa) esterno (giunti, macchina azionata) J , riferito all'asse motore: $J_1 = J / i^2$;
- J_0 [kg m²] è il momento d'inerzia (di massa) del motore (ved. cat. TX) inclusi eventuali freno, volano, ecc;
- i è il rapporto di trasmissione del riduttore selezionato.

- 2) Identificare l'opportuna **classe di sovraccarico** in funzione del fattore di accelerazione delle masse m_j

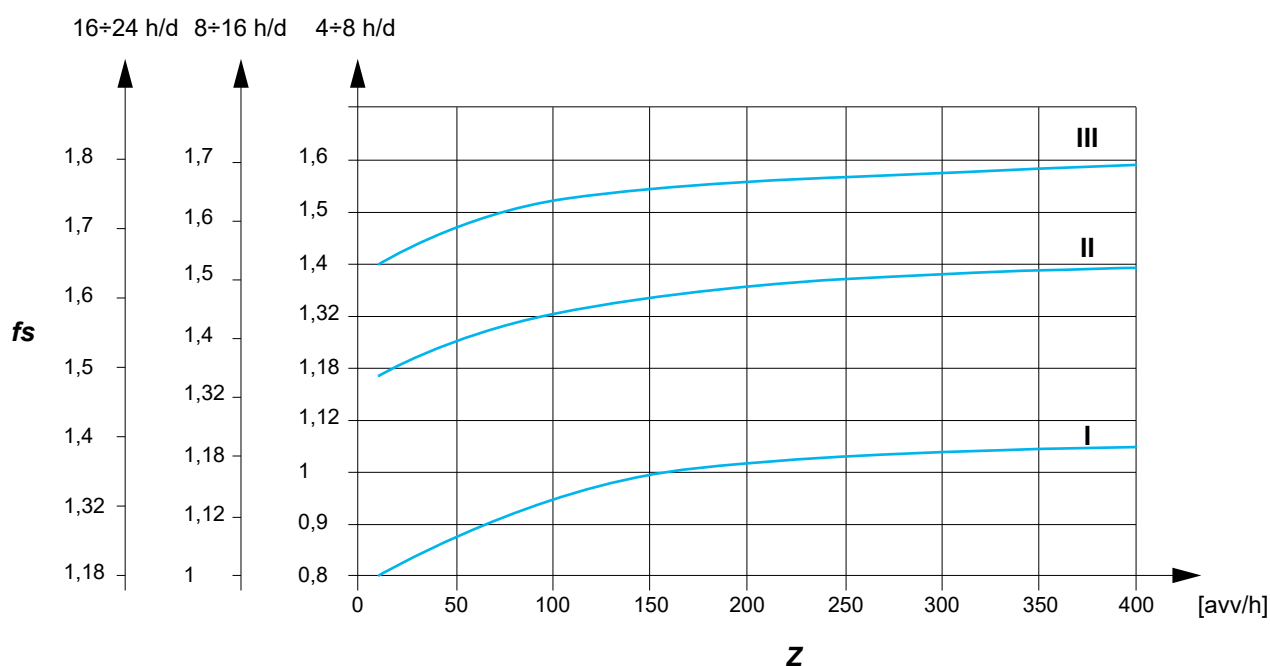
$m_j \leq 0,3$ (carico uniforme) **classe I**

$m_j \leq 3$ (sovraccarichi moderati: $\approx 1,6$ volte il carico normale) **classe II**

$m_j \leq 10$ (sovraccarichi forti: $\approx 2,5$ volte il carico normale) **classe III**

Per valori di m_j superiori a 10, in presenza di elevati valori di gioco nella catena cinematica e/o elevati valori di carico radiale, occorre eseguire valutazioni specifiche: contattare Rossi S.p.A.

- 3) Dal diagramma sotto riportato, in funzione della classe di sovraccarico, della durata di funzionamento e della frequenza di avviamento z , individuare il fattore di servizio richiesto.



6.3

Rendimento

Il **rendimento del riduttore** è determinato dagli attriti delle superfici soggette a strisciamento e rotolamento (ingranaggi, cuscinetti e tenute) e dalla perdite per sbattimento dell'olio lubrificante.

Il valore del rendimento è influenzato dalle condizioni operative (carico e velocità) e può raggiungere un valore massimo fino a

- rendimento massimo 0,97 (per riduttore a 3 stadi di riduzione iC e iO)
- rendimento massimo 0,98 (per riduttore a 2 stadi di riduzione iC).

La potenza dispersa per effetto del rendimento viene dissipata sotto forma di flusso di calore attraverso le superfici esterne del motoriduttore.

Al fine di non surriscaldare il lubrificante e il materiale delle tenute è necessario **assicurarsi che la potenza applicata non ecceda la capacità di smaltimento del motoriduttore.**

Potenza termica

La **potenza termica nominale** P_{TN} [kW] è quella potenza che può essere applicata all'entrata del riduttore senza che la temperatura dell'olio superi circa 95 °C, in presenza delle seguenti condizioni operative:

- velocità in entrata $n_1 = 1400 \text{ min}^{-1}$ (motore a 4 poli, 50 Hz);
- forma costruttiva B3, B6, B7, B8;
- servizio continuo S1;
- massima temperatura ambiente 25 °C;
- altitudine massima 1000 m s.l.m;
- velocità dell'aria $\geq 1,25 \text{ m/s}$ (valore tipico in presenza di un motoriduttore con motore autoventilato)

Le combinazioni motoriduttore indicate ai capitoli 9 e 11 sono già termicamente verificate per tutte le condizioni suddette, incluse le combinazioni a 2 poli.



Diversamente occorre verificare che la potenza applicata P_1 sia minore o uguale alla potenza termica nominale del riduttore P_{TN} (indicata in tabella) moltiplicata per i coefficienti correttivi $f_{T1}, f_{T2}, f_{T3}, f_{T4}, f_{T5}$ (indicati nelle tabelle) che tengono conto delle diverse condizioni operative:


$$P_1 \leq P_{TN} \cdot f_{T1} \cdot f_{T2} \cdot f_{T3} \cdot f_{T4} \cdot f_{T5}$$

Se la verifica non è soddisfatta, valutare l'impiego di lubrificanti speciali o di unità di raffreddamento con scambiatore di calore. Contattare Rossi S.p.A.


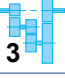

Non è necessario tener conto della potenza termica quando la durata massima del servizio continuo è di $1 \div 3 \text{ h}$, per tutte le grandezze riduttore, seguite da pause sufficienti (circa $1 \div 3 \text{ h}$) a ristabilire nel riduttore circa la temperatura ambiente. Per temperatura massima ambiente maggiore di 50 °C oppure minore di 0 °C contattare Rossi S.p.A.

Potenza termica nominale P_{TN} [kW]:

	P_{TN} [kW]							
	iC 27...	iC 37...	iC 47...	iC 57...	iC 67...	iC 77...	iC 87...	iC 97...
	7,5	8	10,6	12,5	15	20	28	40
	5,3	6	8,5	9,5	11,2	15	21,2	30

	P_{TN} [kW]						
	iO 373	iO 473	iO 573	iO 673	iO 773	iO 873	iO 973
	5,6	7,5	9	10,6	15	21,2	31,5

Fattore termico f_{T1} in **funzione** della velocità in entrata n_1 :

	f_{T1}					
	$n_1 [\text{min}^{-1}]$					
	710	900	1120	1400	1800	2800
iC 	1,18	1,12	1,06	1	0,85	0,6
iC 	1,06	1,06	1,03	1	0,95	0,85
iO 						

Fattore termico f_{T2} in funzione della temperatura ambiente e del servizio:

$T_{amb\ max}$ °C	f_{T2}				
	Servizio continuo S1	Servizio intermittente S3 ... S6			
		Rapporto di intermittenza [%] per 60 min di funzionamento			
		60	40	25	15
60	0,5	0,6	0,67	0,8	0,85
50	0,63	0,75	0,85	1	1,06
40	0,8	0,95	1,06	1,18	1,32
30	0,95	1,12	1,25	1,4	1,6
25	1	1,18	1,32	1,5	1,7
10	1,18	1,4	1,6	1,8	2

Fattore termico f_{T3} in funzione della forma costruttiva:

Forma costruttiva	f_{T3}		Forma costruttiva	f_{T3}
	iC 272 ... iC 972	iC 273 ... iC 973		
V5	0,8	0,9	B6, V5	0,9
V6	0,71	0,8	B7, B8, V6	0,8

Fattore termico f_{T4} in funzione dell'altitudine:

Altitudine	f_{T4}
≤ 1000	1
1000 ÷ 2000	0,95
2000 ÷ 3000	0,9
3000 ÷ 4000	0,85
≥ 4000	0,8

Fattore termico f_{T5} in funzione della velocità dell'aria sulla carcassa:

Velocità dell'aria m/s	Ambiente di installazione	f_{T5}
< 0,63	molto ristretto o privo di movimenti di aria o con riduttore schermato	(1)
0,63	molto ristretto e con movimenti di aria limitati	0,71
1	ampio ma privo di ventilazione	0,9
1,25	ampio e con leggera ventilazione (es. presenza di motore autoventilato)	1
2,5	aperto e ventilato	1,18
4	con forti movimenti di aria	1,32

(1) Contattare Rossi S.p.A.

6.5.1 Generalità

Quando il collegamento tra motoriduttore e macchina è realizzato con una trasmissione che genera carichi radiali sull'estremità d'albero, è necessario che questi siano minori o uguali a quelli indicati al cap. 9 and 11 poiché la durata e l'usura (che influisce negativamente anche sugli ingranaggi) dei cuscinetti e la resistenza dell'asse lento pongono dei limiti al carico radiale ammissibile.

6.5.2 Determinazione del carico radiale applicato

Per i casi più comuni, il carico radiale F_{r2} può essere determinato con la formula seguente dove k assume valori diversi in relazione alla tipologia della trasmissione

$$F_{r2} = k \cdot \frac{2 \cdot M_2}{d} \quad [\text{N}]$$

dove:

- M_2 [N m] è il momento torcente richiesto all'albero lento del motoriduttore;
- d [m] è il diametro primitivo;
- k è un coefficiente che assume valori diversi a seconda del tipo di trasmissione:
 - $k = 1$ per trasmissione a catena (sollevamento in genere);
 - $k = 1,5$ per trasmissione a cinghia dentata;
 - $k = 2,5$ per trasmissione a cinghie trapezoidali;
 - $k = 1,1$ per trasmissione a ingranaggio cilindrico dritto;
 - $k = 3,55$ per trasmissione a ruote di frizione.

6.5.3 Carico radiale ammissibile

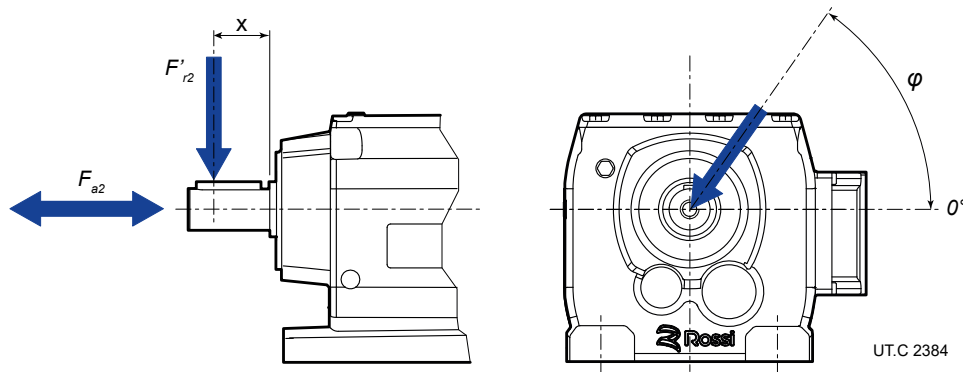
I valori di carico radiale ammissibile F_{r2} sono forniti nelle tabelle di cap. 9 e sono validi per esecuzione motoriduttore con piedi (P...).

Tali valori, sono riferiti alla velocità angolare n_2 e al momento torcente M_2 in uscita dal motoriduttore, considerando il carico agente in mezz'ora dell'estremità dell'albero lento, sul lato A (per motoriduttori iO), nella condizione più sfavorevole di senso di rotazione e posizione angolare del carico.

Considerando l'esatta posizione angolare del carico e il senso di rotazione effettivo, il valore di carico radiale ammissibile potrebbe essere **superiore** a quello indicato.

A richiesta inoltre, è disponibile l'opzione con cuscinetti rinforzati sull'asse lento (vedere pag. 41).

Per la verifica del caso specifico contattare Rossi S.p.A. facendo riferimento alle convenzioni di figura.



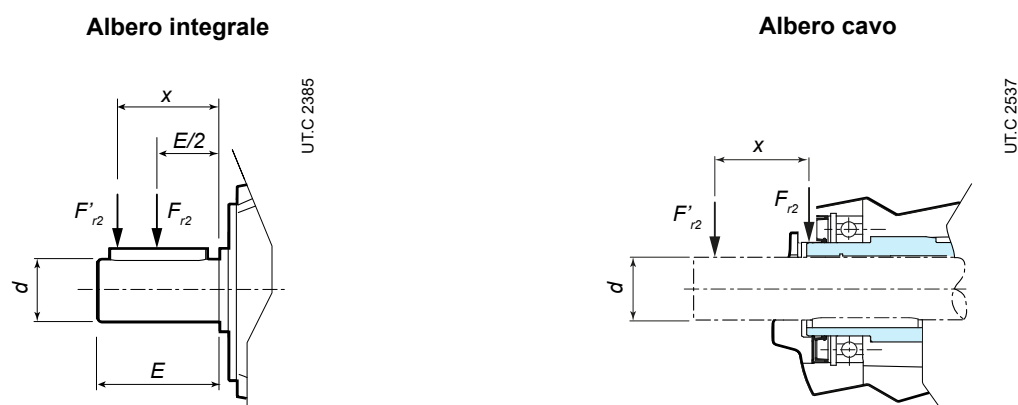
6.5.4 Carico assiale ammissibile

In assenza di carico radiale può agire un carico assiale (centrato) non superiore a 0,5 volte il carico radiale indicato al cap. 9. Contemporaneamente al carico radiale può agire un **carico assiale** fino a 0,2 volte quello indicato al cap. 9 e 11.

Per valori superiori e/o **carichi assiali disassati**, contattare Rossi S.p.A.

6.5.5 Carico radiale non in mezzzeria

Nel caso di carico radiale agente in posizione diversa dalla mezzzeria, cioè ad una distanza dalla battuta diversa da $0,5 \cdot E$, occorre ricalcolare il valore ammissibile di carico radiale alla distanza x (F'_{r2x}) rispetto al valore fornito al cap. 9 e 11 adottando il valore minimo risultante dalle formule seguenti.



$$F'_{r2b} = F_{r2} \cdot \frac{E/2 + y}{x + y} \quad [\text{N}]$$

$$F'_{r2s} = \frac{m}{x + q} \quad [\text{N}]$$

$$F'_{r2} = \min (F'_{r2b}; F'_{r2s}) \quad [\text{N}]$$

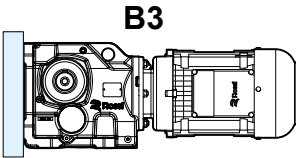
dove

- F'_{r2b} [N] carico radiale ammissibile, in relazione alla durata cuscinetti, agente alla distanza x dalla battuta;
- F'_{r2s} [N] carico radiale ammissibile, in relazione alla resistenza dell'albero, agente alla distanza x dalla battuta;
- F_{r2} [N] carico radiale ammissibile agente in mezzzeria estremità d'albero lento motoriduttore (vedere. cap. 9 e cap. 11);
- F'_{r2} [N] carico radiale ammissibile alla distanza x dalla battuta;
- E [mm] lunghezza dell'estremità d'albero lento motoriduttore;
- d [mm] diametro dell'estremità d'albero lento motoriduttore;
- x [mm] distanza di applicazione del carico a partire dalla battuta dell'albero lento motoriduttore;
- y [mm] parametro che dipende dalla geometria dell'albero lento motoriduttore;
- m [N mm] parametro che dipende dalla geometria dell'albero lento motoriduttore;
- q [mm] parametro che dipende dalla geometria dell'albero lento motoriduttore.

Grandezza motoriduttore	$E/2 + y$ mm	y mm	m N mm	q mm	d mm	E mm
iC 27...	106,5	81,5	155700	11,8	25	50
iC 37...	118	93	123500	0	25	50
iC 47...	137	107	243900	15	30	60
iC 57...	147,5	112,5	376300	18	35	70
iC 67...	168,5	133,5	264600	0	35	70
iC 77...	173,7	133,7	396800	0	40	80
iC 87...	216,7	166,7	845000	0	50	100
iC 97...	255,5	195,5	1060000	0	60	120

Grandezza motoriduttore	$E/2 + y$ mm	y mm	m N mm	q mm	d mm	E mm
iO 373	123,5	98,5	130000	0	25	50
iO 473	153,5	123,5	140000	0	30	60
iO 573	169,7	134,7	270000	0	35	70
iO 673	181,3	141,3	412000	0	40	80
iO 773	215,8	165,8	769000	0	50	100
iO 873	252	192	1640000	0	60	120
iO 973	319	249	2800000	0	70	140

La tabella sottostante illustra la condizione che richiede la limitazione del carico radiale ammissibile:

Superficie di montaggio	Grandezza motoriduttore	Posizione di montaggio	Limite
 <p>B3</p>	<p>iO 373 ... iO 973</p>	<p>B3</p>	<p>Nel caso di fissaggio a parete (come evidenziato in figura), il carico radiale ammissibile Fr_2, specificato nelle tabelle di selezione, è ridotto del 50%</p>

Forme costruttive

Indice di sezione

7.1	Forme costruttive	60
7.1.1	Generalità	60
7.1.2	Cambio della forma costruttiva	62
7.1.3	Forma costruttiva universale BX	62
7.2	Posizione tappi	62
7.2.1	Posizioni tappo sfiato e scarico	62
7.2.2	Posizione tappo sfiato e scarico motoriduttore coassiale con piedi	64
7.2.3	Posizione tappo sfiato e scarico motoriduttore coassiale con flangia	65
7.2.4	Posizione tappo sfiato e scarico motoriduttore cortogonale con piedi	66
7.2.5	Posizione tappo sfiato e scarico motoriduttore ortogonale con flangia	67
7.2.6	Posizione tappo sfiato e scarico motoriduttore ortogonale pendolare	68

7.1

Forme costruttive

7.1.1 Generalità

Le forme costruttive di seguito riportate indicano le possibili posizioni di montaggio delle differenti esecuzioni dei motoriduttori Rossi S.p.A.

In assenza di esigenze specifiche, privilegiare l'adozione della forma costruttiva B3 in quanto più conveniente dal punto di vista tecnico ed economico:

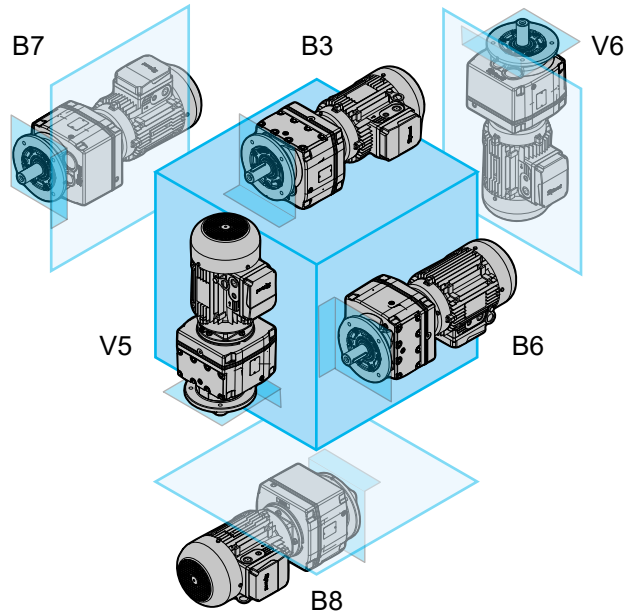
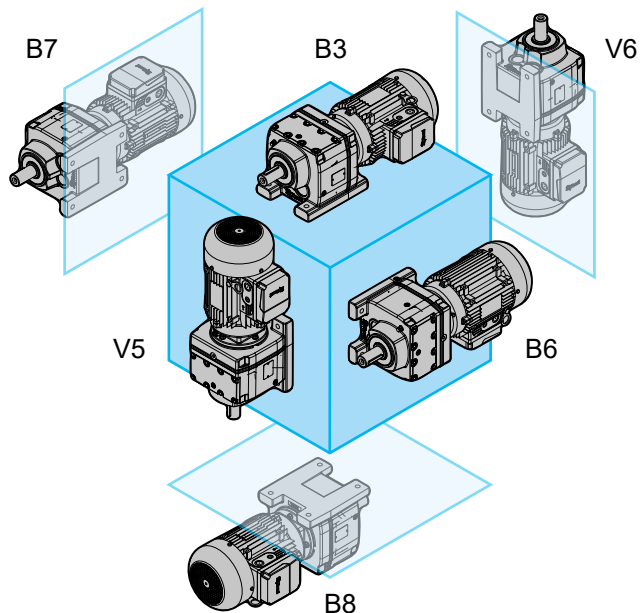
- massima semplificazione del sistema di lubrificazione,
- minore sbattimento d'olio,
- minore riscaldamento riduttore,
- maggiore disponibilità di prodotti di magazzino.

Per forme costruttive inclinate o basculanti contattare Rossi S.p.A.

MOTORIDUTTORI COASSIALI IC

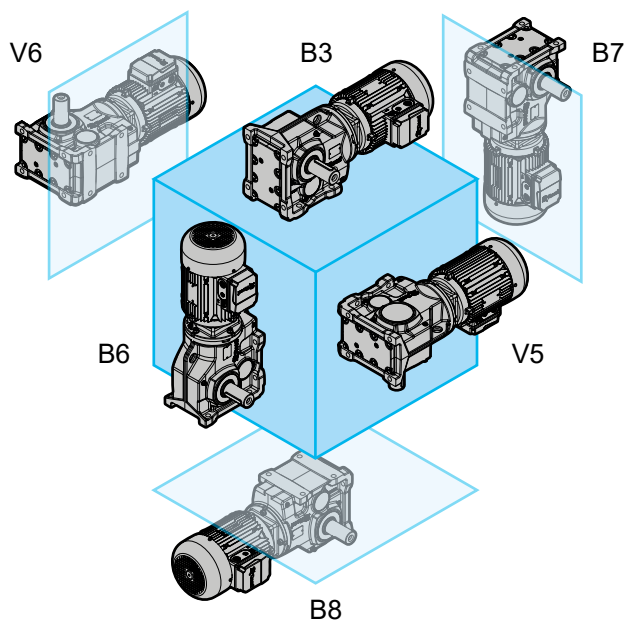
PE - esecuzione con piedi

FE - esecuzione con flangia

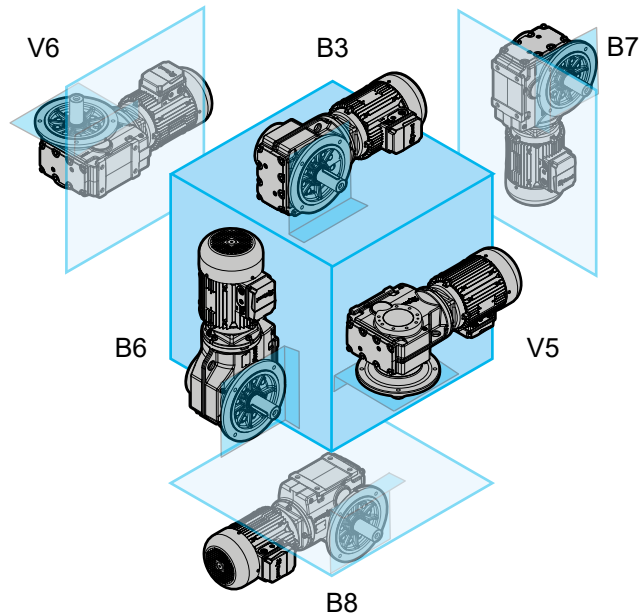


MOTORIDUTTORI ORTOGONALI IO

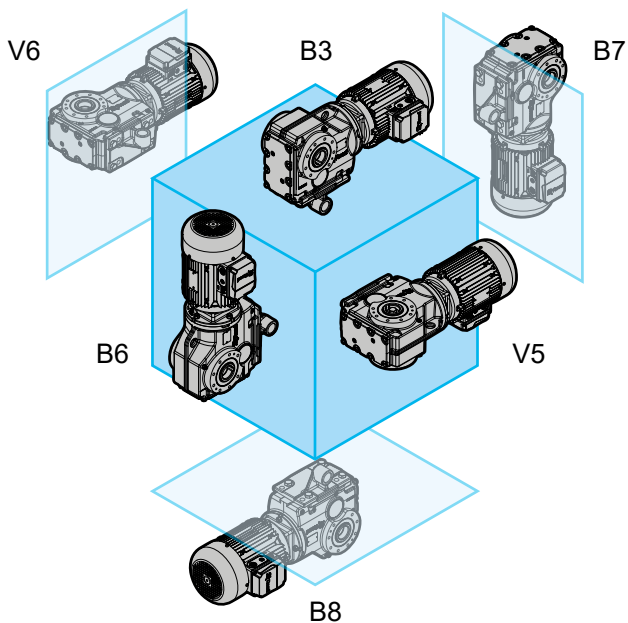
PE - esecuzione con piedi



FE - esecuzione con flangia



SE - esecuzione pendolare



7.1.2 Cambio della forma costruttiva

Se il riduttore viene installato in forma costruttiva diversa da quella indicata in targa occorre:

- adeguare la posizione del tappo di sfiato (vedere pagg. 64, 65 per i coassiali iC e 66, 67, 68 per gli ortogonali iO)
- adeguare la quantità di lubrificante (vedere pag. 72) fino al raggiungimento del livello previsto avendo cura di aver eliminato eventuali sacche d'aria nell'olio all'interno del riduttore
- per il passaggio a forma costruttiva V5 o V6 contattare Rossi S.p.A.

7.1.3 Forma costruttiva universale BX

In questa forma costruttiva i motoriduttori sono forniti completamente pieni di lubrificante con i tappi tutti chiusi e un tappo di sfiato sfuso in dotazione.

Prima della messa in servizio occorre:

- posizionare correttamente il tappo di sfiato nella posizione prevista dalla forma costruttiva di funzionamento (vedere pagg. 64, 65 per i coassiali iC e 66, 67, 68 per gli ortogonali iO)
- adeguare la quantità di olio in relazione alla forma costruttiva di funzionamento (vedere pag. 72).

7.2

Posizione tappi

7.2.1 Posizioni tappo sfiato e scarico

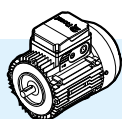
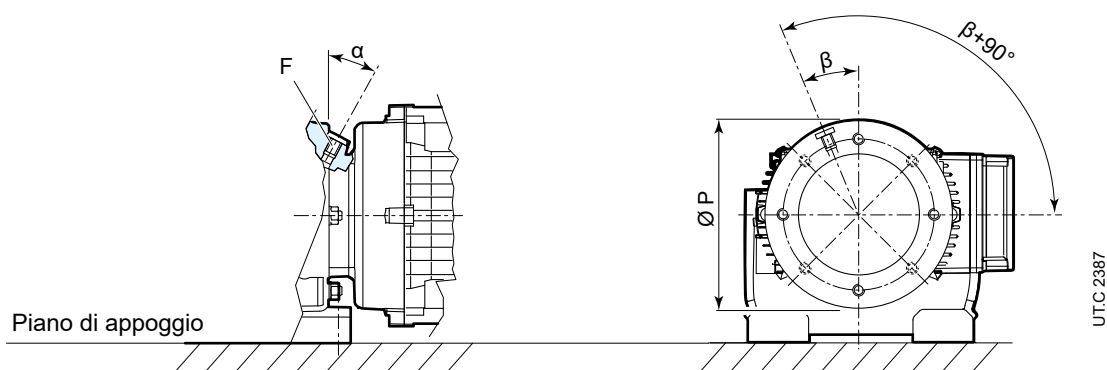
La posizione dei tappi di sfiato e di scarico dipende dalla forma costruttiva del motoriduttore come indicato nelle pagine seguenti. La tabella seguente indica quando il tappo di sfiato o di scarico si trova sulla flangia motore in relazione alla forma costruttiva del motoriduttore.

Forma costruttiva		Posizione tappo di sfiato	Posizione tappo di scarico
iC	iO		
B3, B6, B7, B8	B3, B8, V5, V6	Nella carcassa riduttore	Nella carcassa riduttore
V5	B6	Nella flangia motore	Nella carcassa riduttore
V6	B7	Nella carcassa riduttore	Nella flangia motore

Quando il tappo di sfiato o il tappo di scarico sono sulla flangia motore, la loro posizione angolare è determinata sulla base della posizione della scatola morsettiera del motore.

Tutte le figure del presente catalogo rappresentano i tappi di sfiato e di scarico con scatola morsettiera motore in posizione standard TB0 (vedere pag. 40 e 64, 65, 66, 67, 68).

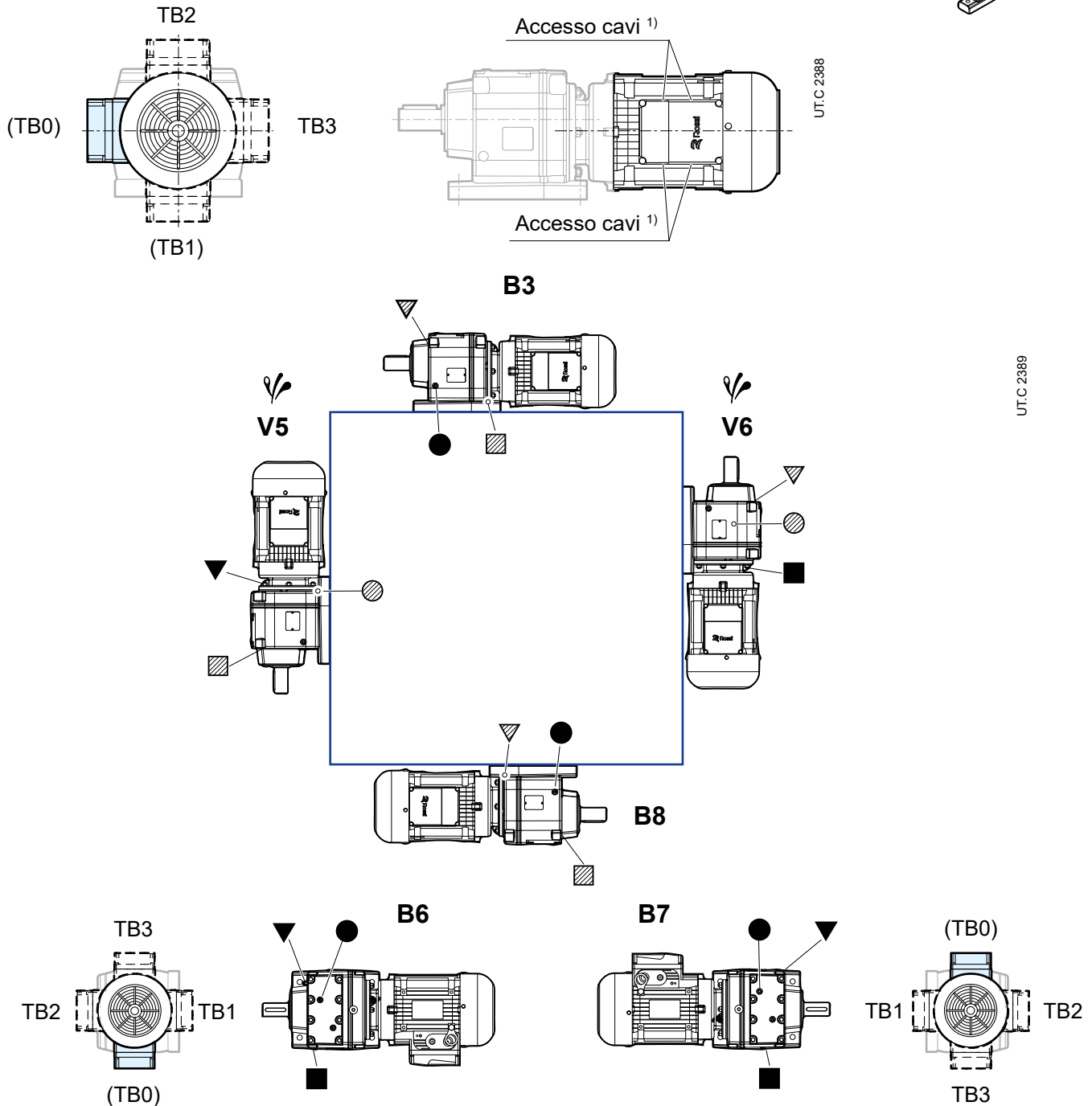
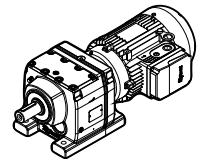
L'esatta posizione dei tappi di sfiato e di scarico, in funzione della posizione della scatola morsettiera motore, è indicata alla pagina seguente.



	P Ø	α °	β °	F
63	120	0	45	M10x1
	160	0	45	M10x1
	200	30	22,5	M12x1,5
71	120	0	45	M10x1
	160	0	45	M10x1
	200	30	22,5	M12x1,5
80	120	15	22,5	M10x1
	160	30	22,5	M12x1,5
	200	30	22,5	M12x1,5
	250	30	22,5	M12x1,5
	300	90	22,5	M22x1,5
90	120	30	22,5	M10x1
	160	30	22,5	M10x1
	200	30	22,5	M12x1,5
	250	30	22,5	M12x1,5
	300	30	22,5	M22x1,5
100 112MA	120	30	22,5	M10x1
	160	30	22,5	M10x1
	200	30	22,5	M12x1,5
	250	30	22,5	M12x1,5
	300	30	22,5	M22x1,5
112M	160	30	22,5	M10x1
	200	30	22,5	M12x1,5
	250	30	22,5	M12x1,5
	300	30	22,5	M22x1,5
132S 132M	160	30	22,5	M10x1
	200	15	22,5	M12x1,5
	250	30	22,5	M12x1,5
	300	30	22,5	M22x1,5
132L 160	200	30	22,5	M10x1
	250	30	22,5	M12x1,5
	300	30	22,5	M22x1,5
180	250	30	22,5	M12x1,5
	300	30	22,5	M22x1,5
200	250	30	22,5	M12x1,5
	300	30	22,5	M22x1,5

7.2.2 Posizione tappo sfiato e scarico motoriduttore coassiale con piedi

IC 27...PE / IC 97...PE



IC 27... : tappi di sfiato non presenti per B3, B8, B6, B7

IC 27... : tappi di livello e scarico olio non presenti

IC 47..., IC 57... : tappo di livello non presente per B6

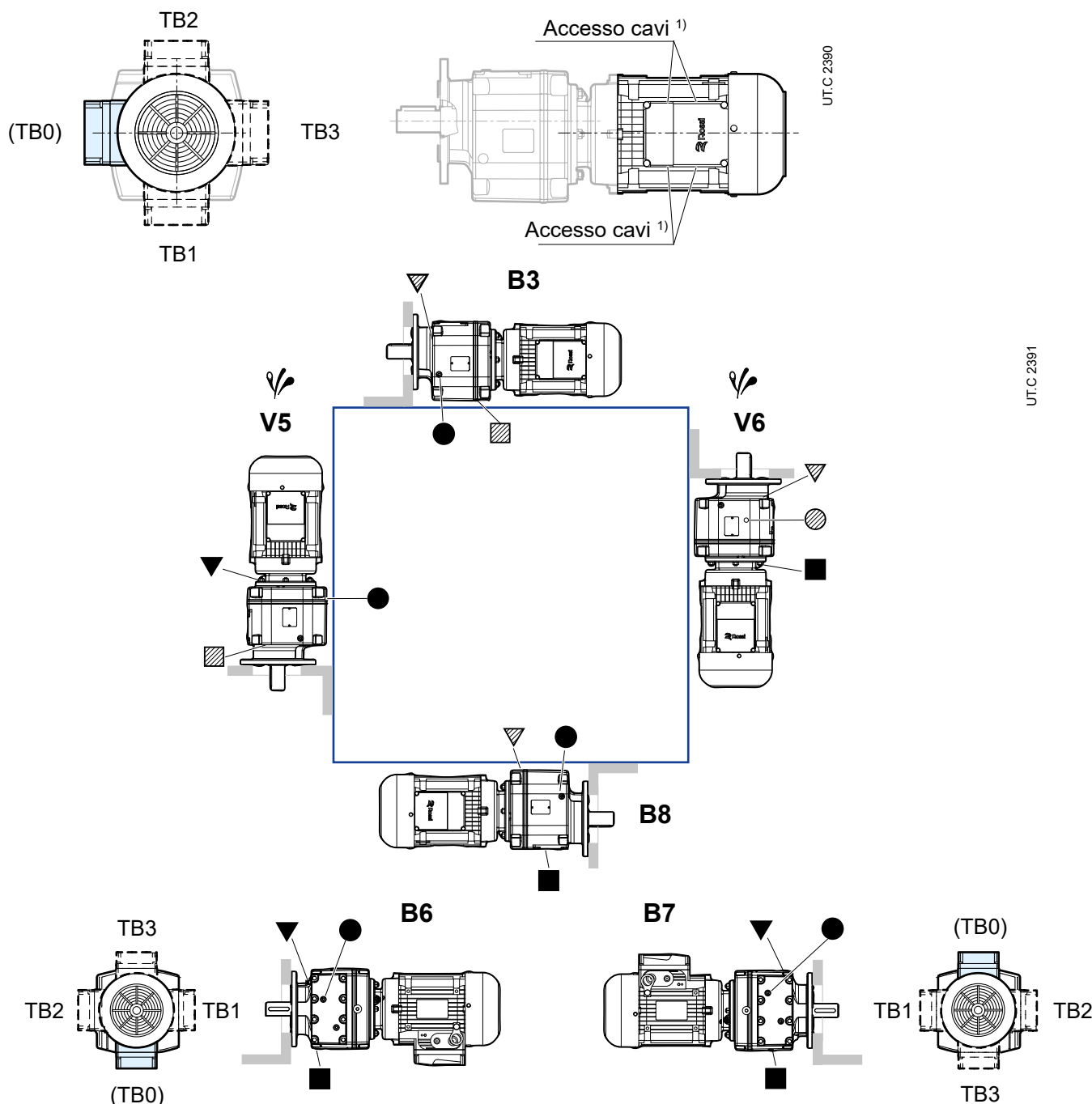
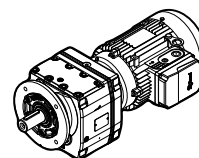
- ▼ tappo di sfiato
- tappo di livello olio
- tappo di scarico olio
- ▽ tappo di sfiato lato opposto (o non in vista)
- ◐ tappo di livello olio lato opposto (o non in vista)
- ◑ tappo di scarico olio lato opposto (o non in vista)

☞ Eventuale elevato sbattimento d'olio:
per il fattore correttivo f_{t3} della potenza
termica nominale P_{TN} ved. pag. 53.

¹⁾ Il collegamento dei cavi è a cura del cliente: la scatola morsettieria è solidale con la carcassa motore ed è dotata di accesso cavi bilaterale a frattura prestabilita (uno per il cavo di potenza ed uno per i dispositivi ausiliari).

7.2.3 Posizione tappo sfiato e scarico motoriduttore coassiale con flangia

IC 27...FE / IC 97...FE



IC 27... : tappi di sfiato non presenti per B3, B8, B6, B7

IC 27... : tappi di livello e scarico olio non presenti

IC 47..., IC 57... : tappo di livello non presente per B6

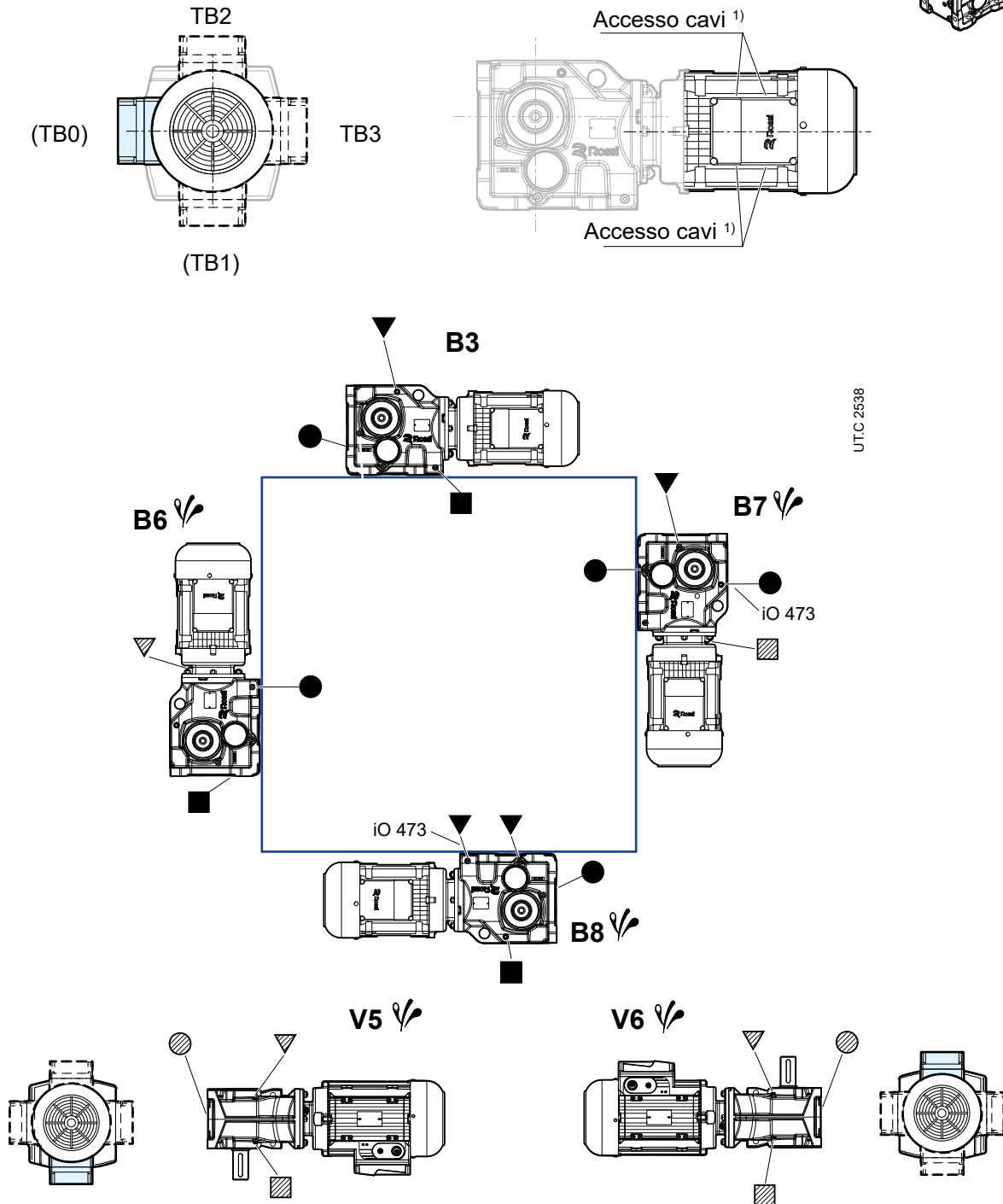
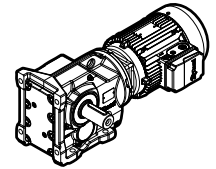
- ▼ tappo di sfiato
- tappo di livello olio
- tappo di scarico olio
- ▽ tappo di sfiato lato opposto (o non in vista)
- ◐ tappo di livello olio lato opposto (o non in vista)
- ▨ tappo di scarico olio lato opposto (o non in vista)

Eventuale elevato sbattimento d'olio:
per il fattore correttivo f_{13} della potenza
termica nominale P_{TN} ved. pag. 53.

¹⁾ Il collegamento dei cavi è a cura del cliente: la scatola morsettiera è solidale con la carcassa motore ed è dotata di accesso cavi bilaterale a frattura prestabilita (uno per il cavo di potenza ed uno per i dispositivi ausiliari).

7.2.4 Posizione tappo sfiato e scarico motoriduttore ortogonale con piedi

IO 373 PE / IO 973 PE



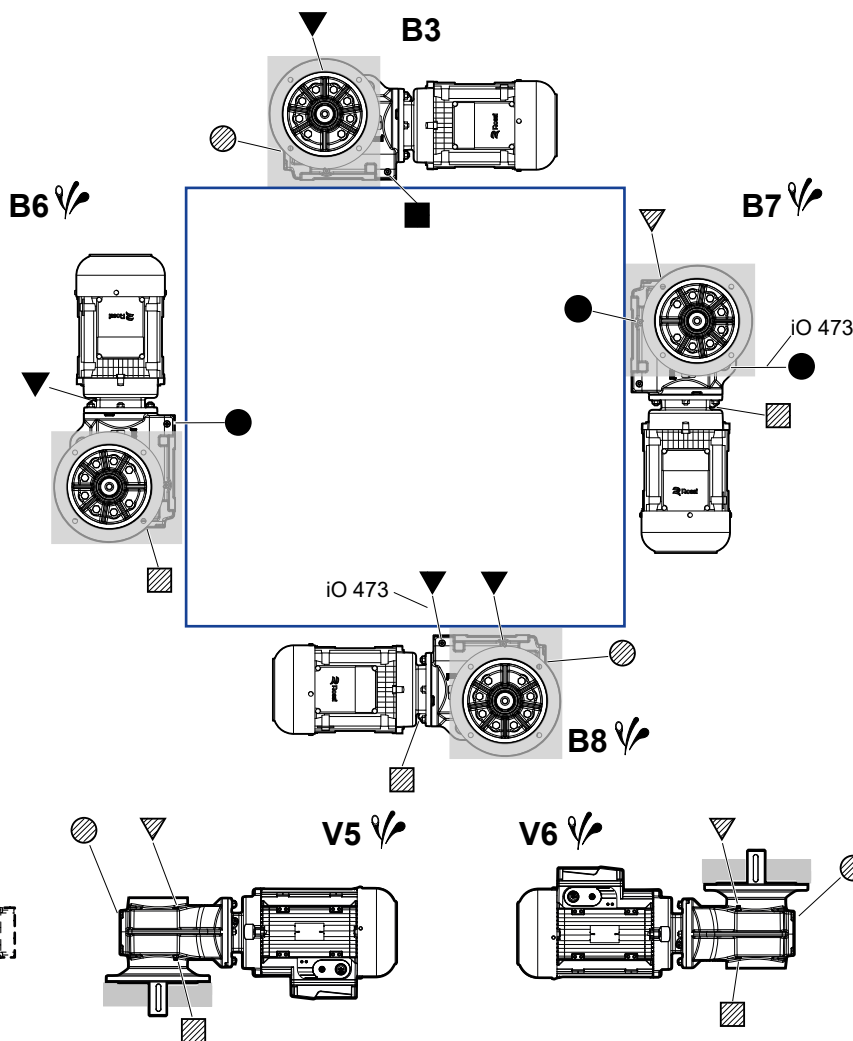
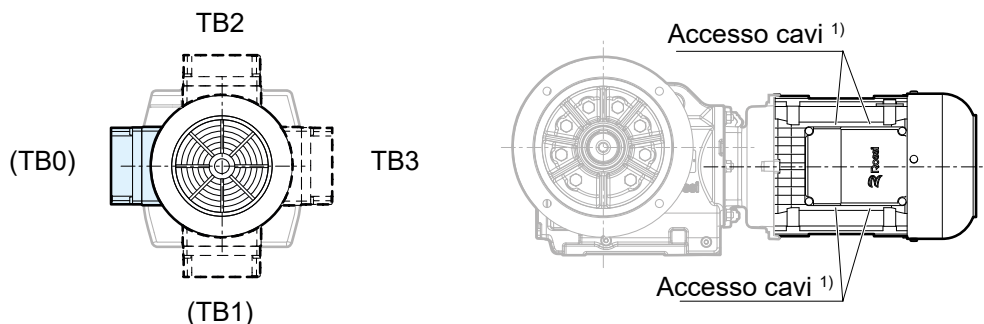
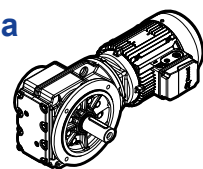
- ▼ tappo di sfiato
- tappo di livello olio
- tappo di scarico olio
- ▽ tappo di sfiato lato opposto (o non in vista)
- ⊗ tappo di livello olio lato opposto (o non in vista)
- ▨ tappo di scarico olio lato opposto (o non in vista)

↗ Eventuale elevato sbattimento d'olio: per il fattore correttivo f_{13} della potenza termica nominale P_{TN} ved. pag. 53.

¹⁾ Il collegamento dei cavi è a cura del cliente: la scatola morsettieria è solidale con la carcassa motore ed è dotata di accesso cavi bilaterale a frattura prestabilita (uno per il cavo di potenza ed uno per i dispositivi ausiliari).

7.2.5 Posizione tappo sfiato e scarico motoriduttore ortogonale con flangia

IO 373 FE / IO 973 FE



UTC 2539

- ▼ tappo di sfiato
- tappo di livello olio
- tappo di scarico olio

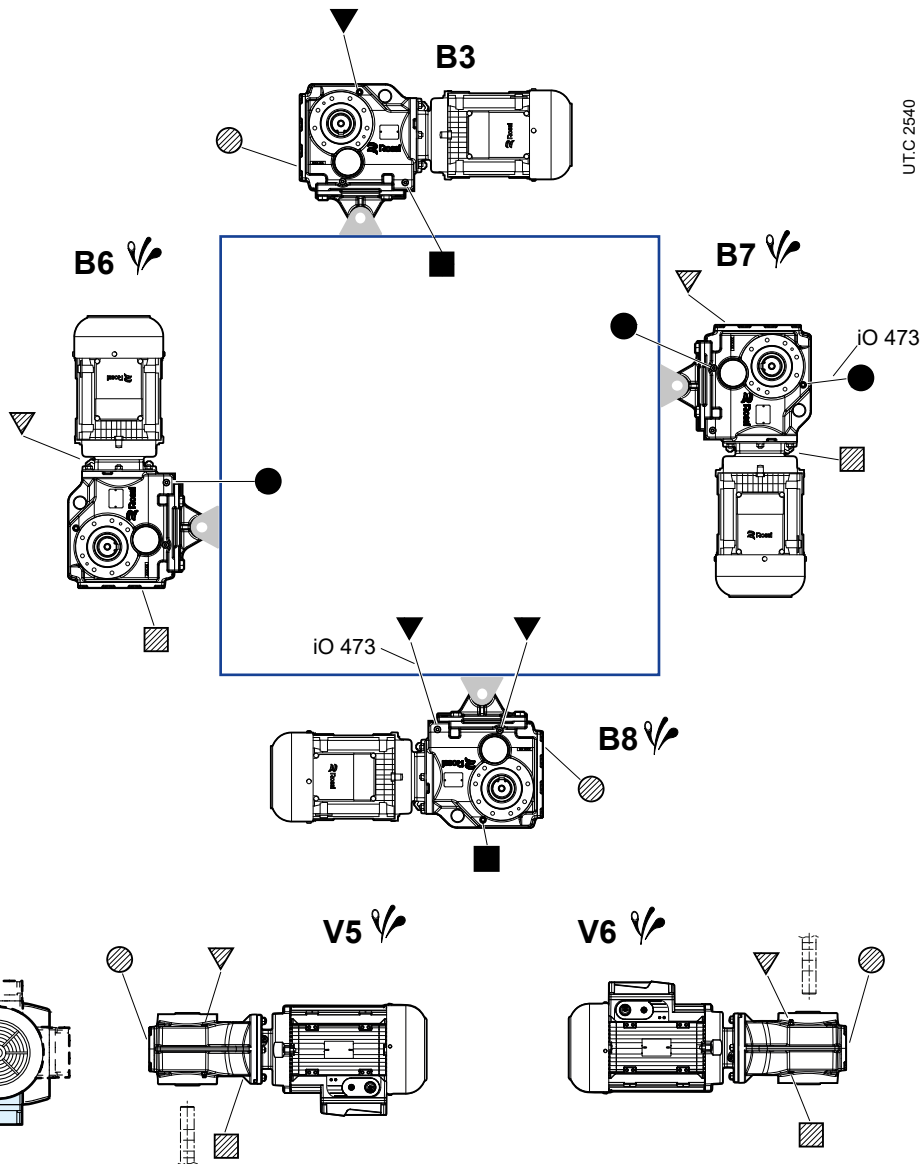
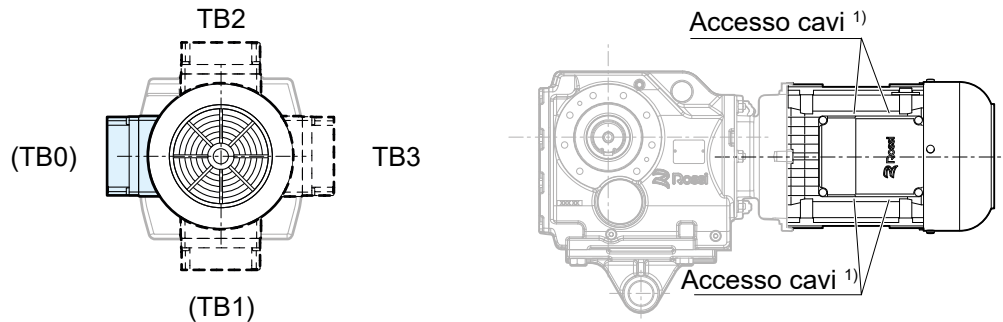
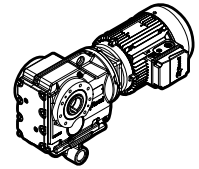
- ◄ tappo di sfiato lato opposto (o non in vista)
- ◐ tappo di livello olio lato opposto (o non in vista)
- ◑ tappo di scarico olio lato opposto (o non in vista)

◒ Eventuale elevato sbattimento d'olio: per il fattore correttivo f_{13} della potenza termica nominale P_{TN} ved. pag. 53.

¹⁾ Il collegamento dei cavi è a cura del cliente: la scatola morsettieria è solidale con la carcassa motore ed è dotata di accesso cavi bilaterale a frattura prestabilita (uno per il cavo di potenza ed uno per i dispositivi ausiliari).

7.2.6 Posizione tappo sfiato e scarico motoriduttore ortogonale pendolare

IO 373 SE / IO 973 SE



- ▼ tappo di sfiato
- tappo di livello olio
- tappo di scarico olio
- ▽ tappo di sfiato lato opposto (o non in vista)
- ⊗ tappo di livello olio lato opposto (o non in vista)
- ⊠ tappo di scarico olio lato opposto (o non in vista)

↗ Eventuale elevato sbattimento d'olio:
per il fattore correttivo f_{13} della potenza
termica nominale P_{TN} ved. pag. 53.

¹⁾ Il collegamento dei cavi è a cura del cliente: la scatola morsettieria è solidale con la carcassa motore ed è dotata di accesso cavi bilaterale a frattura prestabilita (uno per il cavo di potenza ed uno per i dispositivi ausiliari).

pagina lasciata intenzionalmente vuota

Dettagli costruttivi e funzionali

Indice di sezione

8.1	Lubrificazione	72
8.1.1	Generalità	72
8.1.2	Quantità di olio	72
8.1.3	Tabella lubrificanti	73
8.1.4	Grado di viscosità ISO	73
8.1.5	Intervalli di sostituzione	73
8.1.6	Tappi di sfiato	73
8.2	Adattatori per motori	74
8.2.1	Adattatori per montaggio di motori standard IEC	74
8.2.2	Adattatori per montaggio di motori standard NEMA C-Face	75
8.3	Montaggio motore (IEC o NEMA) sull'adattatore	76
8.4	Dettagli flange di fissaggio motoriduttore	77
8.5	Viti di fissaggio	78
8.6	Tolleranze dimensionali	79
8.7	Notazioni sugli ingombri dimensionali	80
8.7.1	Dettagli sugli ingombri dei motori HB ed HBZ	80
8.7.2	Dettagli sugli ingombri seconda estremità d'albero motore	81

8.1

Lubrificazione

8.1.1 Generalità

La lubrificazione degli ingranaggi è a bagno d'olio o a sbattimento, i cuscinetti sono lubrificati a sbattimento o con grasso a «vita» (con o senza anello NILOS). Salvo diversa indicazione i motoriduttori vengono **forniti completi di olio sintetico** (KLÜBER KlüBersynth GH 6-220, MOBIL Glygoyle 220, SHELL Omala S4 WE 220), per lubrificazione – in assenza di inquinamento dall'esterno – “lunga vita”.

Temperatura ambiente 0 ÷ 40 °C con punte fino a -20 °C e +50 °C.

Importante:

la forma costruttiva specificata nell'ordine determina la quantità di lubrificante immessa nel riduttore all'atto della fornitura nonché l'eventuale presenza di cuscinetti con lubrificazione indipendente. Verificare che il motoriduttore venga montato nella forma costruttiva prevista nell'ordine e indicata in targa. Se il motoriduttore viene installato in forma costruttiva diversa verificare, in base ai valori di tabella, che ciò non comporti una variazione della quantità di lubrificante; nel caso, adeguarla.

Inoltre, le forme costruttive V5 e V6 richiedono l'applicazione di grasso speciale nel cuscinetto superiore.

La forma costruttiva può essere cambiata solo previa autorizzazione di Rossi S.p.A., pena il decadimento della garanzia.

8.1.2 Quantità di olio

Le quantità di lubrificante indicate sono da intendersi orientative ai fini dell'approvvigionamento. La quantità esatta di olio da immettere nel riduttore è definita dal livello.

PE...; FE...						
Grandezza motoriduttore	Quantità di olio [l]					
	B3	B6	B7	B8	V5	V6
iC 27...	0,45	0,6	0,6	0,55	0,9	0,8
iC 37...	0,3	0,75	0,95	0,95	1,05	0,85
iC 47...	0,7	1,5	1,5	1,5	1,65	1,6
iC 57...	0,8	1,7	1,7	1,7	2,1	1,9
iC 67...	1,1	1,8	2,0	2,8	2,9	2,4
iC 77...	1,2	2,5	3,4	3,6	3,8	3,3
iC 87...	2,3	6,3	6,5	7,2	7,2	6,4
iC 97...	4,6	11,3	11,7	11,7	13,4	11,7

PE...						
Grandezza motoriduttore	Quantità di olio [l]					
	B3	B6	B7	B8	V5	V6
iO 373	0,5	1,25	1,0	1,0	0,95	0,95
iO 473	0,8	2,0	1,3	1,5	1,6	1,6
iO 573	1,1	2,8	2,2	2,2	2,3	2,1
iO 673	1,1	3,45	2,4	2,6	2,6	2,6
iO 773	2,2	5,8	4,1	4,4	4,2	4,4
iO 873	3,7	10,9	8,0	8,7	8,0	8,0
iO 973	7,0	20,0	14,0	15,7	15,7	15,5

FE...S						
Grandezza motoriduttore	Quantità di olio [l]					
	B3	B6	B7	B8	V5	V6
iO 373	0,5	1,5	1,1	1,1	1,0	1,0
iO 473	0,8	2,2	1,3	1,7	1,6	1,6
iO 573	1,2	3,15	2,2	2,4	2,5	2,3
iO 673	1,1	3,7	2,4	2,8	2,7	2,7
iO 773	2,1	5,9	4,1	4,4	4,5	4,5
iO 873	3,7	11,9	8,2	9,0	8,4	8,4
iO 973	7,0	21,5	14,7	17,3	15,7	16,5

FE...H SE...H						
Grandezza motoriduttore	Quantità di olio [l]					
	B3	B6	B7	B8	V5	V6
iO 373	0,5	1,4	1,0	1,0	1,0	1,0
iO 473	0,8	2,15	1,3	1,6	1,6	1,6
iO 573	1,2	3,15	2,2	2,4	2,7	2,4
iO 673	1,1	3,7	2,4	2,7	2,6	2,6
iO 773	2,1	5,9	4,1	4,6	4,4	4,4
iO 873	3,7	11,1	8,2	8,8	8,0	8,0
iO 973	7,0	20,0	14,7	15,7	15,7	15,7

8.1.3 Tabella lubrificanti

Importante:

lubrificanti inadeguati possono causare danni al riduttore.

Le viscosità e il tipo di olio lubrificante utilizzato per il riempimento **sono indicati nella targa adesiva del riduttore.**

Rossi S.p.A. declina ogni responsabilità per danni derivanti dall'utilizzo di altri lubrificanti o dall'utilizzo al di fuori del campo di temperature ambiente previsto. Le indicazioni sui lubrificanti non vincola Rossi S.p.A. sulla qualità del lubrificante fornito da ciascun rispettivo produttore. Non mescolare oli lubrificanti diversi; non mescolare oli sintetici con oli minerali.

Produttore	Olio sintetico PAO	Olio sintetico PAG	Olio minerale	Produttore	Olio sintetico PAO	Olio sintetico PAG	Olio minerale
AGIP	Blasia SX	Blasia S	Blasia	KLÜBER	Klübersynth GEM4	Klübersynth GH6	Klübersynth GEM1
ARAL	Degol PAS	Degol GS	Degol BG	MOBIL	Mobil SHC Gear	Mobil Glygoyle	Mobilgear 600 XP
BP	Energyn EPX	Energyn SG-XP	Energol GR-XP	SHELL	Omala S4 GX	Omala S4 WE	Omala S2 G
CASTROL	Alphasyn EP	Optiflex A	Alpha SP	TEXACO	Pinnacle	Synlube CLP	Meropa
FUCHS	Renolin Unisys	Renolin PG	Renolin CLP	TOTAL	Carter SH	Carter SY	Carter EP

8.1.4 Grado di viscosità ISO

Salvo diversa indicazione, i motoriduttori vengono **forniti completi di olio sintetico** con gradazione di viscosità ISO VG 220, idoneo per la maggioranza delle applicazioni in normali ambienti industriali. Per condizioni applicative diverse o esigenze specifiche, contattare Rossi S.p.A.

La tabella seguente fornisce una linea guida generale per la selezione della viscosità del lubrificante (valore medio cSt della viscosità cinematica a 40 °C).

Velocità n_2 [min ⁻¹]	Temperatura ambiente T_{amb} [C°]		T_{amb} [C°] Olio sintetico 0 ÷ 40
	Olio minerale 0 ÷ 20	Olio minerale 10 ÷ 40	
> 224	150	150	150
224 ÷ 22,4	150	220	220
22,4 ÷ 5,6	220	320	320
< 5,6	320	460	460

Sono ammesse punte di temperatura ambiente di ± 10 °C per gli oli minerali e ± 20 °C per gli oli sintetici rispetto alle condizioni indicate in tabella.

8.1.5 Intervalli di sostituzione

Orientativamente l'intervallo di lubrificazione, in assenza di inquinamento dall'esterno, è quello indicato in tabella. Per sovraccarichi forti dimezzare i valori.

Temperatura olio [C°]	Intervallo di lubrificazione [h]	
	Olio minerale	Olio sintetico
≤ 65	8000	25000
65 ÷ 80	4000	18000
80 ÷ 95	2000	12500

Anelli di tenuta:

la durata dipende da molti fattori quali velocità di strisciamento, temperatura, condizioni ambientali, ecc.; orientativamente può variare da 3150 a 12500 h.

8.1.6 Tappi di sfiato

I motoriduttori vengono forniti completi di tappo (metallico) di sfiato con valvola, montato nella corretta posizione prevista dalla forma costruttiva (esclusa forma costruttiva BX vedere pag. 62).

Prima della messa in servizio occorre attivare lo sfiato strappando la linguetta di chiusura presente sul tappo.

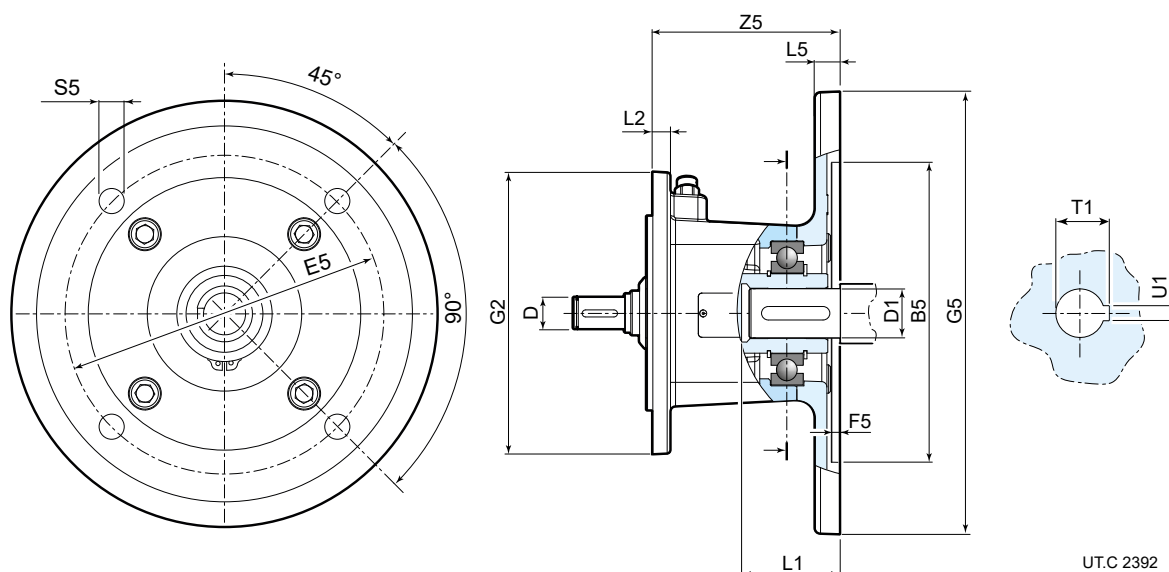
E' necessario provvedere a mantenere lo sfiato libero dalla sporcizia che possa comprometterne la funzionalità.

In caso ciò non sia possibile, contattare Rossi S.p.A. per l'individuazione di una diversa soluzione.

8.2

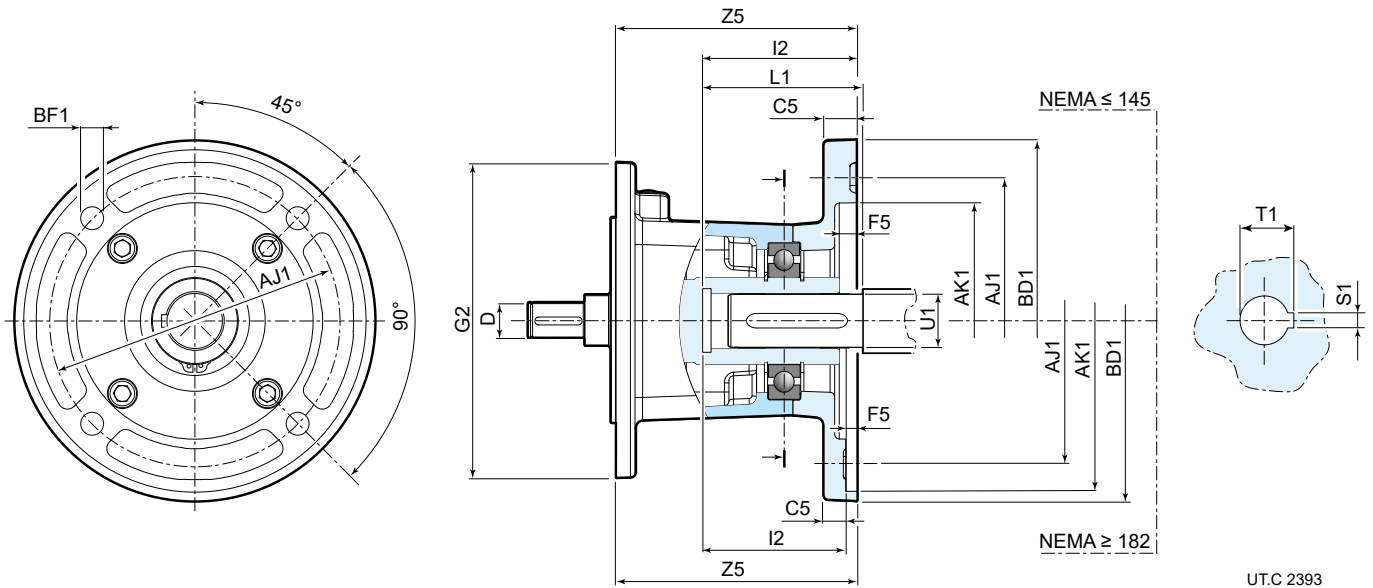
Adattatori per motori

8.2.1 Adattatori per montaggio di motori standard IEC



Grandezza riduttore	Grandezza motore IEC	Codice adattatore	B5 Ø H7	D Ø	D1 Ø F6	E5	F5	G2 Ø	G5 Ø	L1	L2	L5	S5 Ø	T1	U1 F9	Z5	kg
iC 27... iC 37... iO 373	63	AB12BI063	95	10	11	115	4	120	140	27	8	10	8,5	12,8	4	56,5	2,6
	71	AB12BI071	110	10	14	130	4,5	120	160	32	8	11	8,5	16,3	5	56,5	2,9
	80	AB12CI080	130	12	19	165	4,5	120	200	41,5	8	12	11	21,8	6	111	6,4
	90	AB12DI090	130	14	24	165	4,5	120	200	52	8	12	11	27,3	8	111	6,4
	100, 112MA	AB12EI100	180	16	28	215	5	120	250	62	8	14	13	31,3	8	113	7,6
iC 47... iC 57... iC 67... iO 473 iO 573 iO 673	63	AB16BI063	95	10	11	115	4	160	140	27	10	10	8,5	12,8	4	50,5	3
	71	AB16BI071	110	10	14	130	4,5	160	160	32	10	11	8,5	16,3	5	50,5	3,2
	80	AB16CI080	130	12	19	165	4,5	160	200	41,5	10	12	11	21,8	6	104	7,4
	90	AB16DI090	130	14	24	165	4,5	160	200	52	10	12	11	27,3	8	104	7,4
	100, 112MA	AB16EI100	180	16	28	215	5	160	250	62	10	14	13	31,3	8	106	8,6
	112M	AB16FI112	180	18	28	215	5	160	250	62	10	14	13	31,3	8	106	8,6
	132S, M	AB16GI13S	230	22	38	265	5	160	300	82	10	16,5	13	41,3	10	145	13,6
iC 77... iO 773	63	AB20BI063	95	10	11	115	4	200	140	27	12	10	8,5	12,8	4	44,5	3,8
	71	AB20BI071	110	10	14	130	4,5	200	160	32	12	11	8,5	16,3	5	44,5	3,9
	80	AB20CI080	130	12	19	165	4,5	200	200	41,5	12	12	11	21,8	6	98	8,1
	90	AB20DI090	130	14	24	165	4,5	200	200	52	12	12	11	27,3	8	98	8,1
	100, 112MA	AB20EI100	180	16	28	215	5	200	250	62	12	14	13	31,3	8	100	9,3
	112M	AB20FI112	180	18	28	215	5	200	250	62	12	14	13	31,3	8	100	9,3
	132S, M	AB20GI13S	230	22	38	265	5	200	300	82	12	16,5	13	41,3	10	139	15
	132MB	AB20HI13L	230	28	38	265	5	200	300	82	12	16,5	13	41,3	10	139	15
	160	AB20HI160	250	28	42	300	6	200	350	112	12	18	18	45,3	12	186	26,6
iC 87... iO 873	80	AB25CI080	130	12	19	165	4,5	250	200	41,5	14	12	11	21,8	6	94	9,2
	90	AB25DI090	130	14	24	165	4,5	250	200	52	14	12	11	27,3	8	94	9,2
	100, 112MA	AB25EI100	180	16	28	215	5	250	250	62	14	14	13	31,3	8	96	10,4
	112M	AB25FI112	180	18	28	215	5	250	250	62	14	14	13	31,3	8	96	10,4
	132S, M	AB25GI13S	230	22	38	265	5	250	300	82	14	16,5	13	41,3	10	134	15,7
	132MB	AB25HI13L	230	28	38	265	5	250	300	82	14	16,5	13	41,3	10	134	15,7
	160	AB25HI160	250	28	42	300	6	250	350	112	14	18	18	45,3	12	181	28,7
180	AB25LI180	250	32	48	300	6	250	350	112	14	18	18	51,8	14	181	28,3	
iC 97... iO 973	80	AB30CI080	130	12	19	165	4,5	300	200	41,5	14	12	11	21,8	6	86	11,2
	90	AB30DI090	130	14	24	165	4,5	300	200	52	14	12	11	27,3	8	86	11,2
	100, 112MA	AB30EI100	180	16	28	215	5	300	250	62	14	14	13	31,3	8	88	12,4
	112M	AB30FI112	180	18	28	215	5	300	250	62	14	14	13	31,3	8	88	12,4
	132S, M	AB30GI13S	230	22	38	265	5	300	300	82	14	16,5	13	41,3	10	129	18
	132MB	AB30HI13L	230	28	38	265	5	300	300	82	14	16,5	13	41,3	10	129	18
	160	AB30HI160	250	28	42	300	6	300	350	112	14	18	18	45,3	12	175	30,4
	180	AB30LI180	250	32	48	300	6	300	350	112	14	18	18	51,8	14	175	30,4
200	AB30MI200	300	38	55 (E6)	350	6	300	400	113	14	18	18	59,3	16	205,5	40	

8.2.2 Adattatori per montaggio di motori standard NEMA C-Face



U.T.C 2393

Grandezza riduttore	Grandezza motore NEMA	Codice adattatore	AJ1 Ø inch	AK1 Ø inch	BD1 Ø inch	BF1 Ø	C5	D Ø	F5	G2 Ø	L1	I2	S1 inch	T1	U1 Ø inch	Z5	kg
iC 27... iC 37... iO 373	56	AB12BN056	5 7/8	4 1/2	6,5	10,5	10	10	5	120	54,7	59,5	3/16	18	5/8	81	3,3
	143	AB12CN143	5 7/8	4 1/2	6,5	10,5	12	12	5	120	64,2	61	3/16	24,5	7/8	113	5,8
	145	AB12DN145	5 7/8	4 1/2	6,5	10,5	12	14	5	120	64,2	61	3/16	24,5	7/8	113	5,8
	182	AB12EN182	5 7/8	4 1/2	9	14,5	14	16	5,5	120	79,2	76	1/4	31,5	1 1/8	124	8,1
iC 47... iC 57... iC 67... iO 473 iO 573 iO 673	56	AB16BN056	5 7/8	4 1/2	6,5	10,5	10	10	5	160	54,7	59,5	3/16	18	5/8	75	3,6
	143	AB16CN143	5 7/8	4 1/2	6,5	10,5	12	12	5	160	64,2	61	3/16	24,5	7/8	106	6,8
	145	AB16DN145	5 7/8	4 1/2	6,5	10,5	12	14	5	160	64,2	61	3/16	24,5	7/8	106	6,8
	182	AB16EN182	7 1/4	8 1/2	9	14,5	14	16	5,5	160	79,5	76	1/4	31,5	1 1/8	117	9,1
	184	AB16FN184	7 1/4	8 1/2	9	14,5	14	18	5,5	160	79,2	76	1/4	31,5	1 1/8	117	9,1
	213/215	AB16GN213	7 1/4	8 1/2	9	14,5	14	22	5,5	160	97,3	91	5/16	38,6	1 3/8	152	12,1
iC 77... iO 773	56	AB20BN056	5 7/8	4 1/2	6,5	10,5	10	10	5	200	54,7	59,5	3/16	18	5/8	69	4,3
	143	AB20CN143	5 7/8	4 1/2	6,5	10,5	12	12	5	200	64,2	61	3/16	24,5	7/8	100	7,5
	145	AB20DN145	5 7/8	4 1/2	6,5	10,5	12	14	5	200	64,2	61	3/16	24,5	7/8	100	7,5
	182	AB20EN182	7 1/4	8 1/2	9	14,5	14	16	5,5	200	79,2	76	1/4	31,5	1 1/8	111	9,8
	184	AB20FN184	7 1/4	8 1/2	9	14,5	14	18	5,5	200	79,2	76	1/4	31,5	1 1/8	111	9,8
	213/215 254/256	AB20GN213 AB20HN254	7 1/4 7 1/4	8 1/2 8 1/2	9 10	14,5 14,5	14 14	22 28	5,5 5,5	200 200	97,3 115,3	91 109	5/16 3/8	38,6 45,6	1 3/8 1 5/8	146 232	13,5 26,4
iC 87... iO 873	143	AB25CN143	5 7/8	4 1/2	6,5	10,5	12	12	5	250	64,2	61	3/16	24,5	7/8	96	8,6
	145	AB25DN145	5 7/8	4 1/2	6,5	10,5	12	14	5	250	64,2	61	3/16	24,5	7/8	96	8,6
	182	AB25EN182	7 1/4	8 1/2	9	14,5	14	16	5,5	250	79,2	76	1/4	31,5	1 1/8	107	10,9
	184	AB25FN184	7 1/4	8 1/2	9	14,5	14	18	5,5	250	79,2	76	1/4	31,5	1 1/8	107	10,9
	213/215	AB25GN213	7 1/4	8 1/2	9	14,5	14	22	5,5	250	97,3	91	5/16	38,6	1 3/8	141	14,3
	254/256 284/286	AB25HN254 AB25LN284	7 1/4 9	8 1/2 10 1/2	10 11,25	14,5 14,5	14 16	28 32	5,5 5,5	250 250	115,3 134,3	109 128	3/8 1/2	45,6 53,4	1 5/8 1 7/8	227 229	28,4 29,5
iC 97... iO 973	143	AB30CN143	5 7/8	4 1/2	6,5	10,5	12	12	5	300	64,2	61	3/16	24,5	7/8	88	10,6
	145	AB30DN145	5 7/8	4 1/2	6,5	10,5	12	14	5	300	64,2	61	3/16	24,5	7/8	88	10,6
	182	AB30EN182	7 1/4	8 1/2	9	14,5	14	16	5,5	300	79,2	76	1/4	31,5	1 1/8	99	12,9
	184	AB30FN184	7 1/4	8 1/2	9	14,5	14	18	5,5	300	79,2	76	1/4	31,5	1 1/8	99	12,9
	213/215	AB30GN213	7 1/4	8 1/2	9	14,5	14	22	5,5	300	97,3	91	5/16	38,6	1 3/8	136	16,4
	254/256	AB30HN254	7 1/4	8 1/2	10	14,5	14	28	5,5	300	115,3	109	3/8	45,6	1 5/8	221	30,2
	284/286	AB30LN284	9	10 1/2	11,25	14,5	16	32	5,5	300	134,3	128	1/2	53,4	1 7/8	223	31,3
	324/325	AB30MN324	11	12 1/2	14	18	20	38	5,5	300	150,3	144	1/2	59,7	2 1/8	208	41

8.3

Montaggio motore (IEC o NEMA) sull'adattatore

Verificare che il momento flettente statico M_b generato dal peso del motore sulla controflangia dell'adattatore sia inferiore al valore ammesso M_{bmax} , indicato in tabella seguente:

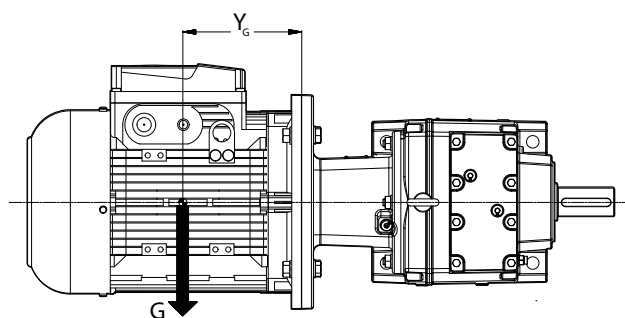
$$M_b < M_{bmax}$$

dove:

$$M_b = (G \cdot Y_G) / 1000 \text{ [N m]}$$

G [N] peso motore, numericamente circa uguale alla massa del motore, espressa in kg, moltiplicata per 10.

Y_G [mm] distanza del baricentro del motore dalla superficie della flangia



UT.C. 2440

Motori troppo lunghi e sottili, anche nel caso in cui il momento flettente risulti inferiore ai limiti di tabella prescritti, possono generare vibrazioni anomale durante il funzionamento.

In questi casi è necessario prevedere un supporto motore aggiuntivo adeguato (ved. specifica documentazione del motore).

Carichi superiori a quelli ammissibili possono essere presenti in applicazioni dinamiche qualora il motoriduttore sia soggetto a traslazioni, rotazioni od oscillazioni: interpellare Rossi per lo studio di ogni caso specifico.

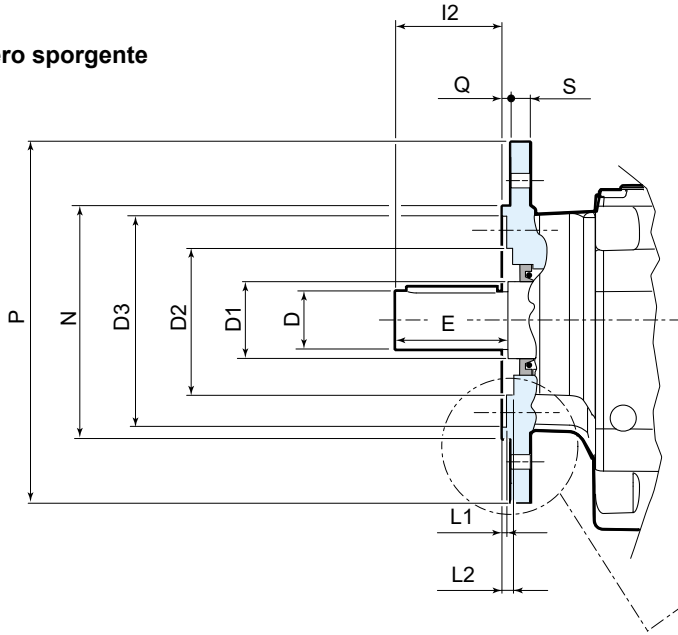
Massimo momento flettente M_{bmax} relativo all'adattatore motore IEC

Codice Adattatore IEC	Momento flettente massimo M_{bmax} [N m]					
	iC 27, iC 37 iO 37	iC 47 ... iO 47 ...	iC 67 iO 67	iC 77 iO 77	iC 87 iO 87	iC 97 iO 97
AB12BI063, AB12BI071, AB16BI063, AB16BI07, AB20BI063, AB20BI071	55					
AB12CI080, AB12DI090, AB16CI080, AB16DI090, AB20CI080, AB20DI090 AB25CI080, AB25DI090, AB30CI080, AB30DI090	90	265				
AB12EI0100, AB16EI0100, AB16FI0112, AB20EI0100, AB20FI0112 AB25EI0100, AB25FI0112, AB30EI0100, AB30FI0112	200	265				
AB16GI13S, AB20GI13S, AB25GI13S, AB30GI13S		290	870			
AB20HI13L, AB25HI13L, AB30HI13L			935	1155		
AB25LI180, AB30LI180				1155		
AB30MI200						1645

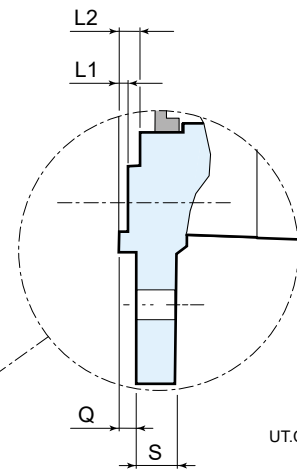
Massimo momento flettente M_{bmax} relativo all'adattatore motore NEMA

Codice Adattatore NEMA	Momento flettente massimo M_{bmax} [N m]					
	iC 27, iC 37 iO 37	iC 47 ... iO 47 ...	iC 67 iO 67	iC 77 iO 77	iC 87 iO 87	iC 97 iO 97
AB12BN056, AB16BN056, AB20BN056	45					
AB12CN143, AB12DN145, AB16CN143, AB16DN145, AB20CN143 AB20DN145, AB25CN143, AB25DN145, AB30CN143, AB30DN145	72	246				
AB12EN182, AB16EN182, AB16FN184, AB20EN182, AB20FN184, AB25EN182, AB25FN184, AB30EN182, AB30FN184	161	246				
AB16GN213, AB20GN213, AB25GN213, AB30GN213		251	656			
AB20HN254, AB25HN254, AB30HN254		740	1003			
AB25LN284, AB30LN284			1003			
AB30MN324						1430

Albero sporgente



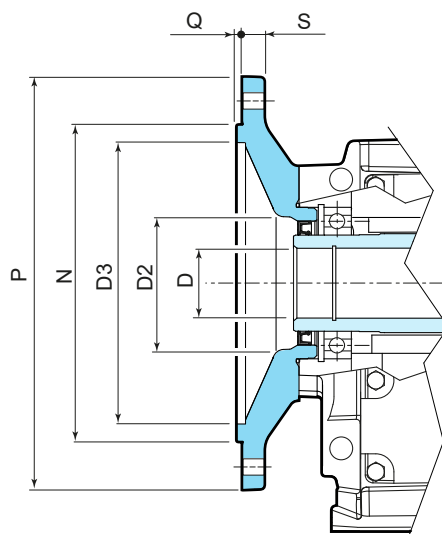
Dettagli flange di fissaggio motoriduttore



Grandezza riduttore	Codice flangia B5	P Ø	N Ø j6	S	D Ø k6	D1 Ø	D2 Ø	D3 Ø	Q	I2	E	L1	L2
iC 27...	F212	120	80	8	25	30	56	66	3	50	50	2	6
	F214	140	95	9	25	30	56	80	3	50	50	2	6
	F216	160	110	10	25	30	56	94	3,5	50	50	2,6	6,5
iC 37...	F312	120	80	8	25	35	63	68	3	50	50	5	7
	F314	140	95	10	25	35	11	83	3	50	50	5	7
	F316	160	110	10	25	35	61	96	3,5	50	50	2	7,5
	F320	200	130	12	25	35	61	118	3,5	50	50	1	7,5
iC 47...	F414	140	95	10	30	35	77	82	3	60	60	4	6
	F416	160	110	10	30	35	75	96	3,5	60	60	1	6,5
	F420	200	130	12	30	35	75	116	3,5	60	60	1	6,5
iC 57...	F516	160	110	10	35	40	82	97	3,5	70	70	4	6,5
	F520	200	130	12	35	40	78	116	3,5	70	70	-0,5	6,5
	F525	250	180	15	35	40	78	160	4	70	70	0	7
iC 67...	F620	200	130	12	35	50	96	120	3,5	70	70	3,5	7
	F625	250	180	15	35	50	92	162	4	70	70	0,5	7,5
iC 77...	F725	250	180	15	40	52	94	160	4	80	80	0,5	7
	F730	300	230	18,5	40	52	113	210	4	80	80	0,5	7
iC 87...	F830	300	230	18,5	50	62	119	214	4	100	100	0	8
	F835	350	250 h6	18	50	62	138	225	5	100	100	0	8
iC 97...	F935	350	250 h6	18	60 m6	72	146	234	5	120	120	1	9
	F945	450	350 h6	22	60 m6	72	156	320	5	120	120	1	9

Grandezza riduttore	Codice flangia B5	P Ø	N Ø j6	S	D Ø k6	D1 Ø	D2 Ø	D3 Ø	Q	I2	E	L1	L2
iO 373	F316	160	110	10	25	35	61	96	3,5	50	50	2	7,5
iO 473	F420	200	130	12	30	35	75	116	3,5	60	60	1	6,5
iO 573	F525	250	180	15	35	40	78	160	4	70	70	0	7
iO 673	F625	250	180	15	40	50	92	162	4	70	70	0,5	7,5
iO 773	F730	300	180	15	50	52	94	160	4	80	80	0,5	7
iO 873	F835	350	250 h6	18	60 m6	62	138	225	5	100	100	0	8
iO 973	F945	450	350 h6	22	70 m6	72	156	320	5	120	120	1	9

Albero cavo



UTC 2541

Grandezza riduttore	Codice flangia B5	P Ø	N Ø j6	S	D Ø H7	D2 Ø	D3 Ø	Q
iO 373	F316	160	110	10	25	61	96	3,5
iO 473	F420	200	130	12	35	75	116	3,5
iO 573	F525	250	180	15	40	78	160	4
iO 673	F625	250	180	15	40	92	162	4
iO 773	F730	300	180	15	50	94	160	4
iO 873	F835	350	250 h6	18	60	138	225	5
iO 973	F945	450	350 h6	22	70	156	320	5

8.5

Viti di fissaggio

Salvo diversa indicazione, normalmente è sufficiente adottare viti di classe 8.8. Fanno eccezione i casi indicati di seguito, per i quali è necessario adottare viti con classe di resistenza 10.9:

- iC 372 - iC 373 FE con flangia F312
- iC 472 - iC 473 FE con flangia F414
- iC 572 - iC 573 FE con flangia F516

Prima di procedere al serraggio, sgrassare accuratamente le viti. Nelle viti di fissaggio e nei piani di unione, soprattutto in presenza di forti vibrazioni, servizi gravosi e/o frequenti inversioni del moto è sempre consigliabile l'impiego di adesivi bloccanti.

Serrare le viti al valore di momento di serraggio come indicato in tabella.

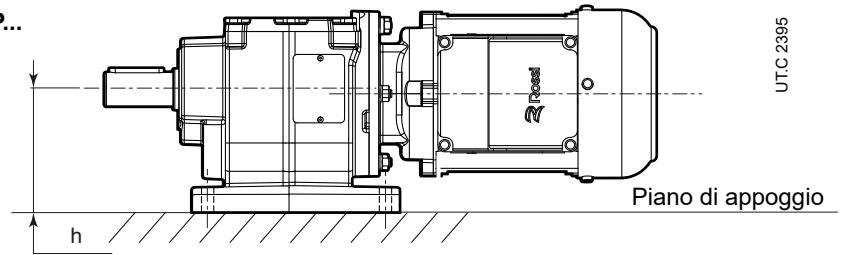
Viti di fissaggio	Momento di serraggio M_s per viti fissaggio piedi e flange [N m]	
	cl. 8.8	cl. 10.9
M4	2,9	4
M5	6	8,5
M6	11	15
M8	25	35
M10	50	70
M12	85	120
M14	135	190
M16	205	290
M18	280	400
M20	400	560
M22	550	770
M24	710	1000

Tolleranze dimensionali

Altezza d'asse esecuzione con piedi iC/iO...P...

$h \leq 250 \text{ mm} \rightarrow$ tolleranza $-0,5 \div 0 \text{ mm}$

$h > 250 \text{ mm} \rightarrow$ tolleranza $-1 \div 0 \text{ mm}$



Attenzione!

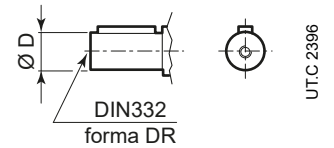
Verificare sempre che il motore non sporga rispetto al piano di appoggio dei piedi

Estremità d'albero lento

Diametro esterno: $\varnothing D \leq 50 \text{ mm} \rightarrow$ tolleranza ISO k6
 $\varnothing D > 50 \text{ mm} \rightarrow$ tolleranza ISO m6

Foro filettato in testa: $\varnothing D \leq 24 \text{ mm} \rightarrow$ M8
 $\varnothing D > 24 \div 30 \text{ mm} \rightarrow$ M10
 $\varnothing D > 30 \div 38 \text{ mm} \rightarrow$ M12
 $\varnothing D > 38 \div 50 \text{ mm} \rightarrow$ M16
 $\varnothing D > 50 \text{ mm} \rightarrow$ M20

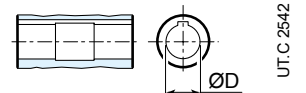
Linguetta e cava linguetta:
 linguetta secondo DIN 6885
 larghezza cava linguetta ISO N9



Albero cavo

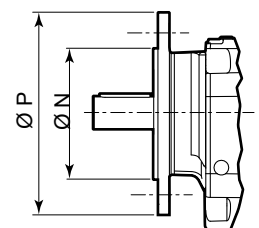
Diametro interno: $\varnothing D \rightarrow$ tolleranza ISO H7

Linguetta e cava linguetta:
 linguetta secondo DIN 6885
 larghezza cava linguetta ISO N9



Flange

Centraggio: $\varnothing N \leq 230 \text{ mm} (\varnothing P 120 \div 300 \text{ mm}) \rightarrow$ tolleranza ISO j6
 $\varnothing N > 230 \text{ mm} (\varnothing P 350 \div 450 \text{ mm}) \rightarrow$ tolleranza ISO h6

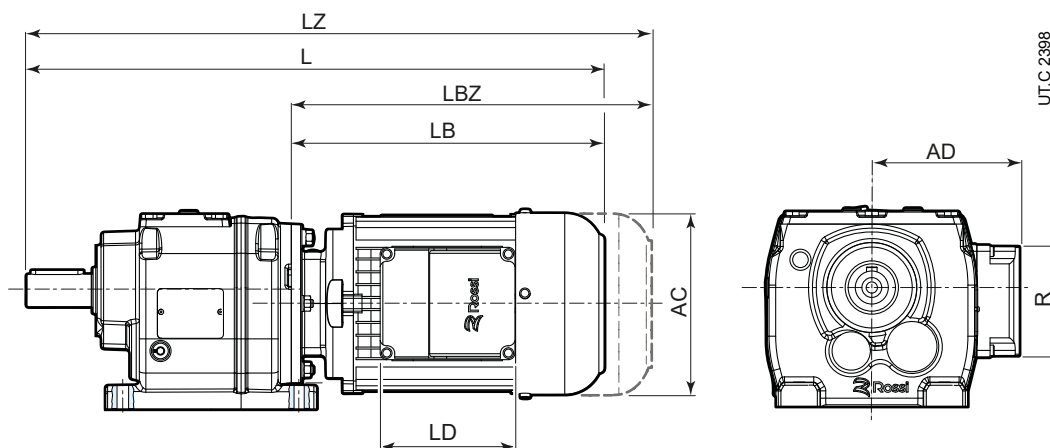


8.7

Notazioni sugli ingombri dimensionali

8.7.1 Dettagli sugli ingombri dei motori HB ed HBZ

Il significato delle dimensioni totali indicate nei disegni del cap.10 e 12 è di seguito illustrato:



dove:

- L lunghezza totale del motoriduttore
- LZ lunghezza totale del motoriduttore con freno
- LB lunghezza totale del motore
- LBZ lunghezza totale del motore con freno
- AC diametro copriventola motore
- LD lunghezza scatola morsettiera motore
- AD ingombro radiale scatola morsettiera motore
- R larghezza scatola morsettiera motore

La lunghezza del motore e la dimensione della scatola morsettiera possono cambiare leggermente in relazione alla presenza di alcune opzioni motore; se necessario, riferirsi al cat. TX. o contattare Rossi S.p.A.

Occhielli e golfari per il sollevamento:

I motoriduttori coassiali **iC** di grandezze \leq iC 57... sono dotati di occhiello di sollevamento per la movimentazione; le grandezze superiori sono dotate di golfari.

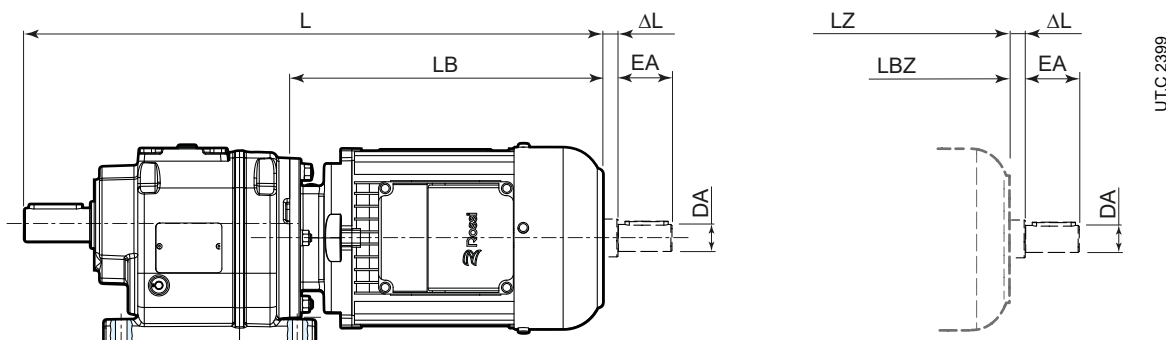
Tutti i motoriduttori ortogonali **iO** sono dotati di un "foro di sollevamento" per la movimentazione realizzato sulla carcassa.

Tappi di sfiato:

I disegni delle dimensioni riportati ai cap. 10 e cap.12 non indicano l'ingombro del tappo di sfiato poiché la sua posizione dipende dalla forma costruttiva.

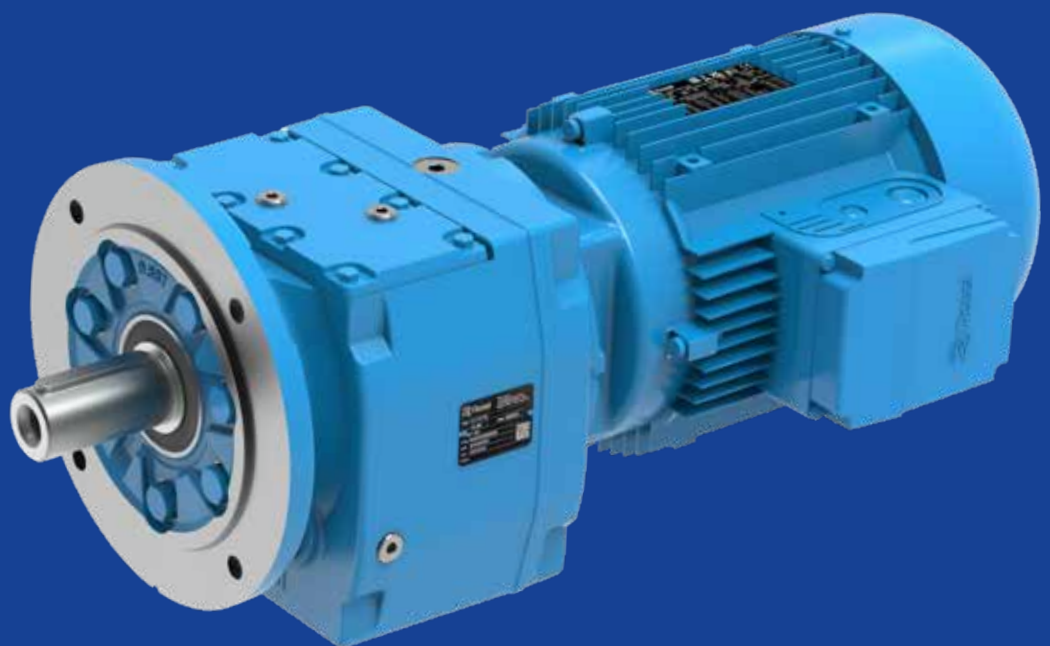
Gli ingombri totali possono dunque differire leggermente da quelli indicati.

8.7.2 Dettagli sugli ingombri seconda estremità d'albero motore



Grandezza motore	Potenza	Poli	DA Ø	EA	ΔL ≈
63	A, B	2, 4, 6	11	23	5
71	A, B	2, 4, 6	11	23	5
80	A, B	2, 4, 6	14	30	7
90	S, L, LA	2, 4, 6	14	30	7
100	LA	2, 4, 6	14	30	8
112	MA	4	14	30	8
112	M	2, 4, 6	19	40	9
132	S, SB	2, 4, 6	19	40	9
132	M	4	19	40	9
132	MB	4	28	60	9

Tabelle di selezione coassiali - iC



Indice di sezione

9.1	Combinazioni geometricamente possibili	84
9.1.1	Generalità	84
9.1.2	Legenda	84
9.2	Tabelle di accoppiamento geometrico	85
9.3	Programma di fabbricazione [kW]	94

9.1

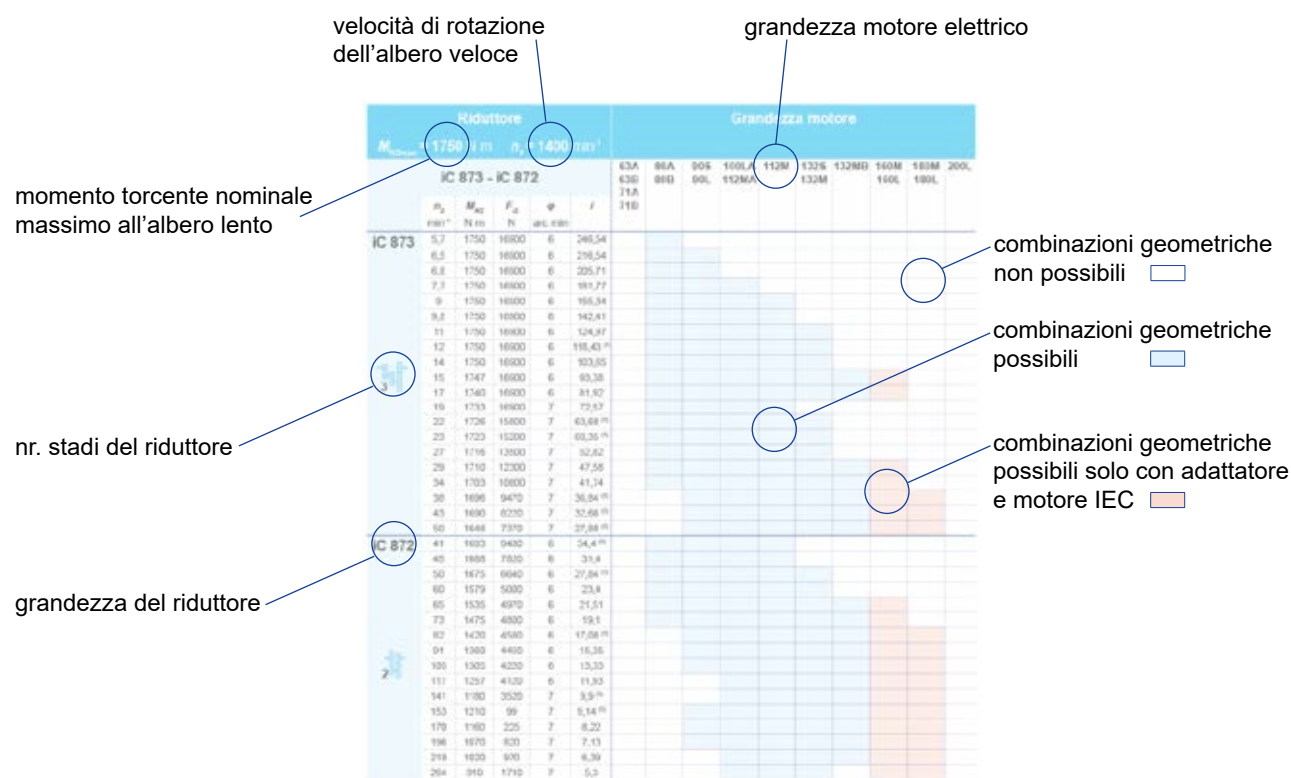
Combinazioni geometriche possibili

9.1.1 Generalità

Le tabelle riportate nelle pagine seguenti mostrano le possibilità di accoppiamento geometrico con i motori HB a 4 poli, in funzione del rotismo (2 o 3 stadi di riduzione) e del rapporto di trasmissione. Vengono anche riportate le velocità di rotazione dell'albero lento n_2 calcolate considerando una velocità nominale di entrata pari a $n_1 = 1400 \text{ min}^{-1}$. A questa velocità sono riferiti altresì i valori di momento nominale all'albero lento M_{N2} e di carico radiale ammissibile F_{r2} agente in mezzzeria.



Al momento della selezione occorre procedere alla valutazione delle reali condizioni di esercizio in relazione all'effettiva potenza del motore applicato così come indicato al cap. 6.

9.1.2 Legenda



dove

- n_2 velocità di rotazione dell'albero lento
- M_{N2} momento torcente nominale all'albero lento
- F_{r2} carico radiale ammissibile in mezzzeria dell'albero lento (alla velocità n_2 e con momento torcente M_{N2} indicati in tabella - valido solo per esecuzione motoriduttore con piedi)
- φ gioco angolare ridotto, riferito all'albero lento (tolleranza ± 2 arc min - se il valore non è specificato, l'opzione gioco ridotto non è disponibile)
- i rapporto di trasmissione

Riduttore						Grandezza motore									
$M_{N2max} = 145 \text{ N m}$ $n_1 = 1400 \text{ min}^{-1}$															
iC 27...						63A 63B 71A 71B	80A 80B	90S 90L	100LA 112MA	112M	132S 132M	132MB	160M 160L	180M 180L	200L
	n_2 min ⁻¹	M_{N2} N m	F_{r2} N	φ arc min	i										
iC 273 	10	145	4230	-	135,09										
	11	145	4230	-	123,91										
	13	144	4230	-	105,49										
	15	143	4230	-	90,96										
	17	143	4230	-	84,78										
	19	142	4230	-	74,11										
	20	142	4180	-	69,47										
	23	142	3980	-	61,3										
	25	141	3840	-	55,87										
	29	141	3630	-	48,17										
	31	140	3530	-	44,9										
	36	140	3350	-	39,25										
	38	139	3260	-	36,79										
	43	139	3100	-	32,47										
	49	138	2950	-	28,78										
57	138	2760	-	24,47											
iC 272 	49	138	2940	-	28,37										
	54	138	2840	-	26,09										
	63	137	2660	-	22,32										
	72	137	2510	-	19,35										
	77	136	2440	-	18,08										
	90	136	2290	-	15,63										
	105	135	2140	-	13,28 ⁽¹⁾										
	118	134	1980	-	11,86										
	138	134	1890	-	10,13										
	149	130	900	-	9,41										
	172	123	870	-	8,16										
	183	120	900	-	7,63 ⁽¹⁾										
	212	110	880	-	6,59										
	250	102	880	-	5,6 ⁽¹⁾										
	280	96	860	-	5 ⁽¹⁾										
	328	87	920	-	4,27										
	350	85	900	-	4 ⁽¹⁾										
415	79	900	-	3,37											

⁽¹⁾ Rapporto di trasmissione i finito

iC

Riduttore						Grandezza motore									
$M_{N2max} = 224 \text{ N m}$ $n_1 = 1400 \text{ min}^{-1}$															
iC 37...						63A 63B 71A 71B	80A 80B	90S 90L	100LA 112MA	112M	132S 132M	132MB	160M 160L	180M 180L	200L
	n_2 min ⁻¹	M_{N2} N m	F_{r2} N	φ arc min	i										
iC 373	10	217	4940	8	134,82										
	11	214	4940	8	123,66										
	13	213	4940	8	105,28										
	15	212	4940	8	90,77										
	17	212	4940	8	84,61										
	19	211	4940	8	73,96										
	20	211	4940	8	69,33										
	23	210	4940	9	61,18										
	25	209	4940	9	55,76										
	29	208	4940	9	48,08										
	31	208	4940	9	44,81										
	36	207	4760	9	39,17										
	38	206	4540	9	36,72										
	43	206	4120	9	32,4										
	49	205	3740	9	28,73										
57	204	3240	9	24,42											
iC 372	49	205	3690	8	28,32										
	54	204	3860	8	26,03										
	63	203	2970	8	22,27										
	73	202	2570	8	19,31										
	78	202	2390	8	18,05										
	90	201	2010	8	15,6										
	106	198	1880	8	13,25										
	118	189	1810	8	11,83										
	138	177	1820	9	10,11										
	148	172	1760	9	9,47										
	176	160	1720	9	7,97										
	210	145	1000	13	6,67										
	247	142	760	13	5,67										
	277	135	790	13	5,06										
	324	126	820	13	4,32										
346	122	840	14	4,05											
411	112	900	14	3,41											

Riduttore						Grandezza motore									
$M_{N2max} = 335 \text{ N m}$ $n_1 = 1400 \text{ min}^{-1}$						63A	80A	90S	100LA	112M	132S	132MB	160M	180M	200L
iC 47...						63B	80B	90L	112MA		132M		160L	180L	
	n_2 min ⁻¹	M_{N2} N m	F_{r2} N	φ arc min	i										
iC 473	7,9	335	5420	7	176,88										
	8,6	335	5420	7	162,94										
	10	335	5420	7	139,99										
	11	335	5420	7	121,87										
	12	335	5420	7	114,17										
	14	335	5420	7	100,86										
	15	335	5420	7	93,68										
	16	335	5420	7	84,9										
	18	335	5420	7	76,23										
	20	335	5420	8	68,54										
	22	335	5420	8	64,21										
	25	335	5420	8	56,73										
	27	335	5350	8	52,69										
	29	335	5140	8	47,75										
	33	335	4930	8	42,87										
	38	335	4630	8	36,93										
	40	335	4520	8	34,73										
	47	335	4240	8	29,88										
	52	335	4050	8	26,7										
	59	335	3840	8	23,59										
iC 472	41	272	4680	7	33,79										
	45	243	4610	7	31,12										
	52	335	4050	7	26,74										
	60	335	3820	7	23,28										
	64	335	3710	7	21,81										
	73	324	3530	7	19,27										
	78	315	3390	7	17,89										
	86	304	3350	7	16,22										
	96	292	3230	7	14,56										
	112	275	3080	8	12,54										
	119	268	3020	8	11,79										
	138	252	2880	8	10,15										
	154	239	2780	8	9,07										
	175	228	2690	8	8,01										
	180	185	2720	10	7,76 ⁽¹⁾										
	201	180	2620	10	6,96										
	233	175	2470	10	6										
	248	175	2410	10	5,64 ⁽¹⁾										
	289	170	2280	11	4,85										
	323	165	2190	12	4,34										
366	160	2080	12	3,83											

⁽¹⁾ Rapporto di trasmissione i finito

iC

Riduttore						Grandezza motore									
$M_{N2max} = 500 \text{ N m}$ $n_1 = 1400 \text{ min}^{-1}$															
iC 57...						63A 63B 71A 71B	80A 80B	90S 90L	100LA 112MA	112M	132S 132M	132MB	160M 160L	180M 180L	200L
	n_2 min ⁻¹	M_{N2} N m	F_{r2} N	φ arc min	i										
iC 573	7,5	500	7100	7	186,89										
	8,1	500	7100	7	172,17										
	9,5	500	7100	7	147,92										
	11	496	7100	7	128,77										
	12	492	7100	7	120,63										
	13	490	7100	7	106,58										
	14	488	7100	7	98,99										
	16	487	7100	7	89,71										
	17	485	7100	7	80,55										
	20	483	7100	8	69,23										
	22	482	6980	8	64,85										
	24	480	6630	8	57,29										
	26	479	6430	8	53,22										
	29	478	6170	8	48,23										
	32	476	5900	8	43,3										
	38	474	5530	8	37,3 ⁽¹⁾										
	40	473	5390	8	35,07										
	46	471	5040	8	30,18										
52	469	4800	8	26,97											
iC 572	53	469	4750	7	26,31										
	56	468	4640	7	24,99 ⁽¹⁾										
	64	466	4370	7	21,93										
	75	463	4050	7	18,6 ⁽¹⁾										
	83	462	3860	7	16,79										
	95	460	3690	7	14,77 ⁽¹⁾										
	100	459	3610	7	13,95 ⁽¹⁾										
	118	450	3430	7	11,88										
	130	437	3330	8	10,79										
	150	412	3180	8	9,35										
	155	387	2010	9	9,06										
	176	366	2020	9	7,97										
	186	355	1950	9	7,53										
	218	335	1770	9	6,41										
	241	320	1820	10	5,82										
	277	305	1730	10	5,05										
319	280	1900	11	4,39											



⁽¹⁾ Rapporto di trasmissione / finito

Riduttore						Grandezza motore									
$M_{N2max} = 670 \text{ N m}$ $n_1 = 1400 \text{ min}^{-1}$															
iC 67...						63A 63B 71A 71B	80A 80B	90S 90L	100LA 112MA	112M	132S 132M	132MB	160M 160L	180M 180L	200L
	n_2 min ⁻¹	M_{N2} N m	F_{r2} N	φ arc min	i										
iC 673	7	670	7560	7	199,81										
	7,6	670	7560	7	184,07										
	8,9	670	7560	7	158,14										
	10	670	7560	7	137,67										
	11	670	7560	7	128,97										
	12	670	7560	7	113,94										
	13	670	7560	7	105,83										
	15	670	7560	7	95,91										
	16	670	7560	7	86,11										
	19	670	7560	7	74,17										
	20	670	7560	7	69,75										
	23	670	7560	7	61,26										
	25	670	7560	7	56,89										
	27	668	7560	8	51,56										
	30	643	7560	8	46,29										
	35	611	7790	8	39,88 ⁽¹⁾										
	37	598	7900	8	37,5										
	43	567	8210	8	32,27										
	49	545	8400	8	28,83										
iC 672	50	600	8210	6	28,13										
	52	600	8210	6	26,72										
	60	630	8010	7	23,44										
	70	655	7560	7	19,89										
	78	633	7330	7	17,95										
	89	606	7130	7	15,79										
	94	590	6980	7	14,91										
	110	541	6640	7	12,7										
	121	515	6500	7	11,54										
	140	477	6220	7	10										
	161	442	5960	7	8,7 ⁽¹⁾										
	180	380	5830	9	7,79										
	190	370	5790	9	7,36 ⁽¹⁾										
	223	330	5590	9	6,27										
	246	310	5450	10	5,7										
	284	290	5210	10	4,93										
	326	270	5000	10	4,29										

iC

⁽¹⁾ Rapporto di trasmissione i finito

iC

Riduttore						Grandezza motore									
$M_{N2max} = 925 \text{ N m}$ $n_1 = 1400 \text{ min}^{-1}$															
iC 77...						63A 63B 71A 71B	80A 80B	90S 90L	100LA 112MA	112M	132S 132M	132MB	160M 160L	180M 180L	200L
	n_2 min ⁻¹	M_{N2} N m	F_{r2} N	φ arc min	i										
iC 773 	7.2	925	9920	7	195,24 ⁽¹⁾										
	8.4	925	9920	7	166,59										
	9.6	925	9920	7	145,67										
	10	925	9920	7	138,39										
	12	916	9920	7	121,42										
	14	911	9920	7	102,99										
	15	908	9920	7	92,97										
	17	905	9920	7	81,8										
	18	903	9920	7	77,24										
	21	899	9920	7	65,77										
	24	895	9920	8	57,68										
	27	892	9920	8	52,07										
	31	888	9920	8	45,81										
	32	887	9920	8	43,26										
	38	876	9920	8	36,83										
	42	849	9920	8	33,47										
	48	820	9920	8	29										
55	780	10100	8	25,23											
iC 772 	60	820	8870	7	23,37										
	65	820	8250	7	21,43										
	74	780	7980	7	18,8										
	79	780	7620	7	17,82 ⁽¹⁾										
	90	740	7390	7	15,6										
	100	720	7050	7	14,05										
	114	690	6740	7	12,33										
	129	660	6490	7	10,88										
	145	630	6300	7	9,64										
	163	630	4110	8	8,59										
	181	610	3940	8	7,74										
	206	580	3850	8	6,79										
	234	540	3990	8	5,99 ⁽¹⁾										
264	510	3990	9	5,31 ⁽¹⁾											

⁽¹⁾ Rapporto di trasmissione / finito

Riduttore						Grandezza motore									
$M_{N2max} = 1750 \text{ N m}$ $n_1 = 1400 \text{ min}^{-1}$															
iC 87...						63A 63B 71A 71B	80A 80B	90S 90L	100LA 112MA	112M	132S 132M	132MB	160M 160L	180M 180L	200L
	n_2 min ⁻¹	M_{N2} N m	F_{r2} N	φ arc min	i										
iC 873	5,7	1750	16900	6	246,54										
	6,5	1750	16900	6	216,54										
	6,8	1750	16900	6	205,71										
	7,7	1750	16900	6	181,77										
	9	1750	16900	6	155,34										
	9,8	1750	16900	6	142,41										
	11	1750	16900	6	124,97										
	12	1750	16900	6	118,43 ⁽¹⁾										
	14	1750	16900	6	103,65										
	15	1747	16900	6	93,38										
	17	1740	16900	6	81,92										
	19	1733	16900	7	72,57										
	22	1726	15800	7	63,68 ⁽¹⁾										
	23	1723	15200	7	60,35 ⁽¹⁾										
	27	1716	13500	7	52,82										
	29	1710	12300	7	47,58										
	34	1703	10800	7	41,74										
	38	1696	9470	7	36,84 ⁽¹⁾										
43	1690	8220	7	32,66 ⁽¹⁾											
50	1646	7370	7	27,88											
iC 872	41	1693	9480	6	34,4 ⁽¹⁾										
	45	1688	7820	6	31,4										
	50	1675	6640	6	27,84 ⁽¹⁾										
	60	1579	5000	6	23,4										
	65	1535	4970	6	21,51										
	73	1475	4800	6	19,1										
	82	1420	4580	6	17,08 ⁽¹⁾										
	91	1369	4450	6	15,35										
	105	1305	4220	6	13,33										
	117	1257	4120	6	11,93										
	141	1180	3520	7	9,9 ⁽¹⁾										
	153	1210	99	7	9,14 ⁽¹⁾										
	170	1160	225	7	8,22										
	196	1070	820	7	7,13										
	219	1020	970	7	6,39										
264	910	1710	7	5,3 ⁽¹⁾											

iC

⁽¹⁾ Rapporto di trasmissione i finito

iC





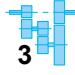
Riduttore						Grandezza motore									
$M_{N2max} = 3350 \text{ N m}$ $n_1 = 1400 \text{ min}^{-1}$															
iC 97...						63A 63B 71A 71B	80A 80B	90S 90L	100LA 112MA	112M	132S 132M	132MB	160M 160L	180M 180L	200L
	n_2 min ⁻¹	M_{N2} N m	F_{r2} N	φ arc min	i										
iC 973	4,8	3350	19800	6	289,74										
	5,5	3350	19800	6	255,71										
	5,8	3350	19800	6	241,25										
	6,5	3350	19800	6	216,28										
	7,5	3350	19800	6	186,3										
	8,2	3350	19800	6	170,02										
	9,3	3350	19800	6	150,78										
	11	3316	19800	6	126,75										
	12	3274	19800	6	116,48										
	14	3261	19800	6	103,44										
	15	3249	19800	6	92,48										
	17	3239	19800	6	83,15										
	19	3224	18000	6	72,17										
	21	3214	16300	7	65,21										
	23	3205	14800	7	59,92										
	26	3193	12900	7	53,21										
	29	3182	11100	7	47,58										
	33	3171	9480	7	42,78										
38	3088	7410	7	37,13											
42	2972	7160	7	33,25											
51	2783	7260	7	27,58											
iC 972	44	2900	10600	6	32,05										
	51	2900	8380	6	27,19										
	56	2927	4140	6	25,03										
	63	2822	4060	6	22,37										
	70	2728	4110	6	20,14										
	77	2642	4270	6	18,24										
	87	2541	4130	6	16,17										
	96	2461	4240	6	14,62										
	113	2335	3850	6	12,39										
	129	2237	3720	6	10,83										
	151	2184	-	6	9,29										
	167	2081	-	6	8,39										
	197	2000	-	6	7,12										
	225	1890	-	6	6,21										
	269	1780	-	7	5,2										
311	1630	-	7	4,5 ⁽¹⁾											

⁽¹⁾ Rapporto di trasmissione / finito

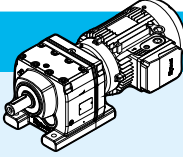
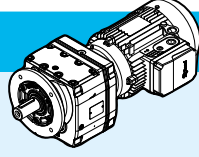

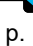



pagina lasciata intenzionalmente vuota




9.3

Programma di fabbricazione [kW]

$P_1 = 0,12 \text{ kW}$												
n_2 min ⁻¹	M_2 N m	i	F_{r2} N	f_s		con piedi		con flangia				
						HB	HBZ	HB	HBZ			
4,7	246	195,24 ⁽¹⁾	12900	3,8	iC 773 – HB2 63 B 6 B20B		45	47	52	54	144	
5,5	210	166,59	13000	4,4								
6,2	183	145,67	13000	5								
4,6	252	199,81	10000	2,7	iC 673 – HB2 63 B 6 B16B		36	38	39	41	142	
4,9	232	184,07	10100	2,9								
5,8	199	158,14	10200	3,4								
6,6	173	137,67	10300	3,9								
7,1	162	128,97	10300	4,1								
8,0	143	113,94	10400	4,7								
6,9	167	199,81	10300	4	iC 673 – HB2 63 A 4 B16B		36	38	39	41	142	
7,4	154	184,07	10400	4,4								
4,9	235	186,89	7760	2,1	iC 573 – HB2 63 B 6 B16B		28	29	31	33	140	
5,3	217	172,17	7800	2,3								
6,2	186	147,92	7860	2,7								
7,1	162	128,77	7900	3,1								
7,5	152	120,63	7920	3,3								
8,5	134	106,58	7940	3,7								
9,2	125	98,99	7950	4								
7,3	156	186,89	7920	3,2	iC 573 – HB2 63 A 4 B16B		27	29	30	32	140	
8,0	144	172,17	7940	3,5								
9,3	124	147,92	7960	4								
11	108	128,77	7980	4,6								
5,1	223	176,88	5730	1,5	iC 473 – HB2 63 B 6 B16B		21	23	22	24	138	
5,6	205	162,94	5800	1,65								
6,5	176	139,99	5900	1,9								
7,5	153	121,87	5970	2,2								
7,7	148	176,88	6000	2,3	iC 473 – HB2 63 A 4 B16B		21	23	22	24	138	
8,4	136	162,94	6030	2,5								
9,8	117	139,99	6070	2,9								
11	102	121,87	6100	3,3								
12	96	114,17	6100	3,5								
14	84	100,86	6120	4								
15	78	93,68	6130	4,3								
6,7	170	134,82	4870	1,3			iC 373 – HB2 63 B 6 B12B		15	17	17	19
7,4	156	123,66	5290	1,45								
8,6	133	105,28	5560	1,7								
10	114	90,77	5700	1,9								
11	107	84,61	5750	2								
12	93	73,96	5830	2,3								

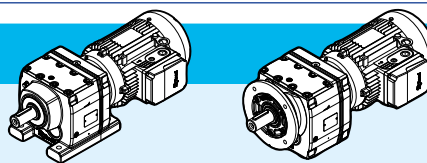
⁽¹⁾ Rapporto di trasmissione i finito

$P_1 = 0,12 \text{ kW}$											
n_2 min ⁻¹	M_2 N m	i	F_{r2} N	fs			con piedi		con flangia		
							HB	HBZ	HB	HBZ	
10	113	134,82	5750	1,95	iC 373 – HB2 63 A 4 B12B		14	16	16	18	136
11	103	123,66	5800	2,1							
13	88	105,28	5880	2,4							
15	76	90,77	5930	2,8							
16	71	84,61	5950	3							
19	62	73,96	5980	3,4							
7,3	156	123,91	2660	0,95	iC 273 – HB2 63 B 6 B12B		14	16	16	18	134
8,6	133	105,49	3300	1,1							
10	115	90,96	3800	1,25							
11	107	84,78	3990	1,35							
12	93	74,11	4060	1,55							
10	113	135,09	3990	1,3	iC 273 – HB2 63 A 4 B12B		13	15	13	15	134
11	104	123,91	4040	1,4							
13	88	105,49	4110	1,65							
15	76	90,96	4170	1,9							
16	71	84,78	4200	2							
18	62	74,11	4240	2,3							
20	58	69,47	4260	2,4							
22	51	61,3	4290	2,8							
25	47	55,87	4280	3							
28	40	48,17	4090	3,5							
31	38	44,9	4000	3,7							

$P_1 = 0,18 \text{ kW}$											
4,7	369	195,24 ⁽¹⁾	12600	2,5	iC 773 – HB2 71 A 6 B20B		45	47	51	54	144
5,5	315	166,59	12800	2,9							
6,2	275	145,67	12900	3,4							
6,6	261	138,39	12900	3,5							
7,5	229	121,42	13000	4							
7,0	247	195,24 ⁽¹⁾	12900	3,7	iC 773 – HB2 63 B 4 B20B		45	47	51	54	144
8,2	211	166,59	13000	4,4							
9,3	184	145,67	13000	5							
9,8	175	138,39	13000	5,3							
4,6	377	199,81	9490	1,8	iC 673 – HB2 71 A 6 B16B		38	40	40	43	142
4,9	348	184,07	9660	1,95							
5,8	299	158,14	9900	2,2							
6,6	260	137,67	10100	2,6							
7,1	244	128,97	10100	2,8							
8,0	215	113,94	10200	3,1							
8,6	200	105,83	10300	3,4							
9,5	181	95,91	10300	3,7							
11	163	86,11	10400	4,1							
12	140	74,17	10400	4,8							
13	132	69,75	10400	5,1							

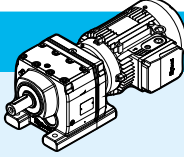
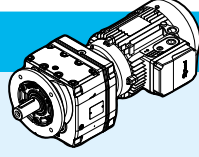




⁽¹⁾Rapporto di trasmissione i finito





$P_1 = 0,18 \text{ kW}$



n_2 min ⁻¹	M_2 N m	i	F_{r2} N	fs		con piedi		con flangia		p.	
						HB	HBZ	HB	HBZ		
6,8	253	199,81	10100	2,7	iC 673 – HB2 63 B 4 B16B		36	38	39	40	142
7,4	233	184,07	10200	2,9							
8,6	200	158,14	10300	3,4							
9,9	174	137,67	10300	3,9							
11	163	128,97	10400	4,1							
12	144	113,94	10400	4,7							
13	134	105,83	10400	5							
4,9	353	186,89	7480	1,4	iC 573 – HB2 71 A 6 B16B		29	32	32	35	140
5,3	325	172,17	7560	1,55							
6,2	279	147,92	7690	1,8							
7,1	243	128,77	7770	2,1							
7,5	228	120,63	7800	2,2							
7,3	236	186,89	7790	2,1	iC 573 – HB2 63 B 4 B16B		28	29	31	33	140
7,9	218	172,17	7820	2,3							
9,2	187	147,92	7880	2,7							
11	163	128,77	7910	3							
11	152	120,63	7930	3,2							
13	135	106,58	7950	3,6							
14	125	98,99	7960	3,9							
15	113	89,71	7970	4,3							
7,7	224	176,88	5780	1,5			iC 473 – HB2 63 B 4 B16B		21	23	22
8,3	206	162,94	5840	1,65							
9,7	177	139,99	5930	1,9							
11	154	121,87	5990	2,2							
12	144	114,17	6010	2,3							
13	127	100,86	6050	2,6							
15	118	93,68	6070	2,8							
16	107	84,9	6090	3,1							
18	96	76,23	6100	3,5							
7,4	234	123,66	3330	0,95	iC 373 – HB2 71 A 6 B12B		16	19	18	21	136
8,6	199	105,28	4300	1,15							
10	171	90,77	5070	1,3							
11	160	84,61	5390	1,35							
10	170	134,82	5130	1,3	iC 373 – HB2 63 B 4 B12B		15	17	17	19	136
11	156	123,66	5430	1,35							
13	133	105,28	5620	1,6							
15	115	90,77	5740	1,85							
16	107	84,61	5780	2							
18	93	73,96	5860	2,3							
20	88	69,33	5880	2,4							
22	77	61,18	5930	2,7							
24	70	55,76	5950	3							
28	61	48,08	5890	3,4							

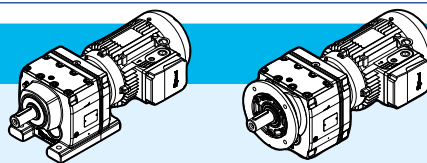
⁽¹⁾ Rapporto di trasmissione i finito

$P_1 = 0,18 \text{ kW}$											
n_2 min ⁻¹	M_2 N m	i	F_{r2} N	fs		con piedi		con flangia			
						HB	HBZ	HB	HBZ		
11	157	123,91	2880	0,9	iC 273 – HB2 63 B 4 B12B		14	15	14	16	134
13	133	105,49	3490	1,1							
15	115	90,96	3960	1,25							
16	107	84,78	4020	1,35							
18	94	74,11	4090	1,5							
20	88	69,47	4110	1,6							
22	77	61,3	4160	1,85							
24	71	55,87	4170	2							
28	61	48,17	4000	2,3							
30	57	44,9	3920	2,5							
35	50	39,25	3770	2,8							
37	47	36,79	3700	3							
42	41	32,47	3560	3,4							
47	36	28,78	3440	3,8							
56	31	24,47	3270	4,4							
48	36	28,37	3420	3,9	iC 272 – HB2 63 B 4 B12B		14	15	14	16	134
52	33	26,09	3340	4,2							
61	28	22,32	3180	4,9							
70	24	19,35	3050	5,6							
75	23	18,08	2980	6							
87	20	15,63	2850	6,9							
102	17	13,28 ⁽¹⁾	2710	8							

$P_1 = 0,25 \text{ kW}$											
4,6	518	195,24 ⁽¹⁾	12000	1,8	iC 773 – HB2 71 B 6 B20B		46	48	52	55	144
5,4	442	166,59	12400	2,1							
6,2	386	145,67	12600	2,4							
7,2	333	195,24 ⁽¹⁾	12700	2,8	iC 773 – HB2 71 A 4 B20B		44	47	51	54	144
8,4	284	166,59	12800	3,3							
9,6	248	145,67	12900	3,7							
10	236	138,39	13000	3,9							
12	207	121,42	13000	4,4							
4,5	530	199,81	8390	1,25	iC 673 – HB2 71 B 6 B16B		38	41	41	44	142
4,9	488	184,07	8750	1,35							
5,7	420	158,14	9250	1,6							
6,5	365	137,67	9580	1,85							
7,0	342	128,97	9700	1,95							
7,9	302	113,94	9900	2,2							
8,5	281	105,83	9990	2,4							
7,0	341	199,81	9690	1,95	iC 673 – HB2 71 A 4 B16B		37	40	40	43	142
7,6	314	184,07	9820	2,1							
8,9	270	158,14	10000	2,5							






⁽¹⁾Rapporto di trasmissione i finito

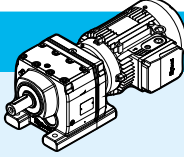
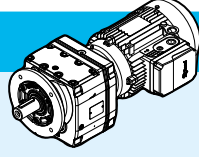





$P_1 = 0,25 \text{ kW}$



kg

p.

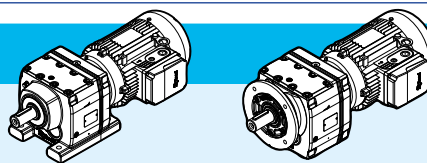
n_2 min ⁻¹	M_2 N m	i	F_{r2} N	fs		con piedi		con flangia			
						HB	HBZ	HB	HBZ		
10	235	137,67	10100	2,9	iC 673 – HB2 71 A 4 B16B		37	40	40	43	142
11	220	128,97	10200	3							
12	194	113,94	10300	3,4							
13	180	105,83	10300	3,7							
15	164	95,91	10400	4,1							
16	147	86,11	10400	4,6							
4,8	496	186,89	6390	1	iC 573 – HB2 71 B 6 B16B		30	32	33	36	140
5,2	457	172,17	7110	1,1							
6,1	392	147,92	7360	1,25							
7,0	342	128,77	7520	1,45							
7,5	320	120,63	7590	1,55							
8,4	283	106,58	7690	1,75							
9,1	263	98,99	7730	1,9							
7,5	319	186,89	7580	1,55	iC 573 – HB2 71 A 4 B16B		29	31	32	35	140
8,1	294	172,17	7650	1,7							
9,5	252	147,92	7750	2							
11	220	128,77	7820	2,3							
12	206	120,63	7840	2,4							
13	182	106,58	7880	2,7							
14	169	98,99	7900	2,9							
16	153	89,71	7920	3,2							
17	137	80,55	7940	3,5							
20	118	69,23	7960	4,1							
7,9	302	176,88	4980	1,1			iC 473 – HB2 71 A 4 B16B		22	25	23
8,6	278	162,94	5540	1,2							
10	239	139,99	5710	1,4							
11	208	121,87	5830	1,6							
12	195	114,17	5870	1,7							
14	172	100,86	5940	1,95							
15	160	93,68	5970	2,1							
16	145	84,9	6010	2,3							
18	130	76,23	6040	2,6							
20	117	68,54	6070	2,9							
22	110	64,21	6080	3,1							
25	97	56,73	6100	3,5							
27	90	52,69	6110	3,7							
29	81	47,75	5940	4,1							
10	230	134,82	3420	0,95	iC 373 – HB2 71 A 4 B12B		16	19	18	21	136
11	211	123,66	3950	1							
13	180	105,28	4840	1,2							
15	155	90,77	5430	1,35							
17	144	84,61	5520	1,45							
19	126	73,96	5660	1,65							
20	118	69,33	5710	1,8							

$P_1 = 0,25 \text{ kW}$											
n_2 min ⁻¹	M_2 N m	i	F_{r2} N	fs			con piedi		con flangia		
							HB	HBZ	HB	HBZ	
23	104	61,18	5800	2	iC 373 – HB2 71 A 4 B12B		16	19	18	21	136
25	95	55,76	5840	2,2							
29	82	48,08	5740	2,5							
31	76	44,81	5630	2,7							
36	67	39,17	5410	3,1							
38	63	36,72	5310	3,3							
43	55	32,4	5110	3,7							
17	145	84,78	3160	1	iC 273 – HB2 71 A 4 B12B		15	17	15	18	134
19	126	74,11	3640	1,15							
20	118	69,47	3850	1,2							
23	105	61,3	4030	1,35							
25	95	55,87	4010	1,5							
29	82	48,17	3860	1,7							
31	77	44,9	3790	1,85							
36	67	39,25	3650	2,1							
38	63	36,79	3590	2,2							
43	55	32,47	3460	2,5							
49	49	28,78	3350	2,8							
57	42	24,47	3200	3,3							
49	48	28,37	3340	2,9	iC 272 – HB2 71 A 4 B12B		15	17	15	18	134
54	44	26,09	3260	3,1							
63	38	22,32	3110	3,6							
72	33	19,35	2980	4,1							
77	31	18,08	2920	4,4							
90	27	15,63	2800	5,1							
105	23	13,28 ⁽¹⁾	2660	6							
118	20	11,86	2570	6,6							
138	17	10,13	2450	7,7							
149	16	9,41	2380	7,6							
172	14	8,16	2280	8,9							
184	13	7,63 ⁽¹⁾	2230	9,2							
212	11	6,59	2130	9,8							
250	10	5,6 ⁽¹⁾	2020	11							
280	9	5 ⁽¹⁾	1950	11							
328	7	4,27	1860	12							
350	6,8	4 ⁽¹⁾	1820	13							
415	6	3,37	1720	14							

iC

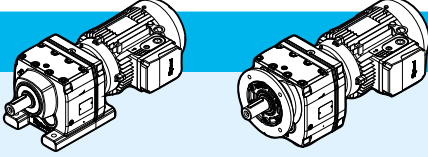






⁽¹⁾ Rapporto di trasmissione i finito

$P_1 = 0,37 \text{ kW}$



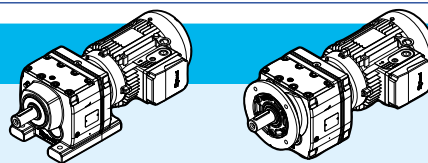
n_2 min ⁻¹	M_2 N m	i	F_{r2} N	fs		con piedi		con flangia		p.	
						HB	HBZ	HB	HBZ		
3,2	1101	289,74	28100	3	iC 973 – HB2 80 A 6 B30C		134	138	150	154	148
3,6	972	255,71	28300	3,4							
3,9	917	241,25	28300	3,7							
4,3	822	216,28	28400	4,1							
3,8	937	246,54	20000	1,85	iC 873 – HB2 80 A 6 B25C		81	85	89	93	146
4,3	823	216,54	20000	2,1							
4,5	782	205,71	20000	2,2							
5,1	691	181,77	20000	2,5							
6,0	590	155,34	20000	3							
6,5	541	142,41	20000	3,2							
5,6	633	166,59	11400	1,45	iC 773 – HB2 80 A 6 B20C		47	51	53	57	144
6,4	553	145,67	11800	1,65							
6,7	526	138,39	12000	1,75							
7,2	493	195,24 ⁽¹⁾	12100	1,9	iC 773 – HB2 71 B 4 B20B		45	48	52	55	144
8,4	420	166,59	12400	2,2							
9,6	368	145,67	12600	2,5							
10	349	138,39	12700	2,6							
12	306	121,42	12800	3							
14	260	102,99	12900	3,5							
15	235	92,97	13000	3,9							
5,9	601	158,14	7590	1,1			iC 673 – HB2 80 A 6 B16C		40	44	42
6,8	523	137,67	8400	1,3							
7,2	490	128,97	8690	1,35							
8,2	433	113,94	9130	1,55							
7,0	504	199,81	8590	1,35	iC 673 – HB2 71 B 4 B16B		38	41	41	44	142
7,6	465	184,07	8910	1,45							
8,9	399	158,14	9370	1,7							
10	347	137,67	9670	1,95							
11	326	128,97	9780	2,1							
12	288	113,94	9950	2,3							
13	267	105,83	10000	2,5							
15	242	95,91	10100	2,8							
16	217	86,11	10200	3,1							
19	187	74,17	10300	3,6							
20	176	69,75	10300	3,8							
23	155	61,26	10400	4,3							
25	144	56,89	10400	4,7							
7,2	489	128,77	6410	1	iC 573 – HB2 80 A 6 B16C		31	35	34	38	140
7,7	458	120,63	7000	1,1							
8,7	405	106,58	7300	1,25							
9,4	376	98,99	7400	1,35							
7,5	472	186,89	6790	1,05	iC 573 – HB2 71 B 4 B16B		30	32	33	35	140
8,1	435	172,17	7190	1,15							
9,5	373	147,92	7420	1,35							

⁽¹⁾ Rapporto di trasmissione i finito

$P_1 = 0,37 \text{ kW}$											
n_2 min ⁻¹	M_2 N m	i	F_{r2} N	fs		con piedi		con flangia			
						HB	HBZ	HB	HBZ		
11	325	128,77	7570	1,55	iC 573 – HB2 71 B 4 B16B		30	32	33	35	140
12	304	120,63	7630	1,6							
13	269	106,58	7720	1,8							
14	250	98,99	7760	1,95							
16	226	89,71	7810	2,2							
17	203	80,55	7850	2,4							
20	175	69,23	7900	2,8							
22	164	64,85	7910	2,9							
24	145	57,29	7700	3,3							
26	134	53,22	7540	3,6							
29	122	48,23	7320	3,9							
10	353	139,99	3770	0,95			iC 473 – HB2 71 B 4 B16B		23	26	24
11	308	121,87	4880	1,1							
12	288	114,17	5360	1,15							
14	255	100,86	5650	1,3							
15	236	93,68	5730	1,4							
16	214	84,9	5810	1,55							
18	192	76,23	5880	1,75							
20	173	68,54	5940	1,95							
22	162	64,21	5970	2,1							
25	143	56,73	6020	2,3							
27	133	52,69	5940	2,5							
29	121	47,75	5780	2,8							
33	108	42,87	5610	3,1							
38	93	36,93	5370	3,6							
40	88	34,73	5280	3,8							
41	85	33,79	5230	3,2	iC 472 – HB2 71 B 4 B16B		23	26	24	27	138
45	79	31,12	5110	3,1							
52	67	26,74	4880	5							
60	59	23,28	4680	5,7							
64	55	21,81	4590	6,1							
15	229	90,77	3480	0,95	iC 373 – HB2 71 B 4 B12B		17	19	19	21	136
17	214	84,61	3920	1							
19	187	73,96	4670	1,15							
20	175	69,33	5000	1,2							
23	154	61,18	5450	1,35							
25	141	55,76	5560	1,5							
29	121	48,08	5550	1,7							
31	113	44,81	5440	1,85							
36	99	39,17	5250	2,1							
38	93	36,72	5160	2,2							
43	82	32,4	4980	2,5							
49	73	28,73	4810	2,8							
57	62	24,42	4590	3,3							

iC

$P_1 = 0,37 \text{ kW}$

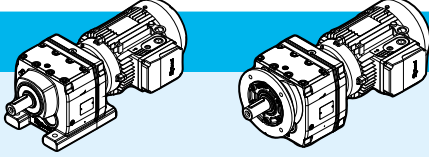










n_2 min ⁻¹	M_2 N m	i	F_{r2} N	fs		con piedi		con flangia		p.	
						HB	HBZ	HB	HBZ		
49	71	28,32	4790	2,9	iC 372 – HB2 71 B 4 B12B		17	19	19	21	136
54	66	26,03	4680	3,1							
63	56	22,27	4470	3,6							
73	49	19,31	4280	4,2							
78	46	18,05	4200	4,4							
90	39	15,6	4020	5,1							
106	33	13,25	3820	5,9							
118	30	11,83	3690	6,3							
23	155	61,3	2930	0,9	iC 273 – HB2 71 B 4 B12B		16	18	16	19	134
25	141	55,87	3280	1							
29	122	48,17	3660	1,15							
31	113	44,9	3600	1,25							
36	99	39,25	3490	1,4							
38	93	36,79	3430	1,5							
43	82	32,47	3330	1,7							
49	73	28,78	3230	1,9							
57	62	24,47	3090	2,2							
49	72	28,37	3220	1,95			iC 272 – HB2 71 B 4 B12B		16	18	
54	66	26,09	3140	2,1							
63	56	22,32	3020	2,4							
72	49	19,35	2900	2,8							
77	46	18,08	2840	3							
90	39	15,63	2730	3,4							
105	34	13,28 ⁽¹⁾	2600	4							

$P_1 = 0,55 \text{ kW}$

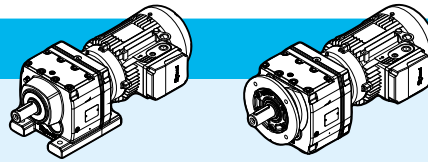
3,2	1654	289,74	27500	2	iC 973 – HB2 80 B 6 B30C		136	140	152	156	148
3,6	1460	255,71	27800	2,3							
3,8	1377	241,25	27900	2,4							
4,3	1235	216,28	28000	2,7							
4,8	1083	289,74	28200	3,1	iC 973 – HB2 80 A 4 B30C		134	138	150	154	148
5,5	956	255,71	28300	3,5							
5,8	902	241,25	28300	3,7							
6,5	809	216,28	28400	4,1							
3,7	1408	246,54	15600	1,25			iC 873 – HB2 80 B 6 B25C		83	87	91
4,2	1236	216,54	17900	1,4							
4,5	1174	205,71	18800	1,5							
5,1	1038	181,77	19900	1,7							
5,9	887	155,34	20000	1,95							
5,7	922	246,54	20000	1,9	iC 873 – HB2 80 A 4 B25C				81	85	89
6,5	810	216,54	20000	2,2							
6,8	769	205,71	20000	2,3							
7,7	680	181,77	20000	2,6							

⁽¹⁾ Rapporto di trasmissione i finito

$P_1 = 0,55 \text{ kW}$											
n_2 min ⁻¹	M_2 N m	i	F_{r2} N	fs		con piedi		con flangia			
						HB	HBZ	HB	HBZ		
9,0	581	155,34	20000	3	iC 873 – HB2 80 A 4 B25C		81	85	89	93	146
9,9	532	142,41	20000	3,3							
11	467	124,97	20000	3,7							
12	443	118,43 ⁽¹⁾	20000	4							
14	387	103,65	20000	4,5							
8,4	623	166,59	11500	1,5	iC 773 – HB2 80 A 4 B20C		46	50	53	57	144
9,6	545	145,67	11900	1,7							
10	517	138,39	12000	1,8							
12	454	121,42	12300	2							
14	385	102,99	12600	2,4							
15	348	92,97	12700	2,6							
17	306	81,8	12800	3							
18	289	77,24	12800	3,1							
21	246	65,77	12900	3,7							
8,9	591	158,14	7800	1,15	iC 673 – HB2 80 A 4 B16C		39	43	42	46	142
10	515	137,67	8550	1,3							
11	482	128,97	8820	1,4							
12	426	113,94	9220	1,55							
13	396	105,83	9420	1,7							
15	359	95,91	9630	1,85							
16	322	86,11	9810	2,1							
19	277	74,17	10000	2,4							
20	261	69,75	10100	2,6							
23	229	61,26	10200	2,9							
25	213	56,89	10200	3,2							
12	451	120,63	7140	1,1	iC 573 – HB2 80 A 4 B16C		31	34	34	38	140
13	398	106,58	7340	1,25							
14	370	98,99	7440	1,3							
16	335	89,71	7550	1,45							
17	301	80,55	7640	1,6							
20	259	69,23	7740	1,85							
22	242	64,85	7670	2							
25	214	57,29	7420	2,2							
26	199	53,22	7280	2,4							
29	180	48,23	7090	2,6							
32	162	43,3	6880	2,9							
38	139	37,3 ⁽¹⁾	6600	3,4							
40	131	35,07	6480	3,6							
53	98	26,31	5960	4,8	iC 572 – HB2 80 A 4 B16C		30	33	33	37	140
56	93	24,99 ⁽¹⁾	5870	5							
64	82	21,93	5650	5,7							
76	70	18,6 ⁽¹⁾	5380	6,7							
15	350	93,68	3940	0,95	iC 473 – HB2 80 A 4 B16C		24	28	25	29	138
17	317	84,9	4730	1,05							

⁽¹⁾ Rapporto di trasmissione i finito

$P_1 = 0,55 \text{ kW}$

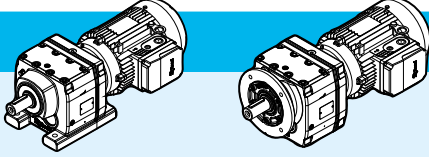


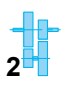



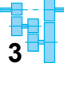

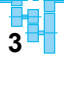

kg

p.

n_2 min ⁻¹	M_2 N m	i	F_{r2} N	fs		con piedi		con flangia			
						HB	HBZ	HB	HBZ		
18	285	76,23	5510	1,2	iC 473 – HB2 80 A 4 B16C		24	28	25	29	138
20	256	68,54	5660	1,3							
22	240	64,21	5720	1,4							
25	212	56,73	5800	1,6							
27	197	52,69	5690	1,7							
29	179	47,75	5550	1,9							
33	160	42,87	5400	2,1							
38	138	36,93	5190	2,4							
40	130	34,73	5100	2,6							
47	112	29,88	4890	3							
53	100	26,74	4740	3,4	iC 472 – HB2 80 A 4 B16C		24	28	25	29	138
60	87	23,28	4560	3,8							
64	82	21,81	4470	4,1							
23	229	61,18	3560	0,9	iC 373 – HB2 80 A 4 B12C		18	22	20	24	136
25	208	55,76	4120	1							
29	180	48,08	4920	1,15							
31	168	44,81	5170	1,25							
36	146	39,17	5010	1,4							
38	137	36,72	4930	1,5							
43	121	32,4	4780	1,7							
49	107	28,73	4630	1,9							
58	91	24,42	4430	2,2							
63	83	22,27	4320	2,5			iC 372 – HB2 80 A 4 B12C		18	22	20
73	72	19,31	4160	2,8							
78	67	18,05	4080	3							
90	58	15,6	3910	3,5							
106	50	13,25	3730	4							
119	44	11,83	3610	4,3							
36	147	39,25	3180	0,95	iC 273 – HB2 80 A 4 B12C		17	20	17	21	134
38	138	36,79	3210	1							
43	121	32,47	3130	1,15							
49	108	28,78	3050	1,3							
57	91	24,47	2940	1,5							
63	83	22,32	2870	1,65	iC 272 – HB2 80 A 4 B12C		17	20	17	21	134
73	72	19,35	2770	1,9							
78	68	18,08	2730	2							
90	58	15,63	2630	2,3							
106	50	13,28 ⁽¹⁾	2520	2,7							
118	44	11,86	2440	3							
139	38	10,13	2330	3,5							
149	35	9,41	2260	3,5							
172	30	8,16	2170	4							

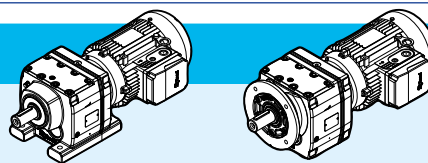
⁽¹⁾ Rapporto di trasmissione i finito

$P_1 = 0,55 \text{ kW}$							 kg				 p.
n_2 min ⁻¹	M_2 N m	i	F_{r2} N	fs			con piedi		con flangia		
							HB	HBZ	HB	HBZ	
184	29	7,63 ⁽¹⁾	2130	4,2	iC 272 – HB2 80 A 4 B12C						
213	25	6,59	2040	4,5							
251	21	5,6 ⁽¹⁾	1950	4,9							
281	19	5 ⁽¹⁾	1880	5,2							
329	16	4,27	1800	5,6							
351	15	4 ⁽¹⁾	1760	5,8							
417	13	3,37	1670	6,4							
							17	20	17	21	134

$P_1 = 0,75 \text{ kW}$												
3,6	1969	255,71	25900	1,7	iC 973 – HB3 90 S 6 B30D							
3,9	1858	241,25	27100	1,8				142	146	158	162	148
4,3	1666	216,28	27500	2								
4,9	1472	289,74	27700	2,3	iC 973 – HB3 80 B 4 B30C							
5,5	1299	255,71	27900	2,6				138	142	154	158	148
5,8	1226	241,25	28000	2,7								
6,5	1099	216,28	28200	3								
7,6	946	186,3	28300	3,5								
8,3	864	170,02	28400	3,9								
4,3	1668	216,54	11500	1,05	iC 873 – HB3 90 S 6 B25D							
4,5	1584	205,71	12700	1,1				89	93	97	101	146
5,1	1400	181,77	15300	1,25								
6,0	1196	155,34	18100	1,45								
6,5	1097	142,41	19500	1,6								
5,7	1252	246,54	18800	1,4	iC 873 – HB3 80 B 4 B25C							
6,5	1100	216,54	19500	1,6				85	89	93	97	146
6,9	1045	205,71	19700	1,65								
7,8	923	181,77	20000	1,9								
9,1	789	155,34	20000	2,2								
9,9	723	142,41	20000	2,4								
11	635	124,97	20000	2,8								
12	602	118,43 ⁽¹⁾	20000	2,9								
14	527	103,65	20000	3,3								
15	474	93,38	20000	3,7								
8,5	846	166,59	9840	1,1	iC 773 – HB3 80 B 4 B20C							
9,7	740	145,67	10700	1,25				51	55	57	61	144
10	703	138,39	11000	1,3								
12	617	121,42	11500	1,5								
14	523	102,99	12000	1,75								
15	472	92,97	12200	1,9								
17	416	81,8	12500	2,2								
18	392	77,24	12500	2,3								
21	334	65,77	12700	2,7								

⁽¹⁾ Rapporto di trasmissione i finito

$P_1 = 0,75 \text{ kW}$

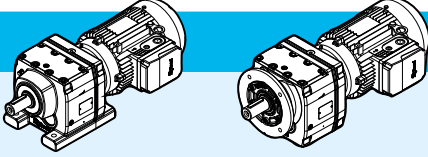

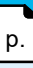







kg

p.

n_2 min ⁻¹	M_2 N m	i	F_{r2} N	fs		con piedi		con flangia			
						HB	HBZ	HB	HBZ		
24	293	57,68	12800	3,1	iC 773 – HB3 80 B 4 B20C		51	55	57	61	144
27	265	52,07	12900	3,4							
31	233	45,81	13000	3,8							
33	220	43,26	13000	4							
11	655	128,97	7030	1	iC 673 – HB3 80 B 4 B16C		44	48	46	50	142
12	579	113,94	7940	1,15							
13	538	105,83	8340	1,25							
15	487	95,91	8780	1,4							
16	437	86,11	9150	1,55							
19	377	74,17	9530	1,8							
20	354	69,75	9650	1,9							
23	311	61,26	9860	2,2							
25	289	56,89	9960	2,3							
27	262	51,56	10100	2,5							
30	235	46,29	10200	2,7							
13	541	106,58	5570	0,9	iC 573 – HB3 80 B 4 B16C		35	39	38	42	140
14	503	98,99	6910	0,95							
16	456	89,71	7120	1,05							
18	409	80,55	7300	1,2							
20	352	69,23	7460	1,35							
22	329	64,85	7360	1,45							
25	291	57,29	7150	1,65							
26	270	53,22	7020	1,75							
29	245	48,23	6850	1,95							
33	220	43,3	6670	2,2							
38	189	37,3 ⁽¹⁾	6410	2,5							
40	178	35,07	6310	2,7							
47	153	30,18	6060	3,1							
52	137	26,97	5870	3,4							
54	134	26,31	5830	3,5	iC 572 – HB3 80 B 4 B16C		34	38	37	41	140
56	127	24,99 ⁽¹⁾	5750	3,7							
64	111	21,93	5540	4,2							
76	94	18,6 ⁽¹⁾	5280	4,9							
21	348	68,54	4530	0,95	iC 473 – HB3 80 B 4 B16C		29	33	30	34	138
22	326	64,21	5310	1,05							
25	288	56,73	5510	1,15							
27	268	52,69	5430	1,25							
30	243	47,75	5320	1,4							
33	218	42,87	5180	1,55							
38	188	36,93	5000	1,8							
41	176	34,73	4930	1,9							
47	152	29,88	4740	2,2							
53	136	26,7	4610	2,5							
60	120	23,59	4460	2,8							

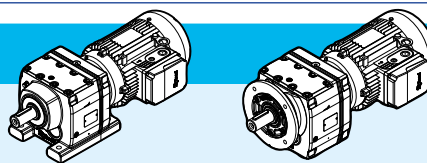
⁽¹⁾ Rapporto di trasmissione / finito

$P_1 = 0,75 \text{ kW}$											
n_2 min ⁻¹	M_2 N m	i	F_{r2} N	fs		con piedi		con flangia			
						HB	HBZ	HB	HBZ		
53	136	26,74	4610	2,5	iC 472 – HB3 80 B 4 B16C		29	33	30	34	138
61	118	23,28	4440	2,8							
65	111	21,81	4360	3							
73	98	19,27	4220	3,3							
79	91	17,89	4130	3,5							
87	82	16,22	4020	3,7							
29	244	48,08	3630	0,85	iC 373 – HB3 80 B 4 B12C		22	26	24	28	136
31	228	44,81	4490	0,9							
36	199	39,17	4760	1,05							
38	187	36,72	4690	1,1							
44	165	32,4	4570	1,25							
49	146	28,73	4440	1,4							
58	124	24,42	4280	1,65							
63	113	22,27	4180	1,8	iC 372 – HB3 80 B 4 B12C		22	26	24	28	136
73	98	19,31	4030	2,1							
78	92	18,05	3960	2,2							
90	79	15,6	3810	2,6							
106	67	13,25	3640	2,9							
119	60	11,83	3530	3,1							
139	51	10,11	3380	3,4							
149	48	9,47	3310	3,6							
49	146	28,78	2860	0,95			iC 273 – HB3 80 B 4 B12C		21	25	21
58	124	24,47	2770	1,1							
63	113	22,32	2720	1,2	iC 272 – HB3 80 B 4 B12C		21	25	21	25	134
73	98	19,35	2640	1,4							
78	92	18,08	2610	1,5							
90	79	15,63	2520	1,7							
106	67	13,28 ⁽¹⁾	2430	2							
119	60	11,86	2360	2,2							
139	51	10,13	2260	2,6							
150	48	9,41	2180	2,6							
173	41	8,16	2110	3							
185	39	7,63 ⁽¹⁾	2070	3,1							
214	33	6,59	1990	3,3							
252	28	5,6 ⁽¹⁾	1900	3,6							
282	25	5 ⁽¹⁾	1840	3,8							

iC

⁽¹⁾Rapporto di trasmissione i finito

$P_1 = 1,1 \text{ kW}$

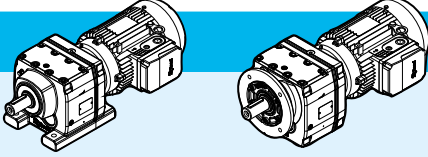



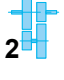



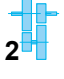



kg

p.

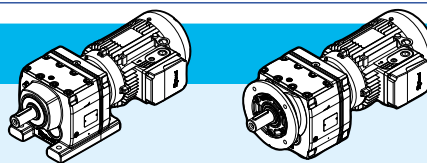
n_2 min ⁻¹	M_2 N m	i	F_{r2} N	fs		con piedi		con flangia		p.			
						HB	HBZ	HB	HBZ				
4,3	2443	216,28	20500	1,35	iC 973 – HB3 90 L 6 B30D		146	152	162	168	148		
5,0	2104	186,3	24300	1,6									
5,6	1892	255,71	27000	1,75	iC 973 – HB3 90 S 4 B30D		145	149	161	165	148		
5,9	1785	241,25	27300	1,9									
6,6	1600	216,28	27600	2,1									
7,6	1378	186,3	27900	2,4									
8,4	1258	170,02	28000	2,7									
9,4	1115	150,78	28100	3									
11	938	126,75	28300	3,5									
12	862	116,48	28400	3,8									
6,6	1602	216,54	16800	1,1			iC 873 – HB3 90 S 4 B25D		92	96	100	104	146
6,9	1522	205,71	17400	1,15									
7,8	1345	181,77	18400	1,3									
9,1	1149	155,34	19300	1,5									
10,0	1054	142,41	19700	1,65									
11	924	124,97	20000	1,9									
12	876	118,43 ⁽¹⁾	20000	2									
14	767	103,65	20000	2,3									
15	691	93,38	20000	2,5									
17	606	81,92	20000	2,9									
20	537	72,57	20000	3,2									
22	471	63,68 ⁽¹⁾	20000	3,7									
24	446	60,35 ⁽¹⁾	20000	3,9									
27	391	52,82	20000	4,4									
12	898	121,42	9360	1	iC 773 – HB3 90 S 4 B20D		57	61	64	68	144		
14	762	102,99	10600	1,2									
15	688	92,97	11100	1,3									
17	605	81,8	11600	1,5									
18	571	77,24	11800	1,6									
22	487	65,77	12200	1,85									
25	427	57,68	12400	2,1									
27	385	52,07	12600	2,3									
31	339	45,81	12700	2,6									
33	320	43,26	12800	2,8									
39	272	36,83	12900	3,2									
42	248	33,47	12900	3,4									
16	637	86,11	7290	1,05	iC 673 – HB3 90 S 4 B16D		50	54	53	57	142		
19	549	74,17	8260	1,2									
20	516	69,75	8550	1,3									
23	453	61,26	9050	1,5									
25	421	56,89	9270	1,6									
28	381	51,56	9510	1,75									
31	342	46,29	9720	1,9									
36	295	39,88 ⁽¹⁾	9940	2,1									

⁽¹⁾ Rapporto di trasmissione i finito

$P_1 = 1,1 \text{ kW}$											
n_2 min ⁻¹	M_2 N m	i	F_{r2} N	fs		con piedi		con flangia			
						HB	HBZ	HB	HBZ		
38	277	37,5	10000	2,2	iC 673 – HB3 90 S 4 B16D		50	54	53	57	142
44	239	32,27	10200	2,4							
49	213	28,83	10200	2,6							
50	208	28,13	10100	2,8	iC 672 – HB3 90 S 4 B16D		49	53	52	56	142
53	198	26,72	10000	2,8							
61	173	23,44	9620	3,6							
71	147	19,89	9160	4,5							
21	512	69,23	6720	0,95			iC 573 – HB3 90 S 4 B16D		42	46	45
22	480	64,85	6800	1							
25	424	57,29	6660	1,15							
27	394	53,22	6560	1,2							
29	357	48,23	6440	1,35							
33	320	43,3	6290	1,5							
38	276	37,3 ⁽¹⁾	6090	1,7							
40	259	35,07	6000	1,8							
47	223	30,18	5790	2,1							
53	199	26,97	5630	2,4							
54	195	26,31	5600	2,4	iC 572 – HB3 90 S 4 B16D				41	45	44
57	185	24,99 ⁽¹⁾	5530	2,5							
65	162	21,93	5340	2,9							
76	138	18,6 ⁽¹⁾	5110	3,4							
85	124	16,79	4970	3,7							
30	353	47,75	4310	0,95	iC 473 – HB3 90 S 4 B16D		35	39	36	40	138
33	317	42,87	4810	1,05							
38	273	36,93	4680	1,25							
41	257	34,73	4620	1,3							
48	221	29,88	4480	1,5							
53	198	26,7	4370	1,7							
60	175	23,59	4250	1,9							
61	172	23,28	4240	1,95	iC 472 – HB3 90 S 4 B16D		35	39	36	40	138
65	161	21,81	4170	2,1							
74	143	19,27	4040	2,3							
79	132	17,89	3970	2,4							
88	120	16,22	3870	2,5							
98	108	14,56	3760	2,7							
113	93	12,54	3620	3							
120	87	11,79	3550	3,1							
140	75	10,15	3410	3,4							
157	67	9,07	3300	3,6							
44	240	32,4	3040	0,85	iC 373 – HB3 90 S 4 B12D		29	33	31	35	136
49	213	28,73	3410	0,95							
58	181	24,42	3800	1,15							

⁽¹⁾ Rapporto di trasmissione i finito

$P_1 = 1,1 \text{ kW}$

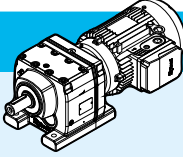
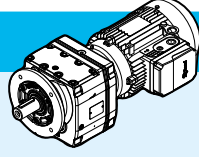









kg

p.

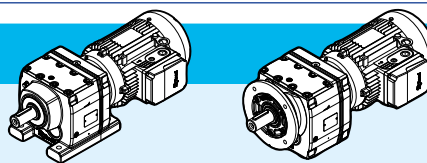
n_2 min ⁻¹	M_2 N m	i	F_{r2} N	fs		con piedi		con flangia			
						HB	HBZ	HB	HBZ		
74	143	19,31	3810	1,45	iC 372 – HB3 90 S 4 B12D		28	32	30	34	136
79	134	18,05	3750	1,55							
91	115	15,6	3630	1,8							
107	98	13,25	3490	2							
120	88	11,83	3390	2,2							
140	75	10,11	3260	2,4							
150	70	9,47	3200	2,5							
178	59	7,97	3060	2,7							
213	49	6,67	2890	3							
251	42	5,67	2760	3,5							
281	37	5,06	2670	3,7							
73	143	19,35	2420	0,95	iC 272 – HB3 90 S 4 B12D		27	31	28	32	134
79	134	18,08	2400	1							
91	116	15,63	2340	1,15							
107	98	13,28 ⁽¹⁾	2270	1,35							
120	88	11,86	2220	1,55							
140	75	10,13	2140	1,8							
174	60	8,16	1990	2							
186	56	7,63 ⁽¹⁾	1960	2,1							
215	49	6,59	1900	2,3							
254	41	5,6 ⁽¹⁾	1820	2,5							
284	37	5 ⁽¹⁾	1770	2,6							
332	32	4,27	1700	2,8							
355	30	4 ⁽¹⁾	1670	2,9							
421	25	3,37	1600	3,2							
216	49	13,28 ⁽¹⁾	1950	2,7	iC 272 – HB3 80 B 2 B12C		21	24	21	25	134
242	43	11,86	1890	3							
284	37	10,13	1820	3,3							
305	34	9,41	1750	3,5							
352	30	8,16	1690	3,9							
377	28	7,63 ⁽¹⁾	1660	4							
436	24	6,59	1590	4,4							
513	20	5,6 ⁽¹⁾	1520	4,8							
575	18	5 ⁽¹⁾	1480	5,2							
673	16	4,27	1410	5,6							
719	15	4 ⁽¹⁾	1380	5,8							
853	12	3,37	1320	6,4							

⁽¹⁾ Rapporto di trasmissione i finito

$P_1 = 1,5 \text{ kW}$											
n_2 min ⁻¹	M_2 N m	i	F_{r2} N	fs			con piedi		con flangia		
							HB	HBZ	HB	HBZ	
5,6	2562	255,71	24000	1,3	iC 973 – HB3 90 L 4 B30D		145	151	161	167	148
5,9	2417	241,25	24800	1,4							
6,6	2167	216,28	25900	1,55							
7,7	1866	186,3	27000	1,8							
8,4	1703	170,02	27400	1,95							
9,5	1510	150,78	27700	2,2							
11	1270	126,75	28000	2,6							
12	1167	116,48	28100	2,8							
14	1036	103,44	28200	3,1							
15	926	92,48	28300	3,5							
7,9	1821	181,77	15100	0,95	iC 873 – HB3 90 L 4 B25D		92	98	100	106	146
9,2	1556	155,34	17100	1,1							
10	1427	142,41	17900	1,25							
11	1252	124,97	18800	1,4							
12	1186	118,43 ⁽¹⁾	19200	1,5							
14	1038	103,65	19800	1,7							
15	935	93,38	20000	1,85							
17	821	81,92	20000	2,1							
20	727	72,57	20000	2,4							
22	638	63,68 ⁽¹⁾	20000	2,7							
24	605	60,35 ⁽¹⁾	20000	2,9							
27	529	52,82	20000	3,2							
30	477	47,58	20000	3,6							
34	418	41,74	20000	4,1							
39	369	36,84 ⁽¹⁾	19400	4,6							
15	931	92,97	8980	1	iC 773 – HB3 90 L 4 B20D		58	64	64	70	144
17	819	81,8	10100	1,1							
19	774	77,24	10500	1,15							
22	659	65,77	11300	1,35							
25	578	57,68	11700	1,55							
27	522	52,07	12000	1,7							
31	459	45,81	12300	1,95							
33	433	43,26	12400	2							
39	369	36,83	12600	2,4							
43	335	33,47	12700	2,5							
49	290	29	12400	2,9							
57	253	25,23	11900	3,1							
61	234	23,37	11600	3,6	iC 772 – HB3 90 L 4 B20D		56	62	63	69	144
67	215	21,43	11400	3,9							
76	188	18,8	10900	4,2							
23	614	61,26	7550	1,1	iC 673 – HB3 90 L 4 B16D		51	57	53	59	142
25	570	56,89	8030	1,2							
28	517	51,56	8530	1,3							
31	464	46,29	8960	1,4							

⁽¹⁾ Rapporto di trasmissione i finito

$P_1 = 1,5 \text{ kW}$

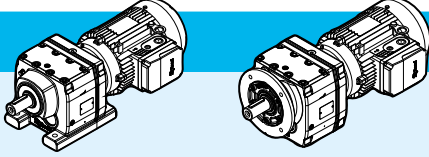








kg

p.

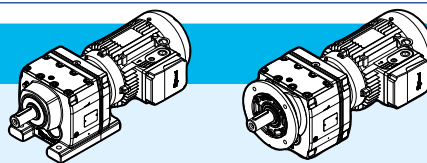
n_2 min ⁻¹	M_2 N m	i	F_{r2} N	fs		con piedi		con flangia		p.		
						HB	HBZ	HB	HBZ			
36	399	39,88 ⁽¹⁾	9390	1,55	iC 673 – HB3 90 L 4 B16D		51	57	53	59	142	
38	376	37,5	9530	1,6								
44	323	32,27	9810	1,75								
50	289	28,83	9960	1,9								
51	282	28,13	9890	2,1	iC 672 – HB3 90 L 4 B16D		50	56	53	59	142	
54	268	26,72	9760	2,1								
61	235	23,44	9410	2,7								
72	199	19,89	8980	3,3								
80	180	17,95	8720	3,5								
27	533	53,22	5900	0,9	iC 573 – HB3 90 L 4 B16D		42	48	45	51	140	
30	483	48,23	5980	1								
33	434	43,3	5880	1,1								
38	374	37,3 ⁽¹⁾	5730	1,25								
41	351	35,07	5670	1,35								
47	302	30,18	5500	1,55								
53	270	26,97	5380	1,75								
54	264	26,31	5350	1,8	iC 572 – HB3 90 L 4 B16D		41	47	44	50	140	
57	250	24,99 ⁽¹⁾	5290	1,85								
65	220	21,93	5130	2,1								
77	186	18,6 ⁽¹⁾	4930	2,5								
85	168	16,79	4810	2,7								
97	148	14,77 ⁽¹⁾	4650	3,1								
103	140	13,95 ⁽¹⁾	4580	3,3								
120	119	11,88	4390	3,8								
39	370	36,93	3260	0,9	iC 473 – HB3 90 L 4 B16D		36	42	37	43	138	
41	348	34,73	4290	0,95								
48	299	29,88	4190	1,1								
54	267	26,7	4110	1,25								
61	236	23,59	4020	1,4								
61	233	23,28	4010	1,45	iC 472 – HB3 90 L 4 B16D		36	42	37	43	138	
66	218	21,81	3960	1,55								
74	193	19,27	3860	1,7								
80	179	17,89	3800	1,75								
88	162	16,22	3710	1,85								
98	146	14,56	3620	2								
114	126	12,54	3490	2,2								
121	118	11,79	3440	2,3								
141	102	10,15	3310	2,5								
158	91	9,07	3210	2,6								
178	80	8,01	3110	2,8				35	41	36		42
184	78	7,76 ⁽¹⁾	3040	2,4								
205	70	6,96	2950	2,6								
238	60	6	2830	2,9								
254	56	5,64 ⁽¹⁾	2780	3,1								

⁽¹⁾Rapporto di trasmissione / finito

$P_1 = 1,5 \text{ kW}$											
n_2 min ⁻¹	M_2 N m	i	F_{r2} N	fs		con piedi		con flangia		p.	
						HB	HBZ	HB	HBZ		
295	49	4,85	2670	3,5	iC 472 – HB3 90 L 4 B16D		35	41	36	42	138
330	43	4,34	2590	3,8							
373	38	3,83	2500	4,2							
74	193	19,31	2760	1,05	iC 372 – HB3 90 L 4 B12D		29	35	31	37	136
79	181	18,05	2930	1,15							
92	156	15,6	3230	1,3							
108	133	13,25	3320	1,5							
121	119	11,83	3240	1,6							
141	101	10,11	3130	1,75							
151	95	9,47	3080	1,8							
179	80	7,97	2950	2							
214	67	6,67	2800	2,2							
252	57	5,67	2680	2,6							
283	51	5,06	2600	2,7							
331	43	4,32	2490	3							
353	41	4,05	2450	3,1							
419	34	3,41	2330	3,4							
218	66	13,25	2830	2,9	iC 372 – HB3 90 S 2 B12D		26	30	28	32	136
244	59	11,83	2740	3,1							
286	50	10,11	2630	3,4							
305	47	9,47	2580	3,6							
362	40	7,97	2460	3,9							
91	157	15,63	1780	0,85	iC 272 – HB3 90 L 4 B12D		28	34	28	34	134
108	133	13,28 ⁽¹⁾	2080	1							
121	119	11,86	2060	1,15							
141	101	10,13	2010	1,3							
175	82	8,16	1870	1,5							
188	76	7,63 ⁽¹⁾	1850	1,55							
217	66	6,59	1800	1,65							
255	56	5,6 ⁽¹⁾	1740	1,8							
286	50	5 ⁽¹⁾	1700	1,95							
335	43	4,27	1640	2,1							
358	40	4 ⁽¹⁾	1610	2,2							
424	34	3,37	1540	2,4							
244	59	11,86	1810	2,2	iC 272 – HB3 90 S 2 B12D		25	29	25	29	134
285	50	10,13	1750	2,4							
354	40	8,16	1620	2,9							
379	38	7,63 ⁽¹⁾	1600	3							
438	33	6,59	1540	3,2							
516	28	5,6 ⁽¹⁾	1480	3,6							
578	25	5 ⁽¹⁾	1430	3,8							
677	21	4,27	1370	4,1							
723	20	4 ⁽¹⁾	1350	4,3							
858	17	3,37	1290	4,7							

⁽¹⁾ Rapporto di trasmissione i finito

$P_1 = 2,2 \text{ kW}$






kg

p.

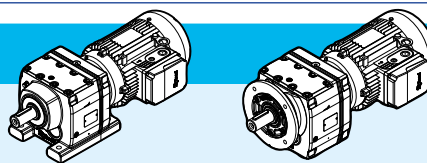
n_2 min ⁻¹	M_2 N m	i	F_{r2} N	fs		con piedi		con flangia			
						HB	HBZ	HB	HBZ		
6,7	3156	216,28	13800	1,05	iC 973 – HB3 100 LA 4 B30E		153	159	169	175	148
7,7	2718	186,3	22900	1,25							
8,5	2481	170,02	24300	1,35							
9,6	2200	150,78	25600	1,5							
11	1849	126,75	27000	1,8							
12	1699	116,48	27400	1,95							
14	1509	103,44	27600	2,2							
16	1349	92,48	27900	2,4							
17	1213	83,15	28000	2,7							
20	1053	72,17	28200	3,1							
22	951	65,21	27500	3,4							
24	874	59,92	26800	3,7							
27	776	53,21	25900	4,1							
30	694	47,58	25000	4,6							
12	1823	124,97	13900	0,95	iC 873 – HB3 100 LA 4 B25E		102	108	110	116	146
12	1728	118,43 ⁽¹⁾	15700	1							
14	1512	103,65	17300	1,15							
15	1362	93,38	18200	1,3							
18	1195	81,92	19000	1,45							
20	1059	72,57	19600	1,65							
23	929	63,68 ⁽¹⁾	20000	1,85							
24	881	60,35 ⁽¹⁾	20000	1,95							
27	771	52,82	20000	2,2							
30	694	47,58	20000	2,5							
34	609	41,74	19700	2,8							
39	537	36,84 ⁽¹⁾	19000	3,2							
44	476	32,66 ⁽¹⁾	18400	3,5							
42	502	34,4 ⁽¹⁾	18700	3,4	iC 872 – HB3 100 LA 4 B25E		100	106	108	114	146
46	458	31,4	18200	3,7							
52	406	27,84 ⁽¹⁾	17500	4,1							
62	341	23,4	16700	4,6							
67	314	21,51	16200	4,9							
22	960	65,77	7900	0,95	iC 773 – HB3 100 LA 4 B20E		67	73	74	80	144
25	842	57,68	9770	1,05							
28	760	52,07	10500	1,15							
31	668	45,81	11200	1,35							
33	631	43,26	11400	1,4							
39	537	36,83	11900	1,65							
43	488	33,47	12100	1,75							
50	423	29	12000	1,95							
57	368	25,23	11600	2,1							
62	341	23,37	11400	2,4			iC 772 – HB3 100 LA 4 B20E		66	72	73
67	313	21,43	11100	2,6							
77	274	18,8	10700	2,9							

⁽¹⁾Rapporto di trasmissione / finito

$P_1 = 2,2 \text{ kW}$												
n_2 min ⁻¹	M_2 N m	i	F_{r2} N	fs		con piedi		con flangia				
						HB	HBZ	HB	HBZ			
81	260	17,82 ⁽¹⁾	10500	3	iC 772 – HB3 100 LA 4 B20E		66	72	73	79	144	
92	228	15,6	10100	3,3								
102	205	14,05	9830	3,5								
36	582	39,88 ⁽¹⁾	7820	1,05	iC 673 – HB3 100 LA 4 B16E		60	66	63	69	142	
38	547	37,5	8180	1,1								
45	471	32,27	8850	1,2								
50	421	28,83	9220	1,3								
61	342	23,44	9070	1,85								
72	290	19,89	8700	2,3	iC 672 – HB3 100 LA 4 B16E		59	65	62	68	142	
80	262	17,95	8470	2,4								
91	230	15,79	8180	2,6								
97	218	14,91	8050	2,7								
113	185	12,7	7700	2,9								
125	168	11,54	7500	3,1								
144	146	10	7190	3,3								
166	127	8,7 ⁽¹⁾	6910	3,5								
185	114	7,79	6700	3,4					57	63	60	66
39	544	37,3 ⁽¹⁾	5120	0,85			iC 573 – HB3 100 LA 4 B16E		52	58	55	61
41	512	35,07	5100	0,9								
48	440	30,18	5010	1,05								
53	393	26,97	4940	1,2								
66	320	21,93	4780	1,45	iC 572 – HB3 100 LA 4 B16E		51	57	54	60	140	
77	271	18,6 ⁽¹⁾	4630	1,7								
86	245	16,79	4540	1,9								
97	216	14,77 ⁽¹⁾	4420	2,1								
103	204	13,95 ⁽¹⁾	4360	2,3								
121	173	11,88	4210	2,6								
133	157	10,79	4110	2,8								
154	136	9,35	3970	3								
159	132	9,06	3950	2,9					49	55	52	58
181	116	7,97	3820	3,1								
132	159	21,93	4120	2,9	iC 572 – HB3 90 LA 2 B16D		40	46	43	49	140	
155	135	18,6 ⁽¹⁾	3960	3,4								
172	122	16,79	3860	3,7								
196	107	14,77 ⁽¹⁾	3730	4,1								
207	101	13,95 ⁽¹⁾	3680	4,3								
75	281	19,27	3540	1,15	iC 472 – HB3 100 LA 4 B16E		45	51	46	52	138	
89	237	16,22	3450	1,3								
99	212	14,56	3380	1,35								
115	183	12,54	3290	1,5								
122	172	11,79	3250	1,55								
142	148	10,15	3140	1,7								
159	132	9,07	3070	1,8								
180	117	8,01	2980	1,95								

⁽¹⁾ Rapporto di trasmissione i finito

$P_1 = 2,2 \text{ kW}$

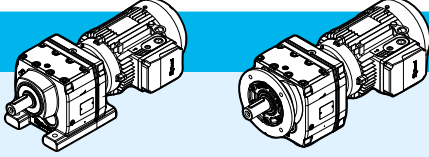









kg

p.

n_2 min ⁻¹	M_2 N m	i	F_{r2} N	fs		con piedi		con flangia			
						HB	HBZ	HB	HBZ		
186	113	7,76 ⁽¹⁾	2890	1,65	iC 472 – HB3 100 LA 4 B16E		45	51	46	52	138
207	102	6,96	2820	1,75							
240	88	6	2720	2							
255	82	5,64 ⁽¹⁾	2680	2,1							
297	71	4,85	2580	2,4							
332	63	4,34	2510	2,6							
376	56	3,83	2430	2,9							
150	140	19,27	3110	2,1	iC 472 – HB3 90 LA 2 B16D		35	41	36	42	138
178	118	16,22	2980	2,3							
198	106	14,56	2910	2,5							
230	91	12,54	2800	2,8							
245	86	11,79	2760	2,9							
285	74	10,15	2650	3,1							
319	66	9,07	2570	3,4							
361	58	8,01	2490	3,5			34	40	35	41	
92	228	15,6	1180	0,9	iC 372 – HB3 100 LA 4 B12E		37	43	39	45	136
109	193	13,25	1740	1							
122	173	11,83	2060	1,1							
142	147	10,11	2410	1,2							
152	138	9,47	2530	1,25							
181	116	7,97	2790	1,35							
216	97	6,67	2500	1,5							
254	83	5,67	2550	1,75							
285	74	5,06	2490	1,85							
333	63	4,32	2400	2							
356	59	4,05	2360	2,1							
422	50	3,41	2260	2,3							
185	113	15,6	2770	1,75	iC 372 – HB3 90 LA 2 B12D		28	34	30	36	136
218	96	13,25	2680	2							
244	86	11,83	2610	2,1							
286	73	10,11	2520	2,3							
305	69	9,47	2480	2,4							
362	58	7,97	2370	2,7							
433	48	6,67	2240	3							
510	41	5,67	2150	3,5							
571	37	5,06	2080	3,7							
669	31	4,32	1990	4							
714	29	4,05	1960	4,2							
848	25	3,41	1860	4,5							
142	148	10,13	1180	0,9			iC 272 – HB3 100 LA 4 B12E		36	42	
218	96	6,59	1180	1,15							
257	82	5,6 ⁽¹⁾	1430	1,25							
288	73	5 ⁽¹⁾	1570	1,3							

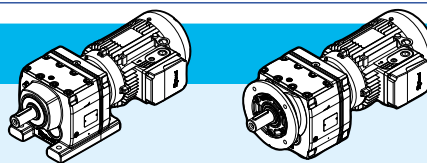
⁽¹⁾Rapporto di trasmissione i finito

$P_1 = 2,2 \text{ kW}$							 kg				 p.	
n_2 min ⁻¹	M_2 N m	i	F_{r2} N	fs		con piedi		con flangia				
						HB	HBZ	HB	HBZ			
337	62	4,27	1530	1,4	iC 272 – HB3 100 LA 4 B12E		36	42	37	43	134	
360	58	4 ⁽¹⁾	1510	1,45								
427	49	3,37	1460	1,6								
218	97	13,28 ⁽¹⁾	1700	1,35	iC 272 – HB3 90 LA 2 B12D		27	33	27	33	134	
244	86	11,86	1680	1,5								
285	74	10,13	1630	1,65								
438	48	6,59	1450	2,2								
516	41	5,6 ⁽¹⁾	1400	2,4								
578	36	5 ⁽¹⁾	1360	2,6								
677	31	4,27	1320	2,8								
723	29	4 ⁽¹⁾	1290	2,9								
858	24	3,37	1240	3,2								

$P_1 = 3 \text{ kW}$												
9,6	2979	150,78	21000	1,1	iC 973 – HB3 112 MA 4 B30E		160	166	176	182	148	
11	2504	126,75	24100	1,3								
12	2301	116,48	25100	1,4								
14	2044	103,44	26200	1,6								
16	1827	92,48	27100	1,8								
17	1643	83,15	27400	1,95								
20	1426	72,17	27500	2,3								
22	1288	65,21	26700	2,5								
24	1184	59,92	26100	2,7								
27	1051	53,21	25300	3								
30	940	47,58	24500	3,4								
34	845	42,78	23800	3,8								
39	734	37,13	22800	4,2								
44	657	33,25	22100	4,5								
16	1845	93,38	12100	0,95	iC 873 – HB3 112 MA 4 B25E		110	116	118	124	146	
18	1619	81,92	16500	1,05								
20	1434	72,57	17700	1,2								
23	1258	63,68 ⁽¹⁾	18700	1,35								
24	1192	60,35 ⁽¹⁾	19000	1,45								
27	1044	52,82	19700	1,65								
30	940	47,58	19800	1,8								
35	825	41,74	19200	2,1								
39	728	36,84 ⁽¹⁾	18500	2,3								
44	645	32,66 ⁽¹⁾	17900	2,6								
52	551	27,88	17200	3								
42	680	34,4 ⁽¹⁾	18200	2,5	iC 872 – HB3 112 MA 4 B25E		108	114	116	122	146	
46	620	31,4	17700	2,7								
52	550	27,84 ⁽¹⁾	17200	3								
62	462	23,4	16300	3,4								

⁽¹⁾ Rapporto di trasmissione i finito

$P_1 = 3 \text{ kW}$

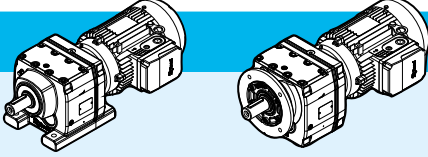

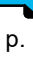







kg

p.

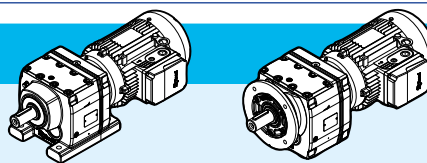
n_2 min ⁻¹	M_2 N m	i	F_{r2} N	fs		con piedi		con flangia			
						HB	HBZ	HB	HBZ		
67	425	21,51	15900	3,6	iC 872 – HB3 112 MA 4 B25E		108	114	116	122	146
76	377	19,1	15400	3,9							
85	337	17,08 ⁽¹⁾	14900	4,2							
94	303	15,35	14400	4,5							
32	905	45,81	9090	1	iC 773 – HB3 112 MA 4 B20E		76	82	83	89	144
34	855	43,26	9620	1,05							
39	728	36,83	10700	1,2							
43	661	33,47	11200	1,3							
50	573	29	11600	1,45							
57	499	25,23	11200	1,55							
62	462	23,37	11000	1,8	iC 772 – HB3 112 MA 4 B20E		75	81	82	88	144
68	423	21,43	10700	1,95							
77	372	18,8	10400	2,1							
81	352	17,82 ⁽¹⁾	10200	2,2							
93	308	15,6	9870	2,4							
103	278	14,05	9600	2,6							
118	244	12,33	9250	2,9							
133	215	10,88	8930	3,1							
150	191	9,64	8620	3,3							
169	170	8,59	8400	3,7							
187	153	7,74	8140	4							
214	134	6,79	7830	4,3							
62	463	23,44	8660	1,35	iC 672 – HB3 112 MA 4 B16E		67	73	69	75	142
73	393	19,89	8350	1,65							
81	355	17,95	8150	1,8							
92	312	15,79	7900	1,95							
97	295	14,91	7790	2							
114	251	12,7	7470	2,2							
126	228	11,54	7290	2,3							
145	198	10	7010	2,4							
54	533	26,97	4430	0,9	iC 573 – HB3 112 MA 4 B16E		59	65	62	68	140
66	433	21,93	4360	1,1	iC 572 – HB3 112 MA 4 B16E		58	64	61	67	140
78	368	18,6 ⁽¹⁾	4280	1,25							
86	332	16,79	4220	1,4							
98	292	14,77 ⁽¹⁾	4140	1,6							
104	276	13,95 ⁽¹⁾	4100	1,65							
122	235	11,88	3980	1,9							
134	213	10,79	3900	2							
155	185	9,35	3790	2,2							
160	179	9,06	3780	2,2							
182	158	7,97	3670	2,3							
193	149	7,53	3620	2,4							
226	127	6,41	3480	2,7							

⁽¹⁾Rapporto di trasmissione i finito

$P_1 = 3 \text{ kW}$													
n_2 min ⁻¹	M_2 N m	i	F_{r2} N	fs		con piedi		con flangia					
						HB	HBZ	HB	HBZ				
249	115	5,82	3400	2,8	iC 572 – HB3 112 MA 4 B16E		56	62	60	66	140		
287	100	5,05	3270	3,1									
330	87	4,39	3160	3,2									
134	214	21,93	3920	2,1	iC 572 – HB3 100 LA 2 B16E		49	55	52	58	140		
158	182	18,6 ⁽¹⁾	3790	2,5									
174	164	16,79	3700	2,7									
198	144	14,77 ⁽¹⁾	3600	3									
210	136	13,95 ⁽¹⁾	3550	3,2									
247	116	11,88	3410	3,5									
271	106	10,79	3330	3,7									
89	320	16,22	2210	0,95			iC 472 – HB3 112 MA 4 B16E		53	59	54	60	138
100	288	14,56	2650	1									
116	248	12,54	3040	1,1									
123	233	11,79	3020	1,15									
143	201	10,15	2950	1,25									
160	179	9,07	2890	1,35									
181	158	8,01	2820	1,45					52	58	53	59	
187	153	7,76 ⁽¹⁾	2720	1,2									
208	138	6,96	2660	1,3									
242	119	6	2590	1,5									
257	111	5,64 ⁽¹⁾	2550	1,55									
299	96	4,85	2470	1,75									
334	86	4,34	2410	1,95									
378	76	3,83	2340	2,1									
248	115	11,79	2650	2,1	iC 472 – HB3 100 LA 2 B16E				43	49	44	50	138
289	99	10,15	2560	2,3									
323	89	9,07	2490	2,5									
366	78	8,01	2410	2,6									
378	76	7,76 ⁽¹⁾	2350	2,3									
421	68	6,96	2290	2,5									
489	59	6	2200	2,7									
520	55	5,64 ⁽¹⁾	2170	2,8									
604	47	4,85	2080	3,2									
676	42	4,34	2020	3,4									
765	37	3,83	1950	3,8									
143	200	10,11	920	0,9	iC 372 – HB3 112 MA 4 B12E		46	52	48	54	136		
153	187	9,47	1140	0,9									
182	158	7,97	1610	1									
217	132	6,67	1350	1,1					45	51	47	53	
256	112	5,67	1700	1,25									
287	100	5,06	1900	1,35									
336	85	4,32	2110	1,5									
358	80	4,05	2180	1,55									
425	67	3,41	2160	1,65									

⁽¹⁾Rapporto di trasmissione i finito

$P_1 = 3 \text{ kW}$



kg

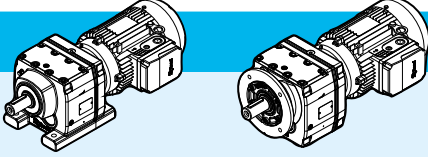



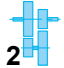
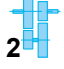
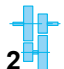
p.

n_2 min ⁻¹	M_2 N m	i	F_{r2} N	fs		con piedi		con flangia			
						HB	HBZ	HB	HBZ		
290	99	10,11	2380	1,7	iC 372 – HB3 100 LA 2 B12E		35	41	37	43	136
310	93	9,47	2360	1,8							
367	78	7,97	2270	2							
439	65	6,67	2150	2,2							
517	55	5,67	2070	2,6							
579	49	5,06	2020	2,7							
678	42	4,32	1940	3							
724	40	4,05	1900	3,1							
859	33	3,41	1820	3,4							
259	111	5,6 ⁽¹⁾	455	0,9	iC 272 – HB3 112 MA 4 B12E		45	51	45	51	134
290	99	5 ⁽¹⁾	695	0,95							
340	84	4,27	970	1,05							
363	79	4 ⁽¹⁾	1070	1,1							
430	67	3,37	1280	1,2							
445	64	6,59	1290	1,65	iC 272 – HB3 100 LA 2 B12E		34	40	35	41	134
523	55	5,6 ⁽¹⁾	1320	1,8							
586	49	5 ⁽¹⁾	1290	1,95							
686	42	4,27	1250	2,1							
733	39	4 ⁽¹⁾	1240	2,2							
870	33	3,37	1190	2,4							

$P_1 = 4 \text{ kW}$

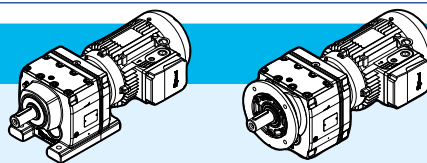
12	3069	116,48	18300	1,05	iC 973 – HB3 112 M 4 B30F		162	171	178	187	148	
14	2725	103,44	22900	1,2								
16	2436	92,48	24500	1,35								
17	2191	83,15	25700	1,5								
20	1901	72,17	26500	1,7								
22	1718	65,21	25800	1,85								
24	1579	59,92	25300	2								
27	1402	53,21	24600	2,3								
30	1253	47,58	23800	2,5								
34	1127	42,78	23200	2,8								
39	978	37,13	22300	3,2								
44	876	33,25	21600	3,4								
45	844	32,05	21400	3,4			iC 972 – HB3 112 M 4 B30F		158	167	174	183
53	716	27,19	20400	4								
58	659	25,03	20000	4,4								
65	589	22,37	19300	4,8								
72	531	20,14	18700	5,1								
23	1678	63,68 ⁽¹⁾	13700	1,05	iC 873 – HB3 112 M 4 B25F		112	121	120	129	146	
24	1590	60,35 ⁽¹⁾	14300	1,1								
27	1391	52,82	15500	1,25								
30	1254	47,58	16300	1,35								

⁽¹⁾ Rapporto di trasmissione / finito

$P_1 = 4 \text{ kW}$												
n_2 min ⁻¹	M_2 N m	i	F_{r2} N	fs		con piedi		con flangia				
						HB	HBZ	HB	HBZ			
35	1100	41,74	17000	1,55	iC 873 – HB3 112 M 4 B25F		112	121	120	129	146	
39	970	36,84 ⁽¹⁾	17500	1,75								
44	860	32,66 ⁽¹⁾	17400	1,95								
52	735	27,88	16700	2,2								
42	906	34,4 ⁽¹⁾	17600	1,85	iC 872 – HB3 112 M 4 B25F		110	119	118	127	146	
46	827	31,4	17200	2								
52	734	27,84 ⁽¹⁾	16700	2,3								
62	617	23,4	15900	2,6								
67	567	21,51	15600	2,7								
76	503	19,1	15100	2,9								
85	450	17,08 ⁽¹⁾	14600	3,2								
94	405	15,35	14200	3,4								
109	351	13,33	13600	3,7								
122	314	11,93	13200	4								
39	970	36,83	7260	0,9			iC 773 – HB3 112 M 4 B20F		78	87	85	94
43	882	33,47	9400	0,95								
50	764	29	10500	1,1								
57	665	25,23	10700	1,2								
62	616	23,37	10500	1,35	iC 772 – HB3 112 M 4 B20F		77	86	84	93	144	
68	565	21,43	10300	1,45								
77	495	18,8	10000	1,6								
81	469	17,82 ⁽¹⁾	9880	1,7								
93	411	15,6	9560	1,8								
103	370	14,05	9310	1,95								
118	325	12,33	9000	2,1								
133	287	10,88	8700	2,3								
150	254	9,64	8420	2,5					74	83	80	89
169	226	8,59	8240	2,8								
187	204	7,74	8000	3								
214	179	6,79	7700	3,3								
242	158	5,99 ⁽¹⁾	7420	3,5								
273	140	5,31 ⁽¹⁾	7160	3,7								
73	524	19,89	7910	1,25	iC 672 – HB3 112 M 4 B16F		69	78	71	80	142	
81	473	17,95	7750	1,35								
92	416	15,79	7550	1,45								
97	393	14,91	7460	1,5								
114	335	12,7	7190	1,6								
126	304	11,54	7030	1,7								
145	263	10	6790	1,8								
167	229	8,7 ⁽¹⁾	6550	1,95								
186	205	7,79	6390	1,85					67	76	70	79
197	194	7,36 ⁽¹⁾	6290	1,95								
231	165	6,27	6020	2								
255	150	5,7	5860	2,1								

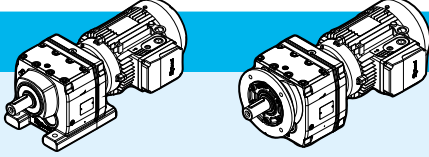






⁽¹⁾Rapporto di trasmissione i finito

$P_1 = 4 \text{ kW}$



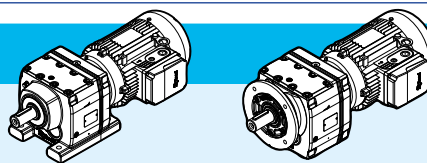
n_2 min ⁻¹	M_2 N m	i	F_{r2} N	fs		con piedi		con flangia		p.		
						HB	HBZ	HB	HBZ			
294	130	4,93	5630	2,2	iC 672 – HB3 112 M 4 B16F		67	76	70	79	142	
338	113	4,29	5410	2,4								
78	490	18,6 ⁽¹⁾	3680	0,95	iC 572 – HB3 112 M 4 B16F		60	69	63	72	140	
86	442	16,79	3820	1,05								
98	389	14,77 ⁽¹⁾	3790	1,2								
104	368	13,95 ⁽¹⁾	3770	1,25								
122	313	11,88	3700	1,45								
134	284	10,79	3650	1,55								
155	246	9,35	3560	1,65								
160	239	9,06	3570	1,6					58	67	62	71
182	210	7,97	3480	1,75								
193	198	7,53	3440	1,8								
226	169	6,41	3330	2								
249	153	5,82	3260	2,1								
287	133	5,05	3160	2,3								
330	116	4,39	3050	2,4								
143	267	10,15	2070	0,95	iC 472 – HB3 112 M 4 B16F		55	64	56	65	138	
160	239	9,07	2450	1								
181	211	8,01	2630	1,1					54	63	55	64
208	183	6,96	2470	1								
242	158	6	2420	1,1								
257	149	5,64 ⁽¹⁾	2400	1,2								
299	128	4,85	2340	1,35								
334	114	4,34	2290	1,45								
378	101	3,83	2230	1,6								
181	211	16,22	2630	1,3	iC 472 – HB3 112 M 2 B16F		53	59	54	60	138	
202	189	14,56	2590	1,4								
234	163	12,54	2520	1,55								
249	153	11,79	2500	1,6								
290	132	10,15	2430	1,75								
324	118	9,07	2370	1,85								
367	104	8,01	2310	1,95					52	58	53	59
379	101	7,76 ⁽¹⁾	2230	1,75								
422	90	6,96	2180	1,85								
490	78	6	2110	2								
521	73	5,64 ⁽¹⁾	2080	2,1								
606	63	4,85	2010	2,4								
678	56	4,34	1950	2,6								
767	50	3,83	1890	2,9								

⁽¹⁾ Rapporto di trasmissione / finito

$P_1 = 5,5 \text{ kW}$											
n_2 min ⁻¹	M_2 N m	i	F_{r2} N	fs		con piedi		con flangia		p.	
						HB	HBZ	HB	HBZ		
18	2971	83,15	20000	1,1	iC 973 – HB3 132 S 4 B30G		186	197	202	213	148
20	2579	72,17	22100	1,25							
23	2330	65,21	24600	1,4							
25	2141	59,92	24100	1,5							
28	1901	53,21	23500	1,7							
31	1700	47,58	22900	1,85							
34	1528	42,78	22400	2,1							
40	1327	37,13	21600	2,3							
44	1188	33,25	21000	2,5							
53	986	27,58	20000	2,8							
46	1145	32,05	20800	2,5	iC 972 – HB3 132 S 4 B30G		182	193	198	209	148
54	971	27,19	19900	3							
59	894	25,03	19500	3,3							
66	799	22,37	18900	3,5							
73	720	20,14	18300	3,8							
81	652	18,24	17800	4,1							
91	578	16,17	17200	4,4							
31	1700	47,58	15700	1	iC 873 – HB3 132 S 4 B25G		137	148	144	155	146
35	1492	41,74	17300	1,15							
40	1316	36,84 ⁽¹⁾	17100	1,3							
45	1167	32,66 ⁽¹⁾	16600	1,45							
53	996	27,88	16100	1,65							
53	995	27,84 ⁽¹⁾	16000	1,7	iC 872 – HB3 132 S 4 B25G		135	146	143	154	146
63	836	23,4	15400	1,9							
68	769	21,51	15100	2							
77	682	19,1	14600	2,2							
86	610	17,08 ⁽¹⁾	14200	2,3							
96	549	15,35	13800	2,5							
110	476	13,33	13300	2,7							
123	426	11,93	12900	2,9							
148	354	9,9 ⁽¹⁾	12200	3,3							
161	327	9,14 ⁽¹⁾	12100	3,7							
179	294	8,22	11700	3,9							
206	255	7,13	11200	4,2							
78	672	18,8	9320	1,15	iC 772 – HB3 132 S 4 B20G		100	111	106	117	144
82	637	17,82 ⁽¹⁾	9360	1,25							
94	557	15,6	9110	1,35							
105	502	14,05	8910	1,45							
119	440	12,33	8650	1,55							
135	389	10,88	8390	1,7							
152	345	9,64	8150	1,85							
171	307	8,59	8030	2,1							
190	277	7,74	7810	2,2							
216	243	6,79	7530	2,4							

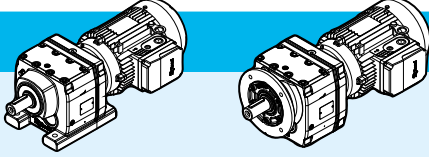



⁽¹⁾Rapporto di trasmissione i finito





$P_1 = 5,5 \text{ kW}$



n_2 min ⁻¹	M_2 N m	i	F_{r2} N	fs	iC 772 – HB3 132 S 4 B20G		con piedi		con flangia		p.
							HB	HBZ	HB	HBZ	
245	214	5,99 ⁽¹⁾	7270	2,5	iC 772 – HB3 132 S 4 B20G		96	107	103	114	144
277	190	5,31 ⁽¹⁾	7030	2,7							
93	564	15,79	6720	1,05	iC 672 – HB3 132 S 4 B16G		92	103	95	106	142
99	533	14,91	6980	1,1							
116	454	12,7	6790	1,2							
127	412	11,54	6660	1,25							
147	357	10	6470	1,35							
169	311	8,7 ⁽¹⁾	6280	1,4							
189	279	7,79	6150	1,35			90	101	93	104	
200	263	7,36 ⁽¹⁾	6070	1,4							
235	224	6,27	5830	1,45							
258	203	5,7	5690	1,5							
298	176	4,93	5480	1,65							
342	153	4,29	5280	1,75							
340	154	8,7 ⁽¹⁾	5280	2,9	iC 672 – HB3 132 S 2 B16G		87	98	90	101	142
380	138	7,79	5140	2,7							
402	131	7,36 ⁽¹⁾	5060	2,8							
472	111	6,27	4830	3							
520	101	5,7	4700	3,1							
600	88	4,93	4510	3,3							
689	76	4,29	4330	3,5							
100	528	14,77 ⁽¹⁾	1860	0,85			iC 572 – HB3 132 S 4 B16G		84	95	87
105	498	13,95 ⁽¹⁾	2200	0,9							
124	424	11,88	3000	1,05							
136	386	10,79	3270	1,15							
157	334	9,35	3240	1,25							
184	285	7,97	3210	1,3	82	93					
195	269	7,53	3190	1,3							
229	229	6,41	3110	1,45							
252	208	5,82	3060	1,55							
291	180	5,05	2980	1,7							
335	157	4,39	2900	1,8							
317	166	9,35	2920	2,2	iC 572 – HB3 132 S 2 B16G		79	90	82	93	140
371	141	7,97	2840	2,5							
393	134	7,53	2800	2,6							
462	114	6,41	2700	2,9							
508	103	5,82	2640	3,1							
587	90	5,05	2550	3,4							
674	78	4,39	2460	3,6							
303	173	4,85	1920	1			iC 472 – HB3 132 S 4 B16G		78	89	79
339	155	4,34	2110	1,05							
384	137	3,83	2070	1,15							

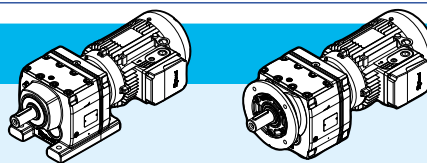
⁽¹⁾ Rapporto di trasmissione / finito

$P_1 = 5,5 \text{ kW}$							 kg				 p.
n_2 min ⁻¹	M_2 N m	i	F_{r2} N	fs		con piedi		con flangia			
						HB	HBZ	HB	HBZ		
236	223	12,54	1780	1,1	iC 472 – HB3 132 S 2 B16G		73	84	74	85	138
251	209	11,79	1970	1,15							
292	180	10,15	2250	1,3							
326	161	9,07	2210	1,35							
369	142	8,01	2170	1,45							
494	106	6	1990	1,5							
525	100	5,64 ⁽¹⁾	1970	1,55							
610	86	4,85	1910	1,75							
683	77	4,34	1860	1,9							
773	68	3,83	1810	2,1							

$P_1 = 7,5 \text{ kW}$													
24	2940	59,92	21500	1,1	iC 973 – HB3 132 M 4 B30G		194	205	210	221	148		
27	2611	53,21	22100	1,2									
31	2334	47,58	21600	1,35									
34	2099	42,78	21200	1,5									
39	1821	37,13	20600	1,7									
44	1631	33,25	20100	1,8									
53	1353	27,58	19200	2,1	iC 972 – HB3 132 M 4 B30G		190	201	206	217	148		
46	1572	32,05	19900	1,85									
54	1334	27,19	19200	2,2									
58	1228	25,03	18800	2,4									
65	1098	22,37	18300	2,6									
72	988	20,14	17800	2,8									
80	895	18,24	17300	3	iC 873 – HB3 132 M 4 B25G		145	156	152	163	146		
40	1807	36,84 ⁽¹⁾	14700	0,95									
45	1602	32,66 ⁽¹⁾	15600	1,05									
52	1368	27,88	15200	1,2									
52	1366	27,84 ⁽¹⁾	15200	1,25			iC 872 – HB3 132 M 4 B25G		143	154	151	162	146
62	1148	23,4	14600	1,4									
68	1055	21,51	14400	1,45									
76	937	19,1	14000	1,55									
85	838	17,08 ⁽¹⁾	13700	1,7									
95	753	15,35	12600	1,8									
110	654	13,33	12900	2									
122	585	11,93	12500	2,1									
147	486	9,9 ⁽¹⁾	11900	2,4					135	146	143	154	
160	449	9,14 ⁽¹⁾	11800	2,7									
178	403	8,22	11500	2,9									
205	350	7,13	11000	3,1									
229	313	6,39	10700	3,3									
275	260	5,3 ⁽¹⁾	10100	3,5									

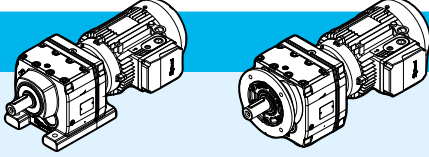


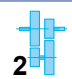
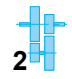
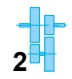
⁽¹⁾Rapporto di trasmissione i finito



$P_1 = 7,5 \text{ kW}$



n_2 min ⁻¹	M_2 N m	i	F_{r2} N	fs		con piedi		con flangia		p.			
						HB	HBZ	HB	HBZ				
78	922	18,8	5520	0,85	iC 772 – HB3 132 M 4 B20G		108	119	114	125	144		
82	874	17,82 ⁽¹⁾	5910	0,9									
94	765	15,6	6760	0,95									
104	689	14,05	7300	1,05									
118	605	12,33	7850	1,15									
134	534	10,88	7960	1,25									
151	473	9,64	7770	1,35					104	115	111	122	
170	422	8,59	7690	1,5									
189	380	7,74	7540	1,6									
215	333	6,79	7300	1,75									
244	294	5,99 ⁽¹⁾	7060	1,85									
275	261	5,31 ⁽¹⁾	6840	1,95									
115	623	12,7	4420	0,85			iC 672 – HB3 132 M 4 B16G		100	111	103	114	142
127	566	11,54	5010	0,9									
146	490	10	5740	0,95									
168	427	8,7 ⁽¹⁾	5900	1,05									
187	382	7,79	5600	1					98	109	101	112	
198	361	7,36 ⁽¹⁾	5760	1,05									
233	307	6,27	5570	1,1									
256	279	5,7	5450	1,1									
296	242	4,93	5270	1,2									
340	211	4,29	5100	1,3									
183	391	7,97	1120	0,95	iC 572 – HB3 132 M 4 B16G				90	101	93	104	140
194	369	7,53	1410	0,95									
228	314	6,41	2120	1,05									
251	286	5,82	2470	1,15									
289	248	5,05	2750	1,25									
333	215	4,39	2700	1,3									
200	357	14,77 ⁽¹⁾	2620	1,2	iC 572 – HB3 132 SB 2 B16G		87	98	90	101	140		
212	338	13,95 ⁽¹⁾	2800	1,25									
249	287	11,88	2770	1,4									
274	261	10,79	2750	1,5									
317	226	9,35	2700	1,65									
371	193	7,97	2660	1,85					86	97	89	100	
393	182	7,53	2630	1,9									
462	155	6,41	2560	2,2									
508	141	5,82	2510	2,3									
587	122	5,05	2440	2,5									
674	106	4,39	2360	2,6									

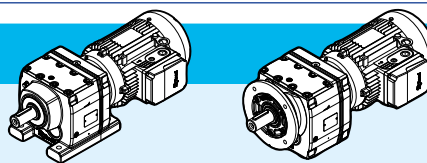
⁽¹⁾Rapporto di trasmissione i finito

$P_1 = 9,2 \text{ kW}$													
n_2 min ⁻¹	M_2 N m	i	F_{r2} N	fs		con piedi		con flangia		p.			
						HB	HBZ	HB	HBZ				
27	3202	53,21	10800	1	iC 973 – HB3 132 MB 4 B30H		196	208	212	224	148		
31	2863	47,58	20600	1,1									
34	2574	42,78	20200	1,25									
39	2234	37,13	19800	1,4									
44	2001	33,25	19300	1,5									
53	1660	27,58	18600	1,7									
58	1506	25,03	18200	1,95	iC 972 – HB3 132 MB 4 B30H		192	204	208	220	148		
65	1346	22,37	17800	2,1									
72	1212	20,14	17300	2,3									
80	1098	18,24	16900	2,4									
90	973	16,17	16400	2,6									
100	880	14,62	16000	2,8									
118	746	12,39	15300	3,1									
68	1294	21,51	13800	1,2			iC 872 – HB3 132 MB 4 B25H		145	157	153	165	146
76	1149	19,1	13500	1,3									
85	1028	17,08 ⁽¹⁾	13200	1,4									
95	924	15,35	12900	1,5									
110	802	13,33	12500	1,65									
122	718	11,93	12200	1,75									
147	596	9,9 ⁽¹⁾	11600	2									
160	550	9,14 ⁽¹⁾	11600	2,2	138	150			146	158			
178	495	8,22	11300	2,4									
205	429	7,13	10900	2,5									
229	384	6,39	10500	2,7									
104	846	14,05	4880	0,85	iC 772 – HB3 132 MB 4 B20H				110	122	117	129	144
118	742	12,33	5730	0,95									
134	655	10,88	6380	1									
151	580	9,64	6880	1,1			107	119	113	125			
189	466	7,74	6370	1,3									
215	409	6,79	6770	1,45									
244	361	5,99 ⁽¹⁾	6890	1,5									
275	320	5,31 ⁽¹⁾	6690	1,6									

$P_1 = 11 \text{ kW}$											
34	3057	42,78	17800	1,05	iC 973 – HB3 160 M 4 B30H		144	-	160	-	148
40	2653	37,13	18900	1,15							
44	2376	33,25	18600	1,25							
53	1971	27,58	18000	1,4							
59	1789	25,03	17600	1,65	iC 972 – HB3 160 M 4 B30H		140	-	156	-	148
66	1599	22,37	17200	1,75							
73	1439	20,14	16900	1,9							
81	1303	18,24	16500	2							
91	1156	16,17	16000	2,2							

⁽¹⁾Rapporto di trasmissione i finito

$P_1 = 11 \text{ kW}$

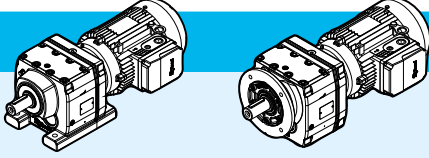







n_2 min ⁻¹	M_2 N m	i	F_{r2} N	fs		con piedi		con flangia		p.	
						HB	HBZ	HB	HBZ		
101	1045	14,62	15600	2,4	iC 972 – HB3 160 M 4 B30H		140	-	156	-	148
119	886	12,39	15000	2,6							
136	774	10,83	14500	2,9							
158	664	9,29	14200	3,3			128	-	144	-	
175	600	8,39	13800	3,5							
207	508	7,12	13100	3,9							
237	444	6,21	12600	4,3							
68	1537	21,51	13200	1	iC 872 – HB3 160 M 4 B25H		91	-	99	-	146
77	1365	19,1	13000	1,1							
86	1220	17,08 ⁽¹⁾	12700	1,15							
96	1097	15,35	12500	1,25							
110	952	13,33	12100	1,35							
123	853	11,93	11800	1,45							
148	707	9,9 ⁽¹⁾	11300	1,65							
161	653	9,14 ⁽¹⁾	11400	1,85			83	-	91	-	
179	587	8,22	11100	2							
206	510	7,13	10700	2,1							
230	457	6,39	10400	2,2							
277	379	5,3 ⁽¹⁾	9850	2,4							
135	777	10,88	4400	0,85	iC 772 – HB3 160 M 4 B20H		54	-	61	-	144
152	689	9,64	5130	0,9			51	-	58	-	
190	553	7,74	4740	1,1							
216	485	6,79	5340	1,2							
245	428	5,99 ⁽¹⁾	5800	1,25							
277	380	5,31 ⁽¹⁾	6140	1,35							


$P_1 = 15 \text{ kW}$

53	2688	27,58	16500	1,05	iC 973 – HB3 160 L 4 B30H		144	-	160	-	148
59	2439	25,03	16300	1,2							
66	2180	22,37	16100	1,3	iC 972 – HB3 160 L 4 B30H		140	-	156	-	148
73	1963	20,14	15800	1,4							
81	1777	18,24	15500	1,5							
91	1576	16,17	15200	1,6							
101	1425	14,62	14900	1,75							
119	1208	12,39	14400	1,95							
136	1055	10,83	13900	2,1							
158	905	9,29	13800	2,4			128	-	144	-	
175	818	8,39	13400	2,5							
207	693	7,12	12800	2,9							
237	606	6,21	12300	3,1							
86	1664	17,08 ⁽¹⁾	11600	0,85	iC 872 – HB3 160 L 4 B25H		91	-	99	-	146
96	1496	15,35	11500	0,9							

⁽¹⁾ Rapporto di trasmissione i finito

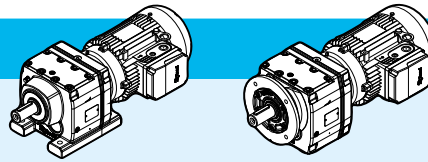
$P_1 = 15 \text{ kW}$											
n_2 min ⁻¹	M_2 N m	i	F_{r2} N	fs	iC 872 – HB3 160 L 4 B25H		con piedi		con flangia		
							HB	HBZ	HB	HBZ	
110	1299	13,33	11300	1			91	-	99	-	146
123	1163	11,93	11100	1,1							
148	965	9,9 ⁽¹⁾	10700	1,25							
161	891	9,14 ⁽¹⁾	10900	1,35							
179	801	8,22	10700	1,45							
206	695	7,13	10300	1,55							
230	623	6,39	10000	1,65							
277	516	5,3 ⁽¹⁾	9570	1,75							
							83	-	91	-	

$P_1 = 18,5 \text{ kW}$											
73	2429	20,14	14900	1,1	iC 972 – HB3 180 M 4 B30L		140	-	156	-	148
80	2200	18,24	14700	1,2							
91	1951	16,17	14400	1,3							
100	1764	14,62	14200	1,4							
118	1495	12,39	13800	1,55							
135	1306	10,83	13400	1,7							
158	1120	9,29	13400	1,95							
175	1012	8,39	13100	2,1							
206	858	7,12	12500	2,4	iC 872 – HB3 180 M 4 B25L		91	-	99	-	146
236	749	6,21	12100	2,5							
282	627	5,2	11500	2,9							
326	543	4,5 ⁽¹⁾	11100	3							
110	1607	13,33	10500	0,8							
123	1439	11,93	10400	0,85							
148	1194	9,9 ⁽¹⁾	10200	1							
160	1103	9,14 ⁽¹⁾	10500	1,1							
178	991	8,22	10300	1,2			83	-	91	-	
205	860	7,13	10000	1,25							
229	770	6,39	9750	1,35							
276	639	5,3 ⁽¹⁾	9330	1,45							

$P_1 = 22 \text{ kW}$											
73	2879	20,14	14000	0,95	iC 972 – HB3 180 L 4 B30L		140	-	156	-	148
81	2607	18,24	13900	1							
91	2312	16,17	13700	1,1							
101	2090	14,62	13500	1,2							
119	1772	12,39	13200	1,3							
136	1547	10,83	12900	1,45							
158	1327	9,29	13100	1,65							
175	1200	8,39	12800	1,75					128	-	
207	1017	7,12	12300	2							
237	888	6,21	11900	2,1							

⁽¹⁾ Rapporto di trasmissione i finito

$P_1 = 22 \text{ kW}$



kg

p.

n_2 min ⁻¹	M_2 N m	i	F_{r2} N	fs		con piedi		con flangia			
						HB	HBZ	HB	HBZ		
283	743	5,2	11300	2,4	iC 972 – HB3 180 L 4 B30L		128	-	144	-	148
327	643	4,5 ⁽¹⁾	10900	2,5							
148	1415	9,9 ⁽¹⁾	9630	0,85	iC 872 – HB3 180 L 4 B25L		91	-	99	-	146
161	1307	9,14 ⁽¹⁾	10100	0,95					83	-	91
179	1175	8,22	9940	1							
206	1020	7,13	9680	1,05							
230	913	6,39	9470	1,1							
277	758	5,3 ⁽¹⁾	9100	1,2							

$P_1 = 30 \text{ kW}$

101	2850	14,62	12000	0,85	iC 972 – HB3 200 L 4 B30M		146	-	162	-	148
119	2416	12,39	11900	0,95							
136	2110	10,83	11800	1,05							
158	1810	9,29	12300	1,2			134	-	150	-	
175	1636	8,39	12000	1,25							
207	1387	7,12	11700	1,45							
237	1211	6,21	11300	1,55							
283	1013	5,2	10900	1,75							
327	877	4,5 ⁽¹⁾	10500	1,85							

⁽¹⁾ Rapporto di trasmissione / finito

pagina lasciata intenzionalmente vuota

Disegni dimensionali coassiali - iC

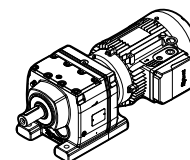


Indice di sezione

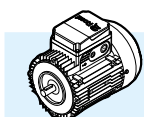
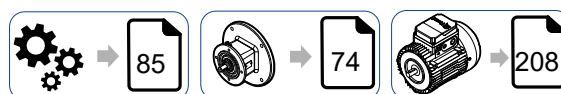
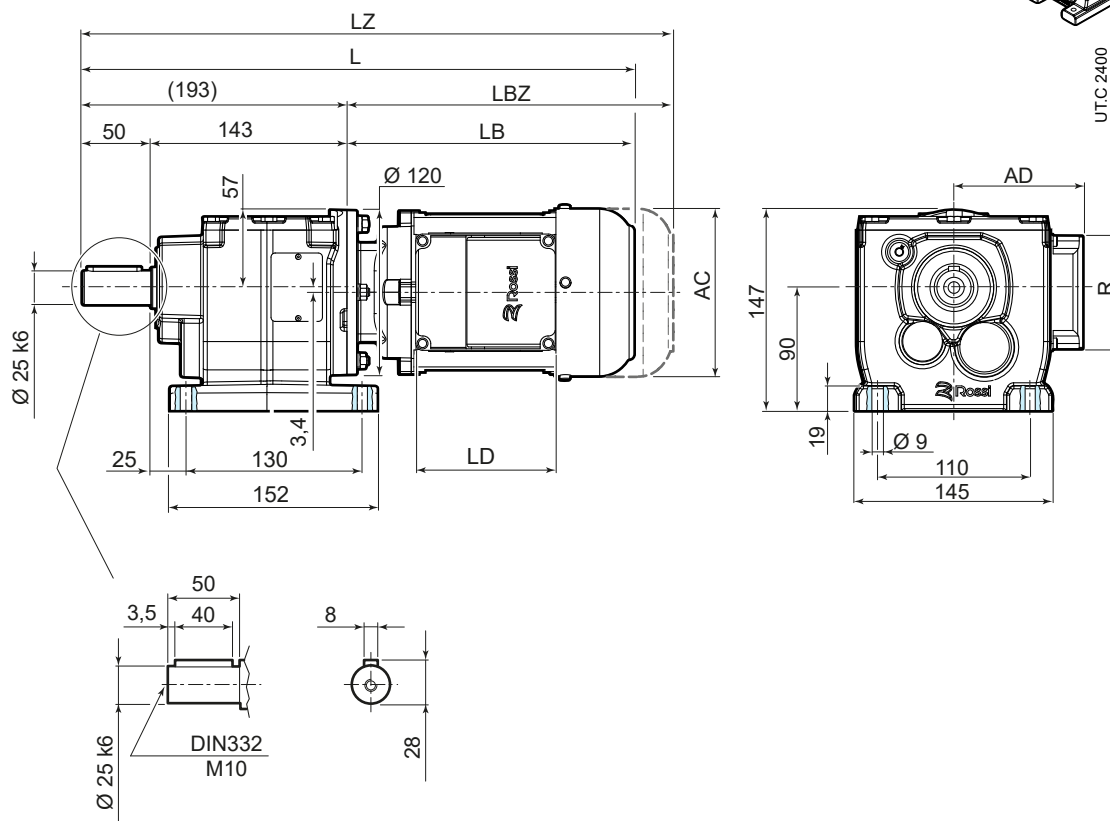
10.1	iC 27...	134
10.2	iC 37...	136
10.3	iC 47...	138
10.4	iC 57...	140
10.5	iC 67...	142
10.6	iC 77..	144
10.7	iC 87...	146
10.8	iC 97...	148

10.1

iC 27...PE



UTC 2400

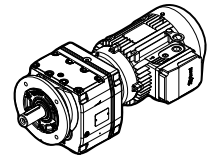


	63	71	80	90S ²⁾	90L	100	112
AC	123	138	156	176	176	194	218
AD	95	112	121	141	141	151	163
LB	211	237	266	290	320	351	389
LBZ	266	299	335	369	399	446	488
L¹⁾	404	430	459	483	513	544	582
LZ¹⁾	459	492	528	562	592	639	681
LD	103	103	103	136	136	136	136
R	86	86	86	106	106	106	106

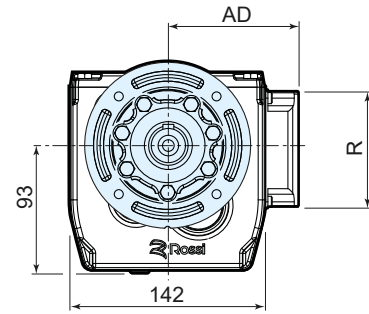
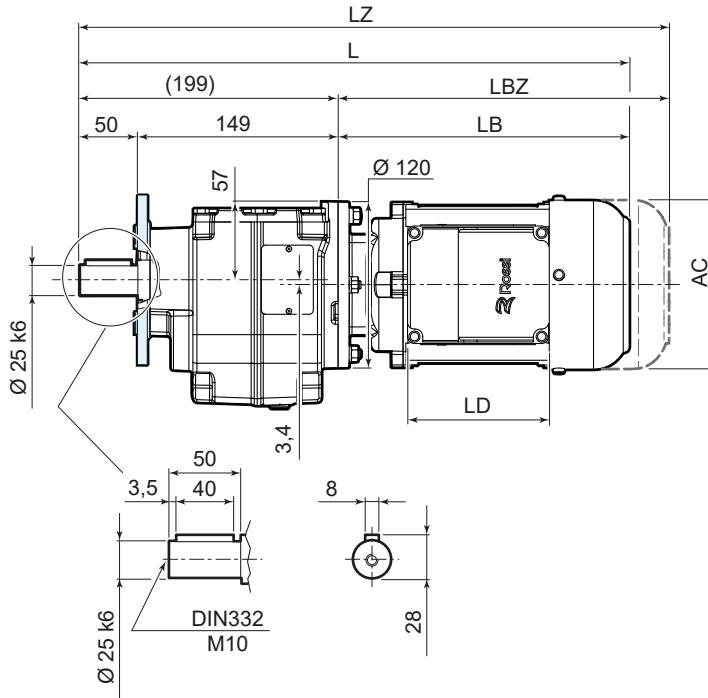
¹⁾ Vedere anche pag. 80/81

²⁾ Per motore HB3-HB3Z 90S 2, HB3-HB3Z 90S 4 quote come grand. motore 90L

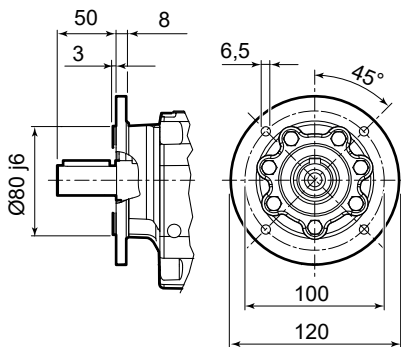
iC 27... FE



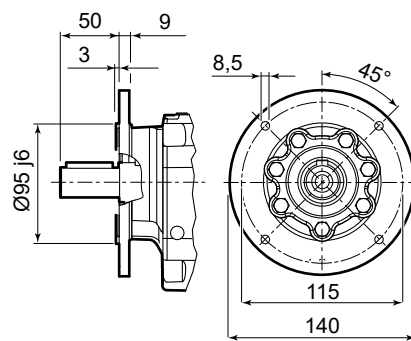
UTC 2401



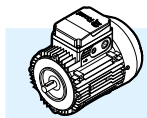
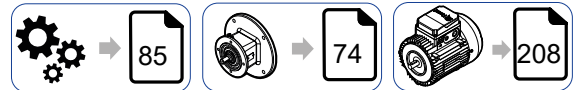
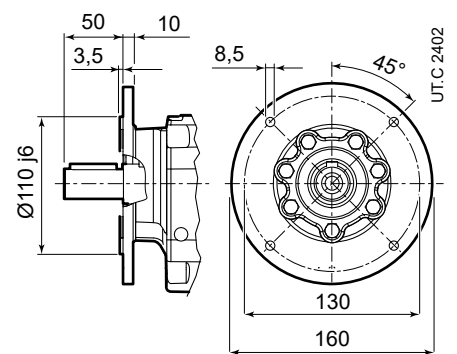
F212 Ø 120



F214 Ø 140



F216 Ø 160



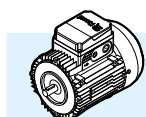
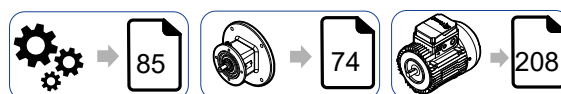
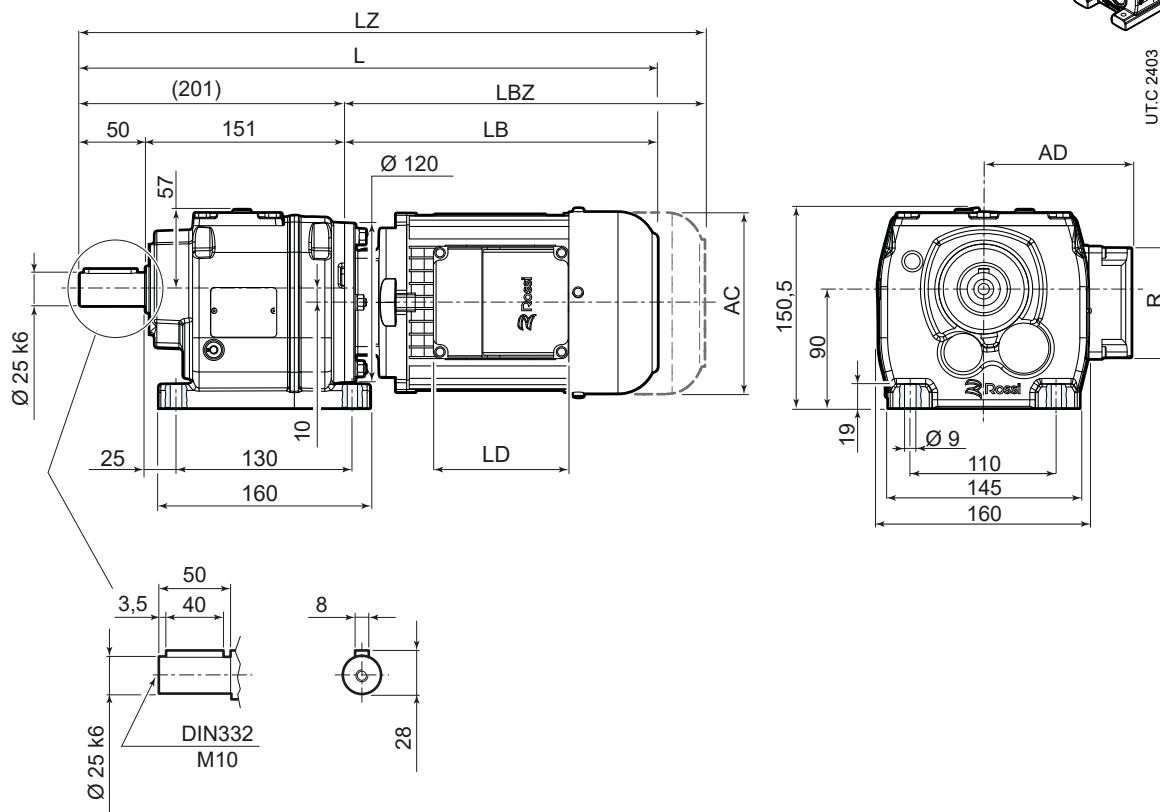
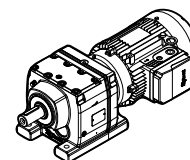
	63	71	80	90S ²⁾	90L	100	112
AC	123	138	156	176	176	194	218
AD	95	112	121	141	141	151	163
LB	211	237	266	290	320	351	389
LBZ	266	299	335	369	399	446	488
L ¹⁾	410	436	465	489	519	550	588
LZ ¹⁾	465	498	534	568	598	645	687
LD	103	103	103	136	136	136	136
R	86	86	86	106	106	106	106

¹⁾ Vedere anche pag. 80/81

²⁾ Per motore HB3-HB3Z 90S 2, HB3-HB3Z 90S 4 quote come grand. motore 90L

10.2

iC 37... PE

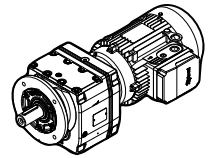


	63	71	80	90S ²⁾	90L	100	112
AC	123	138	156	176	176	194	218
AD	95	112	121	141	141	151	163
LB	211	237	266	290	320	351	389
LBZ	266	299	335	369	399	446	488
L ¹⁾	412	438	467	491	521	552	590
LZ ¹⁾	467	500	536	570	600	647	689
LD	103	103	103	136	136	136	136
R	86	86	86	106	106	106	106

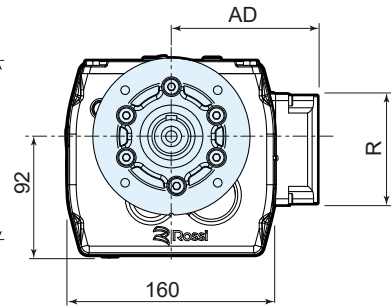
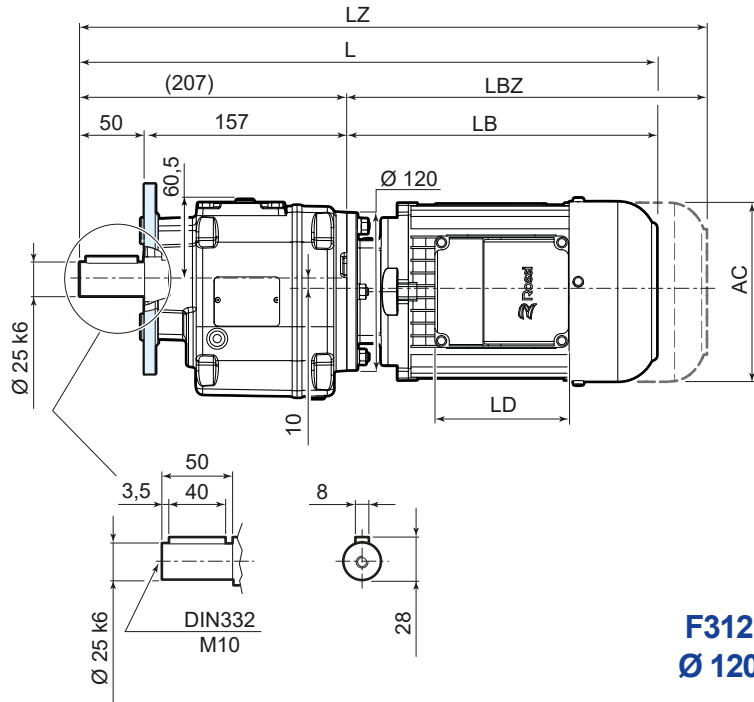
¹⁾ Vedere anche pag. 80/81

²⁾ Per motore HB3-HB3Z 90S 2, HB3-HB3Z 90S 4 quote come grand. motore 90L

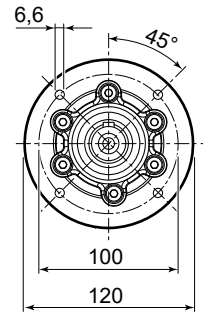
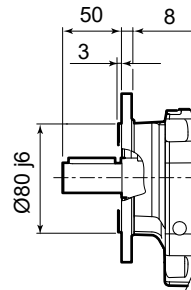
iC 37... FE



UTC 2404

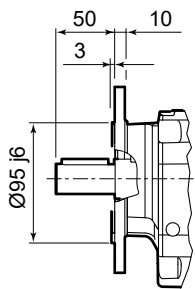


F312
Ø 120

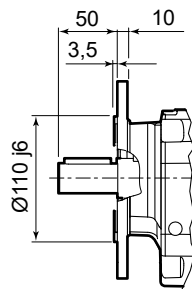
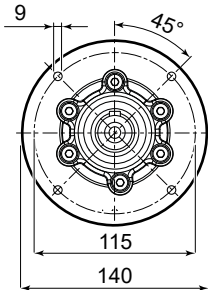


UTC 2405

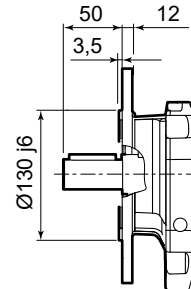
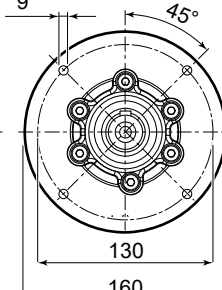
iC



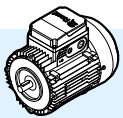
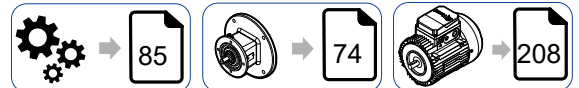
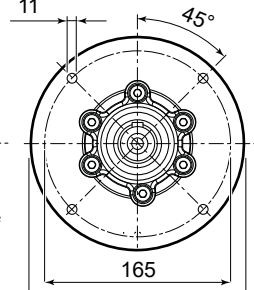
F314
Ø 140



F316
Ø 160



F320
Ø 200



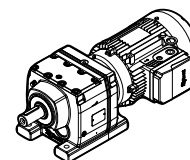
	63	71	80	90S ²⁾	90L	100	112
AC	123	138	156	176	176	194	218
AD	95	112	121	141	141	151	163
LB	211	237	266	290	320	351	389
LBZ	266	299	335	369	399	446	488
L ¹⁾	418	444	473	497	527	558	596
LZ ¹⁾	473	506	542	576	606	653	695
LD	103	103	103	136	136	136	136
R	86	86	86	106	106	106	106

¹⁾ Vedere anche pag. 80/81

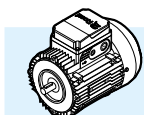
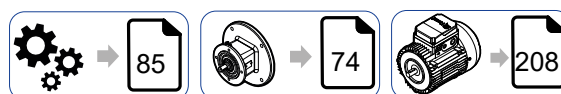
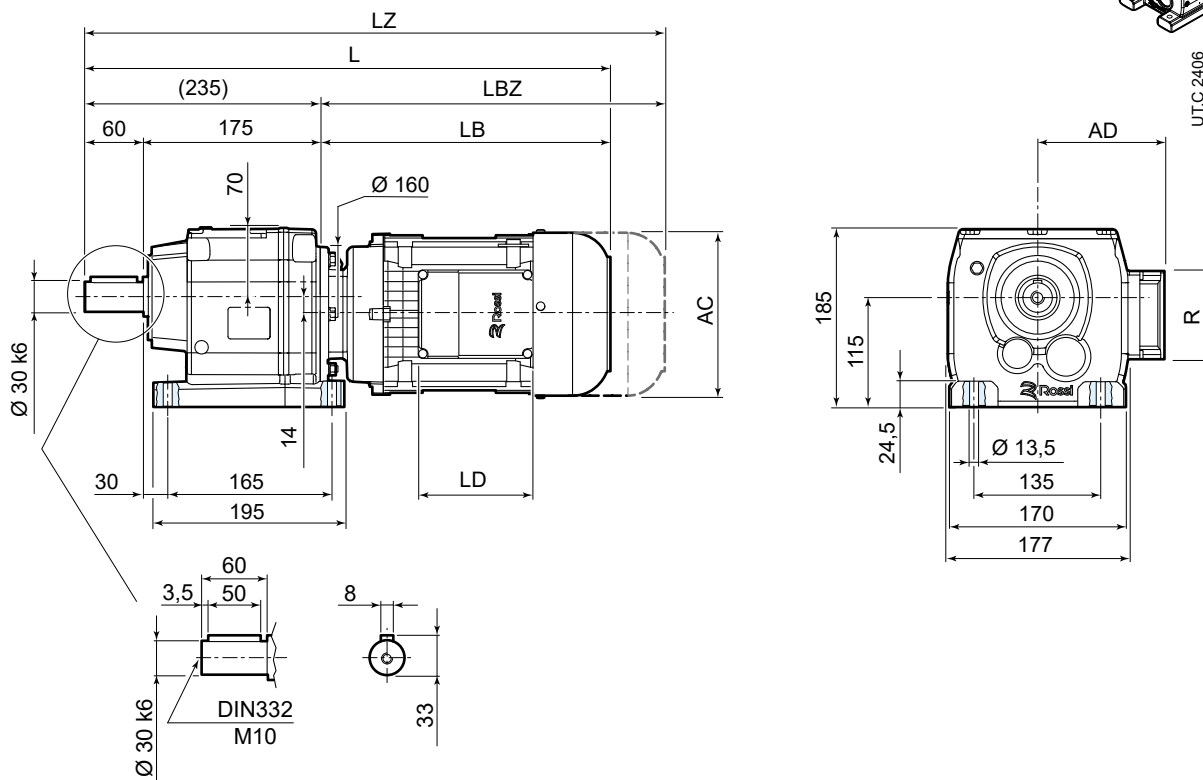
²⁾ Per motore HB3-HB3Z 90S 2, HB3-HB3Z 90S 4 quote come grand. motore 90L

10.3

iC 47... PE



UTC 2406



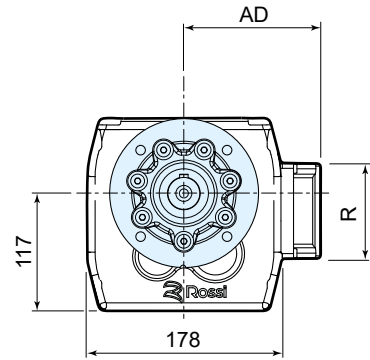
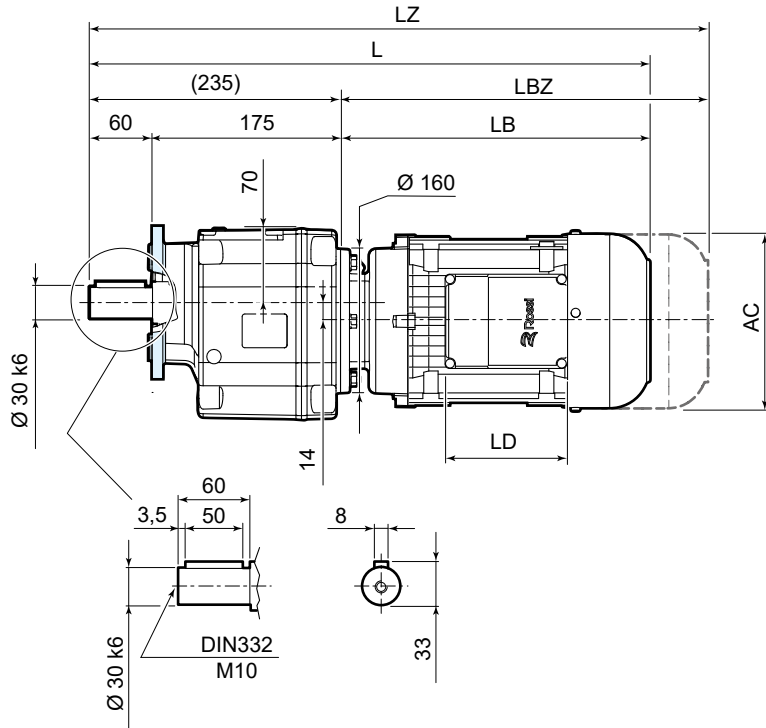
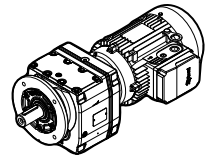
	63	71	80	90S ²⁾	90L	100	112	132S ³⁾	132M
AC	123	138	156	176	176	194	218	257	257
AD	95	112	121	141	141	151	163	194	194
LB	205	231	260	283	313	345	383	439	499
LBZ	260	293	329	362	392	440	482	547	607
L ¹⁾	440	466	495	518	548	580	618	674	734
LZ ¹⁾	495	528	564	597	627	675	717	782	842
LD	103	103	103	136	136	136	136	190	190
R	86	86	86	106	106	106	106	148	148

¹⁾ Vedere anche pag. 80/81

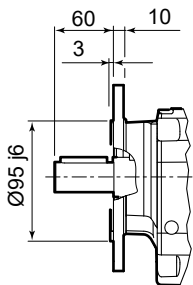
²⁾ Per motore HB3-HB3Z 90S 2, HB3-HB3Z 90S 4 quote come grand. motore 90L

³⁾ Per motore HB3-HB3Z 132SB 2, HB3-HB3Z 132SC 2, HB3-HB3Z 132S 4 quote come grand. motore 132M

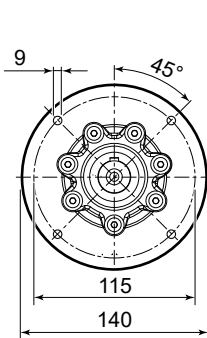
iC 47... FE



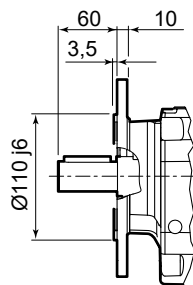
UTC 2407



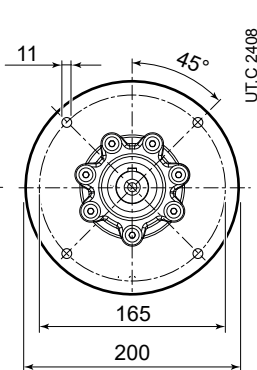
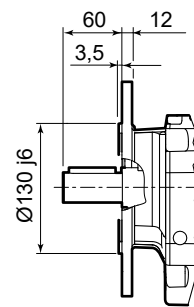
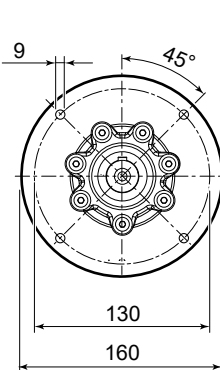
F414
Ø 140



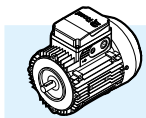
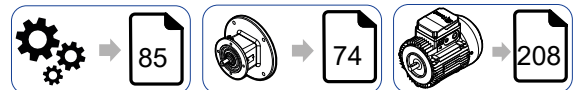
F416
Ø 160



F420
Ø 200



UTC 2408



	63	71	80	90S ²⁾	90L	100	112	132S ³⁾	132M
AC	123	138	156	176	176	194	218	257	257
AD	95	112	121	141	141	151	163	194	194
LB	205	231	260	283	313	345	383	439	499
LBZ	260	293	329	362	392	440	482	547	607
L ¹⁾	440	466	495	518	548	580	618	674	734
LZ ¹⁾	495	528	564	597	627	675	717	782	842
LD	103	103	103	136	136	136	136	190	190
R	86	86	86	106	106	106	106	148	148

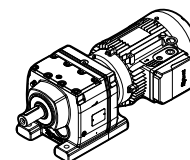
¹⁾ Vedere anche pag. 80/81

²⁾ Per motore HB3-HB3Z 90S 2, HB3-HB3Z 90S 4 quote come grand. motore 90L

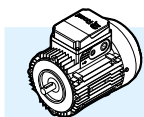
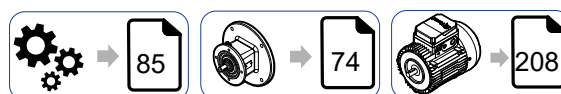
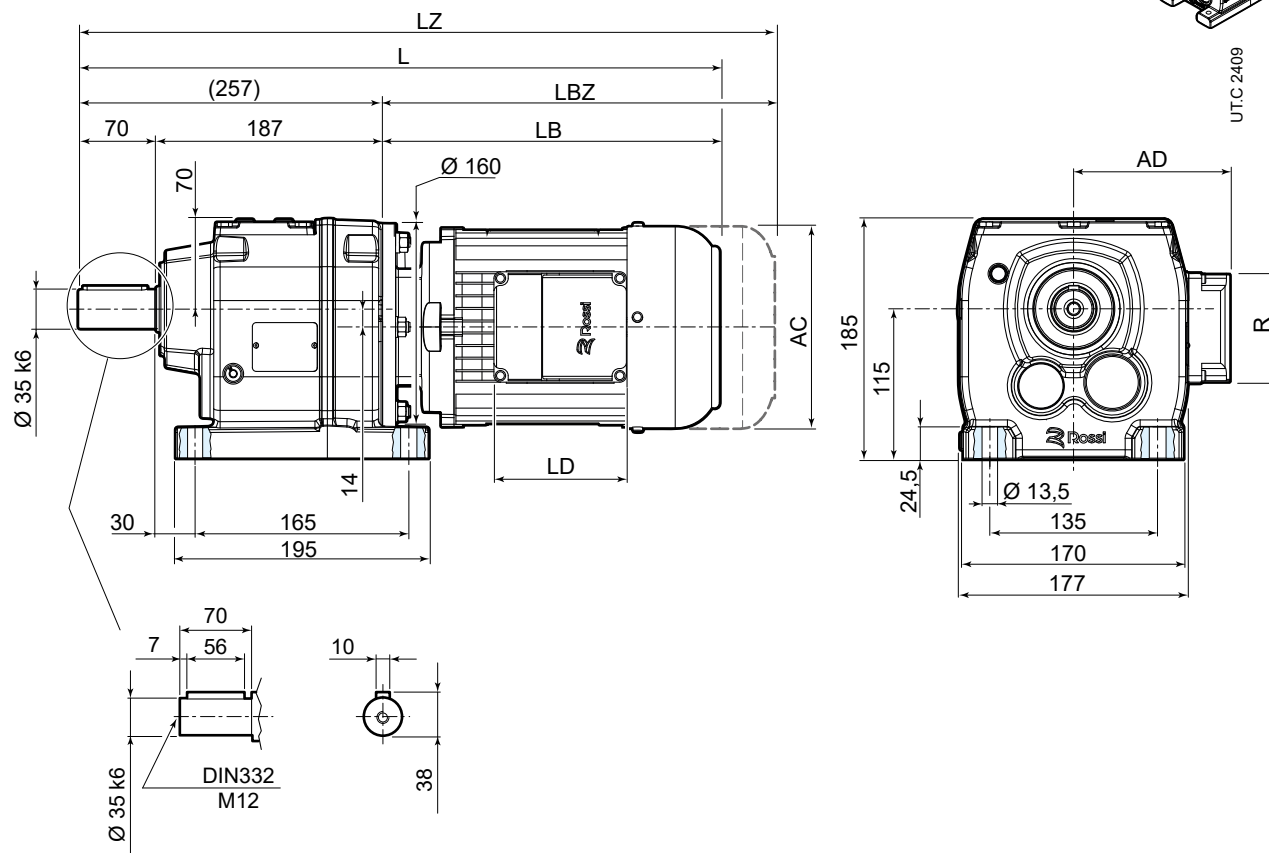
³⁾ Per motore HB3-HB3Z 132SB 2, HB3-HB3Z 132SC 2, HB3-HB3Z 132S 4 quote come grand. motore 132M

10.4

iC 57... PE



UTC 2409



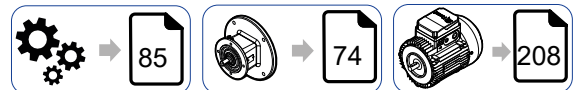
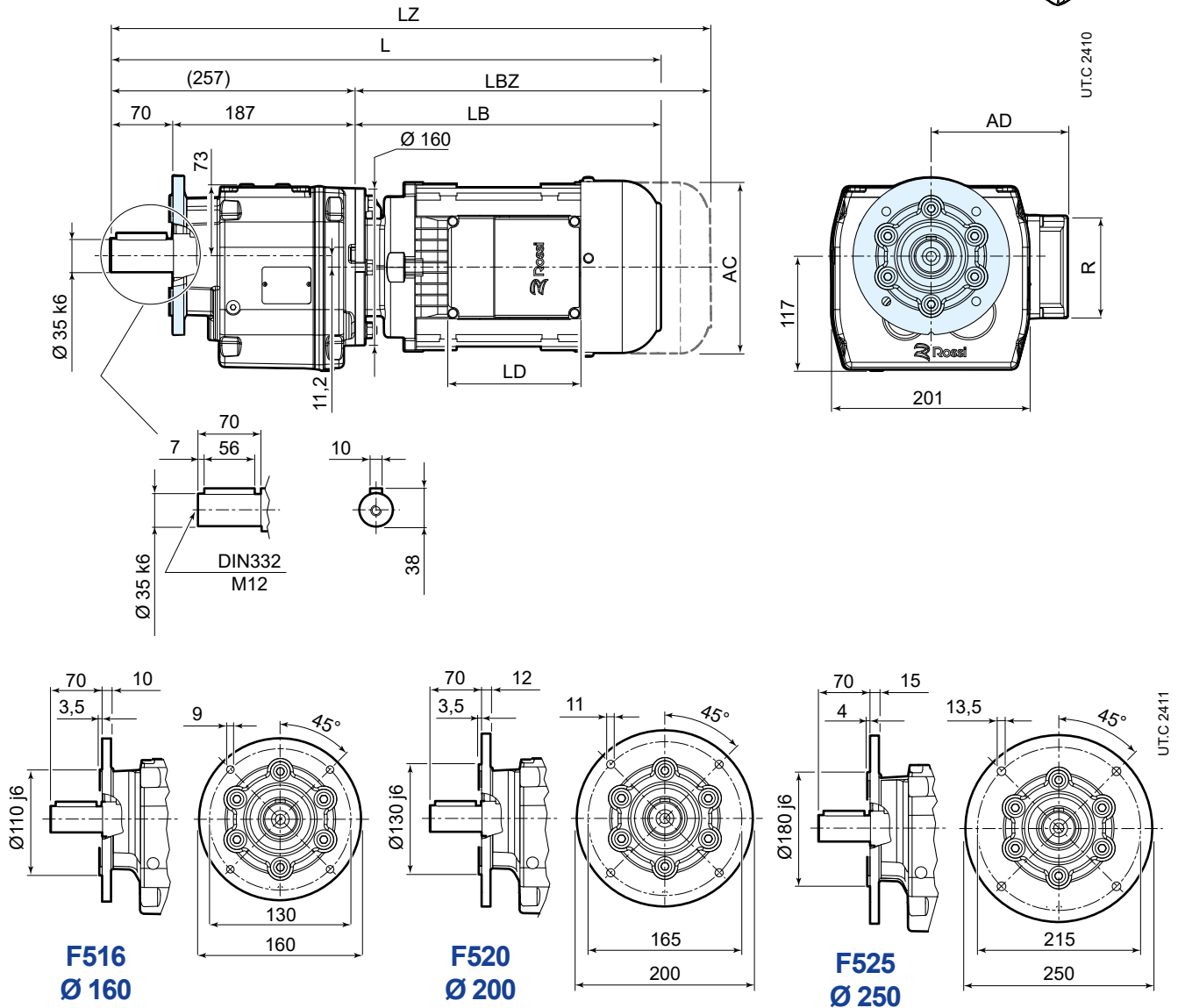
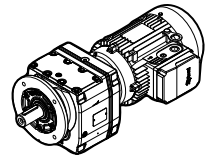
	63	71	80	90S ²⁾	90L	100	112	132S ³⁾	132M
AC	123	138	156	176	176	194	218	257	257
AD	95	112	121	141	141	151	163	194	194
LB	205	231	260	283	313	345	383	439	499
LBZ	260	293	329	362	392	440	482	547	607
L ¹⁾	462	488	517	540	570	602	640	696	756
LZ ¹⁾	517	550	586	619	649	697	739	804	864
LD	103	103	103	136	136	136	136	190	190
R	86	86	86	106	106	106	106	148	148

¹⁾ Vedere anche pag. 80/81

²⁾ Per motore HB3-HB3Z 90S 2, HB3-HB3Z 90S 4 quote come grand. motore 90L

³⁾ Per motore HB3-HB3Z 132SB 2, HB3-HB3Z 132SC 2, HB3-HB3Z 132S 4 quote come grand. motore 132M

iC 57... FE



	63	71	80	90S ²⁾	90L	100	112	132S ³⁾	132M
AC	123	138	156	176	176	194	218	257	257
AD	95	112	121	141	141	151	163	194	194
LB	205	231	260	283	313	345	383	439	499
LBZ	260	293	329	362	392	440	482	547	607
L ¹⁾	462	488	517	540	570	602	640	696	756
LZ ¹⁾	517	550	586	619	649	697	739	804	864
LD	103	103	103	136	136	136	136	190	190
R	86	86	86	106	106	106	106	148	148

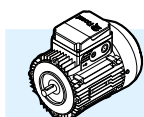
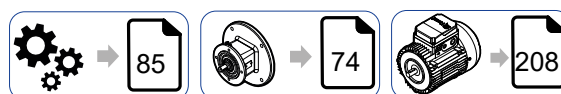
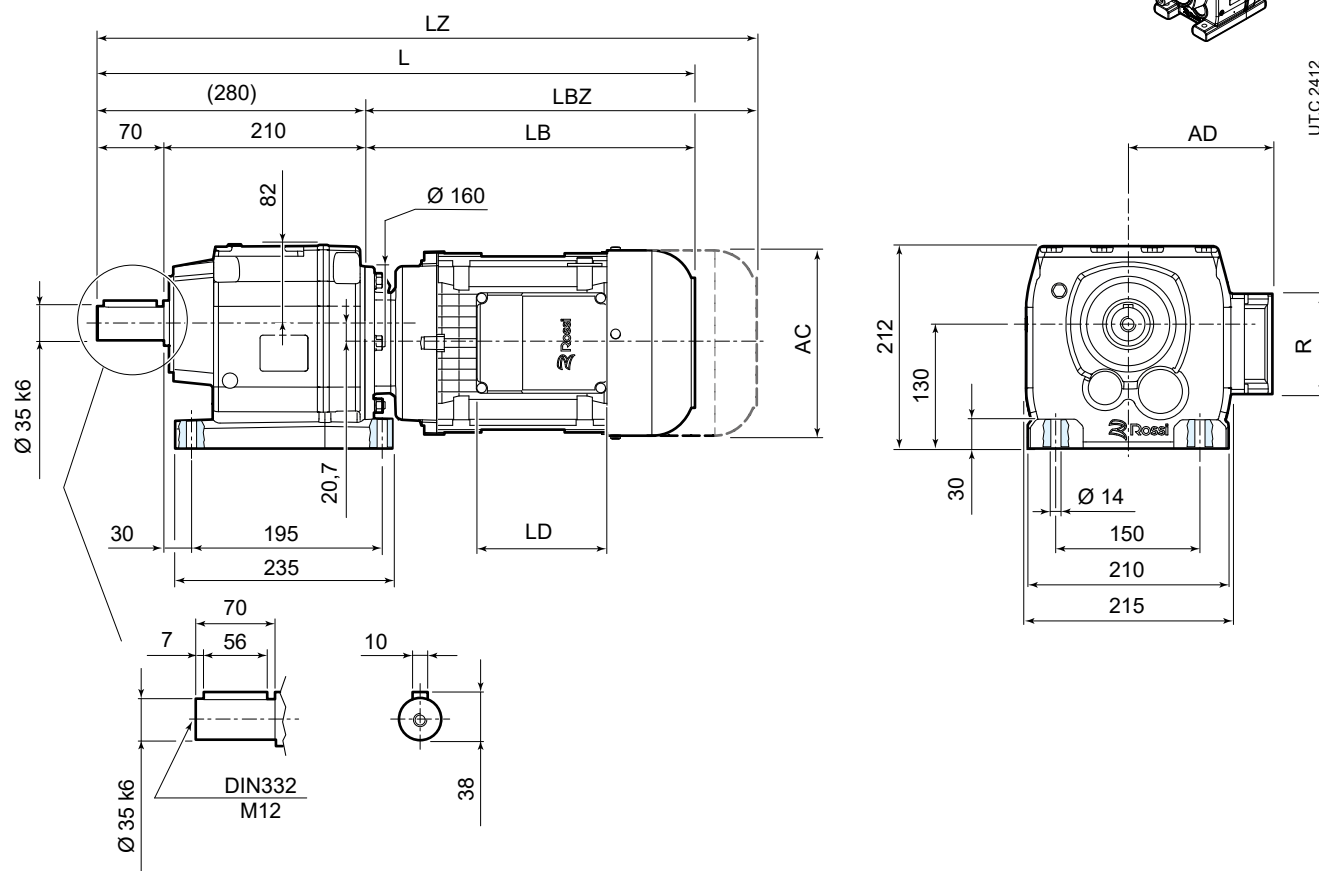
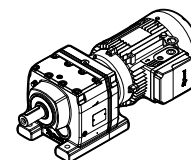
¹⁾ Vedere anche pag. 80/81

²⁾ Per motore HB3-HB3Z 90S 2, HB3-HB3Z 90S 4 quote come grand. motore 90L

³⁾ Per motore HB3-HB3Z 132SB 2, HB3-HB3Z 132SC 2, HB3-HB3Z 132S 4 quote come grand. motore 132M

10.5

iC 67... PE



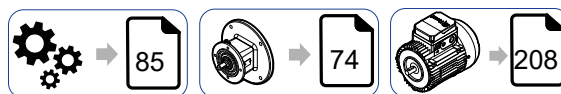
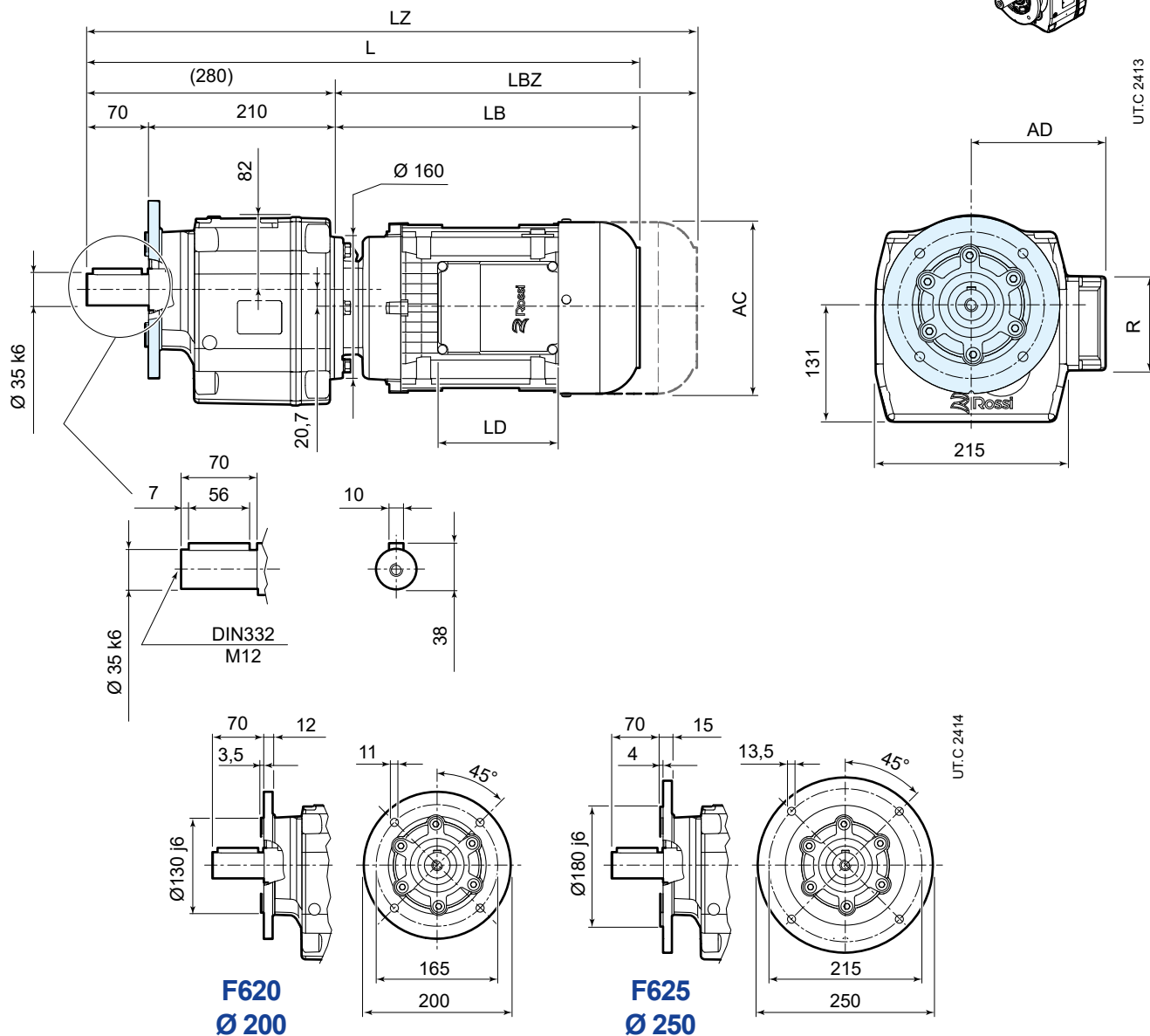
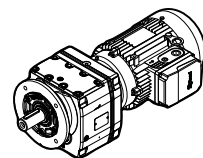
	63	71	80	90S ²⁾	90L	100	112	132S ³⁾	132M
AC	123	138	156	176	176	194	218	257	257
AD	95	112	121	141	141	151	163	194	194
LB	205	231	260	283	313	345	383	439	499
LBZ	260	293	329	362	392	440	482	547	607
L ¹⁾	485	511	540	563	593	625	663	719	779
LZ ¹⁾	540	573	609	642	672	720	762	827	887
LD	103	103	103	136	136	136	136	190	190
R	86	86	86	106	106	106	106	148	148

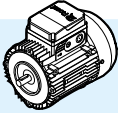
¹⁾ Vedere anche pag. 80/81

²⁾ Per motore HB3-HB3Z 90S 2, HB3-HB3Z 90S 4 quote come grand. motore 90L

³⁾ Per motore HB3-HB3Z 132SB 2, HB3-HB3Z 132SC 2, HB3-HB3Z 132S 4 quote come grand. motore 132M

iC 67... FE



	63	71	80	90S ²⁾	90L	100	112	132S ³⁾	132M
AC	123	138	156	176	176	194	218	257	257
AD	95	112	121	141	141	151	163	194	194
LB	205	231	260	283	313	345	383	439	499
LBZ	260	293	329	362	392	440	482	547	607
L ¹⁾	485	511	540	563	593	625	663	719	779
LZ ¹⁾	540	573	609	642	672	720	762	827	887
LD	103	103	103	136	136	136	136	190	190
R	86	86	86	106	106	106	106	148	148

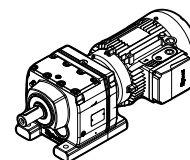
¹⁾ Vedere anche pag. 80/81

²⁾ Per motore HB3-HB3Z 90S 2, HB3-HB3Z 90S 4 quote come grand. motore 90L

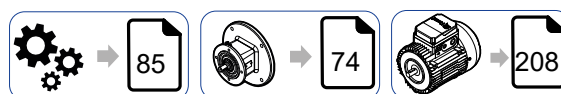
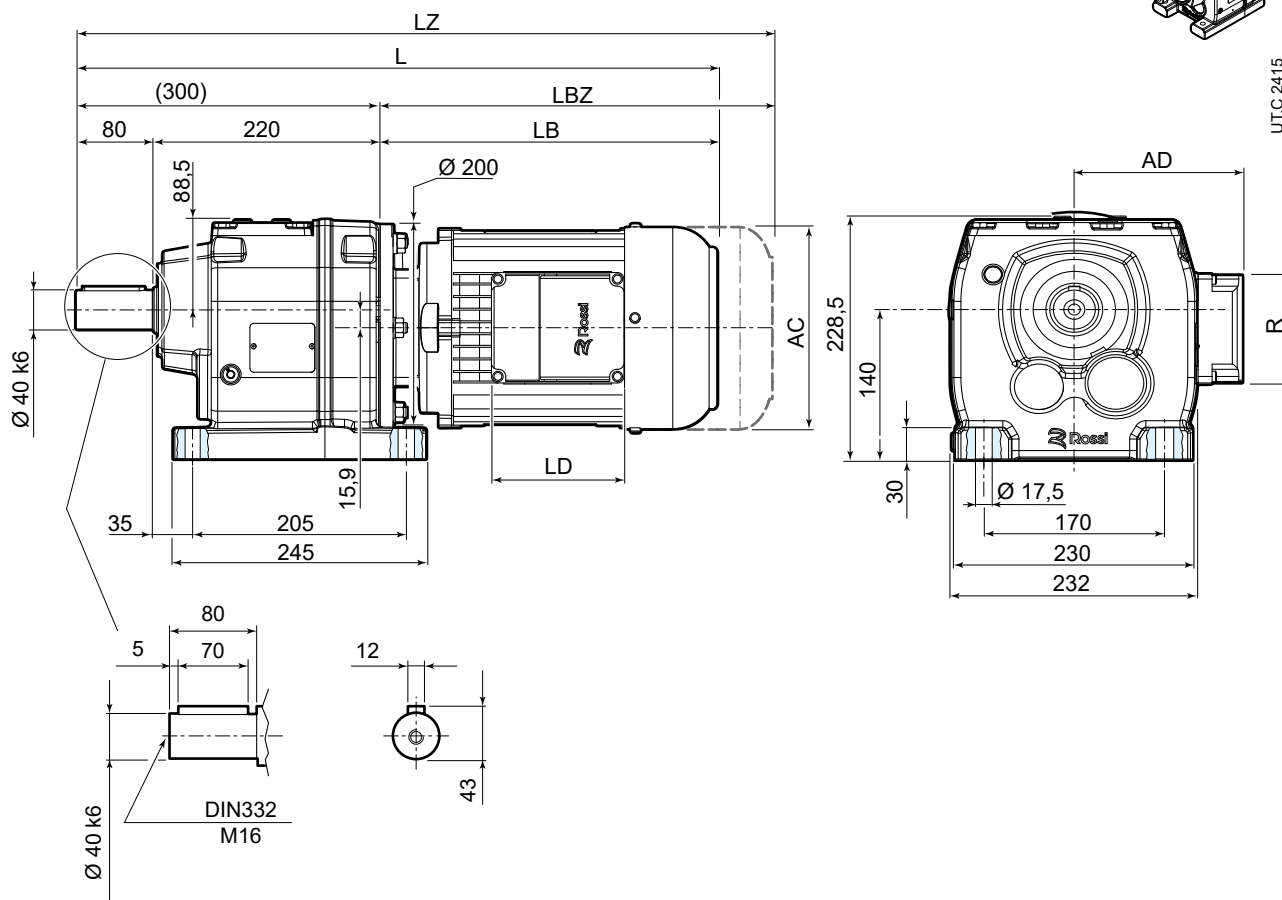
³⁾ Per motore HB3-HB3Z 132SB 2, HB3-HB3Z 132SC 2, HB3-HB3Z 132S 4 quote come grand. motore 132M

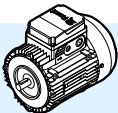
10.6

iC 77... PE



UTC 2415



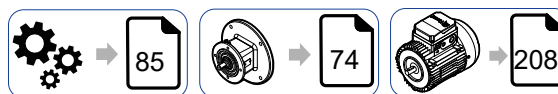
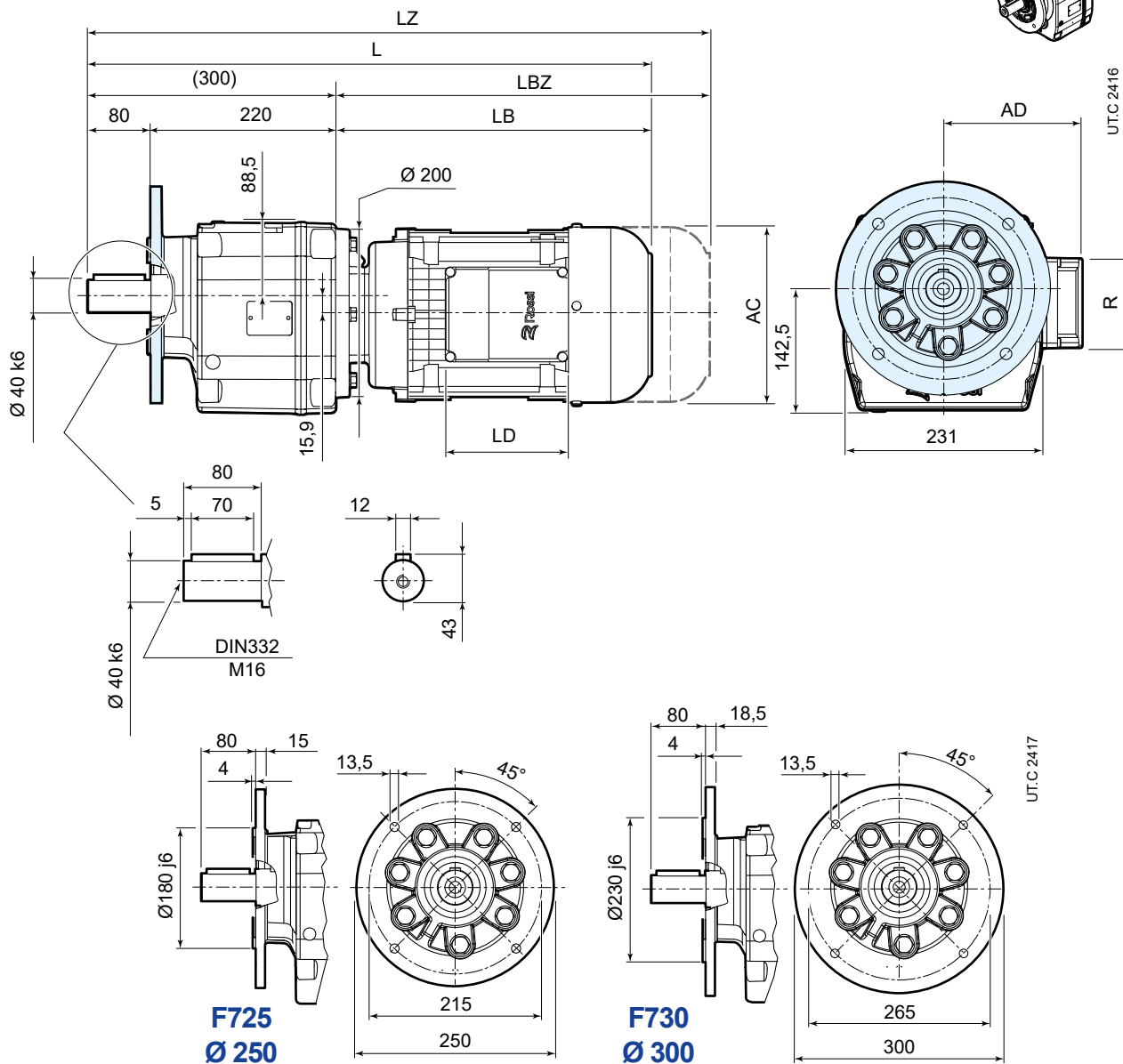
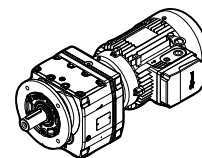
	63	71	80	90S ²⁾	90L	100	112	132S ³⁾	132M
AC	123	138	156	176	176	194	218	257	257
AD	95	112	121	141	141	151	163	194	194
LB	199	225	254	276	306	339	377	433	493
LBZ	254	287	323	355	385	434	476	541	601
L ¹⁾	499	525	554	576	606	639	677	733	793
LZ ¹⁾	554	587	623	655	685	734	776	841	901
LD	103	103	103	136	136	136	136	190	190
R	86	86	86	106	106	106	106	148	148

¹⁾ Vedere anche pag. 80/81

²⁾ Per motore HB3-HB3Z 90S 2, HB3-HB3Z 90S 4 quote come grand. motore 90L

³⁾ Per motore HB3-HB3Z 132SB 2, HB3-HB3Z 132SC 2, HB3-HB3Z 132S 4 quote come grand. motore 132M

iC 77... FE



	63	71	80	90S ²⁾	90L	100	112	132S ³⁾	132M
AC	123	138	156	176	176	194	218	257	257
AD	95	112	121	141	141	151	163	194	194
LB	199	225	254	276	306	339	377	433	493
LBZ	254	287	323	355	385	434	476	541	601
L¹⁾	499	525	554	576	606	639	677	733	793
LZ¹⁾	554	587	623	655	685	734	776	841	901
LD	103	103	103	136	136	136	136	190	190
R	86	86	86	106	106	106	106	148	148

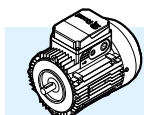
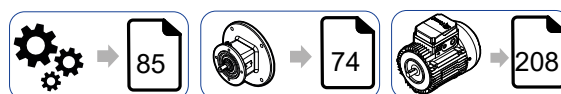
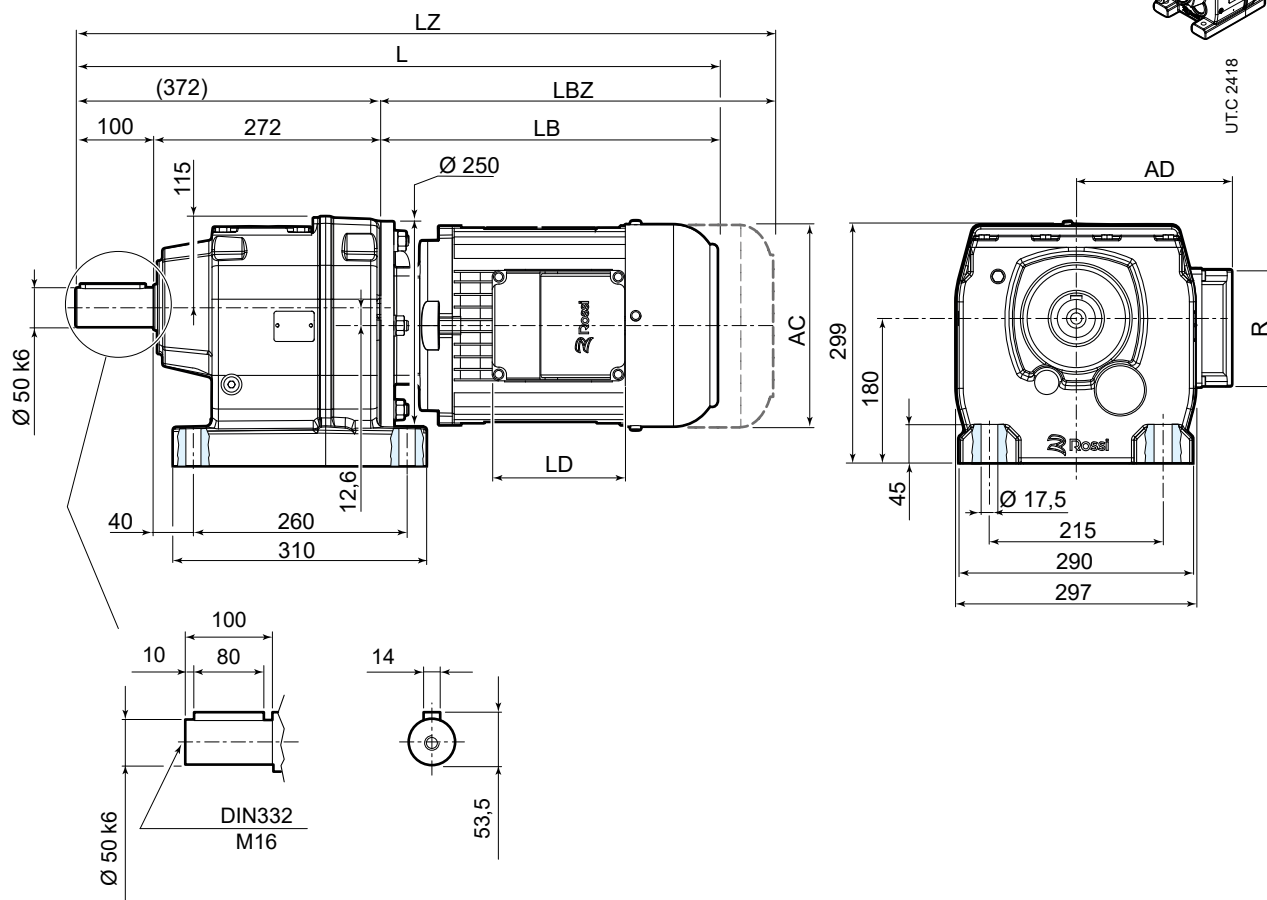
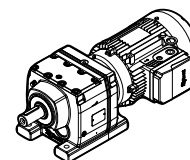
¹⁾ Vedere anche pag. 80/81

²⁾ Per motore HB3-HB3Z 90S 2, HB3-HB3Z 90S 4 quote come grand. motore 90L

³⁾ Per motore HB3-HB3Z 132SB 2, HB3-HB3Z 132SC 2, HB3-HB3Z 132S 4 quote come grand. motore 132M

10.7

iC 87... PE



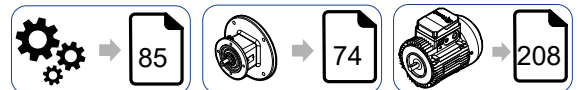
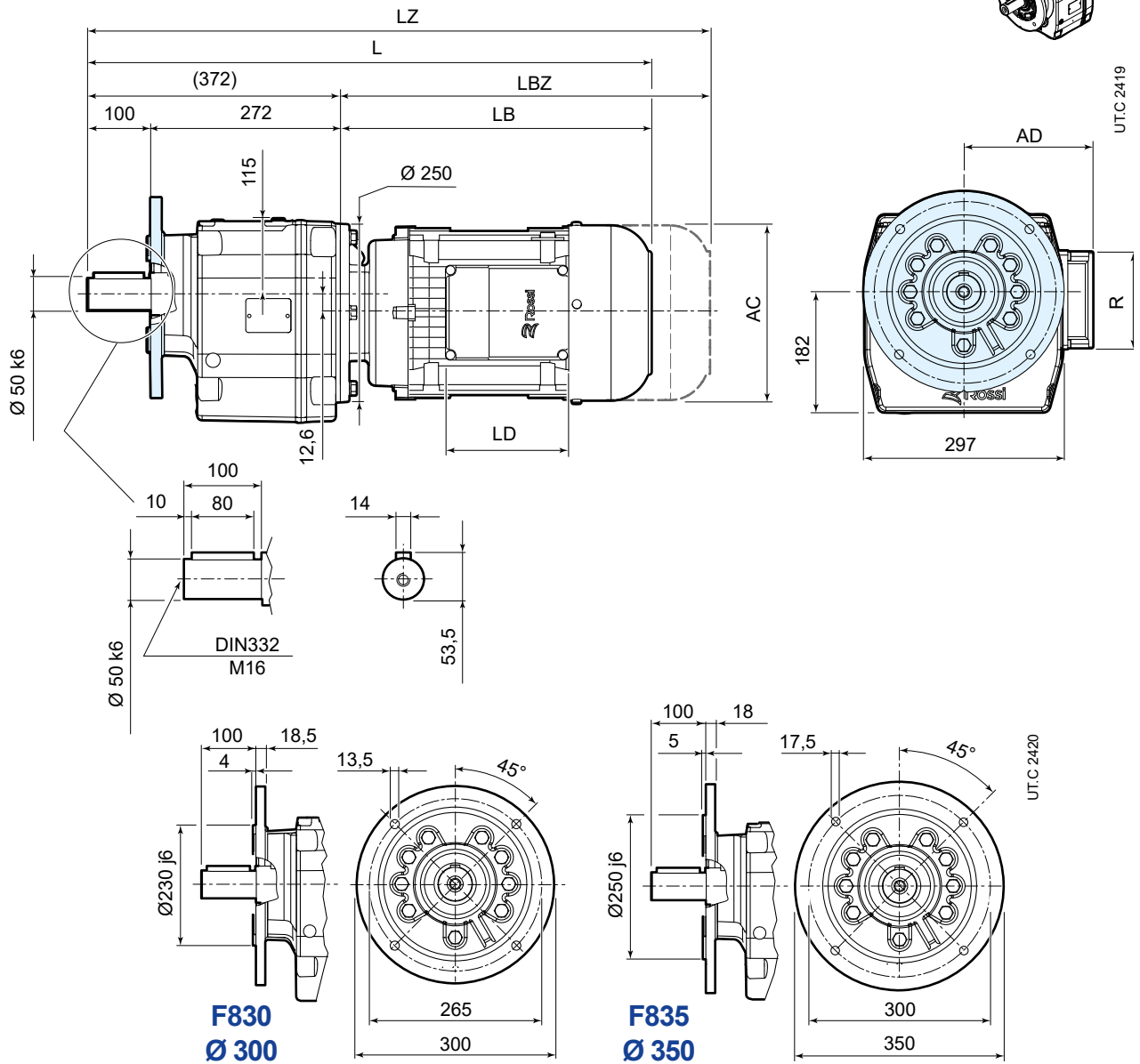
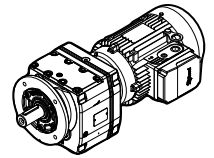
	80	90S ²⁾	90L	100	112	132S ³⁾	132M
AC	156	176	176	194	218	257	257
AD	121	141	141	151	163	194	194
LB	249	272	302	334	372	428	488
LBZ	318	351	381	429	471	536	596
L ¹⁾	621	644	674	706	744	800	860
LZ ¹⁾	690	723	753	801	843	908	968
LD	103	136	136	136	136	190	190
R	86	106	106	106	106	148	148

¹⁾ Vedere anche pag. 80/81

²⁾ Per motore HB3-HB3Z 90S 2, HB3-HB3Z 90S 4 quote come grand. motore 90L

³⁾ Per motore HB3-HB3Z 132SB 2, HB3-HB3Z 132SC 2, HB3-HB3Z 132S 4 quote come grand. motore 132M

iC 87... FE



	80	90S ²⁾	90L	100	112	132S ³⁾	132M
AC	156	176	176	194	218	257	257
AD	121	141	141	151	163	194	194
LB	249	272	302	334	372	428	488
LBZ	318	351	381	429	471	536	596
L ¹⁾	621	644	674	706	744	800	860
LZ ¹⁾	690	723	753	801	843	908	968
LD	103	136	136	136	136	190	190
R	86	106	106	106	106	148	148

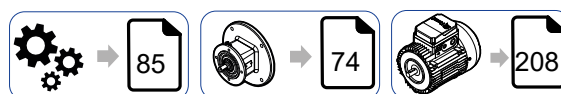
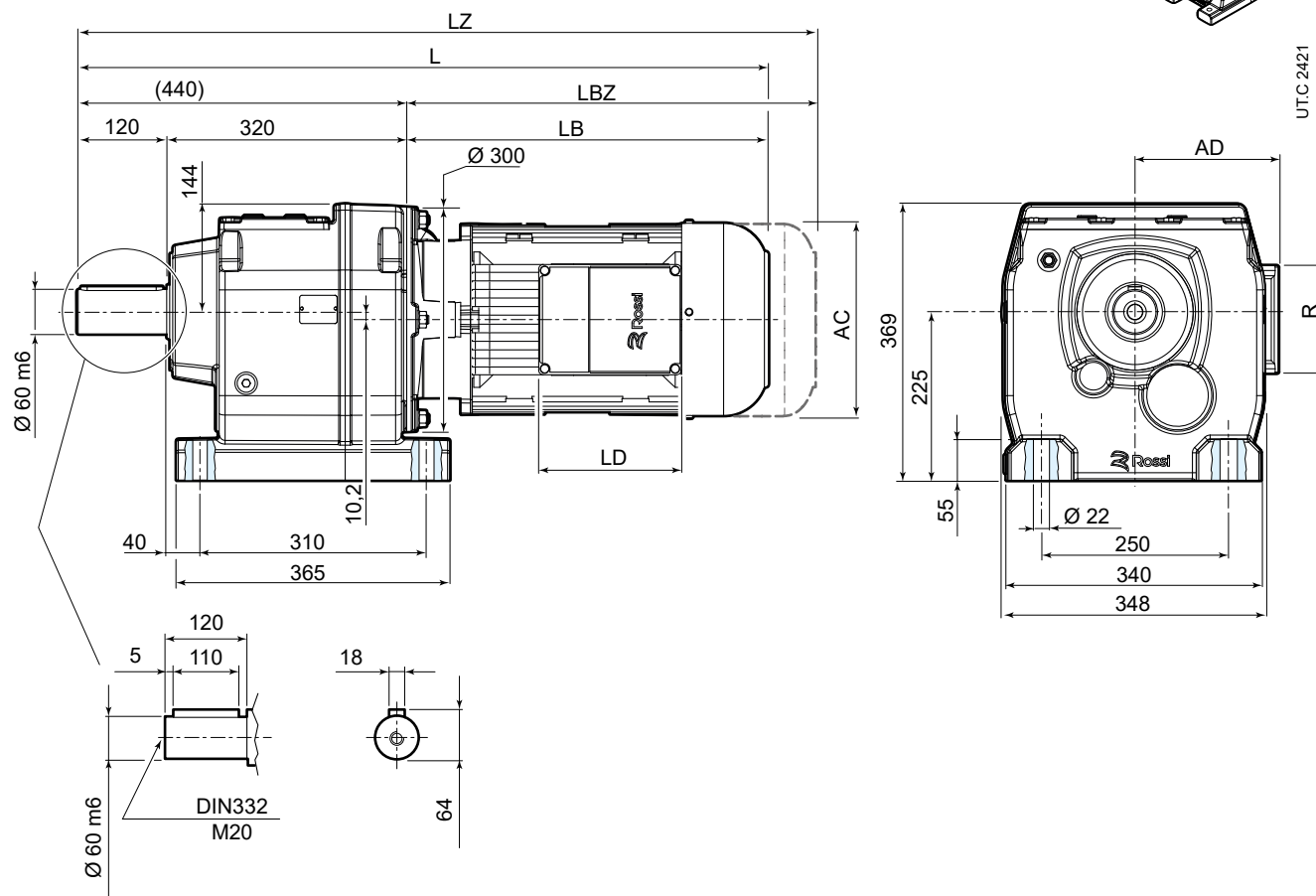
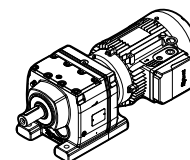
¹⁾ Vedere anche pag. 80/81

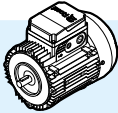
²⁾ Per motore HB3-HB3Z 90S 2, HB3-HB3Z 90S 4 quote come grand. motore 90L

³⁾ Per motore HB3-HB3Z 132SB 2, HB3-HB3Z 132SC 2, HB3-HB3Z 132S 4 quote come grand. motore 132M

10.8

iC 97... PE



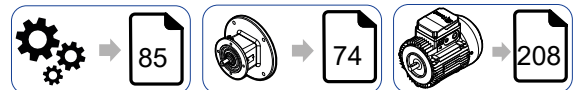
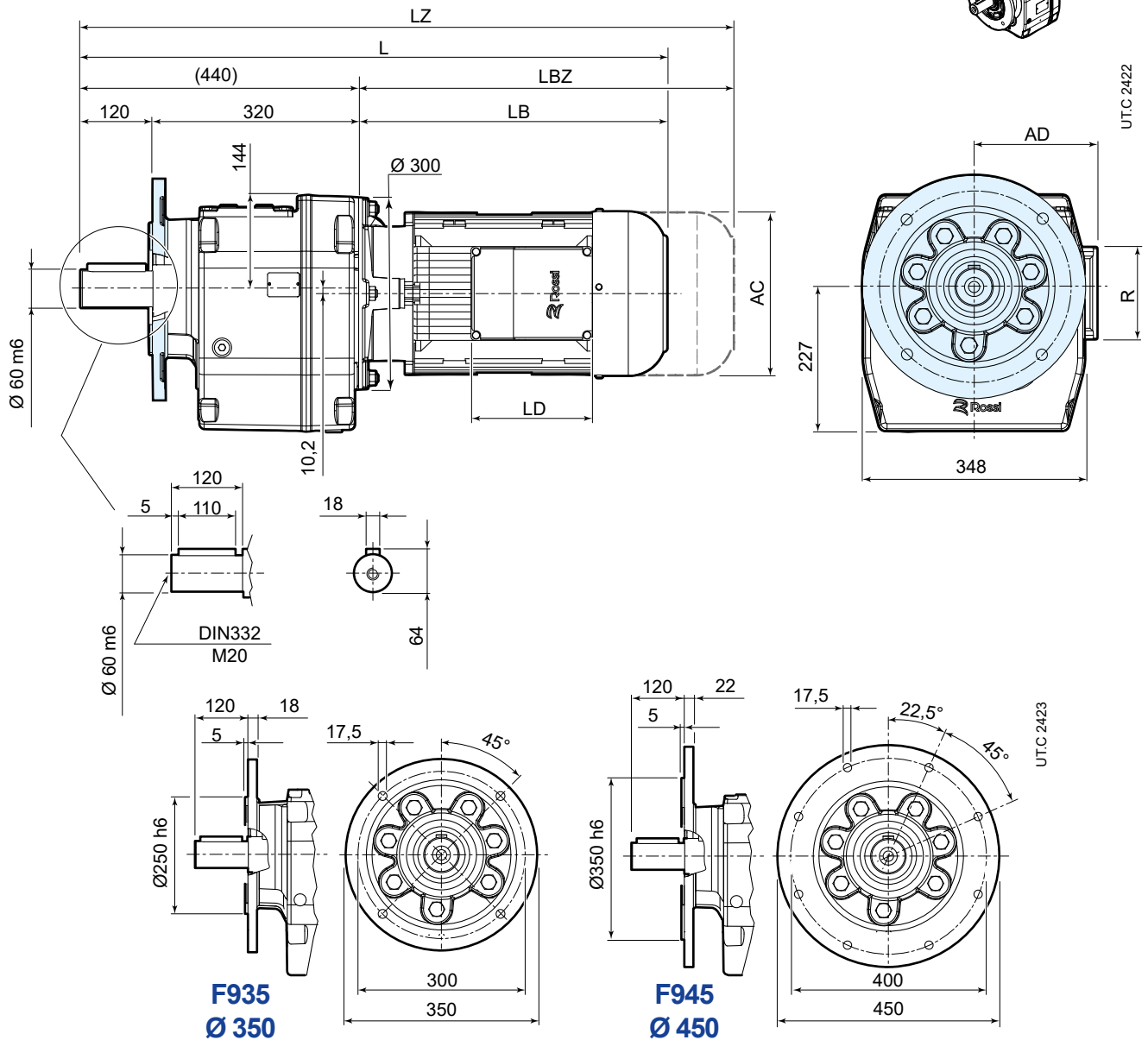
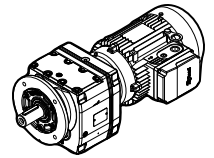
	80	90S ²⁾	90L	100	112	132S ³⁾	132M
AC	156	176	176	194	218	257	257
AD	121	141	141	151	163	194	194
LB	242	264	294	327	364	423	483
LBZ	311	343	373	422	463	531	591
L ¹⁾	682	704	734	767	804	863	923
LZ ¹⁾	751	783	813	862	903	971	1031
LD	103	136	136	136	136	190	190
R	86	106	106	106	106	148	148

¹⁾ Vedere anche pag. 80/81

²⁾ Per motore HB3-HB3Z 90S 2, HB3-HB3Z 90S 4 quote come grand. motore 90L

³⁾ Per motore HB3-HB3Z 132SB 2, HB3-HB3Z 132SC 2, HB3-HB3Z 132S 4 quote come grand. motore 132M

iC 97... FE



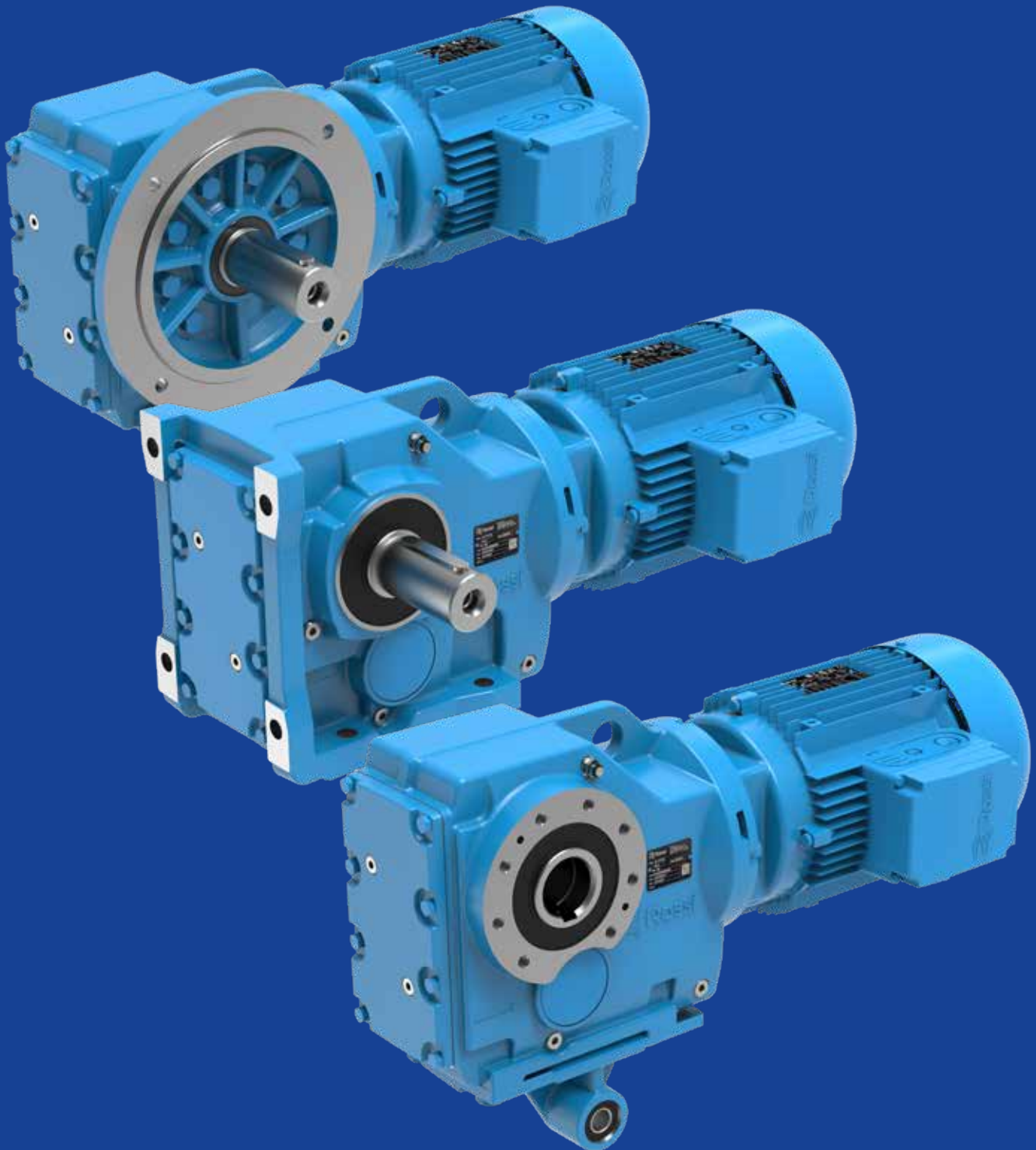
	80	90S ²⁾	90L	100	112	132S ³⁾	132M
AC	156	176	176	194	218	257	257
AD	121	141	141	151	163	194	194
LB	242	264	294	327	364	423	483
LBZ	311	343	373	422	463	531	591
L ¹⁾	682	704	734	767	804	863	923
LZ ¹⁾	751	783	813	862	903	971	1031
LD	103	136	136	136	136	190	190
R	86	106	106	106	106	148	148

¹⁾ Vedere anche pag. 80/81

²⁾ Per motore HB3-HB3Z 90S 2, HB3-HB3Z 90S 4 quote come grand. motore 90L

³⁾ Per motore HB3-HB3Z 132SB 2, HB3-HB3Z 132SC 2, HB3-HB3Z 132S 4 quote come grand. motore 132M

Tabelle di selezione ortogonali - iO



Indice di sezione

11.1	Combinazioni geometricamente possibili	152
11.1.1	Generalità	152
11.1.2	Legenda	152
11.2	Tabelle di accoppiamento geometrico	153
11.3	Programma di fabbricazione [kW]	160

11.1

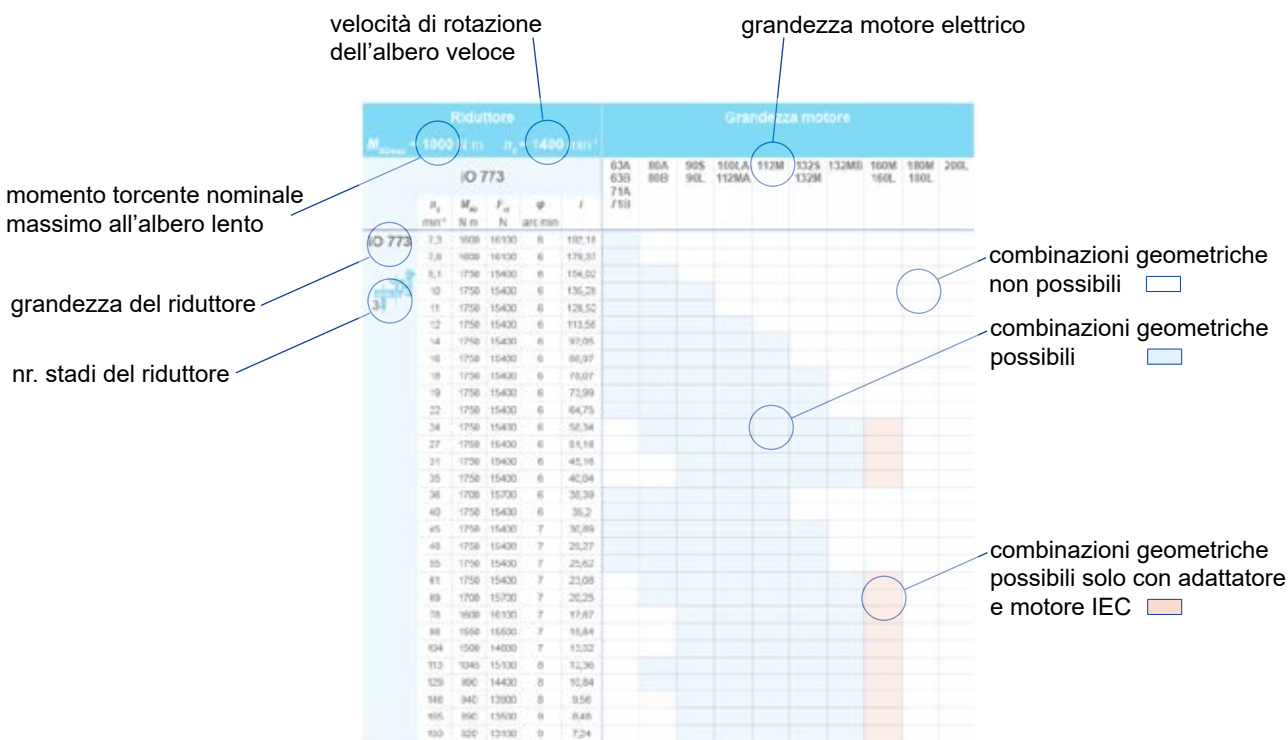
Combinazioni geometriche possibili

11.1.1 Generalità

Le tabelle riportate nelle pagine seguenti mostrano le possibilità di accoppiamento geometrico con i motori HB a 4 poli, in funzione del rotismo e del rapporto di trasmissione. Vengono anche riportate le velocità di rotazione dell'albero lento n_2 calcolate considerando una velocità nominale di entrata pari a $n_1 = 1400 \text{ min}^{-1}$. A questa velocità sono riferiti altresì i valori di momento nominale all'albero lento M_{N2} e di carico radiale ammissibile F_{r2} agente in mezzzeria.

Al momento della selezione occorre procedere alla valutazione delle reali condizioni di esercizio in relazione all'effettiva potenza del motore applicato così come indicato al cap. 6.

11.1.2 Legenda

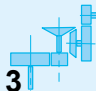


dove


- n_2 velocità di rotazione dell'albero lento
- M_{N2} momento torcente nominale all'albero lento
- F_{r2} carico radiale ammissibile in mezzzeria dell'albero lento (alla velocità n_2 e con momento torcente M_{N2} indicati in tabella - valido solo per esecuzione motoriduttore con piedi)
- φ gioco angolare ridotto, riferito all'albero lento (tolleranza ± 2 arc min - se il valore non è specificato, l'opzione gioco ridotto non è disponibile)
- i rapporto di trasmissione

Tablelle di accoppiamento geometrico

Riduttore						Grandezza motore									
$M_{N2max} = 224 \text{ N m}$ $n_1 = 1400 \text{ min}^{-1}$						63A	80A	90S	100LA	112M	132S	132MB	160M	180M	200L
iO 373						63B	80B	90L	112MA		132M		160L	180L	
	n_2 min ⁻¹	M_{N2} N m	F_{r2} N	φ arc min	i										
iO 373	13	224	5640	7	106,38										
	14	224	5640	7	97,81										
	17	224	5640	7	83,69										
	19	224	5520	7	72,54										
	21	224	5360	7	67,8										
	24	224	5020	7	58,6										
	28	224	4660	7	49,79										
	31	224	4420	7	44,46										
	37	224	4100	7	37,97										
	39	224	3970	8	35,57										
	47	224	3650	8	29,96										
	49	224	3580	9	28,83										
	56	224	3330	9	24,99										
	60	315	3260	9	23,36										
	69	205	3110	9	20,19										
	82	200	2900	9	17,15										
	91	195	2780	9	15,31										
	107	185	2650	9	13,08										
	115	180	2600	12	12,14										
	133	180	2410	13	10,49										
157	180	2200	13	8,91											
176	175	2110	13	7,96											
206	170	1980	13	6,8											
220	160	1950	13	6,37											
261	150	1810	14	5,36											

Riduttore						Grandezza motore									
$M_{N2max} = 450 \text{ N m}$ $n_1 = 1400 \text{ min}^{-1}$						63A 63B 71A 71B	80A 80B	90S 90L	100LA 112MA	112M	132S 132M	132MB	160M 160L	180M 180L	200L
iO 473															
	n_2 min ⁻¹	M_{N2} N m	F_{r2} N	φ arc min	i										
iO 473  3	11	450	5920	7	131,87 ⁽¹⁾										
	12	450	5920	7	121,48 ⁽¹⁾										
	13	450	5920	7	104,37										
	15	450	5920	7	90,86										
	16	450	5920	7	85,12 ⁽¹⁾										
	19	450	5920	7	75,2 ⁽¹⁾										
	20	450	5920	7	69,84										
	22	450	5920	7	63,3 ⁽¹⁾										
	25	450	5920	7	56,83										
	29	450	5920	7	48,95 ⁽¹⁾										
	30	450	5920	7	46,03 ⁽¹⁾										
	35	450	5920	7	39,61										
	40	450	5920	7	35,39										
	45	450	5700	8	31,3										
	48	450	5520	8	29,32										
	54	450	5170	8	25,91										
	58	450	4970	8	24,06										
	64	450	4710	8	21,81										
	72	450	4440	8	19,58										
	83	425	4220	8	16,86										
	88	425	4080	8	15,86										
	103	400	3890	8	13,65										
	115	385	3720	9	12,19										
	119	280	4060	11	11,77										
133	280	3830	11	10,56											
154	280	3540	11	9,1											
164	270	3500	11	8,56											
190	250	3380	11	7,36											
213	240	3270	12	6,58											
241	230	3140	12	5,81											

⁽¹⁾ Rapporto di trasmissione / finito

Riduttore						Grandezza motore									
$M_{N2max} = 670 \text{ N m}$ $n_1 = 1400 \text{ min}^{-1}$															
iO 573						63A 63B 71A 71B	80A 80B	90S 90L	100LA 112MA	112M	132S 132M	132MB	160M 160L	180M 180L	200L
	n_2 min ⁻¹	M_{N2} N m	F_{r2} N	φ arc min	i										
iO 573  3	9,6	670	7630	6	145,14 ⁽¹⁾										
	11	670	7630	6	123,85										
	13	670	7630	6	108,29										
	14	670	7630	6	102,88 ⁽¹⁾										
	16	670	7630	6	90,26 ⁽¹⁾										
	18	670	7630	6	76,56 ⁽¹⁾										
	20	670	7630	6	69,12										
	23	670	7630	6	60,81 ⁽¹⁾										
	24	670	7630	6	57,42 ⁽¹⁾										
	29	670	7630	6	48,89										
	32	670	7630	7	44,43										
	36	670	7630	7	38,49										
	39	670	7630	7	35,7										
	46	670	7300	7	30,28										
	51	670	6930	7	27,34										
	58	670	6480	7	24,05										
	62	670	6280	7	22,71										
	72	650	5910	7	19,34										
	80	615	5740	8	17,57										
	92	600	5430	8	15,22										
106	580	5190	8	13,25											
117	460	5150	10	11,92											
124	460	4990	10	11,26											
146	450	4650	10	9,59											
161	430	4520	10	8,71											
185	400	4360	11	7,55											
213	375	4180	11	6,57											

iO

⁽¹⁾ Rapporto di trasmissione i finito


Riduttore						Grandezza motore									
$M_{N2max} = 925 \text{ N m}$ $n_1 = 1400 \text{ min}^{-1}$															
iO 673						63A 63B 71A 71B	80A 80B	90S 90L	100LA 112MA	112M	132S 132M	132MB	160M 160L	180M 180L	200L
	n_2 min ⁻¹	M_{N2} N m	F_{r2} N	φ arc min	i										
iO 673	9,7	925	10300	7	144,79 ⁽¹⁾										
	11	915	10300	7	123,54										
	13	910	10300	7	108,03										
	14	910	10300	7	102,62										
	16	905	10300	7	90,04										
	18	900	10300	7	76,37										
	20	900	10300	7	68,95										
	23	895	10300	7	60,66										
	24	895	10300	7	57,28										
	29	890	10300	7	48,77										
	32	885	10300	7	44,32										
	36	880	10500	7	38,39										
	39	880	10300	8	35,62										
	46	875	10300	8	30,22										
	51	875	10300	8	27,28										
	58	870	10500	8	24										
	62	870	10700	8	22,66										
	73	850	10800	8	19,3										
	80	820	11000	8	17,54										
	92	765	11300	8	15,19										
106	670	11500	8	13,22											
112	530	12300	9	12,48											
132	500	11800	9	10,63											
145	480	11500	10	9,66											
167	440	11100	10	8,37											
192	420	10700	10	7,28											

Tablelle di selezione - iO

Riduttore						Grandezza motore									
$M_{N2max} = 1750 \text{ N m}$ $n_1 = 1400 \text{ min}^{-1}$															
iO 773						63A 63B 71A 71B	80A 80B	90S 90L	100LA 112MA	112M	132S 132M	132MB	160M 160L	180M 180L	200L
	n_2 min ⁻¹	M_{N2} N m	F_{r2} N	φ arc min	i										
3	7,3	1600	16100	6	192,18										
	7,8	1600	16100	6	179,37										
	9,1	1750	15400	6	154,02										
	10	1750	15400	6	135,28										
	11	1750	15400	6	128,52										
	12	1750	15400	6	113,56										
	14	1750	15400	6	97,05										
	16	1750	15400	6	88,97										
	18	1750	15400	6	78,07										
	19	1750	15400	6	73,99										
	22	1750	15400	6	64,75										
	24	1750	15400	6	58,34										
	27	1750	15400	6	51,18										
	31	1750	15400	6	45,16										
	35	1750	15400	6	40,04										
	36	1700	15700	6	38,39										
	40	1750	15400	6	35,2										
	45	1750	15400	7	30,89										
	48	1750	15400	7	29,27										
	55	1750	15400	7	25,62										
61	1750	15400	7	23,08											
69	1700	15700	7	20,25											
78	1600	16100	7	17,87											
88	1550	15500	7	15,84											
104	1500	14800	7	13,52											
113	1045	15100	8	12,36											
129	990	14400	8	10,84											
146	940	13900	8	9,56											
165	890	13500	9	8,48											
193	820	13100	9	7,24											

Riduttore						Grandezza motore										
$M_{N2max} = 3000 \text{ N m}$ $n_1 = 1400 \text{ min}^{-1}$																
iO 873						63A 63B 71A 71B	80A 80B	90S 90L	100LA 112MA	112M	132S 132M	132MB	160M 160L	180M 180L	200L	
	n_2 min ⁻¹	M_{N2} N m	F_{r2} N	φ arc min	i											
iO 873	7,1	3000	27300	6	197,37											
	8	3000	27300	6	174,19											
	8,5	3000	27300	6	164,34 ⁽¹⁾											
	9,5	3000	27300	6	147,32 ⁽¹⁾											
	11	3000	27300	6	126,91 ⁽¹⁾											
	12	3000	27300	6	115,82											
	14	3000	27300	6	102,71 ⁽¹⁾											
	16	3000	27300	6	86,34											
	18	3000	27300	6	79,34											
	20	3000	27300	6	70,46											
	22	3000	26200	6	63 ⁽¹⁾											
	25	3000	25000	6	56,64											
	28	3000	23500	6	49,16											
	32	2900	22800	6	44,02											
	38	2800	21400	6	36,52 ⁽¹⁾											
	45	3000	19200	7	31,39											
	50	2900	18500	7	27,88											
	56	2800	18000	7	24,92											
	62	2570	17900	7	22,41											
	72	2570	16800	7	19,45											
80	2430	16300	7	17,42												
88	1970	16000	7	16												
97	2360	15300	7	14,45												
111	2240	14800	7	12,56												
125	1700	14900	7	11,17												
140	1700	14200	7	10												
169	1550	13500	7	8,29												
194	1450	13200	8	7,21												

⁽¹⁾ Rapporto di trasmissione / finito

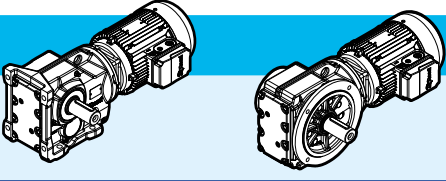

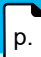







Riduttore						Grandezza motore									
$M_{N2max} = 4870 \text{ N m}$ $n_1 = 1400 \text{ min}^{-1}$															
iO 973						63A 63B 71A 71B	80A 80B	90S 90L	100LA 112MA	112M	132S 132M	132MB	160M 160L	180M 180L	200L
	n_2 min ⁻¹	M_{N2} N m	F_{r2} N	φ arc min	i										
iO 973 	8	4870	40000	7	176,05 ⁽¹⁾										
	9,1	4870	40000	7	153,21 ⁽¹⁾										
	10	4870	40000	7	140,28										
	11	4870	40000	7	123,93 ⁽¹⁾										
	13	4870	40000	7	105,13										
	14	4870	40000	7	96,8										
	16	4870	38800	7	86,52										
	18	4870	37100	7	77,89 ⁽¹⁾										
	20	4870	35600	7	70,54										
	22	4870	33800	7	62,55										
	25	4870	32300	7	56,55										
	29	4870	30000	7	47,93 ⁽¹⁾										
	33	4870	28300	7	41,87										
	37	4870	27100	8	38,3										
	41	4870	25700	8	34,23										
	45	4870	24500	8	30,82										
	50	4870	23300	8	27,91										
	57	4870	22000	8	24,75										
	63	4870	20900	8	22,37										
	74	4870	19100	8	18,96										
85	4870	17800	8	16,56											
101	4580	16100	8	13,85											
117	4270	16200	8	11,99											
134	3130	16400	10	10,41											
161	2880	15800	10	8,71											



iO

⁽¹⁾ Rapporto di trasmissione i finito

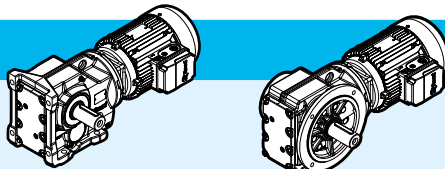








11.3

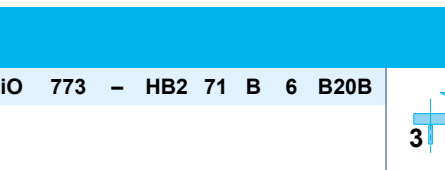




Programma di fabbricazione [kW]

$P_1 = 0,12 \text{ kW}$											
n_2 min ⁻¹	M_2 N m	i	F_{r2} N	f_s			con piedi		con flangia		
							HB	HBZ	HB	HBZ	
6,3	182	144,79 ⁽¹⁾	13000	5,1	iO 673 - HB2 63 B 6 B16B		34	36	40	41	195
6,3	183	145,14 ⁽¹⁾	9660	3,7	iO 573 - HB2 63 B 6 B16B		30	32	37	38	192
7,3	156	123,85	9740	4,3							
8,4	136	108,29	9800	4,9							
8,8	130	102,88 ⁽¹⁾	9820	5,2							
10	114	90,26 ⁽¹⁾	9870	5,9							
12	96	76,56 ⁽¹⁾	9920	6,9							
9,4	121	145,14 ⁽¹⁾	9870	5,5	iO 573 - HB2 63 A 4 B16B		29	31	36	38	192
11	104	123,85	9910	6,5							
13	91	108,29	9950	7,4							
13	86	102,88 ⁽¹⁾	9960	7,8							
15	76	90,26 ⁽¹⁾	9990	8,9							
6,9	166	131,87 ⁽¹⁾	7900	2,7	iO 473 - HB2 63 B 6 B16B		23	25	25	27	189
7,5	153	121,48 ⁽¹⁾	7960	2,9							
8,7	131	104,37	8050	3,4							
10	110	131,87 ⁽¹⁾	8140	4,1	iO 473 - HB2 63 A 4 B16B		22	24	25	27	189
11	102	121,48 ⁽¹⁾	8160	4,4							
8,6	134	106,38	5750	1,65	iO 373 - HB2 63 B 6 B12B		19	20	21	22	186
9,3	123	97,81	5860	1,8							
11	105	83,69	6030	2,1							
13	91	72,54	6160	2,5							
13	89	106,38	6220	2,5	iO 373 - HB2 63 A 4 B12B		18	20	20	22	186
14	82	97,81	6290	2,7							
16	70	83,69	6400	3,2							
19	61	72,54	6480	3,7							
20	57	67,8	6520	3,9							

$P_1 = 0,18 \text{ kW}$											
6,3	274	144,79 ⁽¹⁾	13000	3,4	iO 673 - HB2 71 A 6 B16B		36	38	41	44	195
7,4	233	123,54	13000	4							
8,4	204	108,03	13000	4,5							
8,9	194	102,62	13000	4,8							
9,4	183	144,79 ⁽¹⁾	13000	5,1	iO 673 - HB2 63 B 4 B16B		34	36	40	41	195
11	156	123,54	13000	5,9							
13	137	108,03	13000	6,7							

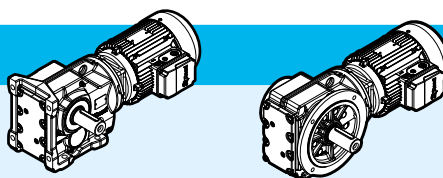
⁽¹⁾ Rapporto di trasmissione i finito

$P_1 = 0,18 \text{ kW}$												
n_2 min ⁻¹	M_2 N m	i	F_{r2} N	fs			con piedi		con flangia			
							HB	HBZ	HB	HBZ		
6,3	274	145,14 ⁽¹⁾	9380	2,4	iO 573 - HB2 71 A 6 B16B		31	34	38	41	192	
7,3	234	123,85	9520	2,9								
8,4	205	108,29	9620	3,3								
8,8	194	102,88 ⁽¹⁾	9650	3,4								
10	171	90,26 ⁽¹⁾	9720	3,9								
9,4	183	145,14 ⁽¹⁾	9690	3,7	iO 573 - HB2 63 B 4 B16B		30	32	37	38	192	
11	157	123,85	9770	4,3								
13	137	108,29	9820	4,9								
13	130	102,88 ⁽¹⁾	9840	5,2								
15	114	90,26 ⁽¹⁾	9890	5,9								
18	97	76,56 ⁽¹⁾	9930	6,9								
6,9	249	131,87 ⁽¹⁾	7480	1,8	iO 473 - HB2 71 A 6 B16B		24	27	27	30	189	
7,5	229	121,48 ⁽¹⁾	7600	1,95								
8,7	197	104,37	7790	2,3								
10	172	90,86	7920	2,6								
11	161	85,12 ⁽¹⁾	7960	2,8								
10	167	131,87 ⁽¹⁾	7940	2,7	iO 473 - HB2 63 B 4 B16B		23	25	25	27	189	
11	154	121,48 ⁽¹⁾	8000	2,9								
13	132	104,37	8080	3,4								
15	115	90,86	8130	3,9								
16	108	85,12 ⁽¹⁾	8150	4,2								
8,6	201	106,38	5210	1,1	iO 373 - HB2 71 A 6 B12B		20	23	22	25	186	
9,3	185	97,81	5360	1,2								
11	158	83,69	5600	1,4								
13	137	72,54	5790	1,65								
13	134	106,38	5820	1,65	iO 373 - HB2 63 B 4 B12B		19	20	21	22	186	
14	124	97,81	5920	1,8								
16	106	83,69	6080	2,1								
19	92	72,54	6200	2,4								
20	86	67,8	6260	2,6								
23	74	58,6	6210	3								
27	63	49,79	5950	3,6								
31	56	44,46	5770	4								
36	48	37,97	5520	4,7								

$P_1 = 0,25 \text{ kW}$												
n_2 min ⁻¹	M_2 N m	i	F_{r2} N	fs			con piedi		con flangia			
							HB	HBZ	HB	HBZ		
4,7	510	192,18	19700	3,1	iO 773 - HB2 71 B 6 B20B		55	58	63	66	198	
5,0	476	179,37	19800	3,4								
5,8	409	154,02	19900	4,3								
6,7	359	135,28	19900	4,9								
6,2	384	144,79 ⁽¹⁾	12900	2,4	iO 673 - HB2 71 B 6 B16B		37	39	42	45	195	
7,3	328	123,54	13000	2,8								
8,3	287	108,03	13000	3,2								
8,8	272	102,62	13000	3,4								

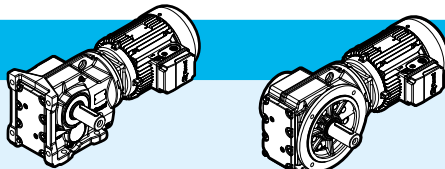











⁽¹⁾ Rapporto di trasmissione i finito

$P_1 = 0,25 \text{ kW}$



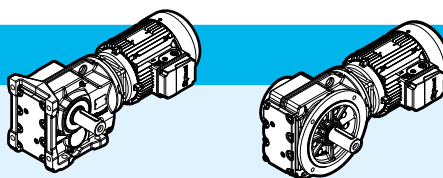
n_2 min ⁻¹	M_2 N m	i	F_{r2} N	fs		con piedi		con flangia		p.	
						HB	HBZ	HB	HBZ		
9,7	247	144,79 ⁽¹⁾	13000	3,7	iO 673 - HB2 71 A 4 B16B		35	38	41	43	195
11	211	123,54	13000	4,4							
13	184	108,03	13000	4,9							
14	175	102,62	13000	5,2							
6,2	385	145,14 ⁽¹⁾	8970	1,75							
7,3	329	123,85	9200	2							
8,3	287	108,29	9350	2,3							
8,7	273	102,88 ⁽¹⁾	9400	2,5							
10,0	239	90,26 ⁽¹⁾	9520	2,8							
12	203	76,56 ⁽¹⁾	9630	3,3							
9,6	248	145,14 ⁽¹⁾	9480	2,7	iO 573 - HB2 71 A 4 B16B		31	34	38	40	192
11	211	123,85	9600	3,2							
13	185	108,29	9680	3,6							
14	175	102,88 ⁽¹⁾	9710	3,8							
16	154	90,26 ⁽¹⁾	9770	4,4							
18	131	76,56 ⁽¹⁾	9840	5,1							
6,8	350	131,87 ⁽¹⁾	6620	1,3	iO 473 - HB2 71 B 6 B16B		25	28	28	30	189
7,4	322	121,48 ⁽¹⁾	6900	1,4							
8,6	277	104,37	7290	1,65							
9,9	241	90,86	7550	1,85							
11	226	85,12 ⁽¹⁾	7640	2							
11	225	131,87 ⁽¹⁾	7630	2	iO 473 - HB2 71 A 4 B16B		24	27	27	29	189
12	207	121,48 ⁽¹⁾	7740	2,2							
13	178	104,37	7890	2,5							
15	155	90,86	7990	2,9							
16	145	85,12 ⁽¹⁾	8020	3,1							
11	222	83,69	5040	1	iO 373 - HB2 71 B 6 B12B		21	24	23	26	186
12	192	72,54	5310	1,15							
13	180	67,8	5420	1,25							
15	155	58,6	5640	1,45							
18	132	49,79	5850	1,7							
13	181	106,38	5380	1,25	iO 373 - HB2 71 A 4 B12B		20	22	22	24	186
14	167	97,81	5520	1,35							
17	143	83,69	5740	1,55							
19	124	72,54	5910	1,8							
21	116	67,8	5980	1,95							
24	100	58,6	5920	2,2							
28	85	49,79	5700	2,6							
31	76	44,46	5540	3							
37	65	37,97	5320	3,5							
39	61	35,57	5230	3,7							
47	51	29,96	5000	4,4							
49	49	28,83	4940	4,6							

⁽¹⁾ Rapporto di trasmissione i finito

$P_1 = 0,37 \text{ kW}$											
n_2 min ⁻¹	M_2 N m	i	F_{r2} N	fs		con piedi		con flangia			
						HB	HBZ	HB	HBZ		
4,7	750	197,37	28900	4	iO 873 - HB2 80 A 6 B25C		103	107	108	112	201
5,3	662	174,19	28900	4,5							
6,0	585	154,02	19500	3	iO 773 - HB2 80 A 6 B20C		56	60	64	68	198
6,9	514	135,28	19700	3,4							
7,2	488	128,52	19700	3,6							
8,2	431	113,56	19800	4,1							
7,3	485	192,18	19700	3,3	iO 773 - HB2 71 B 4 B20B		55	58	63	65	198
7,8	453	179,37	19800	3,5							
9,1	389	154,02	19900	4,5							
7,5	469	123,54	12600	1,95	iO 673 - HB2 80 A 6 B16C		38	42	43	47	195
8,6	410	108,03	12800	2,3							
9,1	390	102,62	12900	2,4							
10	342	90,04	13000	2,7							
9,7	365	144,79 ⁽¹⁾	12900	2,5	iO 673 - HB2 71 B 4 B16B		36	39	42	44	195
11	312	123,54	13000	2,9							
13	273	108,03	13000	3,3							
16	227	90,04	13000	4							
18	193	76,37	13000	4,7							
7,5	471	123,85	8570	1,4	iO 573 - HB2 80 A 6 B16C		33	37	40	44	192
8,6	411	108,29	8840	1,65							
9,0	391	102,88 ⁽¹⁾	8930	1,7							
10	343	90,26 ⁽¹⁾	9130	1,95							
12	291	76,56 ⁽¹⁾	9320	2,3							
13	263	69,12	9430	2,6							
9,6	366	145,14 ⁽¹⁾	9040	1,85	iO 573 - HB2 71 B 4 B16B		32	35	39	41	192
11	313	123,85	9250	2,1							
13	273	108,29	9390	2,5							
14	260	102,88 ⁽¹⁾	9440	2,6							
16	228	90,26 ⁽¹⁾	9550	2,9							
18	193	76,56 ⁽¹⁾	9660	3,5							
20	174	69,12	9720	3,8							
8,9	397	104,37	6000	1,15	iO 473 - HB2 80 A 6 B16C		26	30	29	33	189
10	345	90,86	6630	1,3							
11	323	85,12 ⁽¹⁾	6860	1,4							
12	286	75,2 ⁽¹⁾	7200	1,55							
11	333	131,87 ⁽¹⁾	6780	1,35	iO 473 - HB2 71 B 4 B16B		25	28	27	30	189
12	307	121,48 ⁽¹⁾	7030	1,45							
13	263	104,37	7380	1,7							
15	229	90,86	7610	1,95							
16	215	85,12 ⁽¹⁾	7700	2,1							
19	190	75,2 ⁽¹⁾	7840	2,4							
20	176	69,84	7900	2,6							
22	160	63,3 ⁽¹⁾	7970	2,8							

⁽¹⁾ Rapporto di trasmissione i finito

$P_1 = 0,37 \text{ kW}$



kg

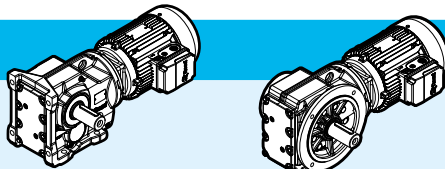






p.

n_2 min ⁻¹	M_2 N m	i	F_{r2} N	fs	iO 373 - HB2 71 B 4 B12B	con piedi		con flangia		186
						HB	HBZ	HB	HBZ	
14	247	97,81	3550	0,9		21	23	23	25	
17	211	83,69	5130	1,05						
19	183	72,54	5380	1,2						
21	171	67,8	5490	1,3						
24	148	58,6	5480	1,5						
28	126	49,79	5320	1,8						
31	112	44,46	5200	2						
37	96	37,97	5030	2,3						
39	90	35,57	4960	2,5						
47	76	29,96	4770	3						
49	73	28,83	4720	3,1						
56	63	24,99	4560	3,6						
60	59	23,36	4480	3,7						
69	51	20,19	4320	4						
82	43	17,15	4130	4,6						

$P_1 = 0,55 \text{ kW}$

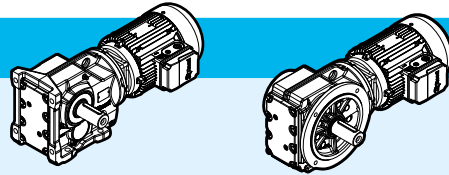
4,7	1127	197,37	28700	2,7	iO 873 - HB2 80 B 6 B25C		104	108	109	113	201
5,3	994	174,19	28800	3							
5,6	938	164,34 ⁽¹⁾	28800	3,2							
6,2	841	147,32 ⁽¹⁾	28900	3,6							
6,0	879	154,02	18900	2	iO 773 - HB2 80 B 6 B20C		58	62	65	69	198
6,8	772	135,28	19200	2,3							
7,2	734	128,52	19300	2,4							
8,1	648	113,56	19500	2,7							
9,1	576	154,02	19600	3	iO 773 - HB2 80 A 4 B20C		56	60	63	67	198
10	506	135,28	19700	3,5							
11	480	128,52	19700	3,6							
12	425	113,56	19800	4,1							
14	363	97,05	19900	4,8							
7,4	705	123,54	11500	1,3	iO 673 - HB2 80 B 6 B16C			39	43	45	49
8,5	617	108,03	12000	1,5							
9,0	586	102,62	12100	1,6							
10	514	90,04	12500	1,8							
12	436	76,37	12800	2,1							
11	462	123,54	12600	2	iO 673 - HB2 80 A 4 B16C		37	41	43	47	195
13	404	108,03	12800	2,3							
16	337	90,04	13000	2,7							
18	286	76,37	13000	3,2							

⁽¹⁾ Rapporto di trasmissione i finito

$P_1 = 0,55 \text{ kW}$											
n_2 min ⁻¹	M_2 N m	i	F_{r2} N	fs		con piedi		con flangia			
						HB	HBZ	HB	HBZ		
8,5	618	108,29	7720	1,1	iO 573 - HB2 80 B 6 B16C		35	39	42	45	192
8,9	587	102,88 ⁽¹⁾	7960	1,15							
10	515	90,26 ⁽¹⁾	8460	1,3							
12	437	76,56 ⁽¹⁾	8810	1,55							
13	395	69,12	8980	1,7							
15	347	60,81 ⁽¹⁾	9170	1,95							
16	328	57,42 ⁽¹⁾	9240	2							
11	463	123,85	8640	1,45	iO 573 - HB2 80 A 4 B16C		33	37	40	43	192
13	405	108,29	8900	1,65							
14	385	102,88 ⁽¹⁾	8980	1,75							
16	337	90,26 ⁽¹⁾	9170	2							
18	286	76,56 ⁽¹⁾	9360	2,3							
20	258	69,12	9460	2,6							
23	227	60,81 ⁽¹⁾	9560	2,9							
24	215	57,42 ⁽¹⁾	9600	3,1							
13	390	104,37	6170	1,15	iO 473 - HB2 80 A 4 B16C		26	30	28	32	189
15	340	90,86	6750	1,3							
17	318	85,12 ⁽¹⁾	6950	1,4							
19	281	75,2 ⁽¹⁾	7270	1,6							
20	261	69,84	7420	1,7							
22	237	63,3 ⁽¹⁾	7580	1,9							
25	212	56,83	7730	2,1							
29	183	48,95 ⁽¹⁾	7880	2,5							
31	172	46,03 ⁽¹⁾	7930	2,6							
24	219	58,6	4830	1	iO 373 - HB2 80 A 4 B12C		22	26	24	28	186
28	186	49,79	4760	1,2							
32	166	44,46	4700	1,35							
37	142	37,97	4600	1,6							
40	133	35,57	4560	1,7							
47	112	29,96	4420	2							
49	108	28,83	4390	2,1							
56	93	24,99	4270	2,4							
60	87	23,36	4210	2,5							
70	75	20,19	4080	2,7							
82	64	17,15	3930	3,1							
92	57	15,31	3830	3,4							
107	49	13,08	3680	3,8							
116	45	12,14	3610	4							
134	39	10,49	3470	4,6							

⁽¹⁾ Rapporto di trasmissione i finito

$P_1 = 0,75 \text{ kW}$

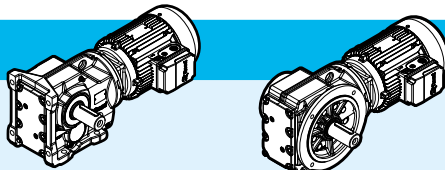





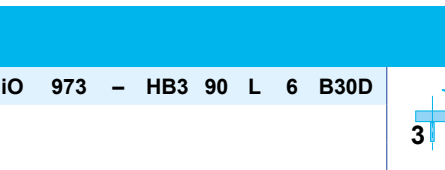







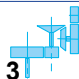
kg

p.

n_2 min ⁻¹	M_2 N m	i	F_{r2} N	fs		con piedi		con flangia			
						HB	HBZ	HB	HBZ		
5,3	1342	174,19	28600	2,2	iO 873 - HB3 90 S 6 B25D		110	114	115	119	201
5,7	1266	164,34 ⁽¹⁾	28700	2,4							
6,3	1135	147,32 ⁽¹⁾	28700	2,6							
7,3	977	126,91 ⁽¹⁾	28800	3,1							
7,1	1003	197,37	28800	3	iO 873 - HB3 80 B 4 B25C		107	111	112	116	201
8,1	885	174,19	28800	3,4							
8,6	835	164,34 ⁽¹⁾	28900	3,6							
9,6	748	147,32 ⁽¹⁾	28900	4							
6,9	1042	135,28	18300	1,7	iO 773 - HB3 90 S 6 B20D		64	68	71	75	198
7,2	990	128,52	18400	1,75							
8,2	875	113,56	18800	2							
9,6	747	97,05	19200	2,3							
10	685	88,97	19300	2,6							
9,2	782	154,02	19100	2,2	iO 773 - HB3 80 B 4 B20C		60	64	68	72	198
10	687	135,28	19300	2,5							
11	653	128,52	19400	2,7							
12	577	113,56	19600	3							
15	493	97,05	19700	3,5							
11	628	123,54	11800	1,45	iO 673 - HB3 80 B 4 B16C		42	46	47	51	195
13	549	108,03	12200	1,65							
16	457	90,04	12600	2							
18	388	76,37	12900	2,3							
20	350	68,95	13000	2,6							
23	308	60,66	13000	2,9							
25	291	57,28	13000	3,1							
11	629	123,85	7500	1,05	iO 573 - HB3 80 B 4 B16C		37	41	44	48	192
13	550	108,29	8120	1,2							
14	523	102,88 ⁽¹⁾	8330	1,3							
16	459	90,26 ⁽¹⁾	8660	1,45							
18	389	76,56 ⁽¹⁾	8960	1,7							
20	351	69,12	9120	1,9							
23	309	60,81 ⁽¹⁾	9280	2,2							
25	292	57,42 ⁽¹⁾	9340	2,3							
29	248	48,89	9490	2,7							
32	226	44,43	9560	3							
19	382	75,2 ⁽¹⁾	6270	1,2	iO 473 - HB3 80 B 4 B16C		30	34	33	37	189
20	355	69,84	6590	1,25							
22	322	63,3 ⁽¹⁾	6920	1,4							
25	289	56,83	7210	1,55							
29	249	48,95 ⁽¹⁾	7500	1,8							
31	234	46,03 ⁽¹⁾	7600	1,9							
36	201	39,61	7790	2,2							
40	180	35,39	7690	2,5							
45	159	31,3	7480	2,8							

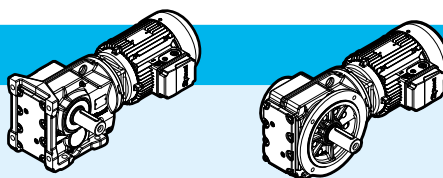
⁽¹⁾ Rapporto di trasmissione i finito

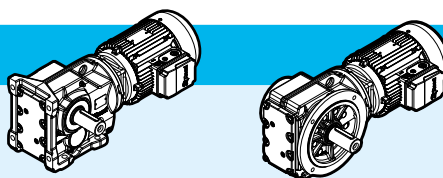



$P_1 = 0,75 \text{ kW}$											
n_2	M_2	i	F_{r2}	fs	iO 373 - HB3 80 B 4 B12C		con piedi		con flangia		
min ⁻¹	N m		N	HB			HBZ	HB	HBZ		
32	226	44,46	4170	1			26	30	28	32	186
37	193	37,97	4140	1,15							
40	181	35,57	4130	1,25							
47	152	29,96	4060	1,45							
49	146	28,83	4040	1,55							
56	127	24,99	3970	1,75							
60	119	23,36	3930	1,85							
70	103	20,19	3840	2							
82	87	17,15	3720	2,3							
92	78	15,31	3640	2,5							
108	66	13,08	3520	2,8							
116	62	12,14	3460	2,9							
134	53	10,49	3340	3,4							
158	45	8,91	3210	4							
177	40	7,96	3120	4,3							

$P_1 = 1,1 \text{ kW}$											
n_2	M_2	i	F_{r2}	fs	iO 973 - HB3 90 L 6 B30D		con piedi		con flangia		
min ⁻¹	N m		N	HB			HBZ	HB	HBZ		
5,3	1989	176,05 ⁽¹⁾	40000	2,4			174	180	190	197	204
6,1	1731	153,21 ⁽¹⁾	40000	2,8							
6,6	1585	140,28	40000	3,1							
7,5	1400	123,93 ⁽¹⁾	40000	3,5							
8,1	1302	176,05 ⁽¹⁾	40000	3,7	iO 973 - HB3 90 S 4 B30D		173	177	189	193	204
9,3	1133	153,21 ⁽¹⁾	40000	4,3							
10	1038	140,28	40000	4,7							
6,3	1664	147,32 ⁽¹⁾	28400	1,8	iO 873 - HB3 90 L 6 B25D		114	120	119	126	201
7,3	1434	126,91 ⁽¹⁾	28500	2,1							
8,2	1289	174,19	28600	2,3	iO 873 - HB3 90 S 4 B25D		113	117	118	122	201
8,6	1216	164,34 ⁽¹⁾	28700	2,5							
9,6	1090	147,32 ⁽¹⁾	28800	2,8							
11	939	126,91 ⁽¹⁾	28800	3,2							
12	857	115,82	28900	3,5							
8,2	1283	113,56	17200	1,35	iO 773 - HB3 90 L 6 B20D		68	74	75	82	198
9,6	1096	97,05	18000	1,6							
10	1001	135,28	18400	1,75	iO 773 - HB3 90 S 4 B20D		67	71	74	78	198
11	951	128,52	18600	1,85							
13	840	113,56	18900	2,1							
15	718	97,05	19300	2,4							
16	658	88,97	19400	2,7							
18	578	78,07	19600	3							
19	547	73,99	19600	3,2							

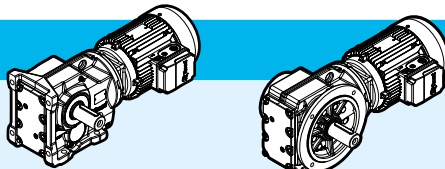



⁽¹⁾ Rapporto di trasmissione i finito

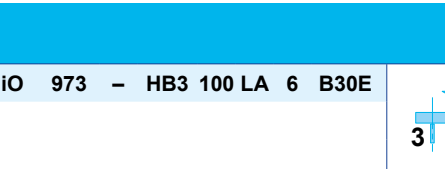







$P_1 = 1,1 \text{ kW}$



n_2 min ⁻¹	M_2 N m	i	F_{r2} N	fs		con piedi		con flangia		p.	
						HB	HBZ	HB	HBZ		
13	799	108,03	10700	1,15	IO 673 - HB3 90 S 4 B16D		48	52	54	58	195
14	759	102,62	11000	1,2							
16	666	90,04	11600	1,35							
19	565	76,37	12200	1,6							
21	510	68,95	12400	1,75							
23	449	60,66	12700	2							
25	424	57,28	12800	2,1							
29	361	48,77	13000	2,5							
32	328	44,32	13000	2,7							
37	284	38,39	13000	3,1							
16	668	90,26 ⁽¹⁾	6280	1	iO 573 - HB3 90 S 4 B16D		44	48	51	55	192
19	566	76,56 ⁽¹⁾	8010	1,2							
21	511	69,12	8420	1,3							
23	450	60,81 ⁽¹⁾	8710	1,5							
25	425	57,42 ⁽¹⁾	8820	1,6							
29	362	48,89	9080	1,85							
32	329	44,43	9210	2							
37	285	38,49	9370	2,4							
40	264	35,7	9440	2,5							
47	224	30,28	9570	3							
52	202	27,34	9430	3,3							
59	178	24,05	9130	3,8							
63	168	22,71	9000	4							
73	143	19,34	8640	4,5							
81	130	17,57	8420	4,7							
93	113	15,22	8100	5,3							
107	98	13,25	7790	5,9							
119	88	11,92	7490	5,2							
126	83	11,26	7370	5,5							
148	71	9,59	7040	6,3							
163	64	8,71	6850	6,7							
188	56	7,55	6570	7,2							
216	49	6,57	6310	7,8							
25	420	56,83	5430	1,05	iO 473 - HB3 90 S 4 B16D		37	41	39	43	189
29	362	48,95 ⁽¹⁾	6520	1,25							
31	341	46,03 ⁽¹⁾	6750	1,3							
36	293	39,61	7160	1,55							
40	262	35,39	7050	1,7							
45	232	31,3	6920	1,95							
48	217	29,32	6840	2,1							
55	192	25,91	6690	2,3							
59	178	24,06	6060	2,5							
65	161	21,81	6460	2,8							
73	145	19,58	6310	3,1							

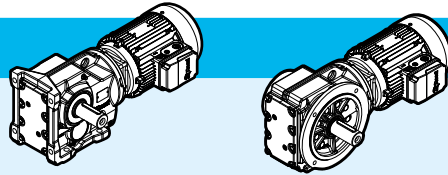
⁽¹⁾ Rapporto di trasmissione i finito

$P_1 = 1,1 \text{ kW}$											
n_2	M_2	i	F_{r2}	fs	iO 373 - HB3 90 S 4 B12D		con piedi		con flangia		
min ⁻¹	N m		N	HB			HBZ	HB	HBZ		
47	222	29,96	3430	1			32	36	34	38	186
57	185	24,99	3440	1,2							
61	173	23,36	3430	1,25							
70	149	20,19	3410	1,4							
83	127	17,15	3360	1,6							
93	113	15,31	3310	1,7							
109	97	13,08	3240	1,9							
117	90	12,14	3200	2							
135	78	10,49	3120	2,3							
159	66	8,91	3020	2,7							
178	59	7,96	2950	3							
209	50	6,8	2850	3,4							
223	47	6,37	2800	3,4							
265	40	5,36	2690	3,8							

$P_1 = 1,5 \text{ kW}$											
n_2	M_2	i	F_{r2}	fs	iO 973 - HB3 100 LA 6 B30E		con piedi		con flangia		
min ⁻¹	N m		N				HB	HBZ	HB	HBZ	
5,4	2655	176,05 ⁽¹⁾	40000	1,85			180	186	197	203	204
6,2	2310	153,21 ⁽¹⁾	40000	2,1							
6,8	2115	140,28	40000	2,3							
7,7	1869	123,93 ⁽¹⁾	40000	2,6							
8,1	1764	176,05 ⁽¹⁾	40000	2,8	iO 973 - HB3 90 L 4 B30D		173	179	190	196	204
9,3	1535	153,21 ⁽¹⁾	40000	3,2							
10	1405	140,28	40000	3,5							
12	1241	123,93 ⁽¹⁾	40000	3,9							
6,4	2222	147,32 ⁽¹⁾	27900	1,35	iO 873 - HB3 100 LA 6 B25E		123	129	129	135	201
7,5	1914	126,91 ⁽¹⁾	28200	1,55							
8,2	1746	115,82	28300	1,7							
9,2	1549	102,71 ⁽¹⁾	28400	1,95							
8,2	1745	174,19	28300	1,7	iO 873 - HB3 90 L 4 B25D		113	119	119	125	201
8,7	1646	164,34 ⁽¹⁾	28400	1,8							
9,7	1476	147,32 ⁽¹⁾	28500	2							
11	1271	126,91 ⁽¹⁾	28600	2,4							
12	1160	115,82	28700	2,6							
14	1029	102,71 ⁽¹⁾	28800	2,9							
17	865	86,34	28900	3,5							
8,4	1712	113,56	14300	1	iO 773 - HB3 100 LA 6 B20E		77	83	85	91	198
9,8	1463	97,05	16100	1,2							
11	1342	88,97	16800	1,3							
12	1177	78,07	17600	1,5							

⁽¹⁾ Rapporto di trasmissione i finito

$P_1 = 1,5 \text{ kW}$

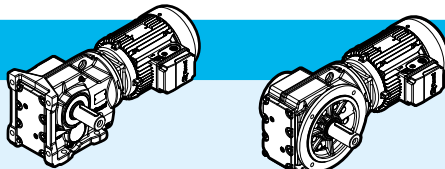









kg

p.

n_2 min ⁻¹	M_2 N m	i	F_{r2} N	fs		con piedi		con flangia			
						HB	HBZ	HB	HBZ		
11	1355	135,28	16800	1,3	iO 773 - HB3 90 L 4 B20D		67	73	75	81	198
11	1287	128,52	17100	1,35							
13	1138	113,56	17800	1,55							
15	972	97,05	18500	1,8							
16	891	88,97	18800	1,95							
18	782	78,07	19100	2,2							
19	741	73,99	19200	2,4							
22	649	64,75	19400	2,7							
25	584	58,34	19600	3							
28	513	51,18	19700	3,4							
32	452	45,16	19800	3,9							
36	401	40,04	19900	4,4							
16	902	90,04	9710	1			iO 673 - HB3 90 L 4 B16D		49	55	54
19	765	76,37	10900	1,2							
21	691	68,95	11400	1,3							
24	608	60,66	11900	1,45							
25	574	57,28	12100	1,55							
29	489	48,77	12500	1,8							
32	444	44,32	12700	2							
37	385	38,39	12900	2,3							
40	357	35,62	13000	2,5							
47	303	30,22	13000	2,9							
52	273	27,28	13000	3,2							
60	240	24	13000	3,6							
24	609	60,81 ⁽¹⁾	7660	1,1	iO 573 - HB3 90 L 4 B16D				44	50	51
25	575	57,42 ⁽¹⁾	7930	1,15							
29	490	48,89	8520	1,35							
32	445	44,43	8720	1,5							
37	386	38,49	8980	1,75							
40	358	35,7	9090	1,85							
47	303	30,28	9130	2,2							
52	274	27,34	8950	2,4							
59	241	24,05	8710	2,8							
63	228	22,71	8600	2,9							
74	194	19,34	8300	3,4							

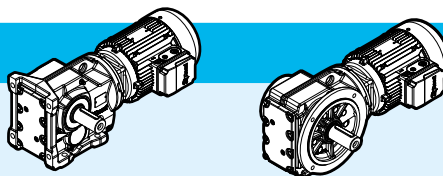
⁽¹⁾ Rapporto di trasmissione i finito

$P_1 = 1,5 \text{ kW}$											
n_2 min ⁻¹	M_2 N m	i	F_{r2} N	fs		con piedi		con flangia			
						HB	HBZ	HB	HBZ		
36	397	39,61	6080	1,15	iO 473 - HB3 90 L 4 B16D		37	43	40	46	189
40	355	35,39	6340	1,25							
46	314	31,3	6290	1,45							
49	294	29,32	6250	1,55							
55	260	25,91	6160	1,75							
59	241	24,06	6090	1,85							
66	218	21,81	6020	2,1							
73	196	19,58	5920	2,3							
85	169	16,86	5760	2,5							
90	159	15,86	5690	2,7							
105	137	13,65	5520	2,9							
117	122	12,19	5390	3,2							
122	118	11,77	5300	2,4							
61	234	23,36	2880	0,95			iO 373 - HB3 90 L 4 B12D		33	39	35
71	202	20,19	2920	1							
83	172	17,15	2950	1,15							
93	153	15,31	2940	1,25							
109	131	13,08	2920	1,4							
118	122	12,14	2910	1,5							
136	105	10,49	2870	1,7							
160	89	8,91	2810	2							
180	80	7,96	2760	2,2							
210	68	6,8	2680	2,5							
225	64	6,37	2650	2,5							
267	54	5,36	2560	2,8							

$P_1 = 2,2 \text{ kW}$											
6,3	3353	153,21 ⁽¹⁾	40000	1,45	iO 973 - HB3 112 M 6 B30F		188	197	205	214	204
6,8	3070	140,28	40000	1,6							
7,7	2712	123,93 ⁽¹⁾	40000	1,8							
9,1	2301	105,13	40000	2,1							
8,2	2569	176,05 ⁽¹⁾	40000	1,9	iO 973 - HB3 100 LA 4 B30E		180	186	197	203	204
9,4	2235	153,21 ⁽¹⁾	40000	2,2							
10	2047	140,28	40000	2,4							
12	1808	123,93 ⁽¹⁾	40000	2,7							
14	1534	105,13	40000	3,2							
15	1412	96,8	40000	3,4							
9,8	2150	147,32 ⁽¹⁾	27900	1,4			iO 873 - HB3 100 LA 4 B25E		123	129	129
11	1852	126,91 ⁽¹⁾	28200	1,6							
12	1690	115,82	28300	1,8							
14	1499	102,71 ⁽¹⁾	28500	2							
17	1260	86,34	28600	2,4							
18	1158	79,34	28700	2,6							
20	1028	70,46	28800	2,9							
23	919	63 ⁽¹⁾	28800	3,3							

⁽¹⁾ Rapporto di trasmissione i finito

$P_1 = 2,2 \text{ kW}$

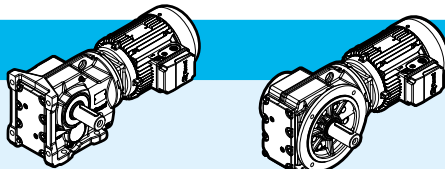









kg

p.

n_2 min ⁻¹	M_2 N m	i	F_{r2} N	fs	iO 773 - HB3 100 LA 4 B20E	con piedi		con flangia		p.
						HB	HBZ	HB	HBZ	
13	1657	113,56	14700	1,05		77	83	85	91	198
15	1416	97,05	16300	1,25						
16	1298	88,97	17000	1,35						
18	1139	78,07	17800	1,55						
19	1080	73,99	18000	1,6						
22	945	64,75	18500	1,85						
25	851	58,34	18800	2,1						
28	747	51,18	19200	2,3						
32	659	45,16	19400	2,7						
36	584	40,04	19500	3						
41	513	35,2	19700	3,4						
47	451	30,89	19800	3,9						
49	427	29,27	19800	4,1						
56	374	25,62	19900	4,7						
24	885	60,66	9750	1		58	64	64	70	195
25	836	57,28	10200	1,05						
30	712	48,77	11200	1,25						
32	647	44,32	11600	1,35						
38	560	38,39	12100	1,55						
40	520	35,62	12300	1,7						
48	441	30,22	12700	2						
53	398	27,28	12800	2,2						
60	350	24	13000	2,5						
64	331	22,66	13000	2,6						
75	281	19,3	13000	3						
82	256	17,54	13000	3,2						
95	222	15,19	13000	3,5						
109	193	13,22	13000	3,5						
115	182	12,48	13000	2,9						
135	155	10,63	13000	3,2						
149	141	9,66	13000	3,4						
172	122	8,37	13000	3,6						
198	106	7,28	12700	4						
32	648	44,43	7040	1,05		54	60	61	67	192
37	562	38,49	7970	1,2						
40	521	35,7	8290	1,3						
48	442	30,28	8230	1,5						
53	399	27,34	8140	1,7						
60	351	24,05	8000	1,9						
63	331	22,71	7930	2						
74	282	19,34	7730	2,3						
82	256	17,57	7590	2,4						
95	222	15,22	7380	2,7						
109	193	13,25	7170	3						
121	174	11,92	6850	2,7						
128	164	11,26	6770	2,8						

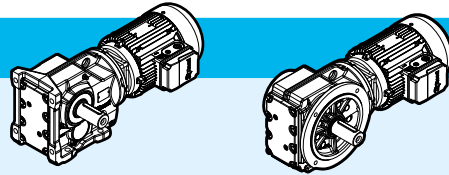
⁽¹⁾ Rapporto di trasmissione i finito

$P_1 = 2,2 \text{ kW}$											
n_2	M_2	i	F_{r2}	fs		con piedi		con flangia			
min ⁻¹	N m		N			HB	HBZ	HB	HBZ		
56	378	25,91	5260	1,2	iO 473 - HB3 100 LA 4 B16E		47	53	49	55	189
66	318	21,81	5260	1,4							
74	286	19,58	5240	1,6							
85	246	16,86	5180	1,75							
91	231	15,86	5140	1,85							
106	199	13,65	5050	2							
118	178	12,19	4970	2,2							
122	172	11,77	4870	1,65							
136	154	10,56	4790	1,85							
158	133	9,1	4660	2,1							
110	191	13,08	2380	0,95	iO 373 - HB3 100 LA 4 B12E		42	48	44	50	186
137	153	10,49	2430	1,2							
162	130	8,91	2440	1,4							
181	116	7,96	2430	1,5							
212	99	6,8	2400	1,7							
226	93	6,37	2390	1,7							
269	78	5,36	2340	1,95							

$P_1 = 3 \text{ kW}$											
7,8	3660	123,93 ⁽¹⁾	40000	1,35	iO 973 - HB3 132 S 6 B30G		210	221	226	237	204
9,2	3105	105,13	40000	1,55							
10	2859	96,8	40000	1,7							
11	2556	86,52	40000	1,9							
8,2	3479	176,05 ⁽¹⁾	40000	1,4	iO 973 - HB3 112 MA 4 B30E		188	194	205	211	204
9,5	3027	153,21 ⁽¹⁾	40000	1,6							
10	2772	140,28	40000	1,75							
12	2449	123,93 ⁽¹⁾	40000	2							
14	2077	105,13	40000	2,3							
15	1913	96,8	40000	2,5							
17	1710	86,52	40000	2,8							
19	1539	77,89 ⁽¹⁾	40000	3,2							
21	1394	70,54	40000	3,5							
23	1236	62,55	40000	3,9							
26	1117	56,55	40000	4,4							
9,8	2911	147,32 ⁽¹⁾	27000	1,05	iO 873 - HB3 112 MA 4 B25E		131	137	136	142	201
11	2508	126,91 ⁽¹⁾	27500	1,2							
13	2288	115,82	27800	1,3							
14	2029	102,71 ⁽¹⁾	28000	1,5							
17	1706	86,34	28300	1,75							
18	1568	79,34	28400	1,9							
21	1392	70,46	28600	2,2							
23	1245	63 ⁽¹⁾	28600	2,4							
26	1119	56,64	28700	2,7							
29	971	49,16	28800	3,1							
33	870	44,02	28800	3,3							
40	722	36,52 ⁽¹⁾	28200	3,9							

⁽¹⁾ Rapporto di trasmissione i finito

$P_1 = 3 \text{ kW}$

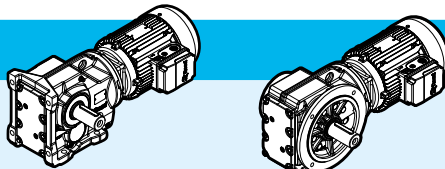






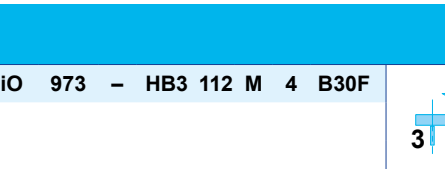




kg

p.

n_2 min ⁻¹	M_2 N m	i	F_{r2} N	fs		con piedi		con flangia			
						HB	HBZ	HB	HBZ		
16	1758	88,97	13800	1	iO 773 - HB3 112 MA 4 B20E		86	92	94	100	198
19	1543	78,07	15500	1,15							
20	1462	73,99	16000	1,2							
22	1279	64,75	17100	1,35							
25	1153	58,34	17700	1,5							
28	1011	51,18	18300	1,75							
32	892	45,16	18700	1,95							
36	791	40,04	19000	2,2							
41	695	35,2	19300	2,5							
47	610	30,89	19500	2,9							
33	876	44,32	9820	1	iO 673 - HB3 112 MA 4 B16E		66	72	71	77	195
38	759	38,39	10900	1,15							
41	704	35,62	11300	1,25							
48	597	30,22	11900	1,45							
53	539	27,28	12200	1,6							
60	474	24	12500	1,85							
64	448	22,66	12600	1,95							
75	381	19,3	12900	2,2							
83	346	17,54	13000	2,4							
95	300	15,19	13000	2,6							
110	261	13,22	13000	2,6							
116	247	12,48	13000	2,2							
136	210	10,63	13000	2,4							
150	191	9,66	13000	2,5							
48	598	30,28	7190	1,1	iO 573 - HB3 112 MA 4 B16E		61	67	68	74	192
53	540	27,34	7190	1,25							
60	475	24,05	7170	1,4							
64	449	22,71	7150	1,5							
75	382	19,34	7060	1,7							
83	347	17,57	6980	1,75							
95	301	15,22	6860	2							
109	262	13,25	6710	2,2							
122	236	11,92	6380	1,95							
129	222	11,26	6330	2,1							
151	189	9,59	6160	2,4							
166	172	8,71	6040	2,5							
192	149	7,55	5870	2,7							
221	130	6,57	5700	2,9							

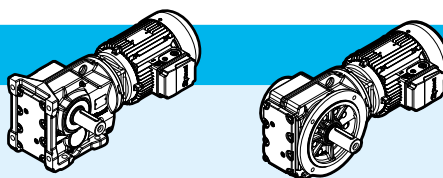
⁽¹⁾ Rapporto di trasmissione i finito

$P_1 = 3 \text{ kW}$											
n_2	M_2	i	F_{r2}	fs	iO 473 - HB3 112 MA 4 B16E		con piedi		con flangia		
min ⁻¹	N m		N	HB			HBZ	HB	HBZ		
74	387	19,58	4450	1,15			54	60	57	63	189
86	333	16,86	4500	1,3							
91	313	15,86	4510	1,35							
106	270	13,65	4500	1,5							
119	241	12,19	4480	1,6							
123	232	11,77	4360	1,2							
137	209	10,56	4340	1,35							
159	180	9,1	4280	1,55							
169	169	8,56	4250	1,6							
197	145	7,36	4160	1,75							
220	130	6,58	4090	1,85							
249	115	5,81	4000	2							
163	176	8,91	2020	1	iO 373 - HB3 112 MA 4 B12E		50	56	52	58	186
182	157	7,96	2050	1,1							
213	134	6,8	2080	1,25							
228	126	6,37	2090	1,25							
270	106	5,36	2090	1,45							

$P_1 = 4 \text{ kW}$											
n_2	M_2	i	F_{r2}	fs	iO 973 - HB3 112 M 4 B30F		con piedi		con flangia		
min ⁻¹	N m		N				HB	HBZ	HB	HBZ	
9,5	4036	153,21 ⁽¹⁾	40000	1,2			190	199	207	216	204
10	3696	140,28	40000	1,3							
12	3265	123,93 ⁽¹⁾	40000	1,5							
14	2770	105,13	40000	1,75							
15	2550	96,8	40000	1,9							
17	2279	86,52	40000	2,1							
19	2052	77,89 ⁽¹⁾	40000	2,4							
21	1858	70,54	40000	2,6							
13	3051	115,82	26900	1	iO 873 - HB3 112 M 4 B25F		133	142	138	147	201
14	2706	102,71 ⁽¹⁾	27300	1,1							
17	2275	86,34	27800	1,3							
18	2090	79,34	28000	1,45							
21	1856	70,46	28200	1,6							
23	1660	63 ⁽¹⁾	28400	1,8							
26	1492	56,64	28500	2							
29	1295	49,16	28600	2,3							
33	1160	44,02	28200	2,5							
40	962	36,52 ⁽¹⁾	27200	2,9							

⁽¹⁾ Rapporto di trasmissione i finito

$P_1 = 4 \text{ kW}$

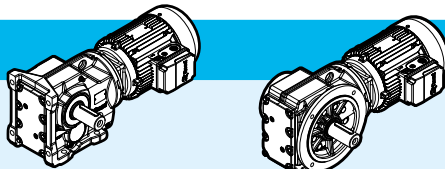


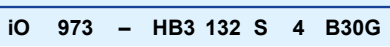






kg

p.

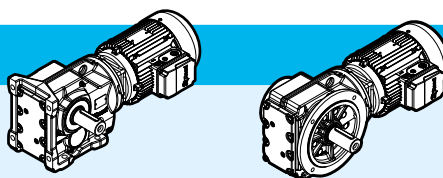
n_2 min ⁻¹	M_2 N m	i	F_{r2} N	fs		con piedi		con flangia			
						HB	HBZ	HB	HBZ		
22	1706	64,75	14300	1,05	iO 773 - HB3 112 M 4 B20F		88	97	96	105	198
25	1537	58,34	15600	1,15							
28	1348	51,18	16700	1,3							
32	1190	45,16	17500	1,45							
36	1055	40,04	18100	1,65							
38	1011	38,39	18300	1,7							
41	927	35,2	18600	1,9							
47	814	30,89	19000	2,2							
50	771	29,27	19100	2,3							
57	675	25,62	19300	2,6							
63	608	23,08	19500	2,9							
72	533	20,25	19600	3,2							
48	796	30,22	10600	1,1			iO 673 - HB3 112 M 4 B16F		68	77	73
53	718	27,28	11200	1,2							
60	632	24	11700	1,35							
64	597	22,66	11900	1,45							
75	508	19,3	12400	1,65							
83	462	17,54	12600	1,8							
95	400	15,19	12800	1,9							
110	348	13,22	13000	1,95							
116	329	12,48	13000	1,65							
136	280	10,63	13000	1,8							
150	254	9,66	12800	1,9							
173	220	8,37	12400	2							
199	192	7,28	12000	2,2							
60	634	24,05	6140	1,05	iO 573 - HB3 112 M 4 B16F		63	72	70	79	192
64	598	22,71	6180	1,1							
75	509	19,34	6230	1,3							
83	463	17,57	6230	1,35							
95	401	15,22	6200	1,5							
109	349	13,25	6140	1,65							
122	314	11,92	5800	1,45							
129	297	11,26	5780	1,55							
151	253	9,59	5680	1,8							
166	230	8,71	5620	1,9							
192	199	7,55	5500	2							
221	173	6,57	5380	2,2							

iO

$P_1 = 5,5 \text{ kW}$											
n_2 min ⁻¹	M_2 N m	i	F_{r2} N	fs		con piedi		con flangia			
						HB	HBZ	HB	HBZ		
12	4428	123,93 ⁽¹⁾	40000	1,1	iO 973 - HB3 132 S 4 B30G		214	225	230	241	204
14	3756	105,13	40000	1,3							
15	3459	96,8	40000	1,4							
17	3092	86,52	40000	1,6							
19	2783	77,89 ⁽¹⁾	40000	1,75							
21	2520	70,54	40000	1,95							
24	2235	62,55	40000	2,2							
26	2021	56,55	39600	2,4							
31	1713	47,93 ⁽¹⁾	38400	2,8							
17	3085	86,34	26700	0,95	iO 873 - HB3 132 S 4 B25G		158	169	163	174	201
19	2835	79,34	27100	1,05							
21	2518	70,46	27500	1,2							
23	2251	63 ⁽¹⁾	27400	1,35							
26	2024	56,64	27200	1,5							
30	1757	49,16	26800	1,7							
33	1573	44,02	26400	1,85							
40	1305	36,52 ⁽¹⁾	25700	2,1							
47	1121	31,39	25100	2,7							
53	996	27,88	24600	2,9							
33	1614	45,16	14800	1,1	iO 773 - HB3 132 S 4 B20G		110	121	118	129	198
37	1431	40,04	16100	1,2							
48	1103	30,89	17900	1,6							
50	1046	29,27	18100	1,65							
57	915	25,62	18600	1,9							
64	825	23,08	18900	2,1							
73	723	20,25	19200	2,4							
82	638	17,87	19400	2,5							
93	566	15,84	19100	2,7							
109	483	13,52	18500	3,1							
119	441	12,36	17800	2,4							
136	387	10,84	17400	2,6							
61	857	24	9910	1	iO 673 - HB3 132 S 4 B16G		91	102	97	108	195
65	810	22,66	10400	1,05							
76	689	19,3	11300	1,25							
84	626	17,54	11700	1,3							
97	543	15,19	12200	1,4							
111	472	13,22	12500	1,4							
118	446	12,48	12600	1,2							
138	380	10,63	12400	1,3							
152	345	9,66	12200	1,4							
176	299	8,37	11900	1,45							
202	260	7,28	11600	1,6							

⁽¹⁾ Rapporto di trasmissione i finito

$P_1 = 7,5 \text{ kW}$

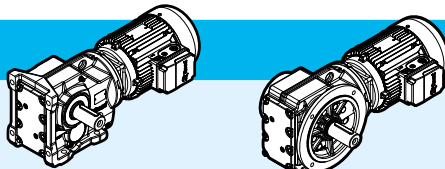







kg

p.

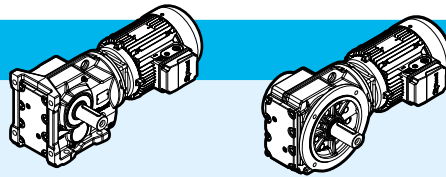
n_2 min ⁻¹	M_2 N m	i	F_{r2} N	fs		con piedi		con flangia			
						HB	HBZ	HB	HBZ		
15	4749	96,8	38400	1,05	iO 973 - HB3 132 M 4 B30G		222	233	238	249	204
17	4245	86,52	38300	1,15							
19	3821	77,89 ⁽¹⁾	38100	1,25							
21	3460	70,54	37800	1,4							
23	3069	62,55	37400	1,6							
26	2774	56,55	37000	1,75							
30	2351	47,93 ⁽¹⁾	36200	2,1							
35	2054	41,87	35500	2,4							
38	1878	38,3	35000	2,6							
43	1679	34,23	34300	2,9							
23	3091	63 ⁽¹⁾	24100	0,95	iO 873 - HB3 132 M 4 B25G		166	177	171	182	201
26	2779	56,64	24200	1,1							
30	2412	49,16	24200	1,25							
33	2160	44,02	24100	1,35							
40	1792	36,52 ⁽¹⁾	23800	1,55							
47	1540	31,39	23400	1,95							
52	1367	27,88	23100	2,1							
59	1222	24,92	22700	2,3							
65	1099	22,41	22400	2,3							
75	954	19,45	21800	2,7							
84	854	17,42	21400	2,8							
91	785	16	20500	2,5							
101	709	14,45	20600	3,3							
47	1515	30,89	15700	1,15	iO 773 - HB3 132 M 4 B20G		118	129	126	137	198
50	1436	29,27	16200	1,2							
57	1257	25,62	17200	1,4							
63	1132	23,08	17800	1,55							
72	993	20,25	18400	1,7							
82	876	17,87	18500	1,85							
92	777	15,84	18200	2							
108	663	13,52	17700	2,3							
118	606	12,36	17000	1,7							
135	532	10,84	16600	1,85							
153	469	9,56	16200	2							
172	416	8,48	15800	2,1							
202	355	7,24	15300	2,3							

⁽¹⁾ Rapporto di trasmissione i finito

$P_1 = 9,2 \text{ kW}$											
n_2	M_2	i	F_{r2}	fs	iO 973 - HB3 132 MB 4 B30H		con piedi		con flangia		
min ⁻¹	N m		N				HB	HBZ	HB	HBZ	
19	4687	77,89 ⁽¹⁾	35100	1,05			224	236	241	253	204
21	4245	70,54	35100	1,15							
23	3764	62,55	35000	1,3							
26	3403	56,55	34800	1,45							
30	2884	47,93 ⁽¹⁾	34400	1,7							
35	2519	41,87	33900	1,95							
38	2304	38,3	33500	2,1							
43	2059	34,23	33000	2,4							
47	1854	30,82	32400	2,6							
52	1679	27,91	31900	2,9							
59	1489	24,75	31200	3,3							
30	2958	49,16	22000	1	iO 873 - HB3 132 MB 4 B25H		168	180	174	186	201
33	2649	44,02	22200	1,1							
40	2198	36,52 ⁽¹⁾	22200	1,25							
47	1889	31,39	22000	1,6							
52	1677	27,88	21900	1,75							
59	1499	24,92	21600	1,85							
65	1348	22,41	21400	1,9							
75	1170	19,45	21000	2,2							
84	1048	17,42	20600	2,3							
91	963	16	19700	2							
101	869	14,45	20000	2,7							
116	756	12,56	19500	3							
131	672	11,17	18500	2,5							
146	601	10	18200	2,8							
63	1389	23,08	16500	1,25	iO 773 - HB3 132 MB 4 B20H		121	133	129	141	198
72	1218	20,25	17400	1,4							
82	1075	17,87	17600	1,5							
92	953	15,84	17300	1,65							
108	814	13,52	17000	1,85							
118	743	12,36	16200	1,4							
135	652	10,84	15900	1,55							
153	575	9,56	15600	1,65							
172	510	8,48	15300	1,75							
202	436	7,24	14900	1,9							

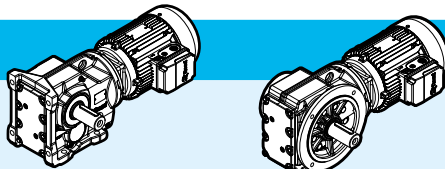




⁽¹⁾ Rapporto di trasmissione i finito



$P_1 = 11 \text{ kW}$



n_2 min ⁻¹	M_2 N m	i	F_{r2} N	fs		con piedi		con flangia		p.	
						HB	HBZ	HB	HBZ		
21	5041	70,54	32300	0,95	iO 973 - HB3 160 M 4 B30H		172	-	188	-	204
24	4470	62,55	32500	1,1							
26	4041	56,55	32500	1,2							
31	3425	47,93 ⁽¹⁾	32400	1,4							
35	2992	41,87	32200	1,65							
38	2736	38,3	31900	1,8							
43	2446	34,23	31600	2							
48	2202	30,82	31200	2,2							
53	1994	27,91	30700	2,4							
59	1768	24,75	30200	2,8							
66	1599	22,37	29700	3							
33	3146	44,02	20100	0,9	iO 873 - HB3 160 M 4 B25H		114	-	119	-	201
40	2610	36,52 ⁽¹⁾	20500	1,05							
47	2243	31,39	20600	1,35							
53	1992	27,88	20500	1,45							
59	1781	24,92	20400	1,55							
66	1601	22,41	20300	1,6							
76	1390	19,45	20000	1,85							
84	1244	17,42	19800	1,95							
92	1143	16	18800	1,7							
102	1032	14,45	19300	2,3							
117	898	12,56	18900	2,5							
132	798	11,17	17900	2,1							
147	714	10	17600	2,4							
177	593	8,29	17000	2,6							
204	515	7,21	16600	2,8							
64	1649	23,08	14700	1,05	iO 773 - HB3 160 M 4 B20H		65	-	73	-	198
73	1447	20,25	16100	1,2							
82	1277	17,87	16600	1,25							
93	1132	15,84	16500	1,35							
109	966	13,52	16200	1,55							
119	883	12,36	15500	1,2							
136	774	10,84	15300	1,3							
154	683	9,56	15000	1,4							
173	606	8,48	14800	1,45							
203	517	7,24	14400	1,6							

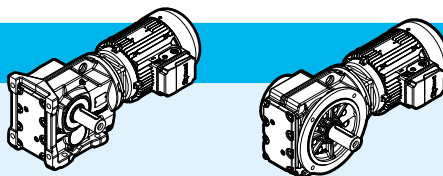
⁽¹⁾ Rapporto di trasmissione i finito

$P_1 = 15 \text{ kW}$											
n_2	M_2	i	F_{r2}	fs		con piedi		con flangia			
min ⁻¹	N m		N			HB	HBZ	HB	HBZ		
31	4671	47,93 ⁽¹⁾	28100	1,05	iO 973 - HB3 160 L 4 B30H		172	-	188	-	204
35	4080	41,87	28400	1,2							
38	3731	38,3	28500	1,3							
43	3335	34,23	28500	1,45							
48	3002	30,82	28400	1,6							
53	2719	27,91	28200	1,8							
59	2411	24,75	28000	2							
66	2180	22,37	27700	2,2							
78	1848	18,96	27100	2,6							
89	1614	16,56	26600	3							
47	3058	31,39	17300	1	iO 873 - HB3 160 L 4 B25H		114	-	119	-	201
53	2716	27,88	17600	1,05							
59	2428	24,92	17900	1,15							
66	2183	22,41	18000	1,2							
76	1895	19,45	18000	1,35							
84	1697	17,42	18000	1,45							
92	1559	16	16800	1,25							
102	1408	14,45	17800	1,7							
117	1224	12,56	17600	1,85							
132	1088	11,17	16600	1,55							
147	974	10	16400	1,75							
177	808	8,29	16000	1,9							
204	703	7,21	15700	2,1							

$P_1 = 18,5 \text{ kW}$											
35	5049	41,87	25100	0,95	iO 973 - HB3 180 M 4 B30L		172	-	188	-	204
48	3715	30,82	26000	1,3							
53	3365	27,91	26000	1,45							
59	2984	24,75	26000	1,65							
65	2698	22,37	25900	1,8							
77	2286	18,96	25600	2,1							
88	1997	16,56	25300	2,4							
106	1670	13,85	24700	2,7							
122	1446	11,99	24200	3							
59	3005	24,92	15600	0,95			iO 873 - HB3 180 M 4 B25L		114	-	119
65	2702	22,41	15900	0,95							
75	2345	19,45	16200	1,1							
84	2100	17,42	16400	1,15							
101	1742	14,45	16500	1,35							
117	1515	12,56	16400	1,5							
131	1346	11,17	15400	1,25							
147	1205	10	15300	1,4							
177	1000	8,29	15100	1,55							
203	870	7,21	14900	1,65							

⁽¹⁾ Rapporto di trasmissione i finito

$P_1 = 22 \text{ kW}$



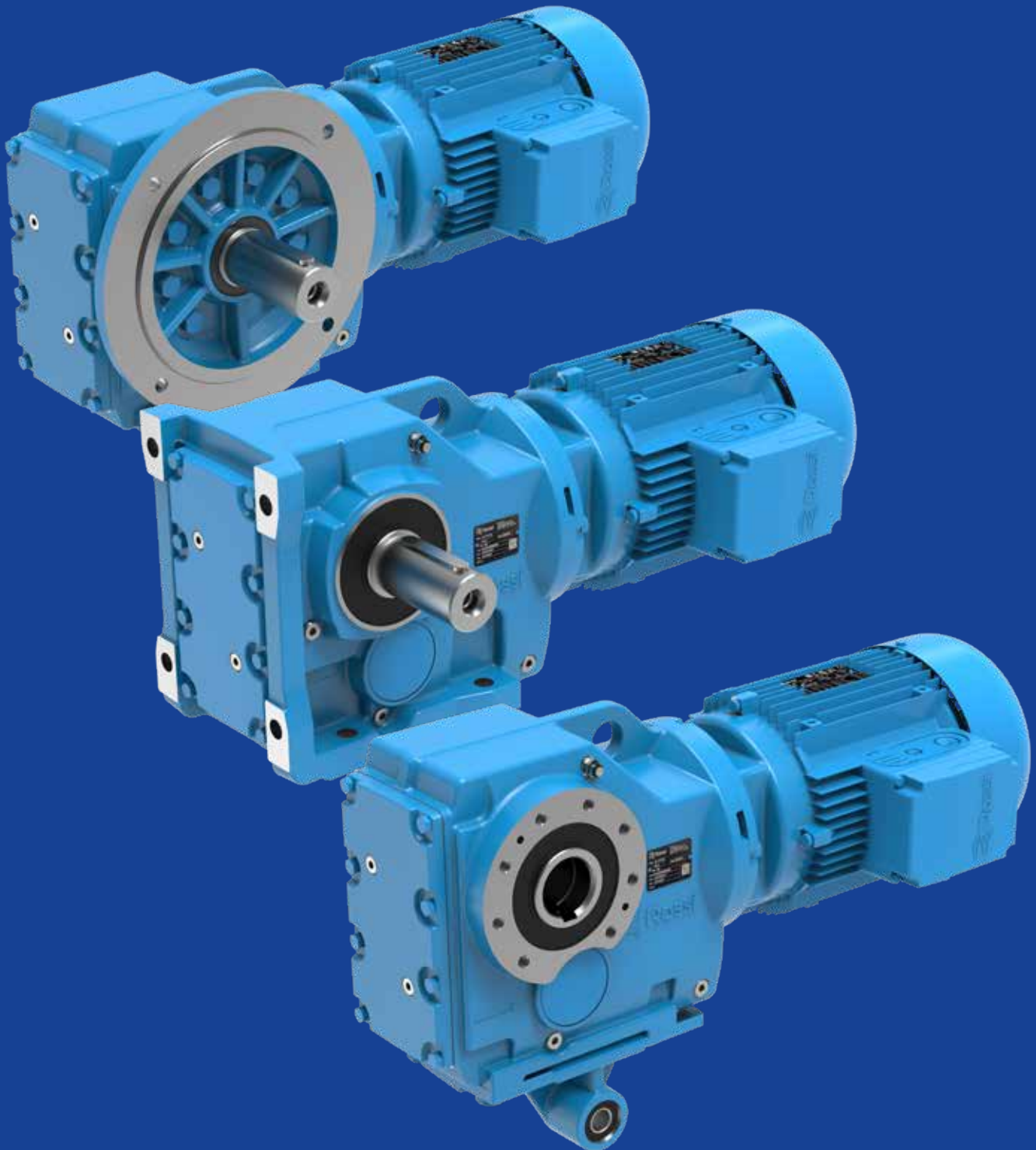
n_2 min ⁻¹	M_2 N m	i	F_{r2} N	fs		con piedi		con flangia		p.	
						HB	HBZ	HB	HBZ		
48	4403	30,82	23500	1,1	iO 973 - HB3 180 L 4 B30L		172	-	188	-	204
53	3988	27,91	23800	1,2							
59	3536	24,75	24100	1,4							
66	3197	22,37	24200	1,5							
78	2710	18,96	24100	1,8							
89	2367	16,56	24000	2,1							
106	1979	13,85	23700	2,3							
123	1714	11,99	23300	2,5							
141	1488	10,41	21800	2,1							
169	1244	8,71	21300	2,3							
76	2779	19,45	14500	0,9	iO 873 - HB3 180 L 4 B25L		114	-	119	-	201
84	2489	17,42	14800	1							
102	2065	14,45	15200	1,15							
117	1795	12,56	15300	1,25							
132	1595	11,17	14200	1,05							
147	1429	10	14300	1,2							
177	1185	8,29	14300	1,3							
204	1031	7,21	14200	1,4							

$P_1 = 30 \text{ kW}$

59	4822	24,75	19600	1	iO 973 - HB3 200 L 4 B30M		178	-	194	-	204
66	4360	22,37	20200	1,1							
78	3695	18,96	20700	1,3							
89	3227	16,56	21000	1,5							
106	2699	13,85	21200	1,7							
123	2337	11,99	21100	1,85							
141	2029	10,41	19500	1,55							
169	1697	8,71	19400	1,7							

pagina lasciata intenzionalmente vuota

Disegni dimensionali ortogonali - iO

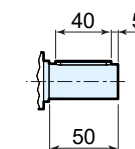
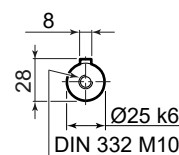
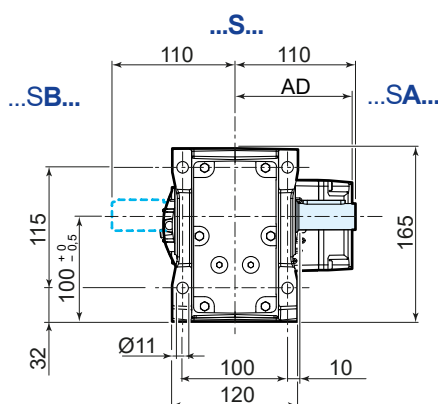
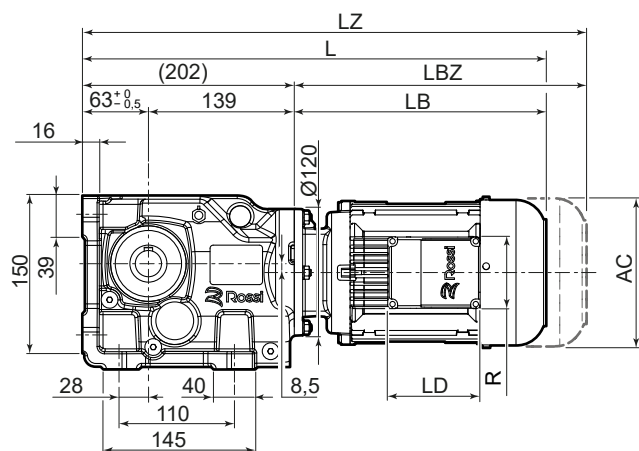
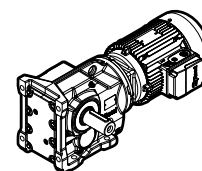


Indice di sezione

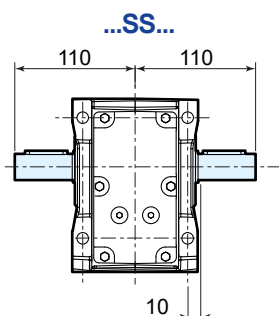
12.1	iO 373	186
12.2	iO 473	189
12.3	iO 573	192
12.4	iO 673	195
12.5	iO 773	198
12.6	iO 873	201
12.7	iO 973	204

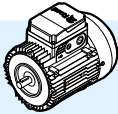
12.1

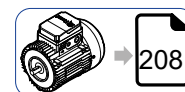
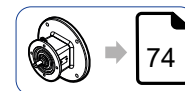
iO 373 PE



UT.C 2543



	63	71	80	90S ²⁾	90L	100	112
AC	123	138	156	176	176	194	218
AD	95	112	121	141	141	151	163
LB	211	237	266	290	320	351	389
LBZ	266	299	335	369	399	446	488
L¹⁾	413	439	468	492	522	553	591
LZ¹⁾	468	501	537	571	601	648	690
LD	103	103	103	136	136	136	136
R	86	86	86	106	106	106	106

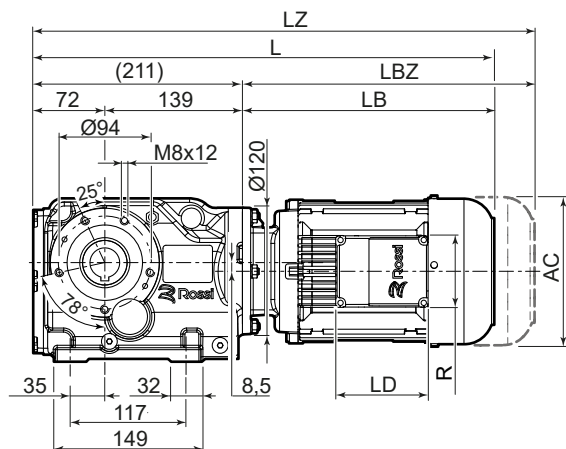
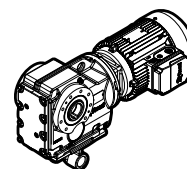


¹⁾ vedere anche pag. 80/81

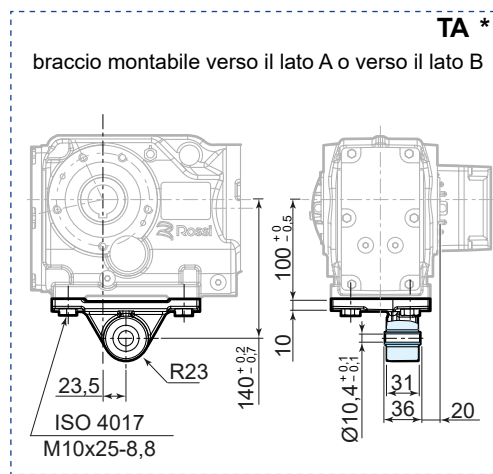
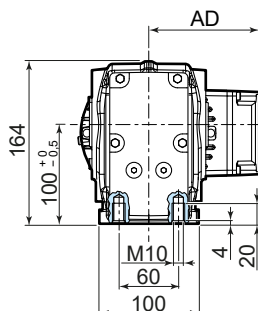
²⁾ per motore HB3-HB3Z 90S 2, HB3-HB3Z 90S 4 quote come grand. motore 90L

Per dettagli lato macchina **A** e **B** ved. pag. 39

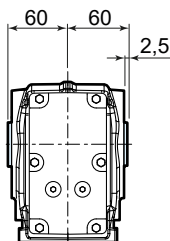
iO 373 SE



...H...

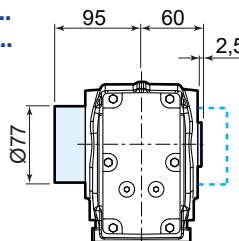


...H...



...HBA..
...HDA..

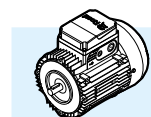
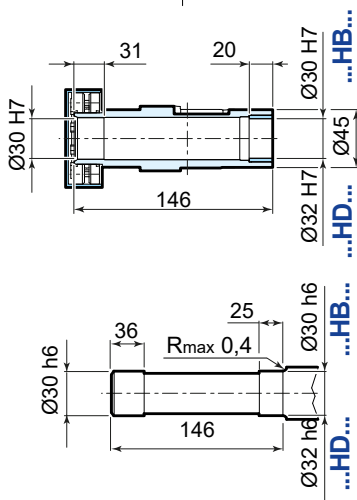
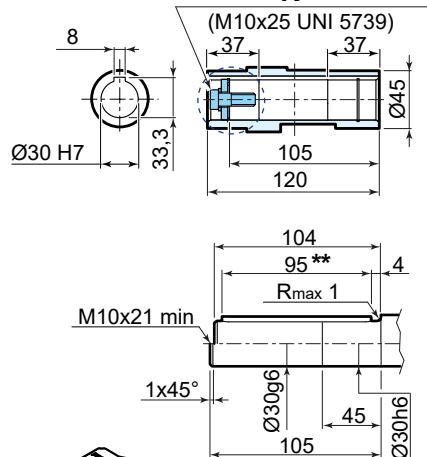
...HB..
...HD..



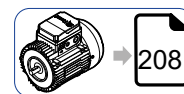
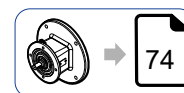
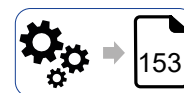
...HBB..
...HDB..

UTC 2545

R *



	63	71	80	90S ²⁾	90L	100	112
AC	123	138	156	176	176	194	218
AD	95	112	121	141	141	151	163
LB	211	237	266	290	320	351	389
LBZ	266	299	335	369	399	446	488
L ¹⁾	422	448	477	501	531	562	600
LZ ¹⁾	477	510	546	580	610	657	699
LD	103	103	103	136	136	136	136
R	86	86	86	106	106	106	106



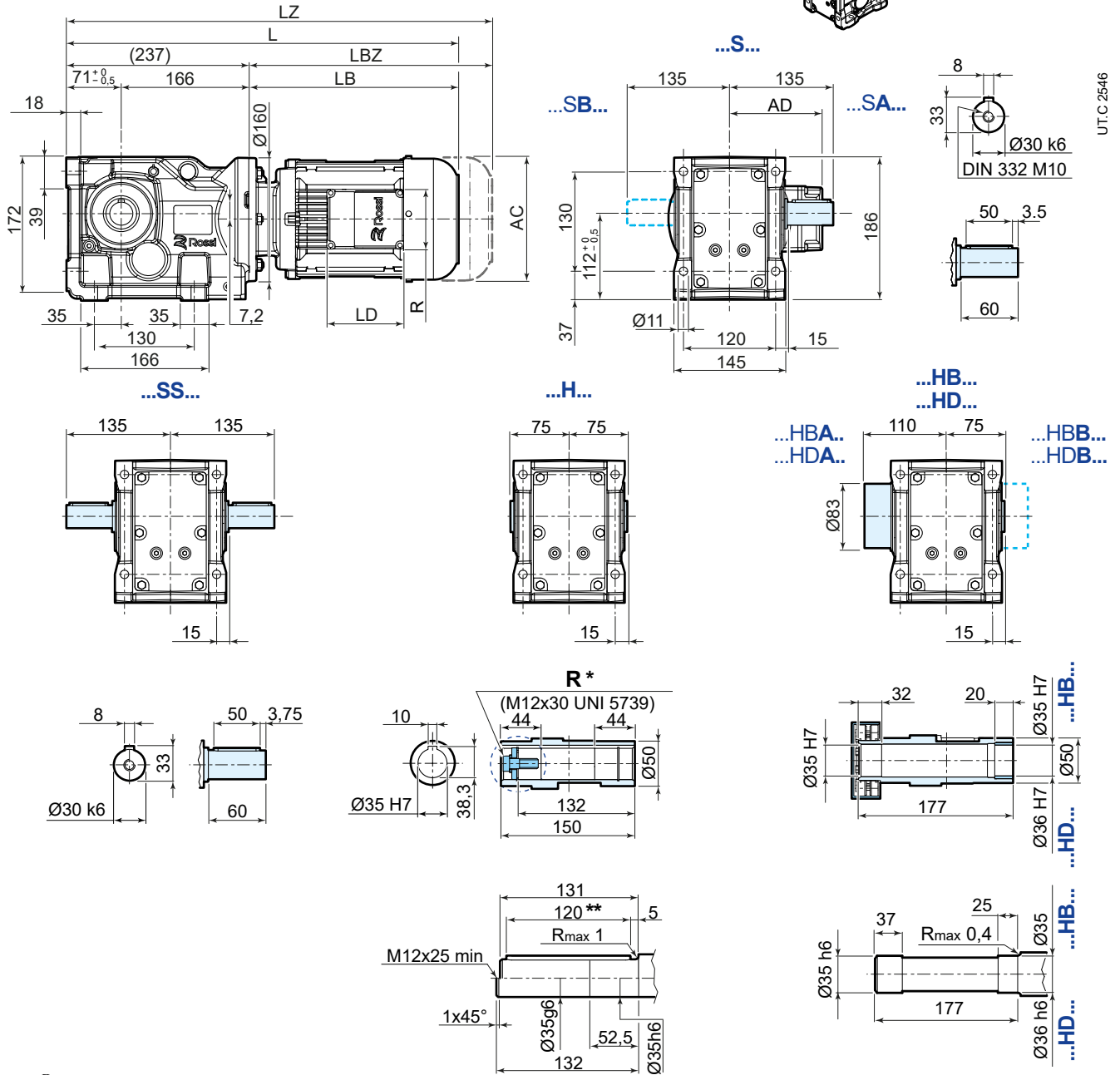
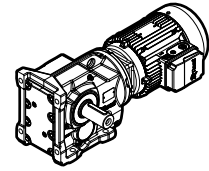
¹⁾ vedere anche pag. 80/81

²⁾ per motore HB3-HB3Z 90S 2, HB3-HB3Z 90S 4 quote come grand. motore 90L

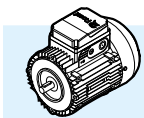
Per dettagli lato macchina A e B ved. pag. 39

* opzioni a richiesta

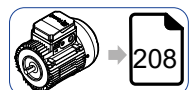
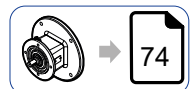
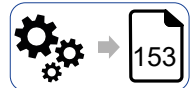
** entrambe le versioni con linguetta



UT.C 2546



	63	71	80	90S ²⁾	90L	100	112
AC	123	138	156	176	176	194	218
AD	95	112	121	141	141	151	163
LB	211	237	266	290	320	351	389
LBZ	266	299	335	369	399	446	488
L ¹⁾	448	474	503	527	557	588	626
LZ ¹⁾	503	536	572	606	636	683	725
LD	103	103	103	136	136	136	136
R	86	86	86	106	106	106	106



¹⁾ vedere anche pag. 80/81

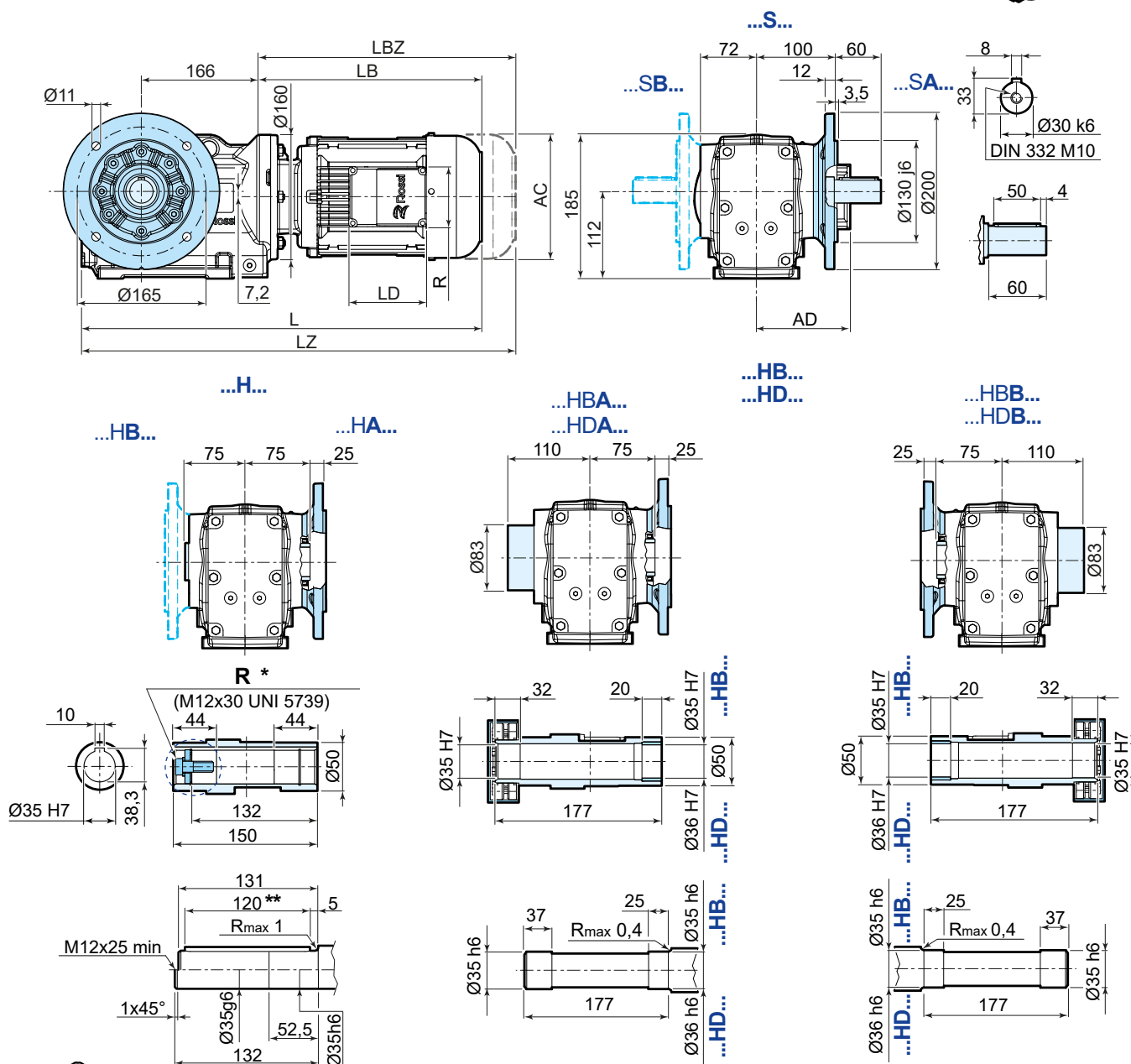
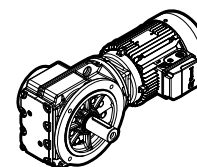
²⁾ per motore HB3-HB3Z 90S 2, HB3-HB3Z 90S 4 quote come grand. motore 90L

Per dettagli lato macchina **A** e **B** ved. pag. 39

* opzioni a richiesta

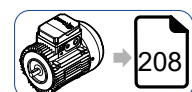
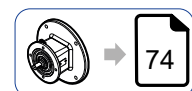
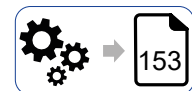
** entrambe le versioni con linguetta

iO 473 FE...F420



UT.C 2547

	63	71	80	90S ²⁾	90L	100	112
AC	123	138	156	176	176	194	218
AD	95	112	121	141	141	151	163
LB	211	237	266	290	320	351	389
LBZ	266	299	335	369	399	446	488
L ¹⁾	454	480	509	533	563	594	632
LZ ¹⁾	509	542	578	612	642	689	731
LD	103	103	103	136	136	136	136
R	86	86	86	106	106	106	106



¹⁾ vedere anche pag. 80/81

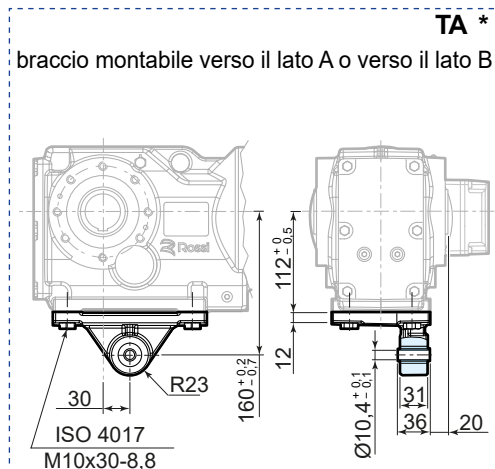
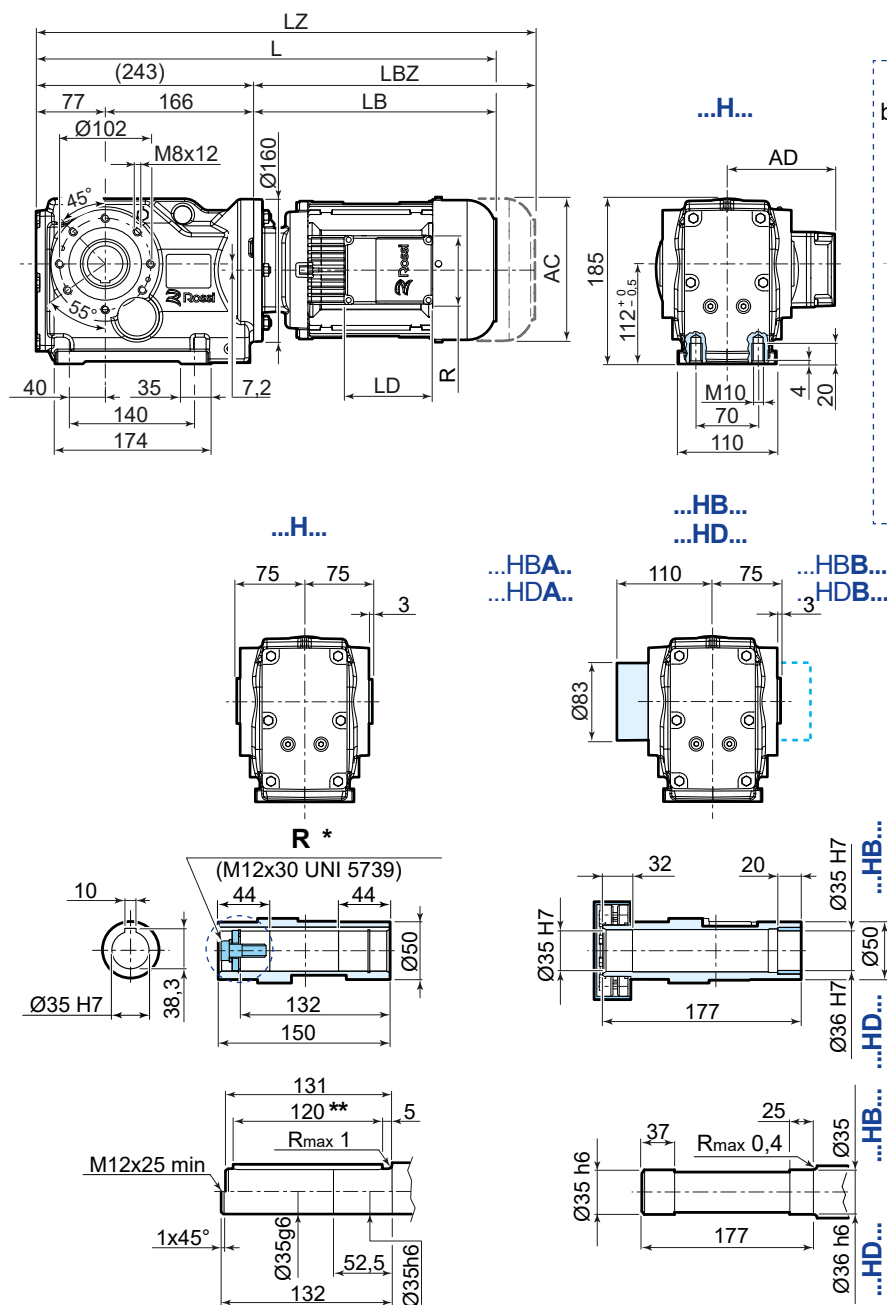
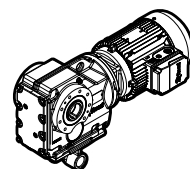
²⁾ per motore HB3-HB3Z 90S 2, HB3-HB3Z 90S 4 quote come grand. motore 90L

Per dettagli lato macchina **A** e **B** ved. pag. 39

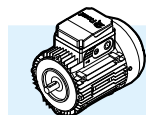
^{*} opzioni a richiesta

^{**} entrambe le versioni con linguetta

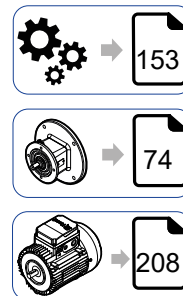
iO 473 SE



U.T.C. 2548



	63	71	80	90S ²⁾	90L	100	112
AC	123	138	156	176	176	194	218
AD	95	112	121	141	141	151	163
LB	211	237	266	290	320	351	389
LBZ	266	299	335	369	399	446	488
L ¹⁾	454	480	509	533	563	594	632
LZ ¹⁾	509	542	578	612	642	689	731
LD	103	103	103	136	136	136	136
R	86	86	86	106	106	106	106



¹⁾ vedere anche pag. 80/81

²⁾ per motore HB3-HB3Z 90S 2, HB3-HB3Z 90S 4 quote come grand. motore 90L

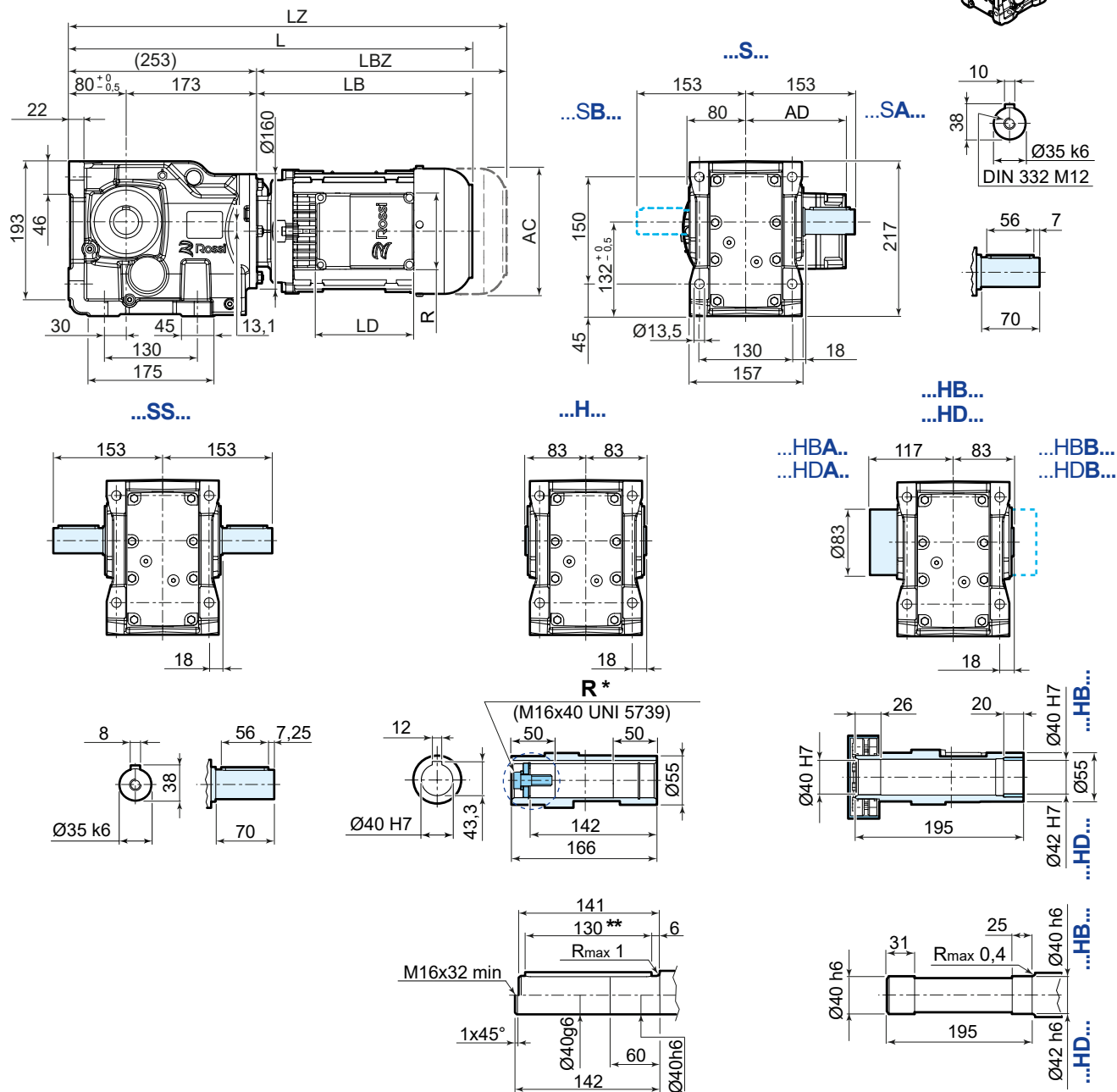
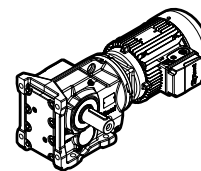
Per dettagli lato macchina **A** e **B** ved. pag. 39

* opzioni a richiesta

** entrambe le versioni con linguetta

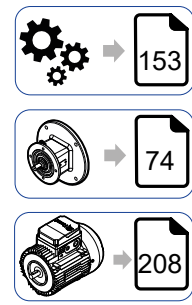
12.3

iO 573 PE



UT.C 2549

	63	71	80	90S ²⁾	90L	100	112	132S ³⁾	132M
AC	123	138	156	176	176	194	218	257	257
AD	95	112	121	141	141	151	163	194	194
LB	205	231	260	283	313	345	383	439	499
LBZ	260	293	329	362	392	440	482	547	607
L¹⁾	458	484	513	536	566	598	636	692	752
LZ¹⁾	513	546	582	615	645	693	735	800	860
LD	103	103	103	136	136	136	136	190	190
R	86	86	86	106	106	106	106	148	148



¹⁾ vedere anche pag. 80/81

²⁾ per motore HB3-HB3Z 90S 2, HB3-HB3Z 90S 4 quote come grand. motore 90L

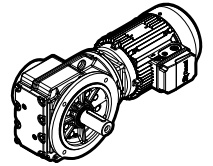
³⁾ per motore HB3-HB3Z 132SB 2, HB3-HB3Z 132SC 2, HB3-HB3Z 132S 4 quote come grand. motore 132M

Per dettagli lato macchina **A** e **B** ved. pag. 39

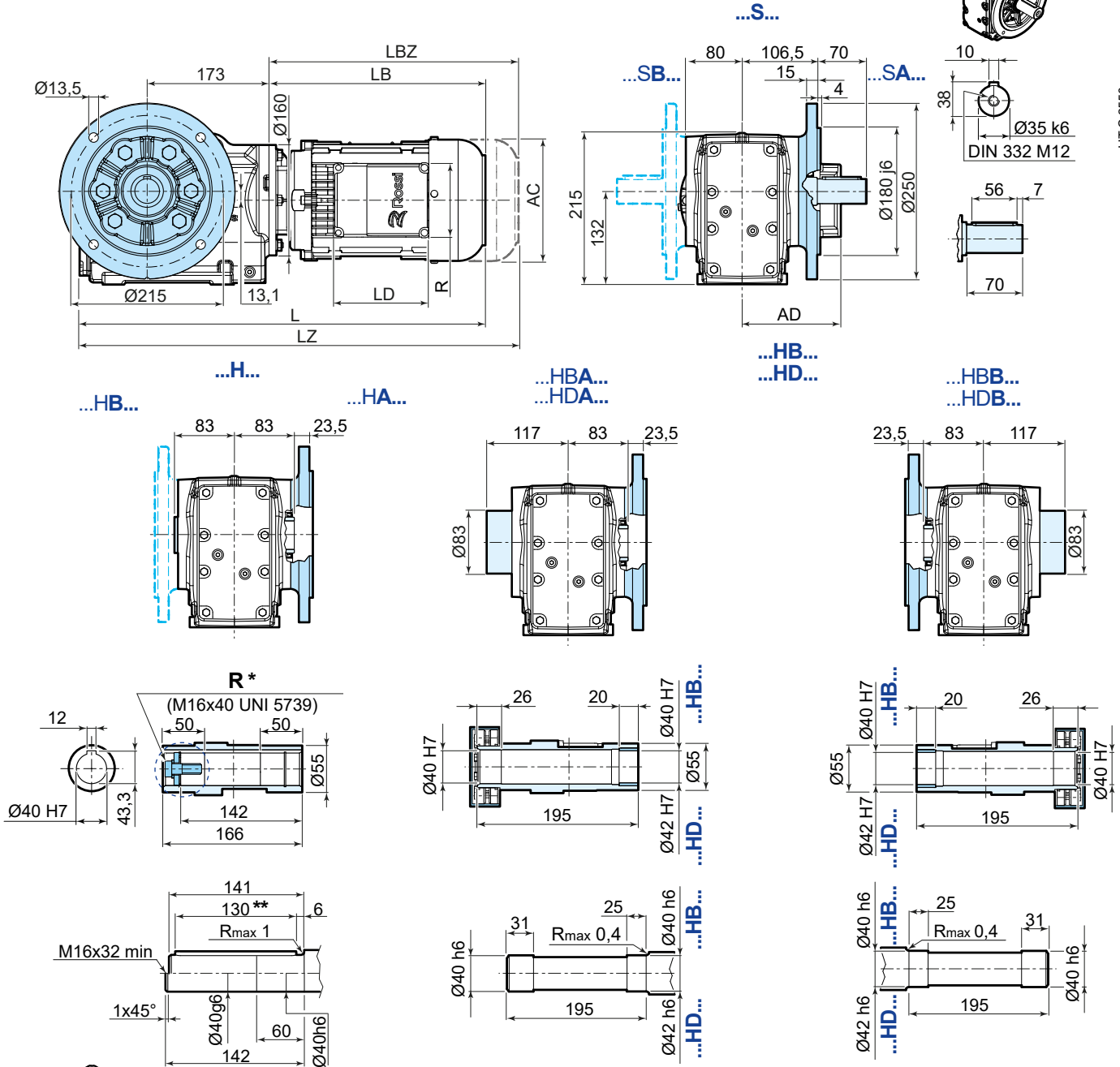
^{*} opzioni a richiesta

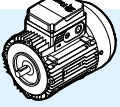
^{**} entrambe le versioni con linguetta

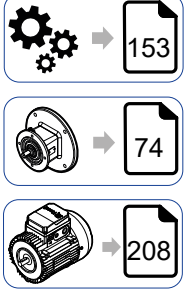
iO 573 FE...F525



UT.C 2550



	63	71	80	90S ²⁾	90L	100	112	132S ³⁾	132M
									
AC	123	138	156	176	176	194	218	257	257
AD	95	112	121	141	141	151	163	194	194
LB	205	231	260	283	313	345	383	439	499
LBZ	260	293	329	362	392	440	482	547	607
L ¹⁾	474	500	529	552	582	614	652	708	768
LZ ¹⁾	529	562	598	631	661	709	751	816	876
LD	103	103	103	136	136	136	136	190	190
R	86	86	86	106	106	106	106	148	148



¹⁾ vedere anche pag. 80/81

²⁾ per motore HB3-HB3Z 90S 2, HB3-HB3Z 90S 4 quote come grand. motore 90L

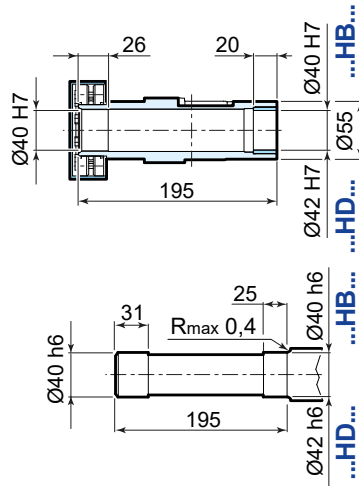
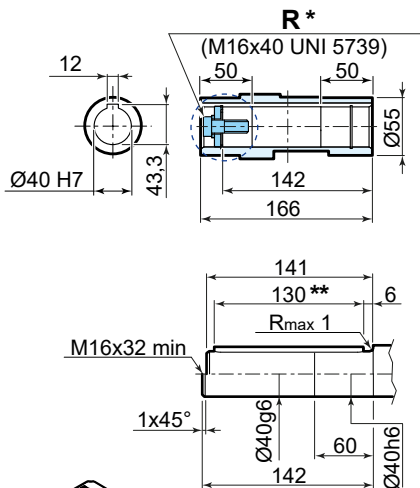
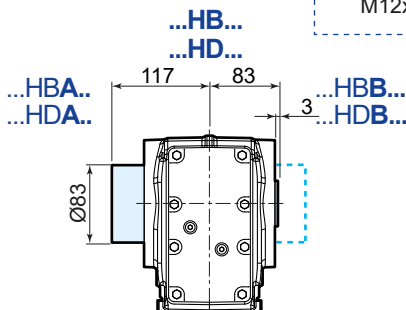
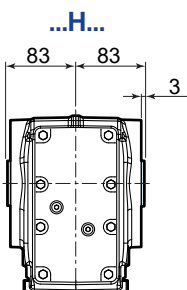
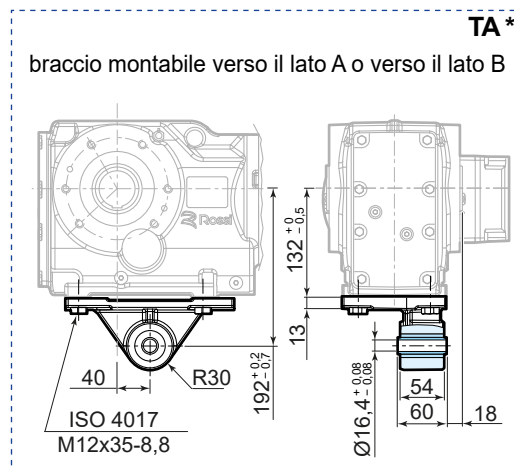
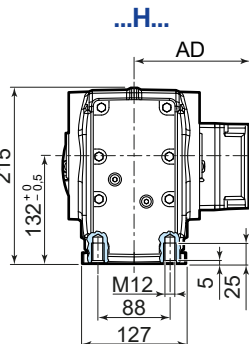
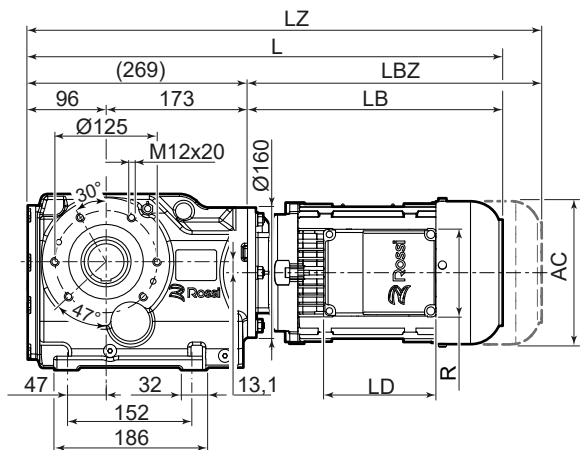
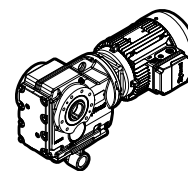
³⁾ per motore HB3-HB3Z 132SB 2, HB3-HB3Z 132SC 2, HB3-HB3Z 132S 4 quote come grand. motore 132M

Per dettagli lato macchina **A** e **B** ved. pag. 39

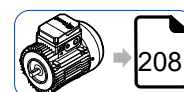
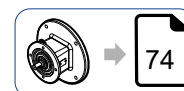
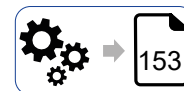
^{*} opzioni a richiesta

^{**} entrambe le versioni con linguetta

iO 573 SE



	63	71	80	90S ²⁾	90L	100	112	132S ³⁾	132M
AC	123	138	156	176	176	194	218	257	257
AD	95	112	121	141	141	151	163	194	194
LB	205	231	260	283	313	345	383	439	499
LBZ	260	293	329	362	392	440	482	547	607
L¹⁾	474	500	529	552	582	614	652	708	768
LZ¹⁾	529	562	598	631	661	709	751	816	876
LD	103	103	103	136	136	136	136	190	190
R	86	86	86	106	106	106	106	148	148



¹⁾ vedere anche pag. 80/81

²⁾ per motore HB3-HB3Z 90S 2, HB3-HB3Z 90S 4 quote come grand. motore 90L

³⁾ per motore HB3-HB3Z 132SB 2, HB3-HB3Z 132SC 2, HB3-HB3Z 132S 4 quote come grand. motore 132M

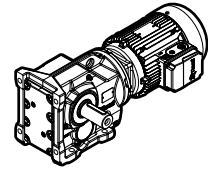
Per dettagli lato macchina **A** e **B** ved. pag. 39

* opzioni a richiesta

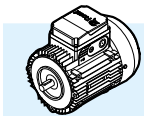
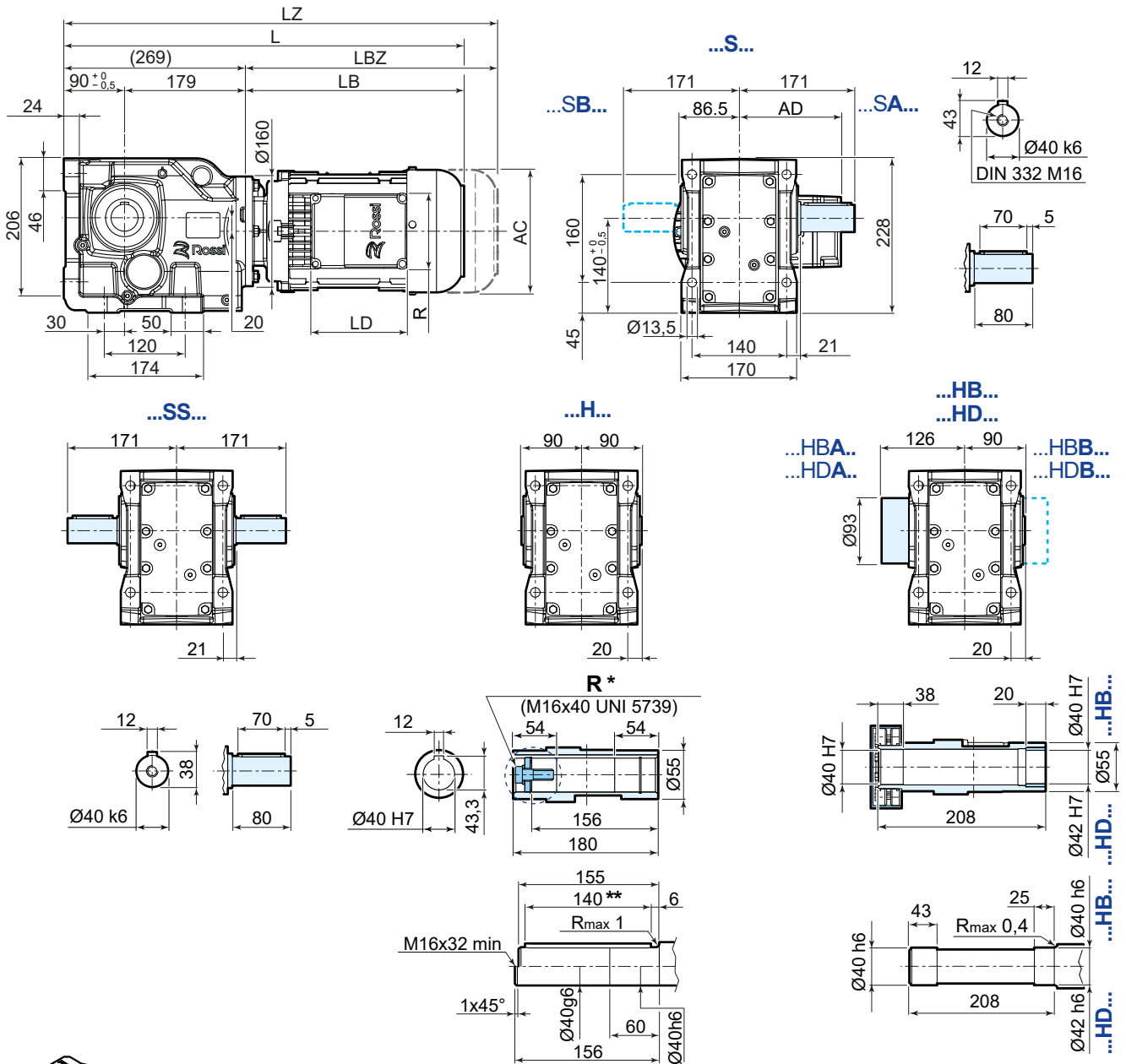
** entrambe le versioni con linguetta

UT.C 2551

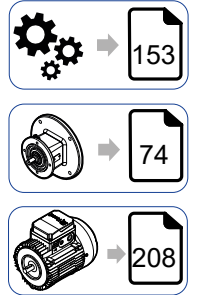
12.4 iO 673 PE



UT.C 2552



	63	71	80	90S ²⁾	90L	100	112	132S ³⁾	132M
AC	123	138	156	176	176	194	218	257	257
AD	95	112	121	141	141	151	163	194	194
LB	205	231	260	283	313	345	383	439	499
LBZ	260	293	329	362	392	440	482	547	607
L ¹⁾	474	500	529	552	582	614	652	708	768
LZ ¹⁾	529	562	598	631	661	709	751	816	876
LD	103	103	103	136	136	136	136	190	190
R	86	86	86	106	106	106	106	148	148



¹⁾ vedere anche pag. 80/81

²⁾ per motore HB3-HB3Z 90S 2, HB3-HB3Z 90S 4 quote come grand. motore 90L

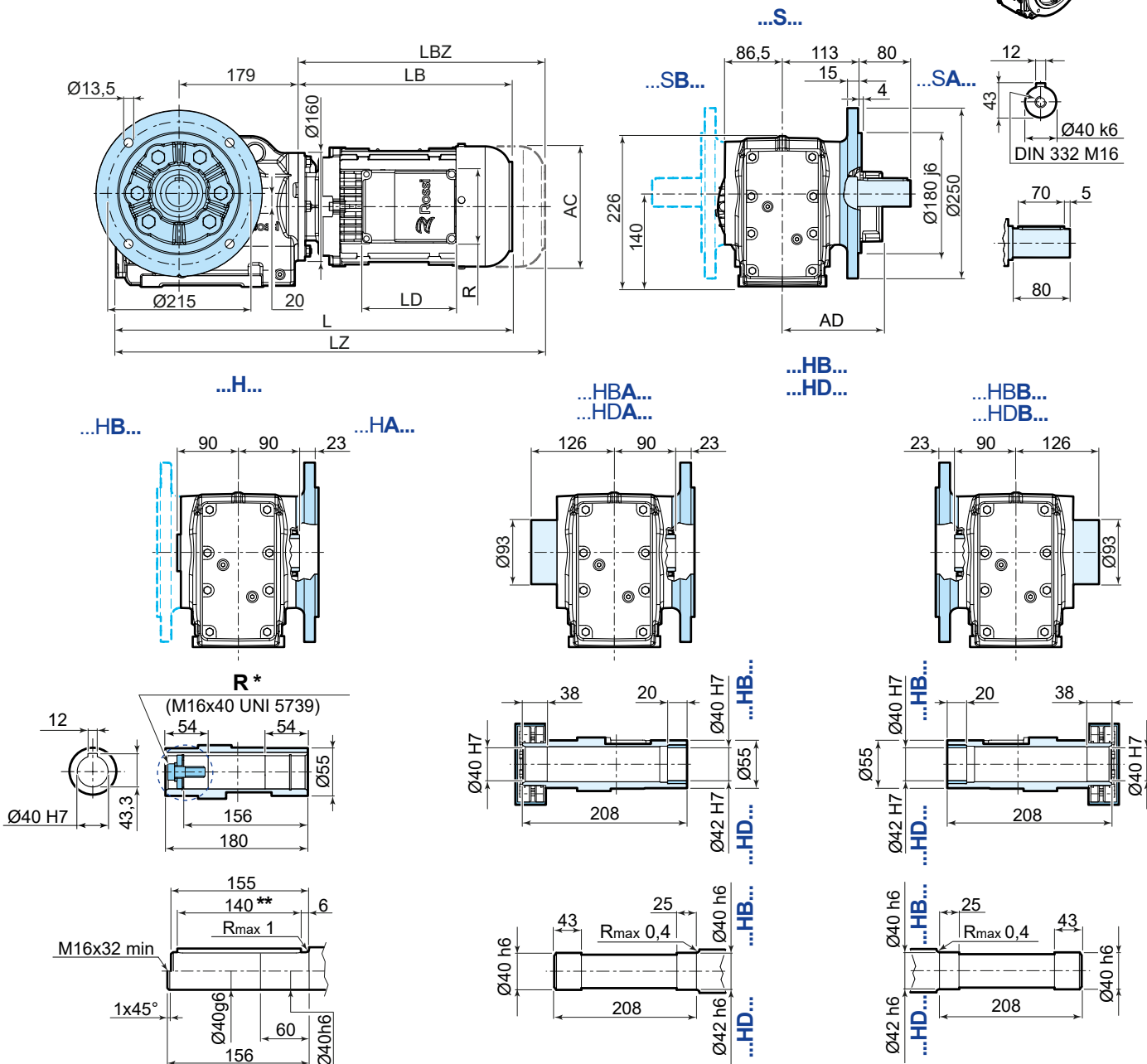
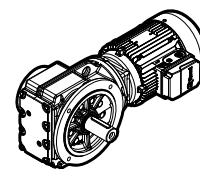
³⁾ per motore HB3-HB3Z 132SB 2, HB3-HB3Z 132SC 2, HB3-HB3Z 132S 4 quote come grand. motore 132M

Per dettagli lato macchina **A** e **B** ved. pag. 39

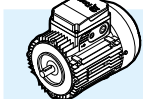
^{*} opzioni a richiesta

^{**} entrambe le versioni con linguetta

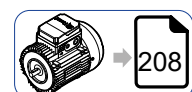
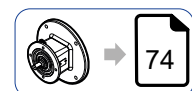
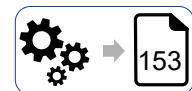
iO 673 FE...F625



UT.C 2553



	63	71	80	90S ²⁾	90L	100	112	132S ³⁾	132M
AC	123	138	156	176	176	194	218	257	257
AD	95	112	121	141	141	151	163	194	194
LB	205	231	260	283	313	345	383	439	499
LBZ	260	293	329	362	392	440	482	547	607
L ¹⁾	479	505	534	557	587	619	657	713	773
LZ ¹⁾	534	567	603	636	666	714	756	821	881
LD	103	103	103	136	136	136	136	190	190
R	86	86	86	106	106	106	106	148	148



¹⁾ vedere anche pag. 80/81

²⁾ per motore HB3-HB3Z 90S 2, HB3-HB3Z 90S 4 quote come grand. motore 90L

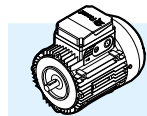
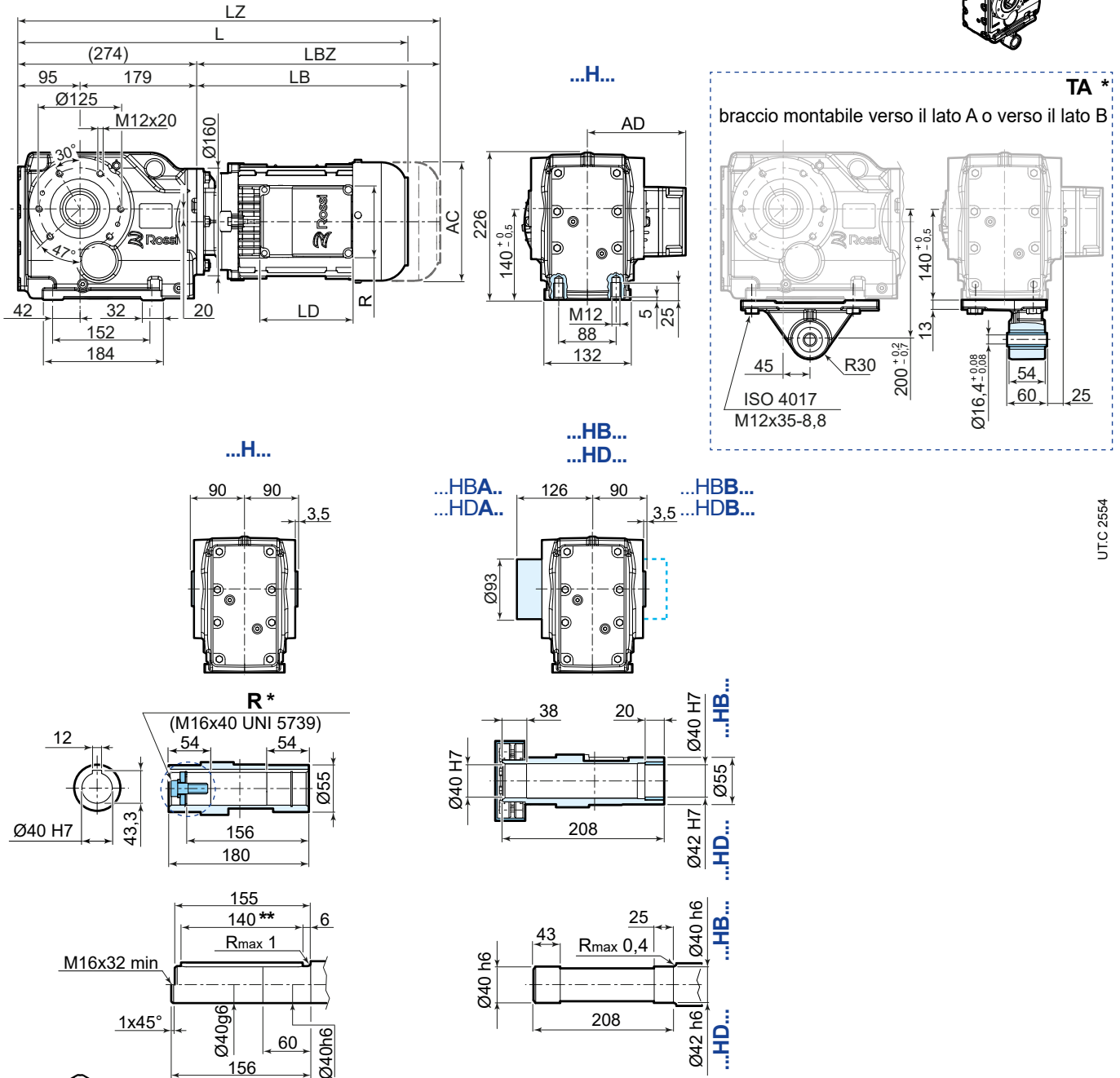
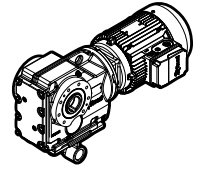
³⁾ per motore HB3-HB3Z 132SB 2, HB3-HB3Z 132SC 2, HB3-HB3Z 132S 4 quote come grand. motore 132M

Per dettagli lato macchina **A** e **B** ved. pag. 39

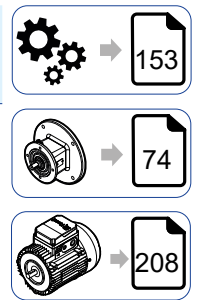
^{*} opzioni a richiesta

^{**} entrambe le versioni con linguetta

iO 673 SE



	63	71	80	90S ²⁾	90L	100	112	132S ³⁾	132M
AC	123	138	156	176	176	194	218	257	257
AD	95	112	121	141	141	151	163	194	194
LB	205	231	260	283	313	345	383	439	499
LBZ	260	293	329	362	392	440	482	547	607
L¹⁾	479	505	534	557	587	619	657	713	773
LZ¹⁾	534	567	603	636	666	714	756	821	881
LD	103	103	103	136	136	136	136	190	190
R	86	86	86	106	106	106	106	148	148



¹⁾ vedere anche pag. 80/81

²⁾ per motore HB3-HB3Z 90S 2, HB3-HB3Z 90S 4 quote come grand. motore 90L

³⁾ per motore HB3-HB3Z 132SB 2, HB3-HB3Z 132SC 2, HB3-HB3Z 132S 4 quote come grand. motore 132M

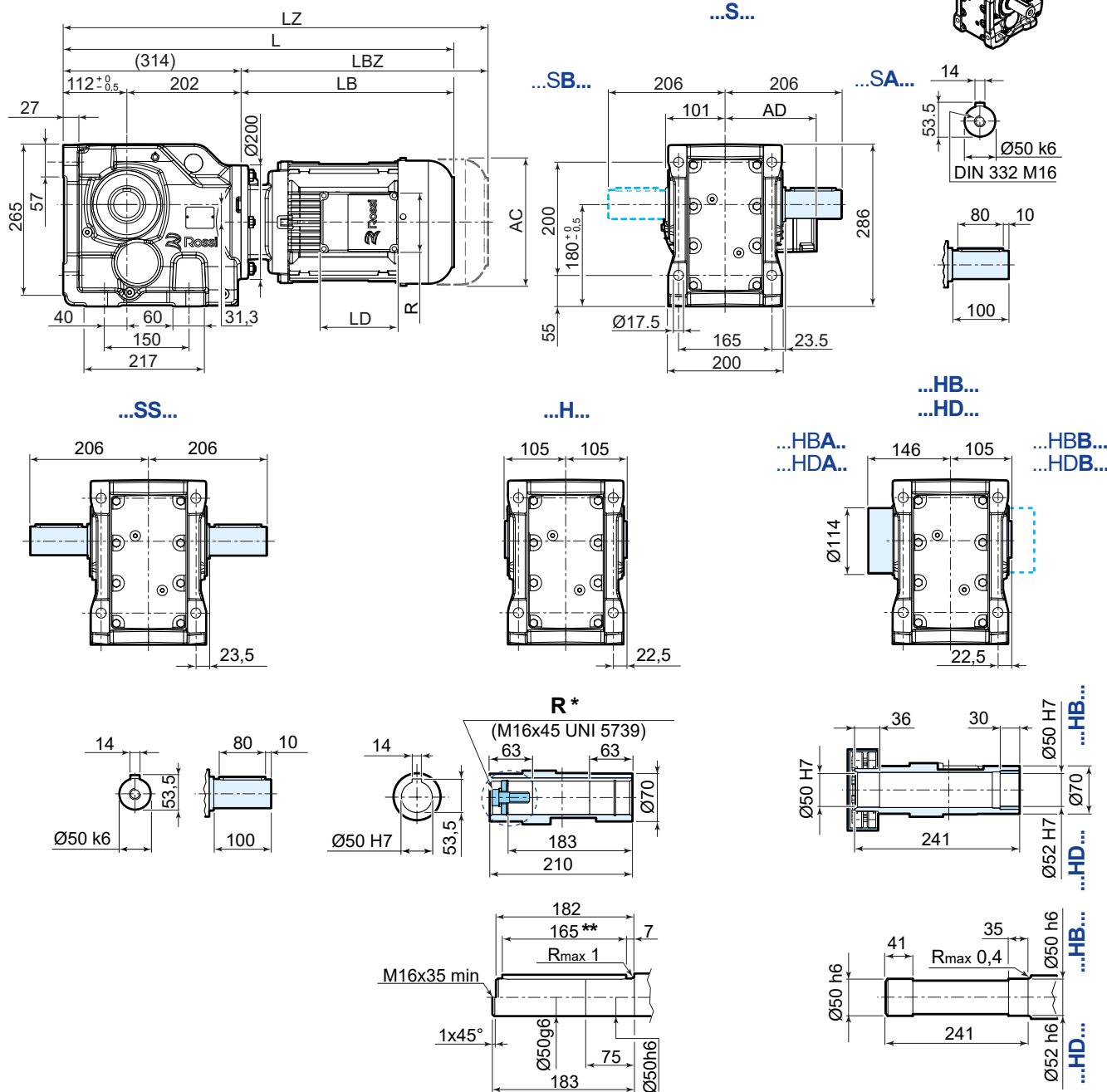
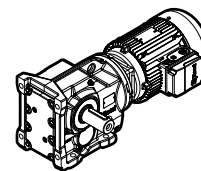
Per dettagli lato macchina **A** e **B** ved. pag. 39

* opzioni a richiesta

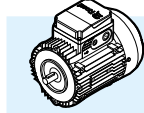
** entrambe le versioni con linguetta

12.5

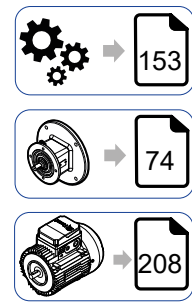
iO 773 PE



UT.C 2555



	63	71	80	90S ²⁾	90L	100	112	132S ³⁾	132M
AC	123	138	156	176	176	194	218	257	257
AD	95	112	121	141	141	151	163	194	194
LB	199	225	254	276	306	339	377	433	493
LBZ	254	287	323	355	385	434	476	541	601
L ¹⁾	513	539	568	590	620	653	691	747	807
LZ ¹⁾	568	601	637	669	699	748	790	855	915
LD	103	103	103	136	136	136	136	190	190
R	86	86	86	106	106	106	106	148	148



¹⁾ vedere anche pag. 80/81

²⁾ per motore HB3-HB3Z 90S 2, HB3-HB3Z 90S 4 quote come grand. motore 90L

³⁾ per motore HB3-HB3Z 132SB 2, HB3-HB3Z 132SC 2, HB3-HB3Z 132S 4 quote come grand. motore 132M

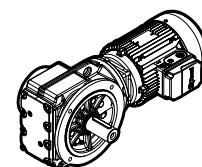
Per dettagli lato macchina **A** e **B** ved. pag. 39

* opzioni a richiesta

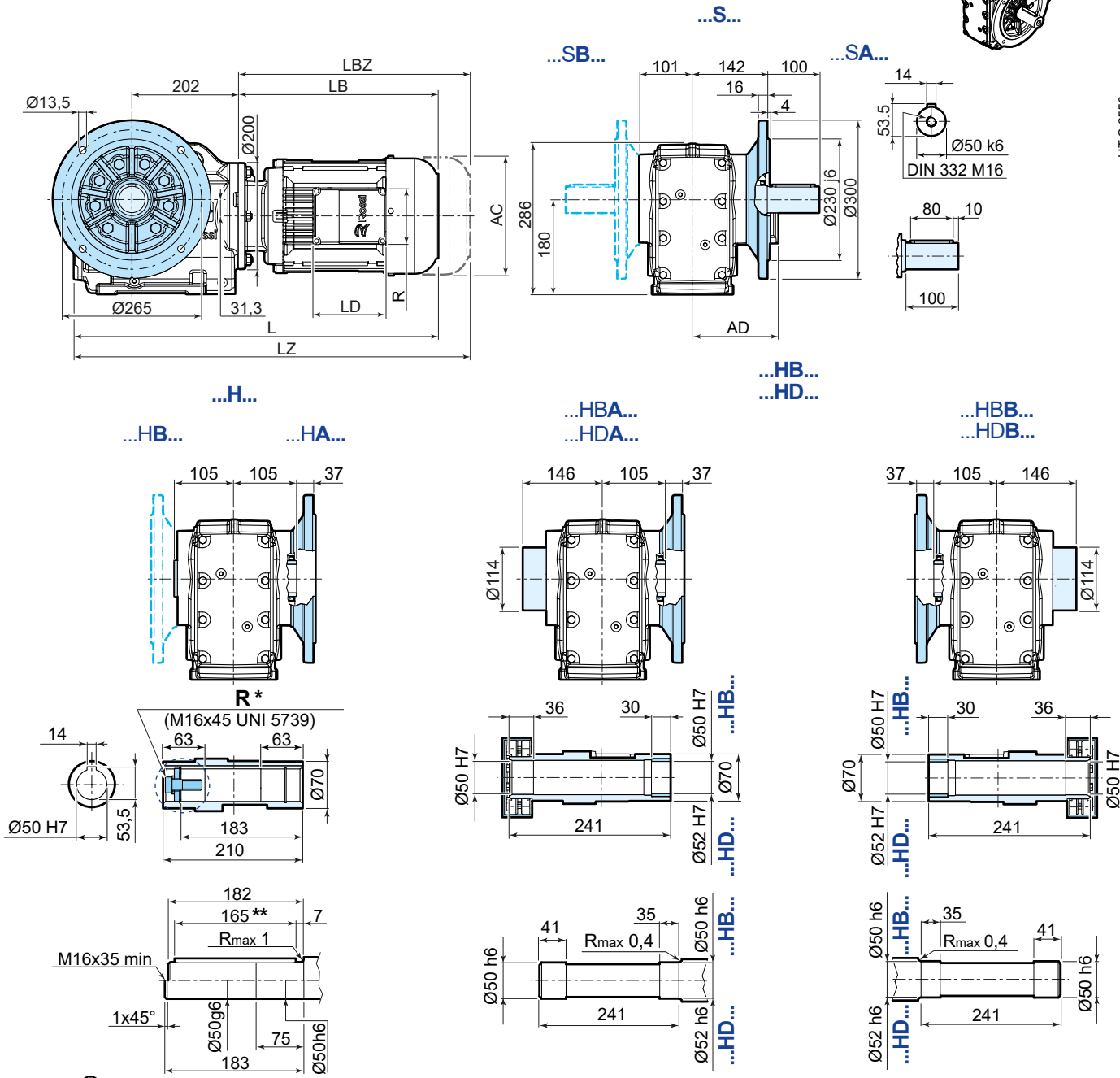
** entrambe le versioni con linguetta

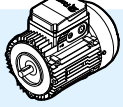
iO

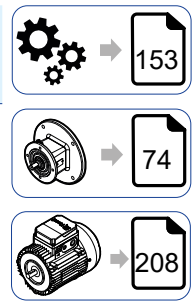
iO 773 FE...F730



UT.C.2556



	63	71	80	90S ²⁾	90L	100	112	132S ³⁾	132M
									
AC	123	138	156	176	176	194	218	257	257
AD	95	112	121	141	141	151	163	194	194
LB	199	225	254	276	306	339	377	433	493
LBZ	254	287	323	355	385	434	476	541	601
L ¹⁾	511	537	566	588	618	651	689	745	805
LZ ¹⁾	566	599	635	667	697	746	788	853	913
LD	103	103	103	136	136	136	136	190	190
R	86	86	86	106	106	106	106	148	148



¹⁾ vedere anche pag. 80/81

²⁾ per motore HB3-HB3Z 90S 2, HB3-HB3Z 90S 4 quote come grand. motore 90L

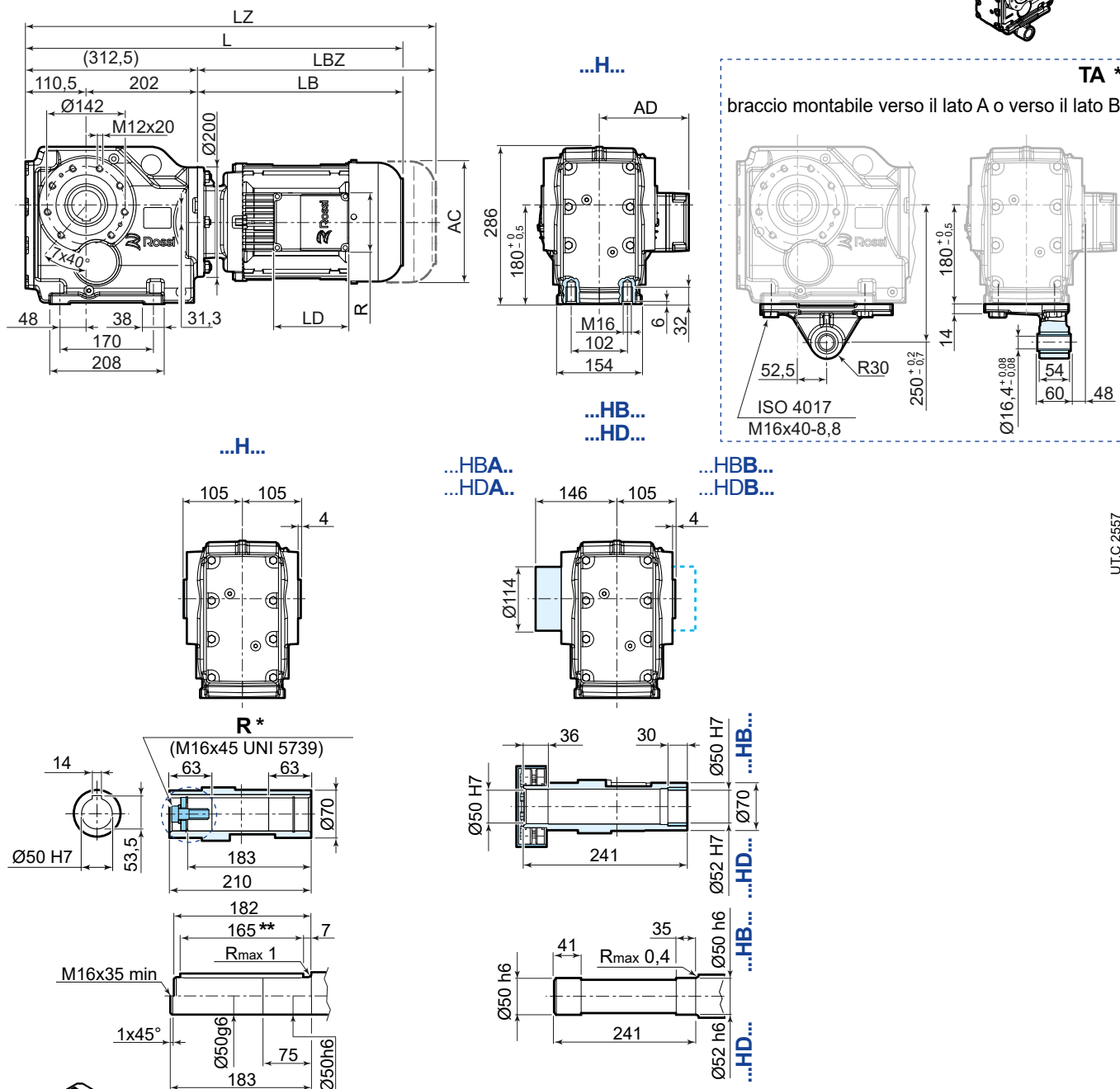
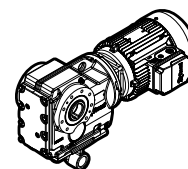
³⁾ per motore HB3-HB3Z 132SB 2, HB3-HB3Z 132SC 2, HB3-HB3Z 132S 4 quote come grand. motore 132M

Per dettagli lato macchina **A** e **B** ved. pag. 39

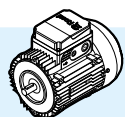
^{*} opzioni a richiesta

^{**} entrambe le versioni con linguetta

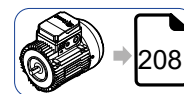
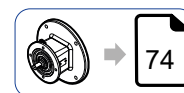
iO 773 SE



UTC 2557



	63	71	80	90S ²⁾	90L	100	112	132S ³⁾	132M
AC	123	138	156	176	176	194	218	257	257
AD	95	112	121	141	141	151	163	194	194
LB	199	225	254	276	306	339	377	433	493
LBZ	254	287	323	355	385	434	476	541	601
L ¹⁾	513	539	568	590	620	653	691	747	807
LZ ¹⁾	568	601	637	669	699	748	790	855	915
LD	103	103	103	136	136	136	136	190	190
R	86	86	86	106	106	106	106	148	148



¹⁾ vedere anche pag. 80/81

²⁾ per motore HB3-HB3Z 90S 2, HB3-HB3Z 90S 4 quote come grand. motore 90L

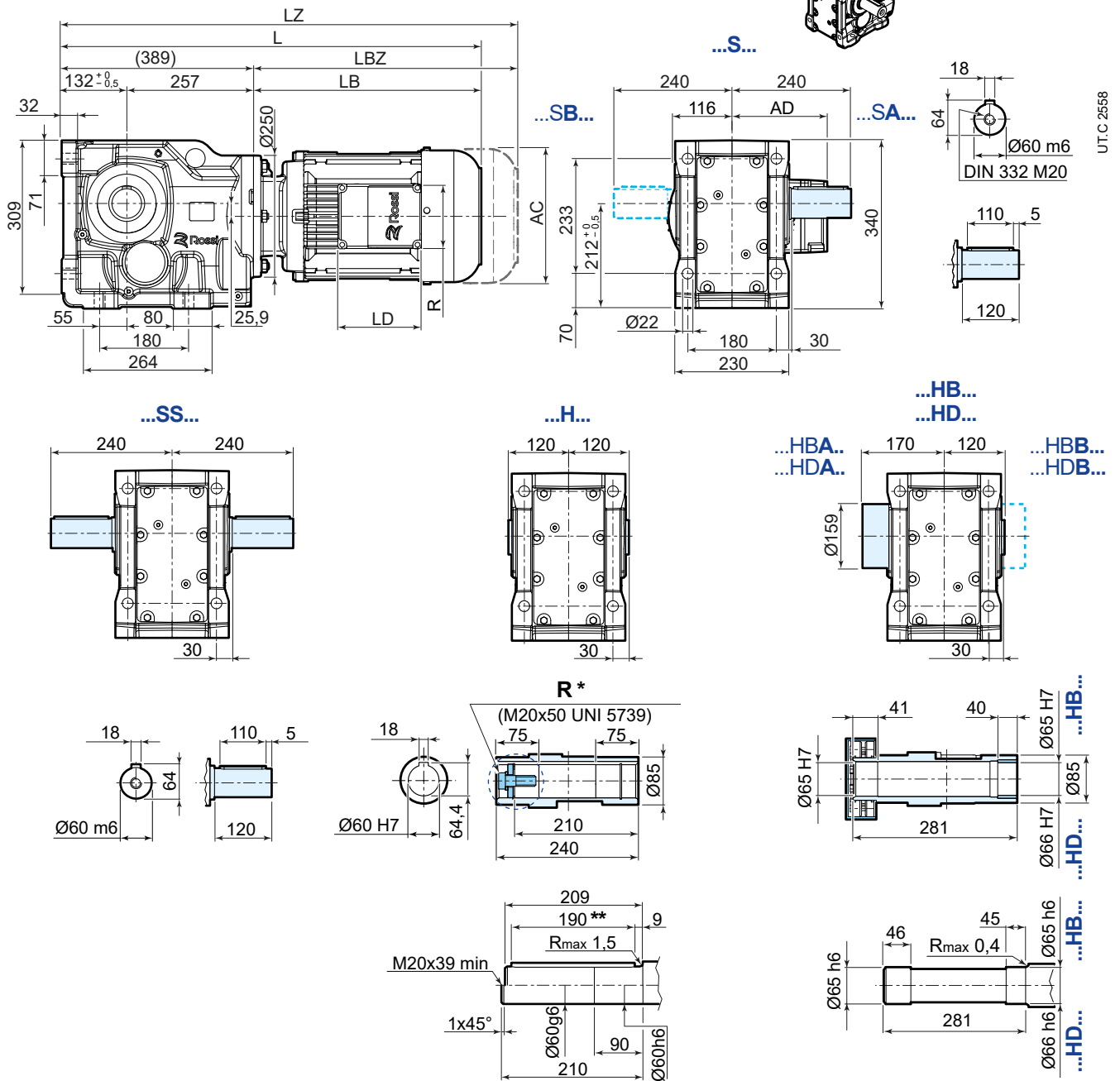
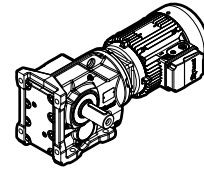
³⁾ per motore HB3-HB3Z 132SB 2, HB3-HB3Z 132SC 2, HB3-HB3Z 132S 4 quote come grand. motore 132M

Per dettagli lato macchina **A** e **B** ved. pag. 39

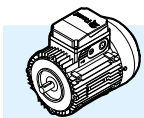
* opzioni a richiesta

** entrambe le versioni con linguetta

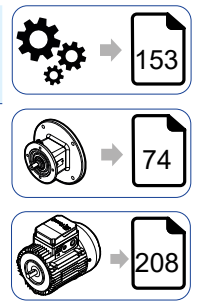
12.6 iO 873 PE



UT.C 2558



	63	71	80	90S ²⁾	90L	100	112	132S ³⁾	132M
AC	123	138	156	176	176	194	218	257	257
AD	95	112	121	141	141	151	163	194	194
LB	199	225	254	276	306	339	377	433	493
LBZ	254	287	323	355	385	434	476	541	601
L ¹⁾	588	614	643	665	695	728	766	822	882
LZ ¹⁾	643	676	712	744	774	823	865	930	990
LD	103	103	103	136	136	136	136	190	190
R	86	86	86	106	106	106	106	148	148



¹⁾ vedere anche pag. 80/81

²⁾ per motore HB3-HB3Z 90S 2, HB3-HB3Z 90S 4 quote come grand. motore 90L

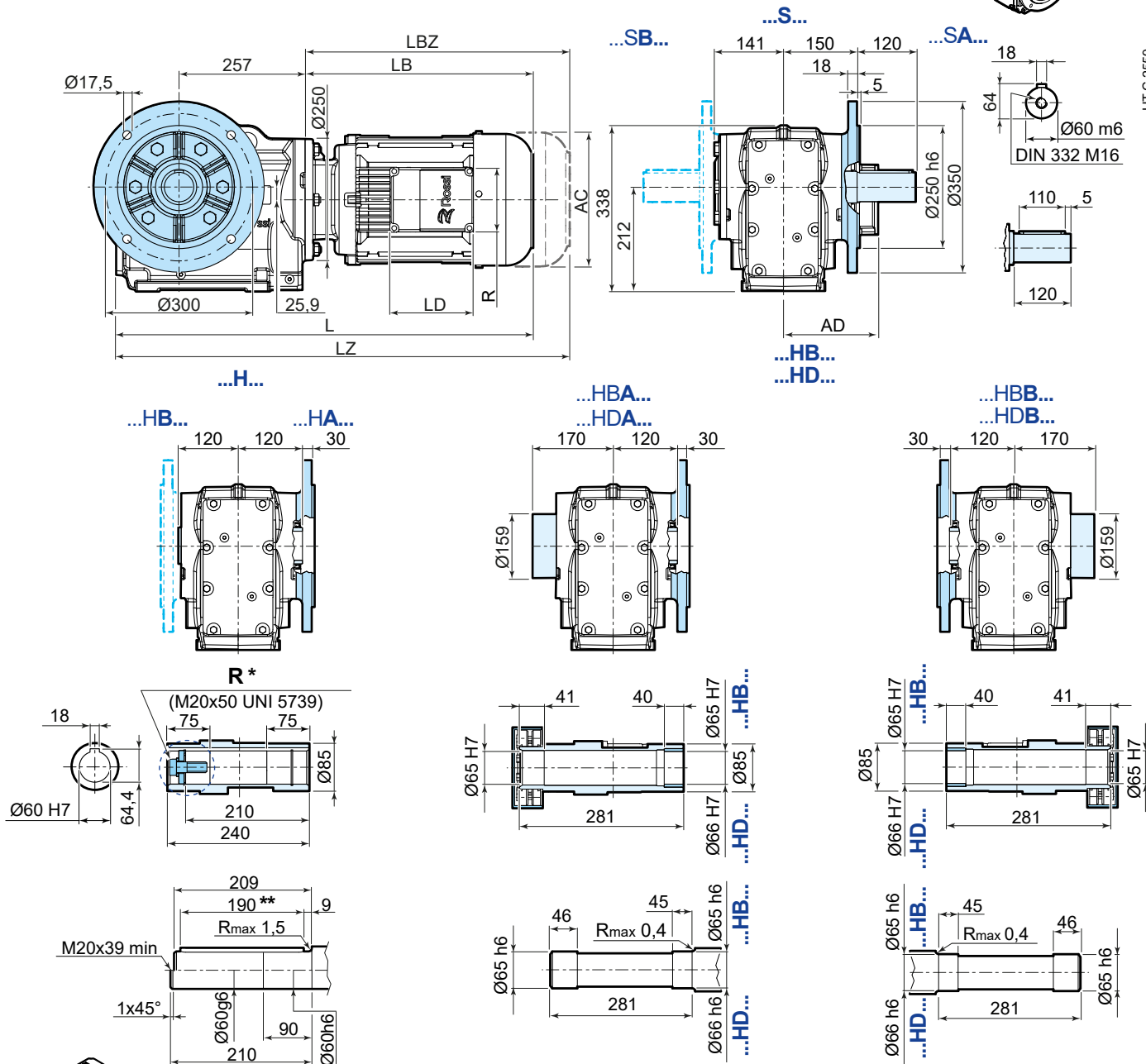
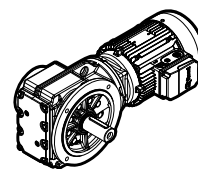
³⁾ per motore HB3-HB3Z 132SB 2, HB3-HB3Z 132SC 2, HB3-HB3Z 132S 4 quote come grand. motore 132M

Per dettagli lato macchina **A** e **B** ved. pag. 39

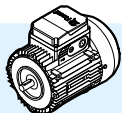
* opzioni a richiesta

** entrambe le versioni con linguetta

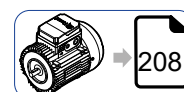
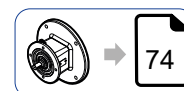
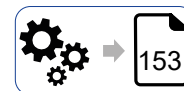
iO 873 FE...F835



UT.C 2559



	63	71	80	90S ²⁾	90L	100	112	132S ³⁾	132M
AC	123	138	156	176	176	194	218	257	257
AD	95	112	121	141	141	151	163	194	194
LB	199	225	254	276	306	339	377	433	493
LBZ	254	287	323	355	385	434	476	541	601
L ¹⁾	586	612	641	663	693	726	764	820	880
LZ ¹⁾	641	674	710	742	772	821	863	928	988
LD	103	103	103	136	136	136	136	190	190
R	86	86	86	106	106	106	106	148	148



¹⁾ vedere anche pag. 80/81

²⁾ per motore HB3-HB3Z 90S 2, HB3-HB3Z 90S 4 quote come grand. motore 90L

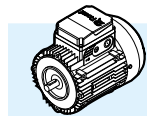
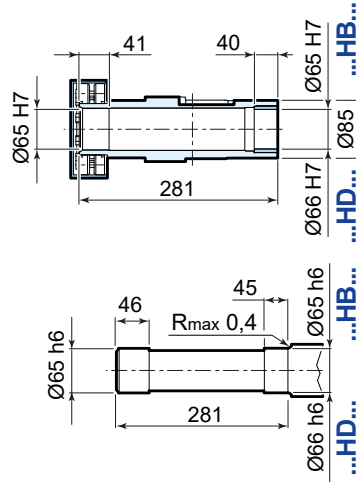
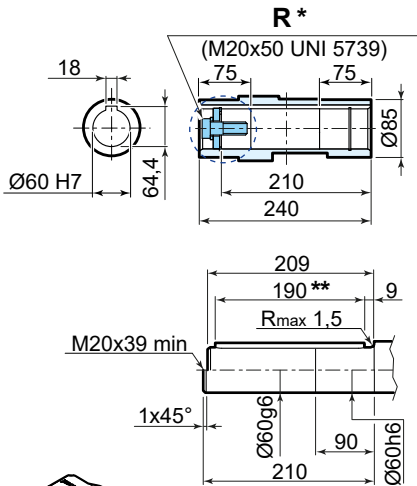
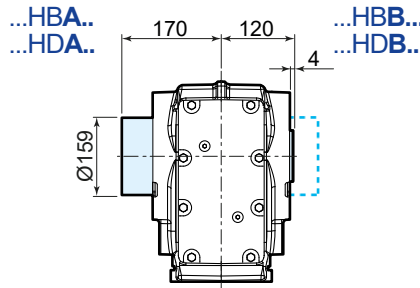
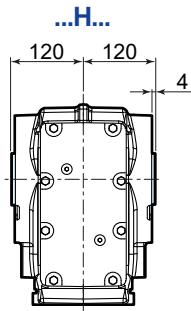
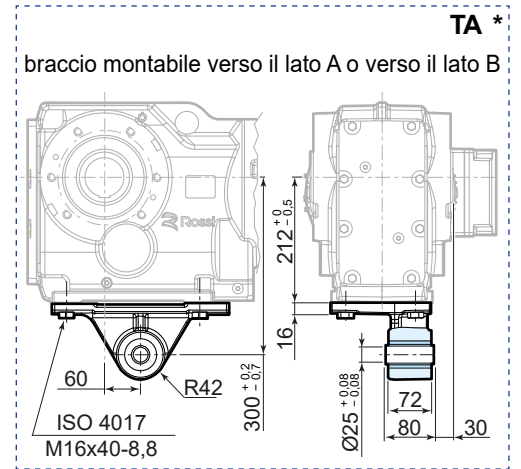
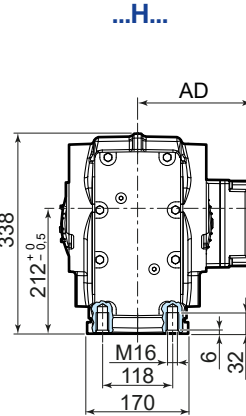
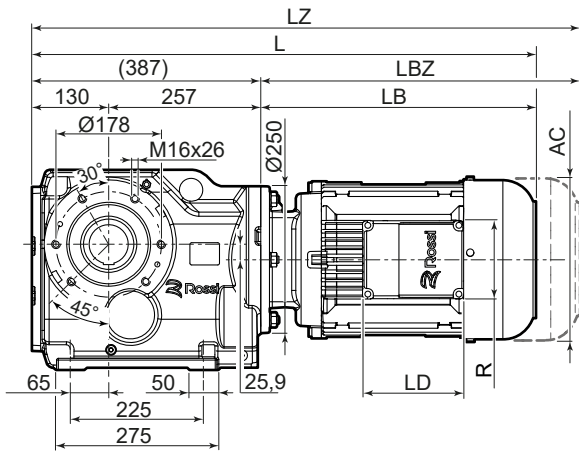
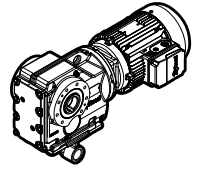
³⁾ per motore HB3-HB3Z 132SB 2, HB3-HB3Z 132SC 2, HB3-HB3Z 132S 4 quote come grand. motore 132M

Per dettagli lato macchina A e B ved. pag. 39

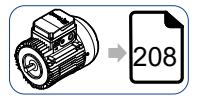
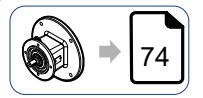
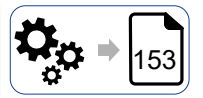
^{*} opzioni a richiesta

^{**} entrambe le versioni con linguetta

iO 873 SE



	63	71	80	90S ²⁾	90L	100	112	132S ³⁾	132M
AC	123	138	156	176	176	194	218	257	257
AD	95	112	121	141	141	151	163	194	194
LB	199	225	254	276	306	339	377	433	493
LBZ	254	287	323	355	385	434	476	541	601
L ¹⁾	586	612	641	663	693	726	764	820	880
LZ ¹⁾	641	674	710	742	772	821	863	928	988
LD	103	103	103	136	136	136	136	190	190
R	86	86	86	106	106	106	106	148	148



¹⁾ vedere anche pag. 80/81

²⁾ per motore HB3-HB3Z 90S 2, HB3-HB3Z 90S 4 quote come grand. motore 90L

³⁾ per motore HB3-HB3Z 132SB 2, HB3-HB3Z 132SC 2, HB3-HB3Z 132S 4 quote come grand. motore 132M

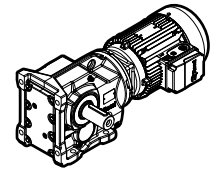
Per dettagli lato macchina **A** e **B** ved. pag. 39

^{*} opzioni a richiesta

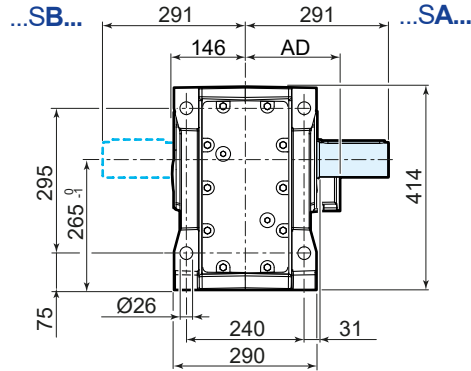
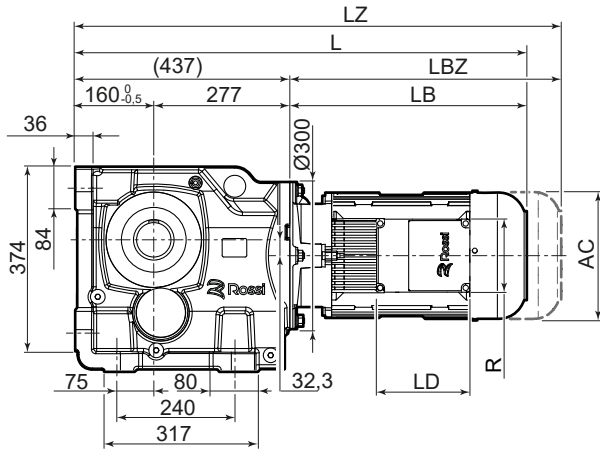
^{**} entrambe le versioni con linguetta

12.7

iO 973 PE

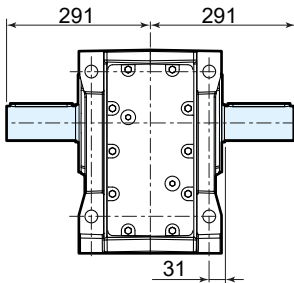


...S...

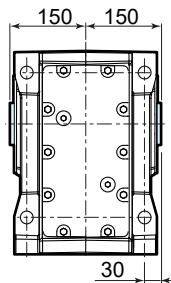


UT.C 2561

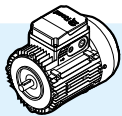
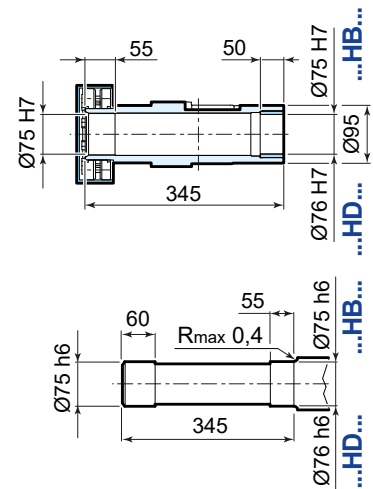
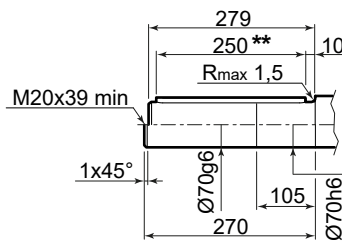
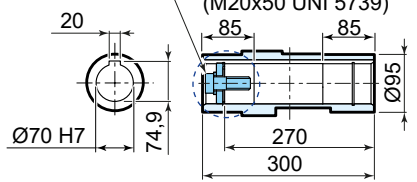
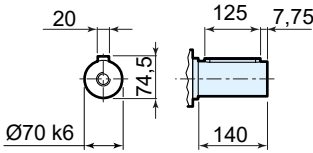
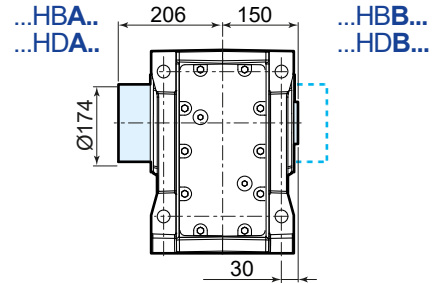
...SS...



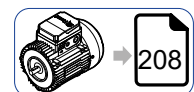
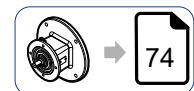
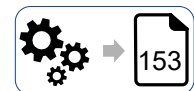
...H...



...HB...



	63	71	80	90S ²⁾	90L	100	112	132S ³⁾	132M
AC	123	138	156	176	176	194	218	257	257
AD	95	112	121	141	141	151	163	194	194
LB	199	225	254	276	306	339	377	433	493
LBZ	254	287	323	355	385	434	476	541	601
L ¹⁾	636	662	691	713	743	776	814	870	930
LZ ¹⁾	691	724	760	792	822	871	913	978	1038
LD	103	103	103	136	136	136	136	190	190
R	86	86	86	106	106	106	106	148	148



¹⁾ vedere anche pag. 80/81

²⁾ per motore HB3-HB3Z 90S 2, HB3-HB3Z 90S 4 quote come grand. motore 90L

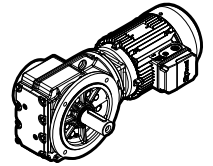
³⁾ per motore HB3-HB3Z 132SB 2, HB3-HB3Z 132SC 2, HB3-HB3Z 132S 4 quote come grand. motore 132M

Per dettagli lato macchina **A** e **B** ved. pag. 39

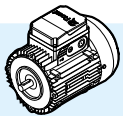
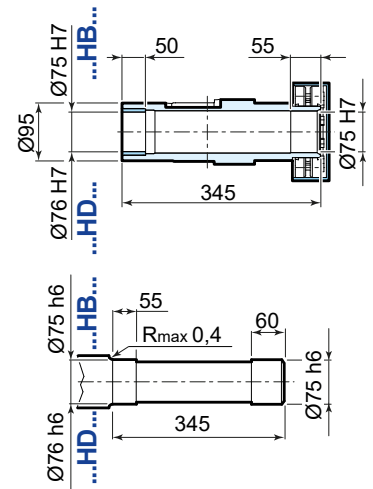
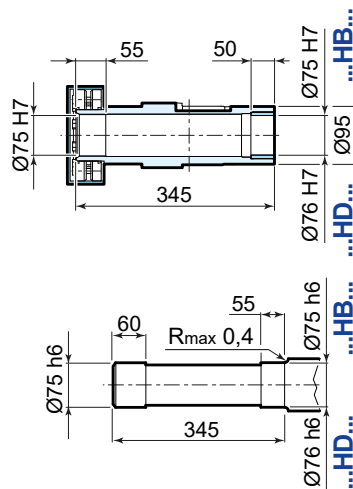
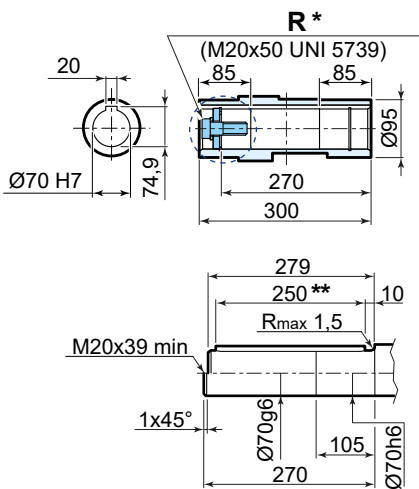
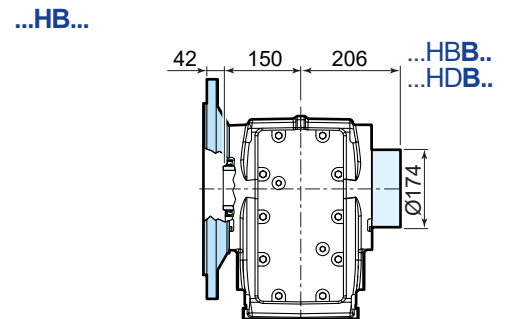
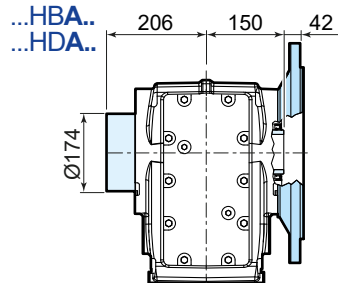
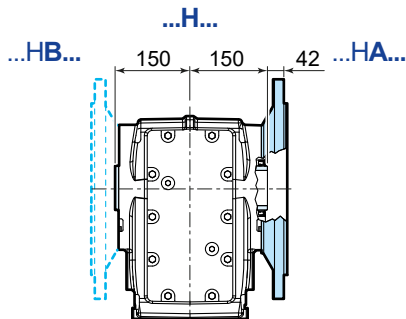
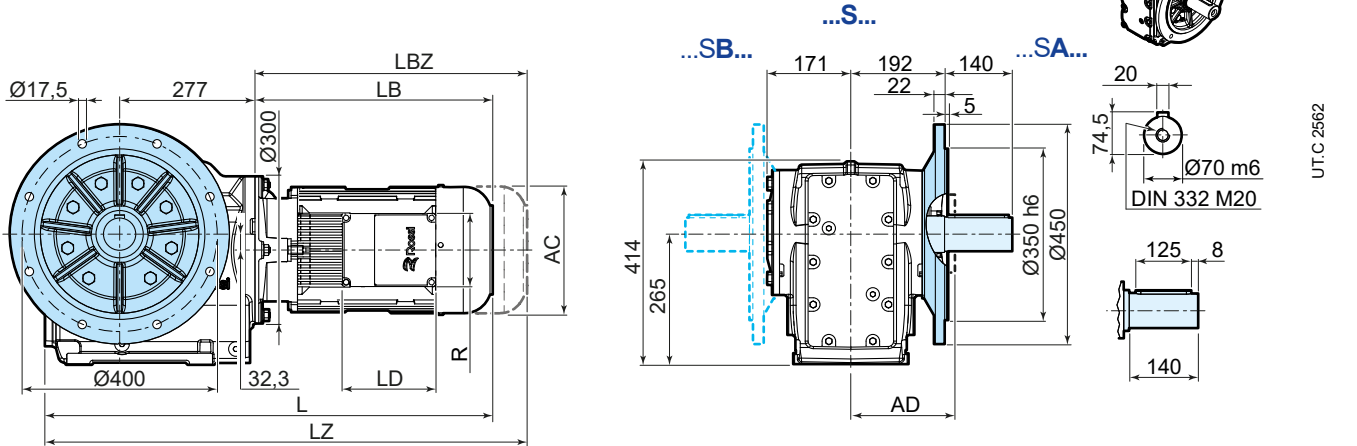
* opzioni a richiesta

** entrambe le versioni con linguetta

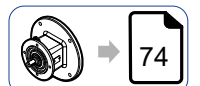
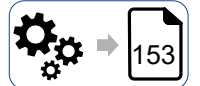
iO 973 FE...F945



UT.C 2562



	63	71	80	90S ²⁾	90L	100	112	132S ³⁾	132M
AC	123	138	156	176	176	194	218	257	257
AD	95	112	121	141	141	151	163	194	194
LB	199	225	254	276	306	339	377	433	493
LBZ	254	287	323	355	385	434	476	541	601
L ¹⁾	629	655	684	706	736	769	807	863	923
LZ ¹⁾	684	717	753	785	815	864	906	971	1031
LD	103	103	103	136	136	136	136	190	190
R	86	86	86	106	106	106	106	148	148



¹⁾ vedere anche pag. 80/81

²⁾ per motore HB3-HB3Z 90S 2, HB3-HB3Z 90S 4 quote come grand. motore 90L

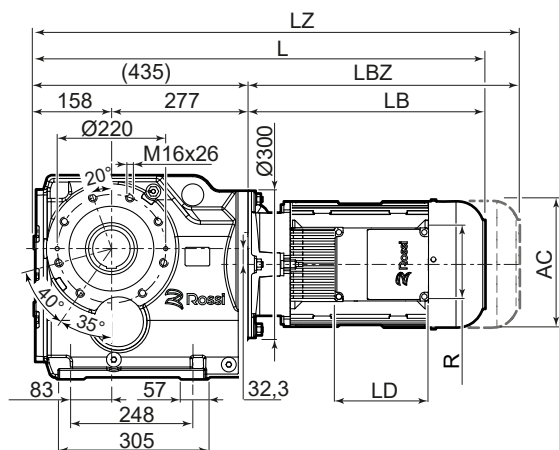
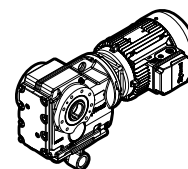
³⁾ per motore HB3-HB3Z 132SB 2, HB3-HB3Z 132SC 2, HB3-HB3Z 132S 4 quote come grand. motore 132M

Per dettagli lato macchina **A** e **B** ved. pag. 39

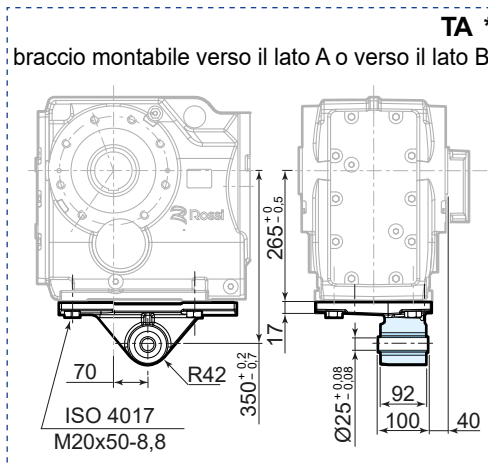
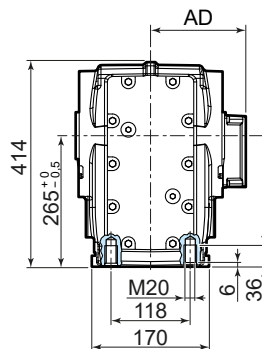
^{*} opzioni a richiesta

^{**} entrambe le versioni con linguetta

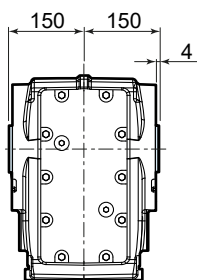
iO 973 SE



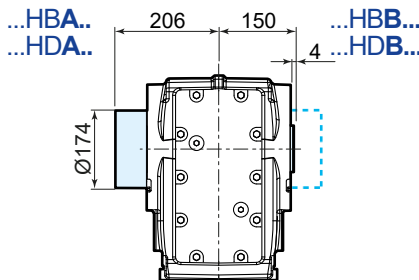
...H...



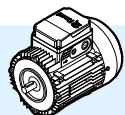
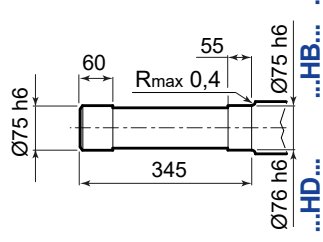
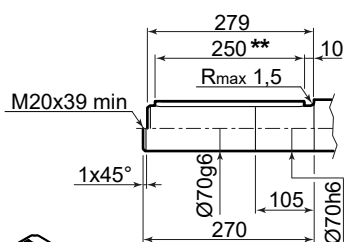
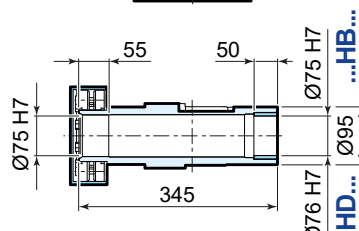
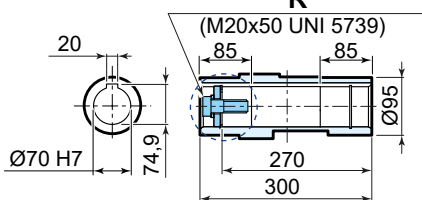
...H...



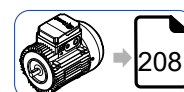
...HB...



R *



	63	71	80	90S ²⁾	90L	100	112	132S ³⁾	132M
AC	123	138	156	176	176	194	218	257	257
AD	95	112	121	141	141	151	163	194	194
LB	199	225	254	276	306	339	377	433	493
LBZ	254	287	323	355	385	434	476	541	601
L ¹⁾	634	660	689	711	741	774	812	868	928
LZ ¹⁾	689	722	758	790	820	869	911	976	1036
LD	103	103	103	136	136	136	136	190	190
R	86	86	86	106	106	106	106	148	148



¹⁾ vedere anche pag. 80/81

²⁾ per motore HB3-HB3Z 90S 2, HB3-HB3Z 90S 4 quote come grand. motore 90L

³⁾ per motore HB3-HB3Z 132SB 2, HB3-HB3Z 132SC 2, HB3-HB3Z 132S 4 quote come grand. motore 132M

Per dettagli lato macchina A e B ved. pag. 39

* opzioni a richiesta

** entrambe le versioni con linguetta

pagina lasciata intenzionalmente vuota

Motore compatto trifase HB e autofrenante HBZ

Indice di sezione

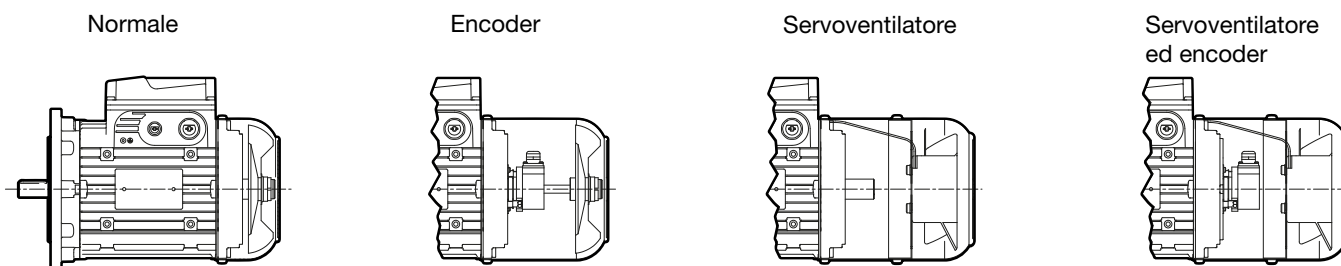
13.1	Motore compatto asincrono trifase HB	210
13.1.1	Caratteristiche generali	210
13.2	Dati tecnici motore compatto asincrono trifase HB	212
13.3	Motore compatto asincrono trifase autofrenante HBZ	215
13.3.1	Caratteristiche generali	215
13.3.2	Caratteristiche freno	217
13.4	Dati tecnici motore compatto asincrono trifase autofrenante HBZ	219

13.1

Motore compatto asincrono trifase HB

13.1.1 Caratteristiche generali

- **classe isolamento F**, classe sovratemperatura B;
- **tolleranze di accoppiamento in classe “precisa”**;
- **protezione IP 55**;
- **idoneità al funzionamento con inverter**;
- **motore elettrico** asincrono trifase con rotore a gabbia, chiuso, ventilato esternamente (metodo di raffreddamento IC 411 con ventola di raffreddamento calettata sull'albero motore);
- **singola polarità** a 2, 4 o 6 poli;
- **costruzione** (elettrica e meccanica) **particolarmente robusta**; cuscinetti adeguatamente dimensionati;
- **dimensionamento elettromagnetico “generoso”** per avere margini di sicurezza, buona capacità di accelerazione (elevata frequenza di avviamento) e buona regolarità di avviamento (curve caratteristiche poco “insellate”);
- **scatola morsettiera metallica**;
- **ampia disponibilità di esecuzioni** per ogni esigenza (servoventilatore, servoventilatore ed encoder, protezioni superiori a IP 55, ecc.).



UTC 1374

Potenza resa in servizio continuo (S1) riferita a tensione e frequenza nominali; temperatura ambiente $-15 \div 40$ °C e altitudine di 1000 m.

Carcassa motore di lega leggera pressofusa.

Flangia lato comando e scudo lato opposto comando di ghisa o di lega leggera.

Scudi e flange con attacchi di serraggio “in appoggio” e montati sulla carcassa con accoppiamento “stretto”.

Cuscinetti volventi a sfere lubrificati “a vita” in assenza di inquinamento dall'esterno; molla di precarico.

Albero motore bloccato assialmente lato comando.

Foro posteriore filettato di estrazione di serie per grandezze $\geq 90 \dots 132$.

Copriventola di lamiera d'acciaio.

Ventola di raffreddamento a pale radiali in materiale termoplastico.

Scatola morsettiera di lega leggera (solidale con la carcassa con accesso cavi bilaterale a frattura prestabilita, due predisposizioni per parte di cui uno per cavo di potenza e uno per dispositivi ausiliari).

Posizione laterale a sinistra vista dal lato opposto comando (pos. TB0 vedere pag 40); a richiesta altre posizioni.

Coprimorsettiera di lega leggera pressofusa.

Morsettiera a 6 morsetti (9 morsetti per tensione di alimentazione YY230 Y460 60 Hz).

Morsetto di terra all'interno della scatola morsettiera; predisposizione per il montaggio di due ulteriori morsetti di terra esterni sulla carcassa.

Rotore a gabbia pressofuso di alluminio.

Avvolgimento statorico con filo di rame in classe isolamento H, isolato con doppio smalto, sistema di impregnazione con resina in classe H; gli altri materiali sono in classe F e H per un sistema isolante in classe F.

Materiali e tipo di impregnazione consentono l'impiego in clima tropicale senza ulteriori trattamenti.

Equilibratura dinamica rotore: intensità di vibrazione secondo la classe normale A. I motori sono equilibrati con mezza linguetta inserita nella estremità d'albero.

Verniciatura con smalto acrilico bicomponente all'acqua, colore blu RAL 5010 DIN 1843, idonea a resistere ai normali ambienti industriali (classe di corrosività C3 ISO 12944-2).

Per esecuzioni speciali ed accessori vedere pag. 41.

13.2

Dati tecnici motore compatto asincrono trifase HB

2 poli - 3000 min⁻¹


IP 55

IC 411

Classe di isolamento F

Classe di sovratemperatura B

IE3
400 V - 50Hz
ErP

P_N kW	Motore	n_N min ⁻¹	M_N N m	I_N A 400 V	$\cos \varphi$	η IE3 IEC 60034-2-1			M_s / M_N	M_{max} / M_N	I_s / I_N	J_0 kg m ²	z_0 avv./h		
						100%	75%	50%							
1,1	HB3 80 B	2	2875	3,7	2,3	0,84	82,7	83,2	81	3,9	3,9	7,7	0,0013	2500	11,6
1,5	HB3 90 S	2	2890	4,97	2,9	0,88	84,2	84,5	83,3	3,3	3,6	7,9	0,0019	1800	16
2,2	HB3 90 LA	2	2890	7,3	4,4	0,85	85,9	86,2	85,1	3,9	4,4	8,4	0,0023	1600	18
3	HB3 100 LA	2	2930	9,8	6,2	0,80	87,1	87,2	85,2	4,2	5,1	10,1	0,0044	1500	24
4	HB3 112 M	2	2940	13	7,6	0,87	88,1	88,2	86,7	2,8	4,2	9,8	0,0074	1400	33
5,5	HB3 132 S	2	2960	17,8	10,4	0,85	89,2	88,6	85,6	5,2	6,1	12,7	0,0174	710	53
7,5	HB3 132 SB	2	2960	24,3	14	0,85	90,1	89,9	87,3	5,7	6,5	13,6	0,0215	710	61,5

4 poli - 1500 min⁻¹


IP 55

IC 411

Classe di isolamento F

Classe di sovratemperatura B

IE2
400 V - 50Hz
ErP

P_N kW	Motore			n_N min ⁻¹	M_N N m	I_N A 400 V	$\cos \varphi$	η IE2 IEC 60034-2-1			M_S / M_N	M_{max} / M_N	I_S / I_N	J_0 kg m ²	z_0 avv./h	
								100%	75%	50%						
0,12	HB2	63 A	4	1370	0,84	0,52	0,61	55	52,2	48,5	2,2	2,5	2,7	0,0002	12500	3,9
0,18	HB2	63 B	4	1360	1,26	0,7	0,63	58,9	56,1	50	2,1	2,3	2,8	0,0003	12500	4,5
0,25	HB2	71 A	4	1400	1,71	0,8	0,68	66,7	66	60,4	2,2	2,5	3,6	0,0007	10000	5,7
0,37	HB2	71 B	4	1400	2,52	1,1	0,68	71,4	70,9	67,8	2,5	2,8	4	0,0009	10000	6,6
0,55	HB2	80 A	4	1405	3,74	1,38	0,78	73,8	74	70,1	2,5	3,58	4,9	0,0019	8000	7,6

4 poli - 1500 min⁻¹


IP 55

IC 411

Classe di isolamento F

Classe di sovratemperatura B

IE3
400 V - 50Hz
ErP

P_N kW	Motore			n_N min ⁻¹	M_N N m	I_N A 400 V	$\cos \varphi$	η IE3 IEC 60034-2-1			M_S / M_N	M_{max} / M_N	I_S / I_N	J_0 kg m ²	z_0 avv./h	
								100%	75%	50%						
0,75	HB3	80 B	4	1410	5,1	2	0,67	82,5	82,2	80,1	3,2	3,3	5,3	0,0018	6800	12
1,1	HB3	90 S	4	1420	7,4	2,4	0,80	84,1	84,8	83,6	3,0	3,5	6,4	0,0041	3150	18,5
1,5	HB3	90 L	4	1430	10,1	3,3	0,78	85,3	86,1	85	3,1	3,7	6,7	0,0043	3000	19
2,2	HB3	100 LA	4	1440	14,6	4,8	0,76	86,7	87,2	85,5	3,5	4,4	7,4	0,0076	3000	26
3 ⁽¹⁾	HB3	112 MA	4	1450	19,8	6,1	0,80	88,7	88,6	87,3	3,5	4,4	8,8	0,013	2000	33
4	HB3	112 M	4	1450	26,3	8,5	0,77	88,6	89,2	88	3,7	4,6	9,0	0,014	1800	35
5,5	HB3	132 S	4	1470	35,8	12	0,74	89,6	89,5	87,6	4,5	5,0	9,1	0,0357	900	58
7,5	HB3	132 M	4	1460	49	15,2	0,79	90,4	90,4	89,6	3,9	4,2	8,4	0,0432	900	66
9,2 ⁽¹⁾	HB3	132 MB	4	1460	60,2	19,2	0,76	91	90,8	90,1	4,0	4,1	8,5	0,0448	800	68,5

⁽¹⁾ Potenza non normalizzata per la corrispondente grandezza motore

6 poli - 1000 min⁻¹


IP 55

IC 411

Classe di isolamento F

Classe di sovratemperatura B

IE2
400 V - 50Hz
ErP

P_N kW	Motore	n_N min ⁻¹	M_N N m	I_N A 400 V	$\cos \varphi$	η IE2 IEC 60034-2-1			M_S / M_N	M_{max} / M_N	I_S / I_N	J_0 kg m ²	z_0 avv./h	
						100%	75%	50%						
0,12	HB2 63 B 6	910	1,26	0,57	0,57	53,7	49,5	41,1	2,7	2,8	2,5	0,0005	12500	4,5
0,18	HB2 71 A 6	910	1,89	0,62	0,68	61,6	59,8	51,9	2,4	2,5	3,2	0,0009	12500	6
0,25	HB2 71 B 6	900	2,65	0,85	0,68	62,4	60,7	54	2,5	2,6	3,2	0,0012	11200	6,8
0,37	HB2 80 A 6	930	3,8	1,2	0,67	66,8	65,4	58,4	2,5	2,6	3,6	0,0019	9500	8
0,55	HB2 80 B 6	920	5,7	1,68	0,68	69,8	69,7	64,9	2,5	2,6	3,7	0,0025	9000	9,6

6 poli - 1000 min⁻¹


IP 55

IC 411

Classe di isolamento F

Classe di sovratemperatura B

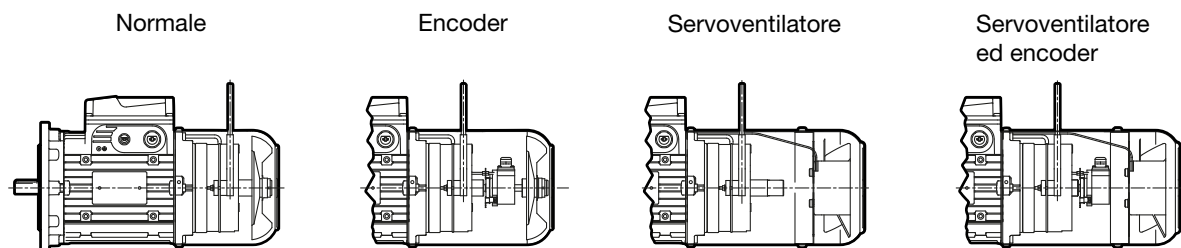
IE3
400 V - 50Hz
ErP

P_N kW	Motore	n_N min ⁻¹	M_N N m	I_N A 400 V	$\cos \varphi$	η IE3 IEC 60034-2-1			M_S / M_N	M_{max} / M_N	I_S / I_N	J_0 kg m ²	z_0 avv./h	
						100%	75%	50%						
0,75	HB3 90 S 6	930	7,7	2	0,72	78,9	76	73	2,1	2,9	4,9	0,0056	6000	15,5
1,1	HB3 90 L 6	930	11,3	2,8	0,72	81	79	77	2,6	3	5,1	0,0071	5600	19,5
1,5	HB3 100 LA 6	950	15,1	3,5	0,75	82,5	82,4	80,4	2,5	3,4	6,5	0,013	3000	26
2,2	HB3 112 M 6	960	21,9	5,1	0,73	84,3	85	83,2	2,3	3,5	6,9	0,0202	2800	33
3	HB3 132 S 6	970	29,5	6,9	0,72	85,6	88	86,3	2,4	3,8	7,6	0,0435	1400	54

Motore compatto asincrono trifase autofrenante HBZ

11.3.1 Caratteristiche generali

- **classe isolamento F**, classe sovratemperatura B;
- **tolleranze di accoppiamento in classe "precisa"**;
- **protezione IP 55**;
- **idoneità al funzionamento con inverter**;
- **motore elettrico asincrono trifase autofrenante con freno a c.c.** (freno a mancanza di alimentazione) a **doppia superficie frenante con momento frenante proporzionato al momento motore** (normalmente $M_f \approx 2 M_N$);
- **singola polarità** a 2, 4 o 6, poli;
- **costruzione** (elettrica e meccanica) **particolarmente robusta** per sopportare le sollecitazioni termiche e torsionali alterne di avviamento e di frenatura; cuscinetti adeguatamente dimensionati;
- **dimensionamento elettromagnetico opportunamente studiato** per consentire elevata capacità di accelerazione (elevata frequenza di avviamento) e buona regolarità di avviamento;
- **scatola morsettiera ampia e metallica**, raddrizzatore multitemperatura, unica bobina freno, per **tensione sempre coordinata** con quella del motore (sia Δ sia Y);
- **massima silenziosità e progressività di intervento** (sia all'avviamento che in frenata) grazie alla minore rapidità (tipica del freno a c.c.) dell'ancora (più leggera e meno veloce nell'impatto): il motore parte leggermente frenato quindi con maggiore progressività; buona rapidità di sblocco e frenatura; possibilità di accentuare la rapidità alla frenata, con apertura dell'alimentazione del lato c.c.;
- **elevata capacità di lavoro di frenatura**;
- **ampia disponibilità di esecuzioni** per ogni esigenza (servoventilatore, servoventilatore ed encoder, protezioni superiori a IP 55, ecc.);
- **particolarmente idoneo** a impieghi nei quali sono richiesti **frenate e avviamenti regolari e silenziosi** e, al tempo stesso, frenatura con buona rapidità e precisione e numero elevato di interventi.



U.T.C 1383

Curve caratteristiche "momento torcente-velocità" opportunamente ottimizzate per la movimentazione (traslazione orizzontale e verticale, rotazione) poco "insellate", senza picchi nella zona ipersincrona e con valore medio adeguatamente dosato.

Potenza resa in servizio continuo (S1) riferita a tensione e frequenza nominali; temperatura ambiente $-15 \div 40$ °C e altitudine di 1000 m.

Carcassa di lega leggera pressofusa.

Flangia lato comando e scudo lato opposto comando di ghisa o di lega leggera.

Scudi e flange con attacchi di serraggio "in appoggio" e montati sulla carcassa con accoppiamento "stretto".

Cuscinetti volventi a sfere lubrificati "a vita" in assenza di inquinamento dall'esterno; molla di precarico.

Albero motore di acciaio bloccato assialmente sullo scudo lato comando.

Foro posteriore filettato di estrazione.

Copriventola di lamiera d'acciaio.

Ventola di raffreddamento a pale radiali di materiale termoplastico.

Scatola morsettiera di lega leggera (solidale con la carcassa con accesso cavi bilaterale a frattura prestabilita, due predisposizioni per parte di cui uno per cavo di potenza e uno per dispositivi ausiliari). Posizione laterale a sinistra vista dal lato opposto comando (pos. TB0 vedere pag. 40); a richiesta altre posizioni.

Coprimorsettiera di lega leggera pressofusa.

Morsettiera a 6 morsetti (9 morsetti per tensione di alimentazione YY230 Y460 60 Hz).

Morsetto di terra all'interno della scatola morsettiera; predisposizione per il montaggio di due ulteriori morsetti di terra esterni sulla carcassa.

Alimentazione freno: con raddrizzatore fissato alla scatola morsettiera con 2 morsetti per capicorda per alimentazione raddrizzatore, 2 per contatto esterno di frenatura rapida; possibilità di alimentazione del freno sia **direttamente dalla morsettiera** motore sia da **linea separata** (da utilizzare per: motori alimentati con inverter, esigenze di comando separato di motore e freno, ecc.). Il freno può restare alimentato, anche a motore fermo, per un tempo illimitato.

Rotore a gabbia pressofuso di alluminio.

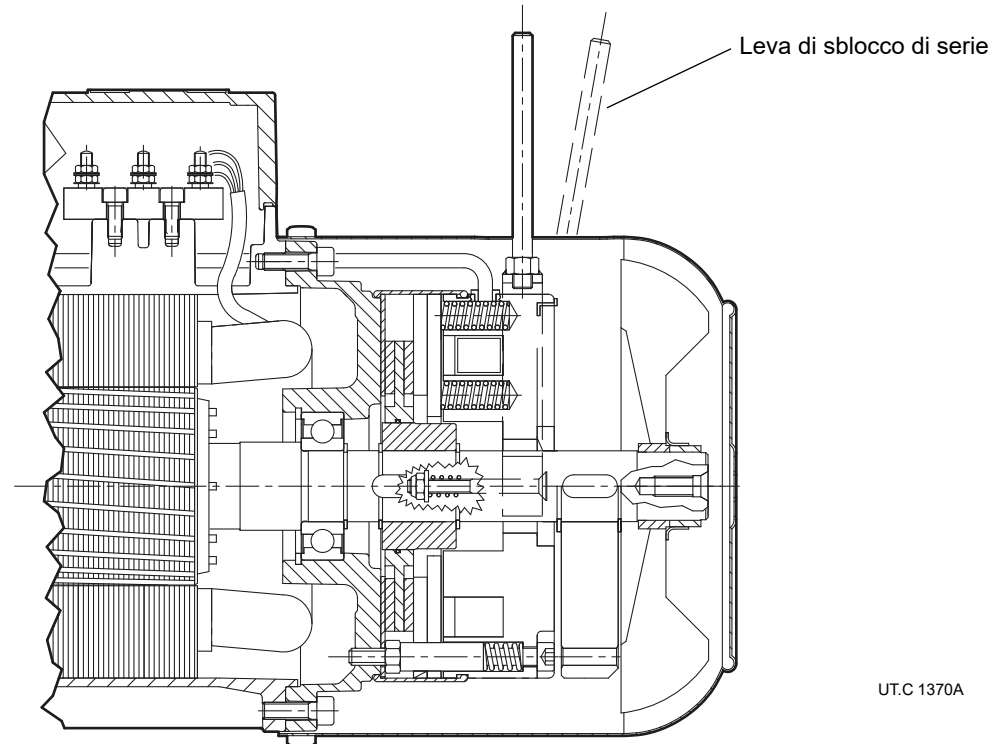
Avvolgimento statorico con filo di rame in classe isolamento H, isolato con doppio smalto, sistema di impregnazione con resina in classe H; gli altri materiali sono in classe F e H per un sistema isolante in classe F.

Equilibratura dinamica rotore: intensità di vibrazione secondo la classe normale A. I motori sono equilibrati con mezza linguetta inserita nella estremità d'albero.

Verniciatura con smalto acrilico bicomponente all'acqua, colore blu RAL 5010 DIN 1843, idonea a resistere ai normali ambienti industriali (classe di corrosività C3 ISO 12944-2)

Per **esecuzioni speciali** ed accessori vedere pag. 41.

13.3.2 Caratteristiche freno



Freno elettromagnetico a molle (frenatura in assenza di alimentazione), con bobina toroidale a **corrente continua**, doppia superficie frenante, momento frenante proporzionato al momento torcente del motore (normalmente $M_f \approx 2 M_N$). Concepito per la **massima silenziosità e progressività di intervento** (sia all'avviamento che in frenatura grazie alla minore rapidità, tipica del freno a c.c., dell'ancora freno, più leggera e meno veloce nell'impatto: il motore parte leggermente frenato quindi con maggiore progressività) accompagnate da **buona rapidità di sblocco e frenatura**; possibilità di accentuare la rapidità, sia allo sblocco (con il raddrizzatore rapido) sia alla frenata, con apertura dell'alimentazione dal lato c.c.; capacità di lavoro elevata.

Ampia disponibilità di esecuzioni speciali (encoder, servomotori, servomotori ed encoder, seconda estremità d'albero, ecc.).

Particolarmente idoneo a impieghi nei quali sono richiesti frenature e avviamenti regolari e silenziosi e, al tempo stesso, frenature con buona rapidità e precisione e numero elevato di interventi.

Quando l'elettromagnete non è alimentato, l'ancora freno, spinta dalle molle, preme il disco freno sullo scudo posteriore generando il momento frenante sul disco freno stesso e conseguentemente sull'albero motore sul quale è calettato; alimentando il freno l'elettromagnete attrae verso di sé l'ancora freno, liberando il disco freno e l'albero motore.

Caratteristiche principali:

- **raddrizzatore multitemperatura** (di serie), appositamente progettato per la gestione di un'unica **bobina freno** con tensione di alimentazione sempre coordinata con la tensione standard del motore HBZ ($\Delta 230 Y400 V \pm 5\% 50 Hz$ e corrispondentemente anche $\Delta 277 Y480 V \pm 5\% 60 Hz$); **altre tensioni** a richiesta;
- **alimentazione del raddrizzatore direttamente da morsettiera motore** o indifferentemente da **linea separata**;
- **momento frenante** registrabile cambiando il numero delle molle;
- **classe isolamento F**, sovratemperatura classe B;
- **disco freno** scorrevole sul mozzo trascinatore: con anima d'acciaio e doppia guarnizione d'attrito a medio coefficiente d'attrito per bassa usura;
- **ancora freno in due parti** per maggiore rapidità di funzionamento e silenziosità;
- **guaina antipolvere ed antiacqua e V-ring** sia per impedire l'entrata di inquinamento dall'esterno verso il freno sia per evitare che la polvere di usura della guarnizione di attrito venga dispersa nell'ambiente;
- **leva di sblocco manuale con ritorno automatico (di serie)** e asta della leva asportabile; posizione leva di sblocco corrispondente alla scatola morsettiera; a richiesta, altre posizioni possibili. Contattare Rossi S.p.A.;
- **altre caratteristiche funzionali** vedere tabella seguente.

Per **esecuzioni speciali** ed accessori vedere pag 41.

Il motore è sempre **equipaggiato con raddrizzatore a elevata affidabilità** fissato a scatola morsettiera e provvisto di adeguati morsetti di collegamento (2 per alimentazione raddrizzatore diretta da morsettiera motore oppure separata; 2 per contatto esterno di frenatura rapida).

I raddrizzatori multitemperatura **RM1⁽¹⁾** (fornito di serie per freni 12 ... 14) e **RM2⁽¹⁾** (fornito di serie per freni 05 ... 07) sono dispositivi di alimentazione c.a./c.c. con ponte controllato a onda intera in grado di **fornire in uscita un valore costante di tensione indipendentemente dalla tensione di ingresso.**

Il freno a c.c. è idoneo ad essere alimentato

range 110 ÷ 440 V a.c. (per grandezze freno 12 ÷ 15)
range 200 ÷ 440 V a.c. (per grandezze freno 06S ... 07)

senza dover cambiare la bobina e pertanto è anche sempre coordinato con entrambe le tensioni del motore.

Nel range d'alimentazione 200 ÷ 440 V c.a., il raddrizzatore ha inoltre integrata la funzione di speed-up (per circa i 400 ms iniziali viene fornita alla bobina freno una tensione superiore alla nominale, consentendo uno sblocco del freno più rapido).

Inoltre, rispetto a un raddrizzatore convenzionale, il multitemperatura permette anche di avere i seguenti vantaggi:

- maggiore costanza delle prestazioni del freno (essendo la tensione di uscita a un valore costante predefinito indipendente dalle fluttuazioni della tensione di alimentazione);
- minore tensione di mantenimento del freno (75 V c.c.) in stato di sblocco (minore consumo energetico, minore riscaldamento della bobina e ritardo di frenatura inferiore).

Entrambi i modelli di raddrizzatori (RM1, RM2) possono essere inseriti - disinseriti sia lato c.a. (per la massima silenziosità di funzionamento), sia lato c.a. e c.c. (per una maggior rapidità di frenatura), in quanto provvisti di varistori per la protezione dei diodi, dell'elettromagnete e del contatto di apertura lato c.c.

Principali caratteristiche funzionali freno

I valori effettivi possono discostarsi leggermente in funzione della temperatura e della umidità ambiente, della temperatura del freno e dello stato di usura delle guarnizioni di attrito.

Grandezza freno	Grandezza motore	M_r			Assorbimento			Ritardo di ⁽³⁾			Traferro		$W_1^{(6)}$	$C_{max}^{(7)}$	$W_{max}^{(8)}$		
		2 molle	4 molle	6 molle	V c.a.	A c.a. max	W	sblocco $t_1^{(4)}$	frenatura t_2	$t_2^{(5)}$ (c.c.)	mm min	mm max			frenature/h		
(2)		N m	N m	N m				ms	ms	ms			MJ/mm	mm	10	100	1000
BZ 12	RM1	63 71	1,75	3,5	-	110 ÷ 440	0,09	9	20	100	10	0,25 0,40	70	5	4500	1120	160
BZ 53,13	RM1	71 80	2,5	5	7,5	110 ÷ 440	0,14	12	32	120	10	0,25 0,40	90	5	5600	1400	200
BZ 04, 14	RM1	80 90	5	11	16	110 ÷ 440	0,20	16	45	150	10	0,30 0,45	125	5	7500	1900	265
BZ 05, 15	RM2	90 100 112	13	27	40	110 ÷ 440	0,26	24	63	220	15	0,30 0,45	160	5	10000	2500	355
BZ 06 S	RM2	112	25	50	75	200 ÷ 440	0,28	30	90	300	30	0,35 0,55	220	5	14000	3550	500
BZ 56	RM2	132 S	37	75	-	200 ÷ 440	0,28	50	90	224	20	0,35 0,55	224	4,5	14000	3550	500
BZ 06	RM2	132 S, M	50	100	-	200 ÷ 440	0,28	50	90	224	20	0,35 0,55	224	4,5	14000	3550	500
BZ 07	RM2	132 MB	50	100	150	200 ÷ 440	0,34	65	125	280	25	0,40 0,60	315	4,5	20000	5000	710

⁽¹⁾ I raddrizzatori multitemperatura RM1 e RM2 sono dispositivi brevettati.

⁽²⁾ Raddrizzatore standard, fornito di serie; il tempo di sosta deve essere compreso tra 2,5 s ÷ 3,5 s. All'occorrenza, contattare Rossi S.p.A.

⁽³⁾ Valori validi con M_{rmax} , traferro medio e valore nominale della tensione di alimentazione.

⁽⁴⁾ Tempo di sblocco freno ottenuto con raddrizzatore di serie e, per RM1, con tensione di alimentazione 200 V c.a..

⁽⁵⁾ Ritardo di frenatura ottenuto con alimentazione separata del freno e disinserimento dal lato c.a. del raddrizzatore (t_2) o dal lato c.a. e c.c. (t_2 c.c.).

Con alimentazione diretta da morsettiera motore, i valori di t_2 aumentano di circa 2,5 volte quelli indicati in tabella.

⁽⁶⁾ Lavoro di attrito per usura disco freno di 1 mm. (valore minimo per impiego gravoso, il valore reale è normalmente superiore).

⁽⁷⁾ Massimo consumo del disco freno.

⁽⁸⁾ Massimo lavoro di attrito per ogni frenatura.

Dati tecnici motore compatto asincrono trifase autofrenante HBZ

2 poli - 3000 min⁻¹


IP55

IC411

Classe di isolamento F

Classe di sovratemperatura B

IE3
400 V - 50Hz
ErP

P_N kW	Motore	n_N min ⁻¹	M_N N m	I_N A 400V	$\cos \varphi$	η IE3 IEC 60034-2-1			M_S / M_N	M_{max} / M_N	I_S / I_N	J_0 kg m ²	Freno	M_f N m	z_0 avv./h		
						100%	75%	50%									
1,1	HB3Z 80 B	2	2875	3,7	2,3	0,84	82,7	83,2	81	3,9	3,9	7,7	0,0015	BZ04	11	2500	15,5
1,5	HB3Z 90 S	2	2890	4,97	2,9	0,88	84,2	84,5	83,3	3,3	3,6	7,9	0,0021	BZ14	11	1800	20
2,2	HB3Z 90 LA	2	2890	7,3	4,4	0,85	85,9	86,2	85,1	3,9	4,4	8,4	0,0027	BZ05	27	1600	24
3	HB3Z 100 LA	2	2930	9,8	6,2	0,80	87,1	87,2	85,2	4,2	5,1	10,1	0,0048	BZ15	27	1500	30
4	HB3Z 112 M	2	2940	13	7,6	0,87	88,1	88,2	86,7	2,8	4,2	9,8	0,0078	BZ15	27	1400	39
5,5	HB3Z 132 S	2	2960	17,8	10,4	0,85	89,2	88,6	85,6	5,2	6,1	12,7	0,0184	BZ06	50	710	64
7,5	HB3Z 132 SB	2	2960	24,3	14	0,85	90,1	89,9	87,3	5,7	6,5	13,6	0,0225	BZ06	50	710	72,5

4 poli - 1500 min⁻¹


IP55

IC411

Classe di isolamento F

Classe di sovratemperatura B

IE2
400 V - 50Hz
ErP

P_N kW	Motore	n_N min ⁻¹	M_N N m	I_N A 400V	$\cos \varphi$	η IE2 IEC 60034-2-1			M_S / M_N	M_{max} / M_N	I_S / I_N	J_0 kg m ²	Freno	M_f N m	z_0 avv./h	
						100%	75%	50%								
0,12	HB2Z 63 A 4	1370	0,84	0,52	0,61	55	52,2	48,5	2,2	2,5	2,7	0,0003	BZ12	1,75	12500	5,7
0,18	HB2Z 63 B 4	1360	1,26	0,7	0,63	58,9	56,1	50	2,1	2,3	2,8	0,0004	BZ12	3,5	12500	6,3
0,25	HB2Z 71 A 4	1400	1,71	0,8	0,68	66,7	66	60,4	2,2	2,5	3,6	0,0008	BZ53	5	10000	8,4
0,37	HB2Z 71 B 4	1400	2,52	1,1	0,68	71,4	70,9	67,8	2,5	2,8	4	0,0010	BZ53	5	10000	9,3
0,55	HB2Z 80 A 4	1405	3,74	1,38	0,78	73,8	74	70,1	2,5	3,58	4,9	0,0019	BZ04	11	8000	11,5

4 poli - 1500 min⁻¹


IP55

IC411

Classe di isolamento F

Classe di sovratemperatura B

IE3
400 V - 50Hz
ErP

P_N kW	Motore	n_N min ⁻¹	M_N N m	I_N A 400V	$\cos \varphi$	η IE3 IEC 60034-2-1			M_S / M_N	M_{max} / M_N	I_S / I_N	J_0 kg m ²	Freno	M_f N m	z_0 avv./h	
						100%	75%	50%								
0,75	HB3Z 80 B 4	1410	5,1	2	0,67	82,5	82,2	80,1	3,2	3,3	5,3	0,0020	BZ04	11	6800	16
1,1	HB3Z 90 S 4	1420	7,4	2,4	0,80	84,1	84,8	83,6	3,0	3,5	6,4	0,0043	BZ14	16	3150	22,5
1,5	HB3Z 90 L 4	1430	10,1	3,3	0,78	85,3	86,1	85	3,1	3,7	6,7	0,0047	BZ05	27	3000	25
2,2	HB3Z 100 LA 4	1440	14,6	4,8	0,76	86,7	87,2	85,5	3,5	4,4	7,4	0,0080	BZ15	40	3000	32
3 ⁽¹⁾	HB3Z 112 MA 4	1450	19,8	6,1	0,80	88,7	88,6	87,3	3,5	4,4	8,8	0,0130	BZ15	40	2000	39
4	HB3Z 112 M 4	1450	26,3	8,5	0,77	88,6	89,2	88	3,7	4,6	9,0	0,0150	BZ06 S	75	1800	44
5,5	HB3Z 132 S 4	1470	35,8	12	0,74	89,6	89,5	87,6	4,5	5,0	9,1	0,0367	BZ56	75	900	69
7,5	HB3Z 132 M 4	1460	49	15,2	0,79	90,4	90,4	89,6	3,9	4,2	8,4	0,0442	BZ06	100	900	77
9,2 ⁽¹⁾	HB3Z 132 MB 4	1460	60,2	19,2	0,76	91	90,8	90,1	4,0	4,1	8,5	0,0470	BZ07	150	800	80,5

⁽¹⁾ Potenza non normalizzata per la corrispondente grandezza motore

6 poli - 1000 min⁻¹


IP55

IC411

Classe di isolamento F

Classe di sovratemperatura B

IE2
400 V - 50Hz
ErP

P_N kW	Motore	n_N min ⁻¹	M_N N m	I_N A 400V	$\cos \varphi$	η IE2 IEC 60034-2-1			M_S / M_N	M_{max} / M_N	I_S / I_N	J_0 kg m ²	Freno	M_f N m	z_0 avv./h	
						100%	75%	50%								
0,12	HB2Z 63 B 6	910	1,26	0,57	0,57	53,7	49,5	41,1	2,7	2,8	2,5	0,0005	BZ12	3,5	12500	6,3
0,18	HB2Z 71 A 6	910	1,89	0,62	0,68	61,6	59,8	51,9	2,4	2,5	3,2	0,0010	BZ53	5	11200	8,7
0,25	HB2Z 71 B 6	900	2,65	0,85	0,68	62,4	60,7	54	2,5	2,6	3,2	0,0013	BZ53	5	11200	9,5
0,37	HB2Z 80 A 6	930	3,8	1,2	0,67	66,8	65,4	58,4	2,5	2,6	3,6	0,0021	BZ04	11	9500	12
0,55	HB2Z 80 B 6	920	5,7	1,68	0,68	69,8	69,7	64,9	2,5	2,6	3,7	0,0027	BZ04	16	9000	13,5

6 poli - 1000 min⁻¹


IP55

IC411

Classe di isolamento F

Classe di sovratemperatura B

IE3
400 V - 50Hz
ErP

P_N kW	Motore	n_N min ⁻¹	M_N N m	I_N A 400V	$\cos \varphi$	η IE3 IEC 60034-2-1			M_S / M_N	M_{max} / M_N	I_S / I_N	J_0 kg m ²	Freno	M_f N m	z_0 avv./h	
						100%	75%	50%								
0,75	HB3Z 90 S 6	930	7,7	2	0,72	78,9	76	73	2,1	2,9	4,9	0,0057	BZ14	16	7100	19,5
1,1	HB3Z 90 L 6	930	11,3	2,8	0,72	81	79	77	2,6	3	5,1	0,0071	BZ05	27	5300	26
1,5	HB3Z 100 LA 6	950	15,1	3,5	0,75	82,5	82,4	80,4	2,5	3,4	6,5	0,0133	BZ15	40	3000	32
2,2	HB3Z 112 M 6	960	21,9	5,1	0,73	84,3	85	83,2	2,3	3,5	6,9	0,0211	BZ06S	50	2800	42
3	HB3Z 132 S 6	970	29,5	6,9	0,72	85,6	88	86,3	2,4	3,8	7,6	0,0445	BZ56	75	1400	65

Installazione e manutenzione

Indice di sezione

14.1	Sicurezza	224
14.2	Installazione e manutenzione	225

14.1

Sicurezza

Importante:

I motoriduttori forniti da Rossi S.p.A. sono destinati ad essere incorporati in apparecchi o sistemi finiti e **ne è vietata la messa in servizio fino a quando l'apparecchio o il sistema nel quale il componente è stato incorporato non sia stato dichiarato conforme:**

- alla **Direttiva macchine 2006/42/CE e successivi aggiornamenti; in particolare, eventuali protezioni antinfortunistiche per estremità d'albero non utilizzate e per passaggi copriventola eventualmente accessibili (o altro), sono a cura dell'Acquirente;**
- alla **Direttiva "Compatibilità elettromagnetica (EMC)" 2004/108/CE e successivi aggiornamenti.**



Attenzione!

Si raccomanda di attenersi a tutte le istruzioni del presente catalogo, a tutte le normative applicabili in materia di corretta installazione e alle vigenti disposizioni di legge in materia di sicurezza. Se vi sono pericoli per persone o cose derivanti da cadute o proiezioni del riduttore o di parti di esso, prevedere appropriate sicurezze contro l'allentamento o la rottura delle viti di fissaggio.

In caso di funzionamento anomalo (aumento di temperatura, vibrazioni o rumorosità inusuali, ecc.) arrestare immediatamente la macchina.

Sicurezza nell'installazione

Un'installazione non corretta, un uso improprio, la rimozione delle protezioni, lo scollegamento dei dispositivi di protezione, la carenza di ispezioni e manutenzione, i collegamenti impropri, possono causare danni gravi a persone o cose.

Pertanto il componente deve essere movimentato, installato, messo in servizio, gestito, ispezionato, mantenuto e riparato **esclusivamente da personale responsabile qualificato specificatamente istruito** e in possesso dell'esperienza necessaria per riconoscere gli eventuali rischi connessi ai presenti prodotti evitando possibili emergenze.

I motoriduttori del presente catalogo sono normalmente destinati ad essere impiegati in aree industriali: protezioni supplementari eventualmente necessarie devono essere adottate e garantite da chi è responsabile dell'installazione.



Attenzione!

Componenti in esecuzione speciale o con **varianti** costruttive possono differire nei dettagli rispetto a quelli descritti e possono richiedere informazioni aggiuntive.



Attenzione!

Per l'installazione, l'uso e la manutenzione del motore elettrico o dell'eventuale motovariatore e/o apparecchiatura elettrica di alimentazione (convertitore di frequenza, soft-start ecc.), e/o eventuali apparecchiature elettriche opzionali (es: unità autonoma di raffreddamento, ecc.), consultare la documentazione specifica ad essi allegata. All'occorrenza richiederla.

Sicurezza nella manutenzione

Qualunque tipo di operazione sul riduttore o sui componenti ad esso connessi deve avvenire a **macchina ferma, scollegata dall'alimentazione e fredda**: scollegare il motore (compresi gli equipaggiamenti ausiliari) dall'alimentazione, il riduttore dal carico e assicurarsi che si siano attivati i sistemi di sicurezza contro ogni avviamento involontario e, ove si renda necessario, prevedere dispositivi meccanici di bloccaggio (da rimuovere prima della messa in servizio).



Attenzione!

Durante il funzionamento i riduttori potrebbero avere **superfici calde**; attendere sempre che il riduttore o il motoriduttore si sia raffreddato prima di intraprendere qualunque operazione. Ulteriore documentazione tecnica è reperibile sul sito internet **www.rossi.com**.

Assicurarsi che la struttura sulla quale viene fissato il motoriduttore sia piana, livellata e sufficientemente dimensionata per garantire la stabilità del fissaggio e l'assenza di vibrazioni, tenuto conto di tutte le forze trasmesse dovute alle masse, al momento torcente, ai carichi radiali e assiali.

Collocare il motoriduttore in modo da garantire un ampio passaggio d'aria per il raffreddamento del riduttore e del motore (soprattutto dal lato ventola motore).

Evitare: strozzature nei passaggi dell'aria; vicinanza con fonti di calore che possano influenzare la temperatura dell'aria di raffreddamento e del motoriduttore per irraggiamento; insufficiente ricircolazione d'aria e in generale applicazioni che compromettano il regolare smaltimento del calore.

Montare il motoriduttore in modo che non subisca vibrazioni.

In presenza di carichi esterni impiegare, se necessario, spine o arresti positivi.

Nel fissaggio tra riduttore e macchina e/o tra riduttore ed eventuale flangia B5, si raccomanda l'impiego di **adesivi bloccanti** tipo LOCTITE nelle viti di fissaggio (anche nei piani di unione per fissaggio con flangia).

Per installazione all'aperto o in ambiente aggressivo verniciare il motoriduttore con vernice anticorrosiva, proteggendolo eventualmente anche con grasso idrorepellente (specie in corrispondenza delle sedi rotanti degli anelli di tenuta e delle zone di accesso alle estremità dell'albero).

Quando è possibile, proteggere il motoriduttore con opportuni accorgimenti dall'irraggiamento solare e dalle intemperie: quest'ultima protezione **diventa necessaria** quando gli assi lento o veloce sono verticali o quando il motore è verticale con ventola in alto.

Per temperatura ambiente maggiore di 40 °C o minore di 0 °C contattare Rossi S.p.A.

Prima di effettuare l'allacciamento del motoriduttore assicurarsi che la tensione del motore corrisponda a quella di alimentazione.

Se il senso di rotazione non corrisponde a quello desiderato, invertire due fasi della linea di alimentazione.

Nel caso si prevedano sovraccarichi di lunga durata, urti o pericoli di bloccaggio, installare salvamotori, limitatori elettronici di momento torcente, giunti idraulici, di sicurezza, unità di controllo o altri dispositivi simili.

Per servizi con elevato numero di avviamenti a carico è consigliabile la protezione del motore con **sonde termiche** (incorporate nello stesso): il relé termico non è idoneo in quanto dovrebbe essere tarato a valori superiori alla corrente nominale del motore.

Limitare i picchi di tensione dovuti ai contattori mediante l'impiego di varistori.



Attenzione!

La durata dei cuscinetti e il buon funzionamento di alberi e giunti dipendono anche dalla precisione dell'allineamento tra gli alberi.

Pertanto, occorre prestare la massima cura nell'allineamento del motoriduttore con la macchina da comandare (se necessario, spessorare) interponendo tutte le volte che è possibile giunti elastici.

Quando una perdita accidentale di lubrificante può comportare gravi danni, aumentare la frequenza delle ispezioni e/o adottare accorgimenti opportuni (es.: indicatore a distanza di livello olio, lubrificante per industria alimentare, ecc.).

In presenza di ambiente inquinante, impedire in modo adeguato la possibilità di contaminazione del lubrificante attraverso gli anelli di tenuta o altro.

Per motori autofrenanti o speciali, richiedere documentazione specifica.

Montaggio di organi sulle estremità d'albero lento

Per il foro degli organi calettati sull'estremità d'albero lento, si raccomanda la tolleranza K7 (H7 se il carico è uniforme e leggero).

Prima di procedere al montaggio pulire bene e lubrificare le superfici di contatto per evitare il pericolo di grippaggio e l'ossidazione di contatto. Il montaggio e lo smontaggio si effettuano con l'ausilio di tiranti ed estrattori servendosi del foro filettato in testa all'estremità d'albero.

Perno macchina

Per il perno macchina sul quale va calettato l'albero cavo del riduttore si raccomandano le dimensioni riportate al cap. 12.

1 Condizioni d'impiego

Area di applicazione/Settore industriale

Tipo di macchina da azionare

- macchina nuova
- macchina esistente, in funzionamento con riduttore attualmente impiegato

Temperatura ambiente [°C]

min normale max

Altitudine [m s.l.m.]

Ambiente:

- normale (industriale) al chiuso
- normale (industriale) all'aperto
- polveroso
- corrosivo / umido

Collocazione riduttore:

- spazio ristretto con limitato movimento d'aria ($v_{aria} < 0,63$ m/s)
- spazio ampio con movimento d'aria libero ($v_{aria} > 1,25$ m/s)
- spazio aperto, protetto dalle intemperie e dall'irraggiamento

2 Dati di carico

Velocità richiesta asse lento [min^{-1}]

min nominale max

Momento torcente richiesto asse lento [N m]

min nominale max

Potenza richiesta all'asse lento [kW]

min nominale max

Velocità entrata (riduttori) [min^{-1}]

min nominale max

Natura del carico:

- uniforme
- sovraccarichi moderati
- sovraccarichi forti

Frequenza di avviamento [avv./h]

Momento di inerzia della macchina [$kg \cdot m^2$]

min normale max

Durata di funzionamento [h/d]

Durata totale [h]

Tipo di servizio (S1 ... S10)

Ciclo di carico allegato:

- si
- no

3 Motore

Tipo di motore:

- asincrono trifase (c.a.)
- asincrono trifase con inverter
- a c.c. con convertitore
- a scoppio (monocilindrico)
- a scoppio (pluricilindrico)

Potenza P_1 [kW]

min nominale max

Velocità nominale n_1 [min^{-1}]

min nominale max

Alimentazione motore c.a.:

tensione [V] frequenza [Hz]

Grandezza motore IEC (motore c.a.)

Tipo di inserzione motore c.a.:

- diretta
- Y / Δ
- soft starter / inverter

Freno elettromagnetico:

- di stazionamento
- di lavoro
- di sicurezza

Momento frenante [N m]

Momento di spunto [N m]

Momento d'inerzia [$kg \cdot m^2$]

Esecuzione motore elettrico (c.a. e c.c.):

- con servomotori
- con encoder:
- con dinamo tachimetrica

Collegamento con il riduttore:

- con giunto
 - con cinghie trapezoidali
- | sezione | nr. | d_m [mm] | d_1 [mm] |
|---------|-----|------------|------------|
| | | | |
- con cinghia dentata
- | sezione | nr. | d_m [mm] |
|---------|-----|------------|
| | | |

Eventuale limitazione all'ingombro della trasmissione

4 Riduttore

Forma costruttiva

Senso di rotazione asse lento:

- freccia bianca
- freccia nera
- freccia bianca e nera

Dispositivo antiretro (se presente):

- rotazione libera freccia bianca
- rotazione libera freccia nera

Tipo di raffreddamento ammesso:

- con ventola
- con serpentina
- con scambiatore interno
- con unità UR O/A
- con unità UR O/W

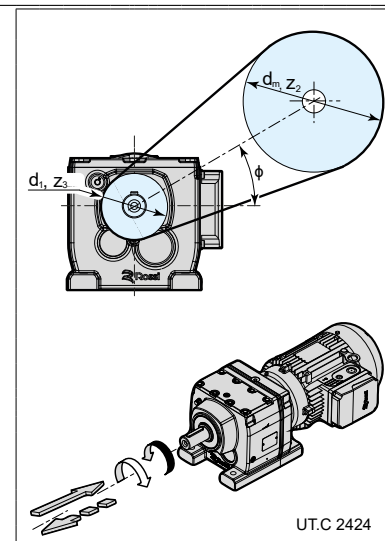
Tipo di collegamento alla macchina:

- montaggio pendolare
 - con giunto elastico / semielastico
 - con giunto cardanico
 - con cinghia dentata
- | passo | d_m | d_1 | ϕ |
|-------|-------|-------|--------|
| | | | |
- con catena
- | passo | nr. | z_2 | z_3 | sbalzo [mm] | ϕ |
|-------|-----|-------|-------|-------------|--------|
| | | | | | |
- con ingranaggio cilindrico a denti dritti
- | passo | nr. | z_2 | z_3 | sbalzo [mm] | ϕ |
|-------|-----|-------|-------|-------------|--------|
| | | | | | |

Eventuale carico assiale F_a [N]

← = = →

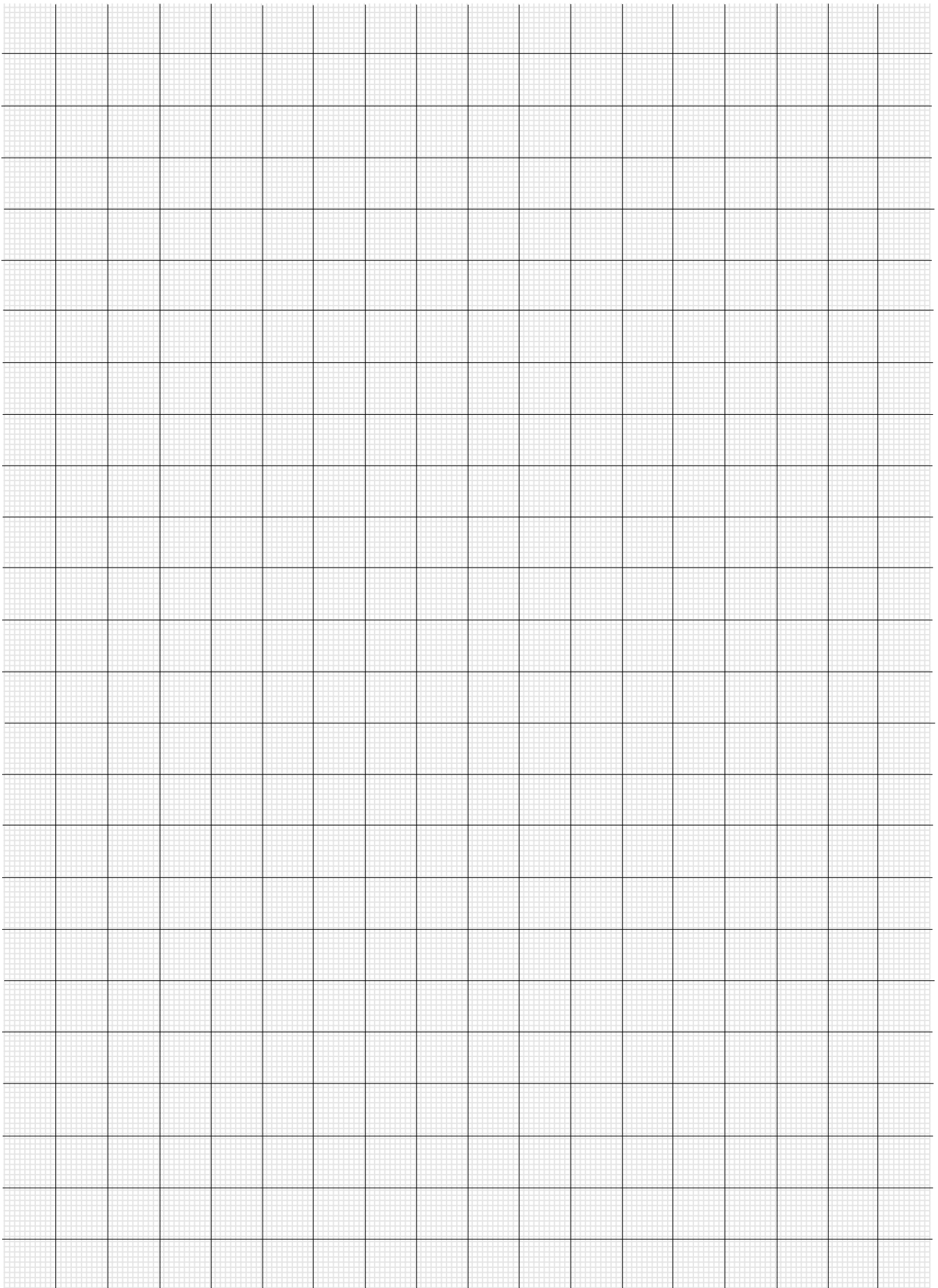
Eventuale limitazione all'ingombro della trasmissione



Grandezza	Con unità Sistema Tecnico	Con unità SI
tempo di avviamento o di arresto, in funzione di una accelerazione o decelerazione, di un momento di avviamento o di frenatura	$t = \frac{v}{a} \text{ [s]}$ $t = \frac{Gd^2 \cdot n}{375 \cdot M} \text{ [s]}$	$t = \frac{J \cdot \omega}{M} \text{ [s]}$
velocità nel moto rotatorio	$v = \frac{\pi \cdot d \cdot n}{60} = \frac{d \cdot n}{19,1} \text{ [m/s]}$	$v = \omega \cdot r \text{ [m/s]}$
velocità angolare	$n = \frac{60 \cdot v}{\pi \cdot d} = \frac{19,1 \cdot v}{d} \text{ [min}^{-1}\text{]}$	$\omega = \frac{v}{r} \text{ [rad/s]}$
accelerazione o decelerazione in funzione di un tempo di avviamento o di arresto		$a = \frac{v}{t} \text{ [m/s}^2\text{]}$
accelerazione o decelerazione angolare in funzione di un tempo di avviamento o di arresto, di un momento di avviamento o di frenatura	$\alpha = \frac{n}{9,55 \cdot t} \text{ [rad/s}^2\text{]}$ $\alpha = \frac{39,2 \cdot M}{Gd^2} \text{ [rad/s}^2\text{]}$	$\alpha = \frac{\omega}{t} \text{ [rad/s}^2\text{]}$ $\alpha = \frac{M}{J} \text{ [rad/s}^2\text{]}$
spazio di avviamento o di arresto, in funzione di una accelerazione o decelerazione, di una velocità finale o iniziale		$s = \frac{a \cdot t^2}{2} \text{ [m]}$ $s = \frac{v \cdot t}{2} \text{ [m]}$ $w = \frac{\alpha \cdot t^2}{2} \text{ [rad]}$
angolo di avviamento o di arresto, in funzione di una accelerazione o decelerazione angolare, di una velocità angolare finale o iniziale	$\varphi = \frac{n \cdot t}{19,1} \text{ [rad]}$	$\varphi = \frac{\omega \cdot t}{2} \text{ [rad]}$
massa	$m = \frac{G}{g} \left[\frac{\text{kgf s}^2}{\text{m}} \right]$	m è l'unità di massa [kg]
peso (forza peso)	G è l'unità di peso (forza peso) [kgf]	$G = m \cdot g \text{ [N]}$
forza nel moto traslatorio verticale (sollevamento), orizzontale, inclinato (μ = coefficiente di attrito; φ = angolo d'inclinazione)	$F = G \text{ [kgf]}$ $F = \mu \cdot G \text{ [kgf]}$ $F = G (\mu \cdot \cos \varphi + \sin \varphi) \text{ [kgf]}$	$F = m \cdot g \text{ [N]}$ $F = \mu \cdot m \cdot g \text{ [N]}$ $F = m \cdot g (\mu \cdot \cos \varphi + \sin \varphi) \text{ [N]}$
momento dinamico Gd^2 , momento d'inerzia J dovuto ad un moto traslatorio (numericamente $J = \frac{Gd^2}{4}$)	$Gd^2 = \frac{365 \cdot G \cdot v^2}{n^2} \text{ [kgf m}^2\text{]}$	$J = \frac{m \cdot v^2}{\omega^2} \text{ [kg m}^2\text{]}$
momento torcente in funzione di una forza, di un momento dinamico o di inerzia, di una potenza	$M = \frac{F \cdot d}{2} \text{ [kgf m]}$ $M = \frac{Gd^2 \cdot n}{375 \cdot t} \text{ [kgf m]}$ $M = \frac{716 \cdot P}{n} \text{ [kgf m]}$	$M = F \cdot r \text{ [N m]}$ $M = \frac{J \cdot \omega}{t} \text{ [N m]}$ $M = \frac{P}{\omega} \text{ [N m]}$
lavoro, energia nel moto traslatorio, rotatorio	$W = \frac{G \cdot v^2}{19,6} \text{ [kgf m]}$ $W = \frac{Gd^2 \cdot n^2}{7160} \text{ [kgf m]}$	$W = \frac{m \cdot v^2}{2} \text{ [J]}$ $W = \frac{J \cdot \omega^2}{2} \text{ [J]}$
potenza nel moto traslatorio, rotatorio	$P = \frac{F \cdot v}{75} \text{ [CV]}$ $P = \frac{M \cdot n}{716} \text{ [CV]}$	$P = F \cdot v \text{ [W]}$ $P = M \cdot \omega \text{ [W]}$
potenza resa all'albero di un motore monofase ($\cos \varphi$ = fattore di potenza)	$P = \frac{U \cdot I \cdot \eta \cdot \cos \varphi}{736} \text{ [CV]}$	$P = U \cdot I \cdot \eta \cdot \cos \varphi \text{ [W]}$
potenza resa all'albero di un motore trifase	$P = \frac{U \cdot I \cdot \eta \cdot \cos \varphi}{425} \text{ [CV]}$	$P = 1,73 \cdot U \cdot I \cdot \eta \cdot \cos \varphi \text{ [W]}$

Nota. L'accelerazione o decelerazione si sottintendono costanti; i moti traslatorio e rotatorio si sottintendono rispettivamente rettilineo e circolare.

Note





Rossi

Solutions for
an evolving
industry

Rossi S.p.A.

Via Emilia Ovest 915/A
41123 Modena - Italy

info@rossi.com
www.rossi.com

2635.CAT.iFIT-iC-iO-23.03-0-IT

© Rossi S.p.A. Rossi reserves the right to make any modification whenever to this publication contents. The information given in this document only contains general descriptions and/or performance features which may not always specifically reflect those described.

The Customer is responsible for the correct selection and application of product in view of its industrial and/or commercial needs, unless the use has been recommended by technical qualified personnel of Rossi, who were duly informed about Customer's application purposes. In this case all the necessary data required for the selection shall be communicated exactly and in writing by the Customer, stated in the order and confirmed by Rossi. The Customer is always responsible for the safety of product applications. Every care has been taken in the drawing up of the catalog to ensure the accuracy of the information contained in this publication, however Rossi can accept no responsibility for any errors, omissions or outdated data. Due to the constant evolution of the state of the art, Rossi reserves the right to make any modification whenever to this publication contents. The responsibility for the product selection is of the Customer, excluding different agreements duly legalized in writing and undersigned by the Parties.